

22.3/0001/1126
ОШ ЖОГОРКУ ТЕХНОЛОГИЯЛЫК КОЛЛЕДЖИ
ФИЗИКА ЖАНА ХИМИЯ КАФЕДРАСЫ

А. МАРИПОВ

ЭЛЕКТР ЖАНА МАГНИТ КУБУЛУШТАРЫ

(ЛЕКЦИЯЛАРДЫН ЖЫЙНАГЫ)

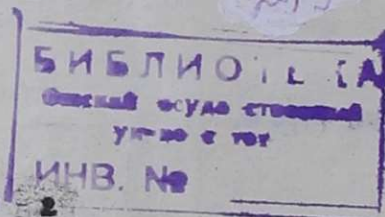
ОШ — 1992

Жогорку инженер-техникалык адистерди даярдоо үчүн 1991 жылы басылып чыккан жогорку окуу жайлары үчүн физиканын программасына ылайыкталган

Физика жана химия кафедрасынын жана Ош жогорку технологиялык колледжинин усулдук комиссиялары тарабынан каралып жактырылган жана басууга сунуш кылынган.

Бул китеп жөнүндө өзүңүздөрдүн ой пикириңиздерди бизге жазып жиберсеңиздер, автор өзүнүн чоң ыраазычылыгын билдирер эле.

Биздин дарегибиз: 714018, Ош шаары Исанов көчөсү 81
Ош жогорку технологиялык колледжи,
физика жана химия кафедрасы.



МАЗМУНУ

Электростатика	бет
Глава-1. Электр талаасы жана аны мүнөздөөчү чоңдуктар.	6
1.1. Электр заряддары жана алардын жаратылышы. Заряддардын сакталуу закону	6
1.2. Заряддардын өз ара аракеттенүү закону	9
1.3. Өткөргүчтөр жана изоляторлор	10
1.4. Электр чоңдуктарын ченөө бирдиктери	13
1.5. Электр талаасы. Электр талаасынын чыңалышы	14
1.6. Электр талааларынын кошулушу	15
1.7. Электр талаасынын чыңалышынын күч сызыктары жана агымы	16
1.8. Электр талаасынын индукция вектору Остроградский-Гауссун теоремасы.	19
1.9. Остроградский-Гауссун теоремасын колдонуунун мисалдары.	22
1.10. Электр талаасындагы диполь	26
Глава-2. Потенциал.	
2.1. Электростатикалык талаанын жумушу.	27
2.2. Потенциал. Потенциалдардын айырмасы.	29
2.3. Электр талаасынын потенциалдарын аныктоонун мисалдары.	32
Глава-3. Электр талаасындагы өткөргүчтөр.	
3.1. Өткөргүчтөрдүн электр талаасындагы абалы	33
3.2. Электр сыймдуулугу	36
3.3. Сыймдуулукту аныктоонун мисалдары.	39
3.4. Конденсаторлорду туташтыруу.	40
3.5. Заряддалган конденсатордун энергиясы электр талаасынын энергиясы.	42
Глава-4. Электр талаасындагы диэлектриктер	
4.1. Диэлектриктердин поляризацияланышы поляризация вектору \vec{P} .	45
4.2. Диэлектриктеги электр талаасынын чыңалышы.	47
4.3. Электр талаасындагы диэлектрикке аракет кылган күчтөр.	48
4.4. Сегнетоэлектриктер	51
4.5. Пьезоэлектрик эффект.	53

Глава- 5. Турактуу ток.

5.1. Электр тогу жана анын пайда болуу шарттары.	56
5.2. Электр кыймылдаткыч күчү. Чыңалуу	58
5.3. Металлдардын электр өткөрүмдүүлүгү	59
5.4. Металлдардын электр өткөрүмдүүлүгүнүн классикалык электрондук теориясы.	62
5.5. Классикалык электрондук теориянын кемчилдиктери.	68
5.6. Омдун жалпыланган закону же тармакталган чыңыр үчүн Кирхгофтон закондору.	70

Электромагнетизм.

Глава- 7. Турактуу токтуу магнит талаасы.

7.1. Магнит талаасы. Магнит индукция вектору	73
7.2. Био-Савар-Лапластын закону	76
7.3. Түз сызыгуу токтуу магнит талаасы	78
7.4. Тегерек токтуу магнит талаасы	80
7.5. Магнит талаасынын чыңалыш векторунун циркуляциясыч жөнүндөгү теорема.	81
7.5. Соленоиддин жана торондун магнит талаалары.	83
7.7. Кыймылдагы заряддын магнит талаасы	84
7.8. Магнит талаасынын токко жасаган аракети. Ампердин закону	86
7.9. Жарыш токтордун өз ара аракеттенүүлөрү	87
7.10. Электромагниттик проводтары елчөөчү бирдиктердин системасы.	88
7.11. Магнит талаасындагы заряддардын кыймылы. Лоренцтин күчү.	90
7.12. Холлдуу эффектиси	94
7.13. Заряддалган бөлүкчөлөрдүн ыңдамдаткычтары	95
7.14. Магнито-гидродинамикалык (МГД) генератор	99
7.15. Магнит агыны	99
7.16. Остроградский-Гаусетун магнит талаасы үчүн теоремасы	100
7.17. Магнит чыңырларынын закондору	101
7.18. Магнит талаасындагы токтуу өткөргүч жылгандагы жумуш	103

Глава -8. Электромагниттик индукция

8.1. Электромагниттик индукция кубулушу жана анын негизги закону	106
8.2. Электромагниттик индукциянын электр кыймылдаткыч күнүнүн (ЭКК) табияты.	108

8.3. Алкактын магнит талаасындагы айланышы. Генераторлор	110
8.4. Өз ара индукция	112
8.5. Жалпы өзөктүү эки соленоиддин өз ара индукциясы.	113
8.6. Өзүмдүк индукция	116
8.7. Үчүрларды кошкондогу жана ажыраткындагы өзгөчө токтор	118
8.8. Күндүү токтор (Зухунун токтору)	120
8.9. Токтун магнит талаасынын энергиясы.	122

Глава-9. Максвеллдин теориясынын негиздери.

9.1. Жылылуу токтору	124
9.2. Максвеллдин интегралдык теңдемелери	128

Глава-10. Электромагниттик толкундар жана термелүүлөр.

10.1. Термелүү чыңкыр. Өзүмдүк термелүү	130
10.2. Электромагниттик толкундардын нурланышы жана таралышы. Герцтин тажрыйбалары	137
10.3. Электромагниттик толкундун басымы	148
10.4. Электромагниттик толкундун шкаласы	144

Глава 11. Заттардын магнит талаасы

11.1. Магниттелиш вектору \vec{P} жана анын \vec{H} жана \vec{B} векторлору менен байланышы	150
11.2. Заттардын магниттик касиеттери. Диа жана парамагнетизм	155
11.3. Ферромагнетизм	159

Электромагниттик кубулушка байланыштуу кыргыз тилиндеги жана сөздөрдүн кыргызча-орусча сөздүгү.

163

ЭЛЕКТРОСТАТИКА

I-Глава. Электр таячасы жана аны мүнөздөчү чоңдуктар.

1.1. Электр заряддары жана алардын каратылышы.

Заряддардын сакталуу закону

Физиканын механика бөлүмүнүн негизги закондору болуп Ньютондун закондору экендигин жана алардын эң негизгиси экинчи закон

$$m\vec{a} = \vec{F}$$

болорун, биринчи жана үчүнчү закондор экинчи закону толуктай жана айкындай тургандыгын көрсөткөнбүз. Экинчи закондун негизинде, ар кандай кыймыл, нерсеге таасир этүүчү күч \vec{F} чоңдугу жана багыты белгилүү болсо гана аныктала алат экен. Механикада, гравитациялык күчтүн таасири астындагы (оордук күчү) кыймыл кенири токтолгонбүз. Нерселер гравитациялык күчтүн таасиринен башка электромагниттик ж.б. күчтөр аркылуу да аракеттеништерине мындан ары токтолобуз.

Электромагниттик күч электр заряддарынын ортосунда пайда болот. Электр заряддары жөнүндөгү мектептен белгилүү маалыматтарга дагы көңүл буралы. Эгерде айнек таякчасын жибек кездемесине же эбонит таякчасын теринин жүнүнө сүрткөндө, аларда заттардын жеңил бөлүкчөлөрүн тартып алуу көңөлдүүлүгү пайда болуу белгилүү. Заттардын маңдай касиеттерин аларда заряддардын пайда болушу менен түшүндүрүлөт. Демек бир нерсени экинчи нерсеге сүрткөндө алар электрлөнөт б.а. аларда заряддар пайда болот. Заряддалган нерселер бири-бирине тартылыштары же түртүлүшөрү тажырыйбалардан белгилүү. Жибек жиптерине илинип калса жайланышкан эки жеңил шарчаларга жибекке сүрүлгөн айнек таякчасын тийгизсек, шарчалар бири-бирин түртүшөт (I.I.I^A-чийме). Эгерде бул шарчаларды теринин жүнүнө сүрүлгөн эбонит менен заряддасак, алардын мурдагыдай эле бири-бирин түртүшөрүн байкайбыз (I.I.I^B-чийме). Эми бул шарчанын бирөөн айнек таякчасы менен экинчисин эбонит таякчасы менен заряддасак, шарчалардын бири-бирине тартылышын көрөбүз (I.I.I^B-чийме). Бул тажырыйбалардан эбониттеги жана айнектеги пайда болгон заряддардын касиеттери башка экендиги келип чыгат. Эгерде башка ар түрдүү

көптөгөн заттарда пайда болгон заряддарга көңүл бөлүп, эки түрдүү эбонитте жана айнек таякчаларында пайда болгон заряддарга окшош гана "эбонит электрлиги" жана "айнек электрлиги") заряддар пайда болору аныкталган. Кийинчерээк "айнек электрлиги" оң заряд, ал эми "эбонит электрлиги" - терс заряд деп атап коюшкан. Ошентип, оң заряддар бири-бирин түртүшөт. Ушундай эле касиетке терс заряддар да ээ (I.I.4-чийме). Оң жана терс заряддар бири-бирин тартышат. Кыскасы бир тектүү заряддар түртүлүшөт, ар түрдүү тектеги заряддар бири-бирин тартышат. Эки нерсени бири-бирине сүргөндө, бирөөндө белгилүү чондукта оң заряд пайда болсо, экинчисинде ошондой эле чоңдуктагы терс заряд пайда болору тажырыйбалардан белгилүү. Мунун себеби эмнеде деген суроо туулат. Ар кандай заттар атомдордон түзүлөрүн билебиз. Атом, оң заряддалган ядродон жана анын айланасында айланып жүргөн терс заряддуу электрондордон пайда болорун аныкталган (I.I.2-чийме). Кадимки абалында атомдогу оң заряддардын (протондордун) саны андагы терс электрондордун санына барабар болуп, электронейтралдуу болот. Атомдордун эң сырткы катмарындагы жайланышкан (валентүү) электрондор атомдун ядросу менен начар байланышкандыктан, бир затты экинчи затка сүрткөндө ал электрондор бир заттын атомуна экинчи заттын атомуна өтүшөт. Электрондорду кеткен заттын атомдору оң заряддалган иондорго айланып, затты оң зарядка ээ кылат. Ал эми электронду кабыл алган заттын атомдору терс заряддалган ионго айланышып, заттагы терс заряддардын пайда болушуна алып келет.

Заряддын терең касиеттеринин бири болуп, анын, сакталышы эсептелет, б.а. турук системадагы заряддардын саны сакталат жана алар системанын бир бөлүгүнөн экинчи бөлүгүнө гана өтүшү мүмкүн. Заряддардын жалпы саны оң жана терс заряддардын санына барабар. Турук электронейтралдуу системада оң заряддардын саны терс заряддыкына барабар.

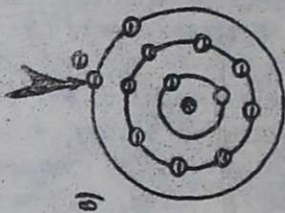
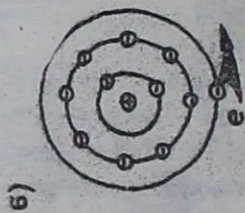
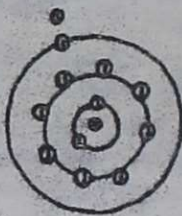
$$\sum_{i=1}^n q_i^+ = \sum_{i=1}^n q_i^- \quad \text{же} \quad \sum_{i=1}^n q_i^+ + \sum_{i=1}^n q_i^- = 0$$

Мында q_i^+ жана q_i^- оң жана терс элементардык заряддар. Заряддын эң кичинекей бөлүкчөсүн элементардык заряд деп атайбыз. Мындай зарядды алып жүрүүчү бөлүкчө болуп электрон ж.б. элементардык бөлүкчөлөр эсептелишет.

Анын заряды $e = 1,602 \cdot 10^{-19} \text{ Кл}$



1.1.1 - ЧУВОНЕ



1.1.2 - ЧУВОНЕ

(1)1116

Ар кандай башка чоңураак бөлүкчөлөрдүн (атом, молекула) жана заттардын заряддары элементардык зарядка өсөлөмүз чачаат. Ошондуктан, электрондун зарядын заряддардын кванты деп аташат.

1.2. ЗАРЯДДАРДЫН ӨЗ АРА АРАКЕТТЕНҮУ ЗАКОНУ (КУЛОНДУН ЗАКОНУ)

Заряддалган нерселер, эе алардын бөлүкчөлөрү өз ара аракеттеништерине жогоруда ишендик. Мындай аракеттениүүлөрдүн закон ченемдүүлүгүн мындан эки кылым илгери (1785ж) окутуу Кулон ачкандыгы физиканын мектептеги курсунан белгилүү. Кулон, эки чекиттүү заряддар бири бирине, ал заряддардын (q_1 , q_2) чоңдуктарынын көбөйтүндүсүнө түз пропорциялаш, ал эми аралыгынын (r) квадратына тескери пропорциялаш болгон күч менен аракеттеништерин көрсөткөн (1.2.1-чийме)

$$F = k \frac{q_1 \cdot q_2}{r^2} \quad (1.2.1)$$

Мында k - пропорция коэффициентин, ченөө системасына жараша аныкталат. Заряддардын чекиттүүлүгү механикадагы материалдык чекиттердин шарты сыяктуу аныкталат б.а. $d \ll r$, d - заряддалган нерселердин өлчөмү, r - алардын ортосундагы аралык).

Ар кандай заряддалган чоң өлчөмдөгү нерселер үчүн мындай законду алуу кыйын, анткени мындай нерселердин ортосундагы өз ара аракет эткен күчү, бирдей шартта алардын калыбына да жараша болот. Кулондун законун бүткүл дүйнөлүк тартылуу законуна салыштырсак, алардын окшол өңөндүгүн байкайбыз.

$$F_k \sim \frac{q_1 q_2}{r^2}, \quad F_g \sim \frac{m_1 m_2}{r^2}$$

бирок масса (m_1, m_2) терс болбогондуктан ($E_g > 0$), ал эми заряддар q_1, q_2 оң жана терс болгондуктан алардын ортосундагы аракет этүүчү күчтөр оң жана терс мааниге өз болушат. Белгилүү заряддагы элементардык бөлүкчөлөр үчүн (мисалы электрон) бул эки күчтү салыштырсак, электр күчү F_k гравитациялык күчкө F_g салыштырганда 10^{37} өсө күчтүү өңөндүгүн көрөбүз ($F_k = 10^{37} F_g$)

Күч вектордук чоңдук болгондуктан, заряддардын ортосундагы өз ара аракеттердин багытын аныкташ үчүн, Кулондун

законун вектор түрүндө жазабыз

$$\vec{F} = k \frac{q_1 q_2}{z^2} \cdot \frac{\vec{z}}{z} = k \frac{q_1 q_2}{z^3} \vec{z} \quad (1.2.2.)$$

Ушул формуланы пайдаланып, бир тектүү жана ар түрдүү белгидеги заряддардын ортосундагы аракет кылган күчтөрдүн багытын аныктайлы:

1. $q_1 > 0, q_2 > 0$; биринчи заряддын экинчи зарядка аракет жасаган күчтүн багытын табыш үчүн, биринчи заряддан экинчи зарядка радиус-вектор (\vec{z}_{12}). Эки заряддын көбөйтүндүсү $q_1 q_2 > 0$ оң болгондуктан аракет өткөн \vec{F}_{12} күчтүн багыты, \vec{z}_{12} радиус-вектор багыты менен дал келет (1.2.1 а-чийме) $\vec{F} \uparrow \vec{z}$

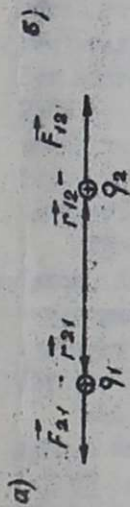
б) Ал эми ушул эле шартта экинчи q_2 заряддан биринчи q_1 зарядка радиус-вектор (\vec{z}_{21}) жүргүзүп, экинчи заряддын биринчи зарядка аракет эткен күчтүн багытын аныктайбыз жана ал \vec{F}_{21} күчтүн багыты \vec{z}_{21} радиус вектордун багыты менен дал келерин көрөбүз, $\vec{F}_{21} \uparrow \vec{z}_{21}$ (1.2.1 а- чийме).

2. Эгерде ($q_1 < 0, q_2 < 0$) эки заряд тең терс болсо, жогоруда караган (1-пункт) жыйынтыкты алабыз (1.2.1^а-чийме) Демек, бир тектүү заряддар түртүшүшөт экен.

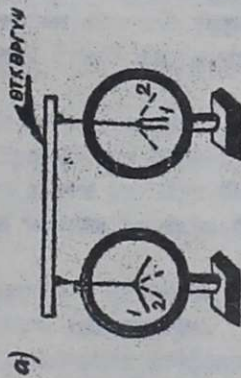
3. Эгерде аракеттенишүүчү заряддардын белгиси ар түрдүү болсо ($q_1 > 0, q_2 < 0$), анда жогоруда көрсөтүлгөндөй тиешелүү \vec{z}_{12} , \vec{z}_{21} радиус-векторлорду жүргүзүп, бир тектүү эмес заряддар өз ара тартыша тургандыгын көрөбүз $\vec{F}_{21} \uparrow \vec{z}_{21}$, $\vec{F}_{12} \uparrow \vec{z}_{12}$ (1.2.1^б-чийме).

1.3. ӨТКӨРГҮЧТӨР ЖАНА ИЗОЛЯТОРЛОР

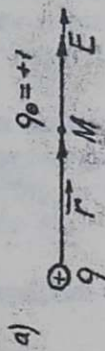
Ар кандай заттар, өзүнөн электр заряддарды өткөргүчү жана өткөрбөөчү болуп, эки чоң класска бөлүнүшөт. Өткөргүчтөр аркылуу заряддар эркин жыла алышат. Мындай өткөргүчтөргө металлдар кирет. Өткөрбөгүчтөр (изоляцияторлор) аркылуу заряддар эркин жыла албайт. Мындай заттардын мисалы катары айнек, эбонит, кургак аба ж.б. ларды кароого болот. Заттардын мындай электрдик касиеттерин текшерүү үчүн, эки заряддалган жана заряддалбаган, электроскопторду алып, аларды өткөргүч



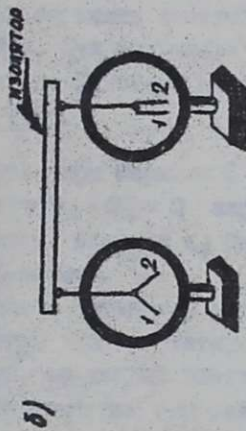
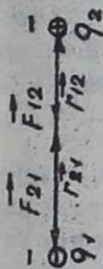
1.2.1-УЧУМЕ



1.2.1-УЧУМЕ



1.3.1-УЧУМЕ



менен туташтырсак, заряддардын бир электроскоптон экинчиге өткөнүн көрөбүз ($I.3.I^1$ -чийме). Ал эми заряддалган, электроскопту заряддалбаганы менен изолятор аркылуу туташтырсак, электроскоптордун абалдарынын өзгөрбөгөнүн көрөбүз ($I.3.I^6$ -чийме) б.а. изолятор аркылуу заряддар өтбөйт экен.

1.4. ЭЛЕКТР ЧОНДУКТАРЫН ЧЕНӨӨ БИРДИКТЕРИ

1.4.1. Абсолюттук электростатикалык ченөө бирдиктеринин системасы (катары) -СГСЭ.

Бул системада заряддын ченөө бирдиги абсолюттук электростатикалык заряддын бирдиги (СГС) деп аталат жана туунду бирдиктерге кошулат. Бул бирдикти аныктоо үчүн Кулондун законун (1.2.1) колдонобуз. Бул системада пропорция коэффициенти $k = 1$ деп алынгандыктан, Кулондун закону

$$F = \frac{q_1 q_2}{r^2} \quad (1.4.1)$$

түрүндө жазылат. Эгерде бири биринен $r = 1$ см аралыкта жайланышкан бирдей эки чекитүү $q_1 = q_2 = q$ заряддар $F = 1$ дина күч менен аракеттенишсе, алардын q биринин чоңдугу $q = 1$ СГС $_q$ барабар болот (1.2.1-чйме).

Андан ары, негизги бирдиктер катары $l = 1$ см, $m = 1$ г, $t = 1$ с тандап, жана абсолюттук электростатикалык заряддын бирдигин (СГС $_q$) колдонуп, ар кандай электрдик жана магниттик чоңдуктардын ченөө бирдиктерин аныктай алабыз. Бул система абсолюттук электростатикалык бирдиктердин системасы (СГСЭ) деп аталат.

Бул системада электрондун заряды $e = 4,8 \cdot 10^{-10}$ СГС $_q$ барабар. 2-СИ системасы. Бул системада электрдик жана магниттик чоңдуктардын бирдиктерин аныктоо үчүн механикадагы негизги бирдиктерге (метр, кг, сек.) ток күчүнүн бирдиги Ампер (А) кошулат.

СИ системасында электр зарядын ченөө бирдиги катары Кулон (Кл) алынат. Бул туунду бирдик болот жана өткөргүчтүн берилген кесилиш аянты аркылуу бир секундта бир ампер турактуу токту пайда кылган зарядна барабар болот, б.а. $1 \text{ Кл} = 1 \text{ А} \cdot \text{с}$.

Тажырыйба жолу менен 1 Кл заряд $3 \cdot 10^9$ СГС $_q$ заряддын бирдигине барабар экендиги аныкталган.

СИ системасында пропорция коэффициенти $k = 1/4\pi\epsilon_0$ деп алынат. Кулондун законун пайдаланып, электростатикалык турактуу санын сан маанисин аныктайды.

$$F = k \frac{q_1 q_2}{r^2} = \frac{1}{4\pi\epsilon_0} \frac{q_1 q_2}{r^2} \quad (1.4.2)$$

$q_1 = q_2 = q = 1 \text{ Кл} = 3 \cdot 10^9 \text{ ст.с.}$ деп алайлы
 Анда заряддардын бул маанилерин (I 4.1) жана (I 4.2) формулаларга кооп, аларды теңдеп

$$F = \frac{(3 \cdot 10^9)^2}{(10^2)^2} = 9 \cdot 10^{16} \text{ Дин} = 9 \cdot 10^9 \text{ Ньютон (Н)}$$

$$F = \frac{1}{4\pi\epsilon_0} \cdot \frac{1 \cdot 1}{1^2} = 9 \cdot 10^9 \text{ Н} \quad \text{экендигин алабыз.}$$

Бул формуладан

$$\epsilon = \frac{1}{4\pi \cdot 9 \cdot 10^9} = 8,85 \cdot 10^{-12}$$

СИ бирдигине

барабар экендиги келип чыгат.

СИ системасында электрондун зарядынын чоңдугу $e = 1,602 \cdot 10^{-19} \text{ Кл}$

I.5. ЭЛЕКТР ТАЛААСЫ. ЭЛЕКТР ТАЛААСЫНЫН ЧЫЧАЛЫШЫ

Жогоруда биз караган заряддардын өз ара аракеттенүүлөрү электр талаасы аркылуу берилет. Ар кандай заряд өзүн курчаган мейкиндиктин касиетин өзгөртөт - электр талаасын түзөт. Мындай талаага электр зарядын жайгаштырсан, зарядга күч таасир өтөт. Демек, мейкиндикте талаа бар же жок экендигин билиш үчүн ага өлчөгүчү зарядды (чоңдугу жана белгиси белгилүү), жайгаштырып, ага таасир өткөн күчтүн чоңдугуна жараша талааны ургаалдуулугун (интенсивдүүлүгүн) билебиз. Электр талаасын мүнөздөөчү чоңдук катары электр талаасынын чычалышы E киргизилет.

Адегенде чекитүү заряддын электр талаасына өлчөгүч зарядды жайгаштырып, талаанын чычалышын аныктайлы.

Ал үчүн $q_1 = q$ деп, белгилүү заряд катары $q_2 = q_0$ алып, Кулондун законун пайдаланып көрөлү.

$$F = k \frac{qq_0}{r^2}$$

Мында таасир өткөн F күчү биз изилдеген заряд q га гана көз каранды болбостон, өлчөгүч q_0 заряддын чоңдугуна да жараша болот. Демек, F күчү q зарядды түзгөн электр талаасын мүнөздөөчү чоңдук боло албайт. Эгерде биз F/q_0 катышын алсак, анда $\frac{F}{q_0} = k \frac{q}{r^2}$

бул катыш өлчөгүч зарядка көз каранды эмес, ошондуктан ал q зарядды түзгөн талааны мүнөздөөчү чоңдук боло алат жана электр талаасынын чычалышы деп аталат.

$$E = \frac{F}{q_0} = k \frac{q}{r^2}$$

(I.5.1)

Электр талаасынын чыңалышы бирдик өлчөгүч зарядка таасир эткен күчкө барабар экен. Бул (1.5.1) туурта чекиттүү q заряды r аралыгында түзгөн талаанын чыңалышын мүнөздөйт жана ал ошол заряддын чоңдугуна түз, аралыктын квадратына тескери пропорциялаш экен.

Электр талаасынын чыңалышы күч аркылуу аныкталгандыктан, (1.5.1) вектордук чоңдук болуп эсептелет жана вектордук түрдө төмөндөгүдөй жазылат

$$E = k \frac{q}{r^2} \vec{r} \quad (1.5.2)$$

Бул формуланын негизинде E нин чоңдугун гана эмес, багытын да аныктоого болот (1.5.1-чийме). Оң заряддын талаасы радиус-вектордун багыты менен дал келип ($\vec{F} \parallel \vec{r}$), ал заряддан сыртты кездей багытталса (1.5.1^а-чийме), терс заряддын талаасы анын өзүн кездей багытталат экен (1.5.1^б-чийме).

Эгерде мейкиндиктин кандайдыр бир чекитинде талаанын чыңалышы E аныкталса, ал чекитке киргизилген q зарядна аракет кылган \vec{F} күчү аныкталган болот,

$$\vec{F} = q\vec{E} \quad (1.5.3)$$

Электр талаасынын чыңалышынын өлчөө бирдиктери:

СИ системасында $[E] = \text{Вольт метр (В/м)}$, ал эми СГСЭ системасында $[E] = 1 \text{СГС}_E$ бирдиктери менен өлчөнөт.

$q = 1 \text{Кл}$ заряд $r = 1 \text{м}$ аралыкта СИ системасында

$$E = \frac{1}{4\pi\epsilon_0} \frac{q}{r^2} = \frac{4\pi}{4\pi} \cdot 9 \cdot 10^9 \frac{1}{1^2} = 9 \cdot 10^9 \text{ В/м} \quad (1.5.4)$$

же СГСЭ системасында $k=1$ $E = \frac{q}{r^2} = \frac{3 \cdot 10^9}{(10^3)^2} = 3 \cdot 10^6 \text{ СГС}_E \quad (1.5.5)$

Электр талаасын пайда кылат экен.

Бул эки чоңдуктар бир эле заряддын ($1 \text{Кл} = 3 \cdot 10^9 \text{ СГС}_q$) бирдей аралыкта ($r = 1 \text{м} = 100 \text{см}$) түзгөн талаасы болгондуктан, бири бирине барабар болушат. Ошондуктан буларды теңдеп

$$1 \text{СГС}_E = 3 \cdot 10^6 \text{ В/м} \quad , \text{ барабар}$$

экендигин алабыз

1.6. ЭЛЕКТР ТАЛААЛАРЫНЫН КОМУЛУШУ (СУПЕРПОЗИЦИЯСЫ)

Чекиттүү бир заряддын электр талаасын аныктоо үчүн-

генден кийин, чекитүү заряддардын тобунун түзгөн электр талаасын кантип табууга боло тургандыгына көңүл буралы. Электр талаасынын чыңалышы вектордук чоңдук (\vec{E}) болгондуктан, заряддардын белгилүү бир чекиттеги түзгөн электр талаалары вектордун закону боюнча кошулушат. Мисал катары оң q_1 жана терс q_2 заряддарынын А чекитинде түзгөн жалпы электр талаасын (\vec{E}) аныктайтыз (1.5.1-чийме). Адегенде q_1 зарядын түзгөн \vec{E}_1 векторун, андан кийин q_2 заряды түзгөн \vec{E}_2 векторун тургузабыз. Бул векторлордун жалпы түзүүчүсү алар түзгөн параллелограмдын диагонали \vec{E} болуп эсептелет, F

$$\vec{E} = \vec{E}_1 + \vec{E}_2 \quad (1.6.1)$$

Бул вектордун сан мааниси (модулу)

$$|\vec{E}| = E = \sqrt{E_1^2 + E_2^2 + 2E_1E_2\cos\alpha} \quad (1.6.2)$$

формуладан аныкталат. Демек, жалпы талаанын чыңалышын (E) аныкташ үчүн ар бир заряд түзгөн талаалардын сан маанисилерин (E_1, E_2) гана аныктабастан, ал векторлордун ортосундагы бурчту (α) да эсептөө керек экен.

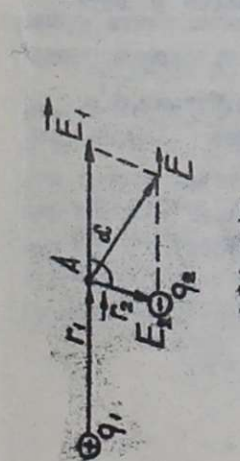
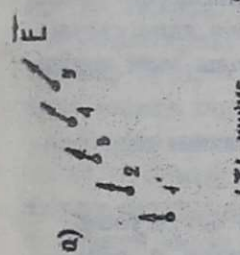
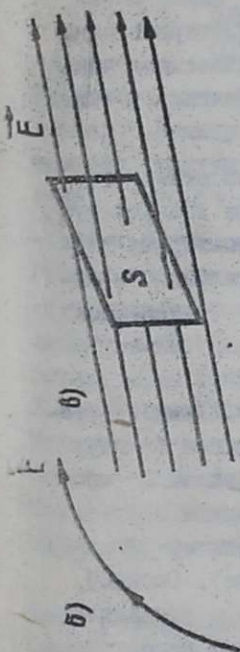
Чекитүү заряддардын тобунун ($q_1, q_2, q_3, \dots, q_n$) мейкиндиктин кандайдыр бир чекитиндеги түзгөн жалпы талаасын аныктоо үчүн векторлордун кошулуу эрежесин колдонобуз

$$\vec{E} = \vec{E}_1 + \vec{E}_2 + \dots + \vec{E}_n = \sum_{i=1}^n \vec{E}_i \quad (1.6.3)$$

Заряддардын тобунун түзгөн талааларын векторлордун кошулуу закону менен аныктоо суперпозиция эрежеси деп аталат.

1.7. ЭЛЕКТР ТАЛААСЫНЫН ЧЫҢАЛЫШЫНЫН КҮЧ СЫЗЫКТАРЫ ЖАНА АГЫМЫ

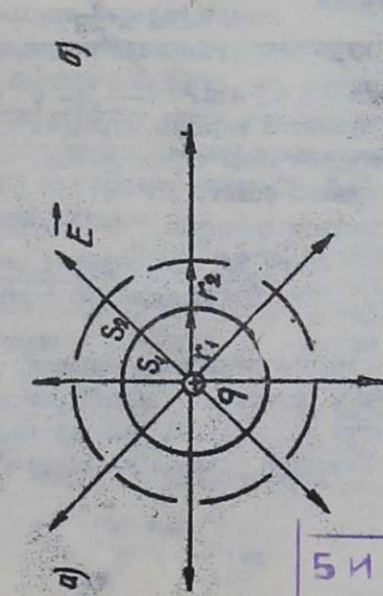
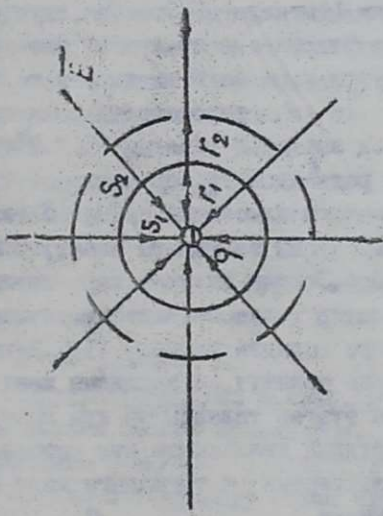
Электр талаасын, аналитикалык формуланын (1.5.2) жардамы менен, мейкиндиктин ар бир чекиттери үчүн эсептеп тургузулган чыңалыш векторлору аркылуу көргөзүүгө болот (1.7.1^а-чийме). Мындай татаал сүрөттөлүштү менен күй күч сызыктарын жардамы менен график түрүндө көрсөтүү ыңгайлуу. Электр талаасынын чыңалыш векторлорунун күч сызыктары, алардын ар бир чекитине жүргүзүлгөн жана сызыктар, ошол чекиттердеги электр талаасынын чыңалыш векторлорунун багыттары менен келгендей кылып сызылат (1.7.1^б-чийме). Талаанын чыңалышынын чоңдугу күч сызыктардын тыгыздыгы аркылуу көрсөтүлөт. Берилген заряддан



1.71-ЧУММЕ

1.72-ЧУММЕ

1.73-ЧУММЕ



БИБЛИОТЕКА
 ЛЕСИЙ ОУЛ С ОНН. В
 УИ В С Е.
 ИНВ. №

Белгилүү аралыкта, күч сызыктарга тик (E) жайланышкан S тегиздиктин бирдик аянтын тешип өткөн сызыктардын саны (n), ошол аянтка туура келүүчү электр талаасынын чыңалышына (E), барабар же түз пропорциялаш болгондой кылып жүргүзүшөт, б.а.

$$n = \frac{N}{S} \approx E$$

Мында S -тегиздиктин аянты, N -тегиздикти кесип өткөн күч сызыктардын жалпы саны, n -бирдик аянтка туура келүүчү күч сызыктардын саны (тыгыздыгы). Ошентип, күч сызыктардын жардамы менен көрсөтүлгөн сүрөттөлүштөн электр талаасынын чыңалышынын чоңдугун жана багытын аныктоого болот экен. Мисал катары чекиттүү оң жана терс заряддардын электр талаасынын күч сызыктары оң заряддан тараган (1.7.2^а-чийме) жана терс зарядка кирген радиалдык түз сызыктардын (1.7.2^б-чийме) тобун түзүшөт. Заряддан алыстаган сайын S тегиздиги аркылуу өткөн, күч сызыктардын тыгыздыгы азаят, б.а. талаанын чоңдугу да кичирейет. Эгерде оң жана терс заряддардын системасынын түзгөн электр талаасын карасак, күч сызыктар оң заряддан башталып терс зарядка киришет (1.7.3-чийме). Ошондой, эле 1.7.4-чиймеде чекитүү оң заряддын жана терс заряддалган жалпак нерсенин түзгөн талаасынын күч сызыктары көрсөтүлгөн.

Чекиттик заряддын талаасынын күч сызыктарына дагы көңүл бурсады. Күч сызыктардын n тыгыздыгы шарт боюнча анын чоңдугуна пропорциялаш

$$n \approx E \approx k \frac{q}{r^2}$$

ая өми зарядды курчаган тегиздиги аркылуу өткөн сызыктардын саны

$$N = ES = E \cdot 4\pi r^2 = \frac{1}{4\pi\epsilon_0} q$$

б.а. ар кандай аралыкта зарядды курчаган түрк бетти тешип өткөн күч сызыктардын саны турактуу жана берилген q зарядына түз пропорциялаш болот.

Ошентип, электр талаасынын күч сызыктары оң заряддан башталып чексизге кетет же терс зарядка келип бүтөт, б.а. электр талаасын булагы болуп заряддар эсептелет (1.7.2-чийме).

Заряддалган татаал калыптагы нерселер үчүн электр талаасынын чыңалышын эсептөө көп кыйынчылыктарга алып келет жана анын сүрөттөп көрсөтүү да жөнөкөй иш эмес. Бул учурда Остроградский-Гауссун теоремасын колдонуу зарыл.

18. ЭЛЕКТР ТАЛААСЫНЫН ИНДУКЦИЯ ВЕКТОРУ. ОСТРОГРАДСКИЙ-ГАУССОВЫЙ ТЕОРЕМАСЫ

Бул теореманы колдонуш үчүн жаңы түшүнүктөрдү киргизүү зарыл: 1. Электр талаасынын индукция же электрдик жылышуу \vec{D} вектору вакуум үчүн $\vec{D} = \epsilon_0 \vec{E}$ (I.8.1) ал эми чекитүү заряд үчүн $D = \epsilon_0 E = \frac{1}{4\pi\epsilon_0} \frac{q}{r^2}$ (I.8.2.) жана бул \vec{D} век-

торунун багыты вакуумда \vec{E} векторуна менен дал келет. График түрүндө сүрөттөш үчүн электрдик жылыш күч сызыктары колдонулат. Бул күч сызыктардын багыты электр талаасынын чыңалыш \vec{E} векторунун багыты менен дал келет жана тыгыздыгы индукция векторуна пропорциялаш болот.

2. Электр индукция векторунун агымы N .

Жалпак S тегиздигин алып, бир бетине n нормалын (чондугу бирге болгон перпендикуляр) тургузалы. Бул нормал менен бир тектүү талаанын күч сызыктары d бурчу түзүшсүн. Бетти тетиш өткөн күч сызыктардын жалпы саны (I.8.1-чийме)

$$N = D \cdot S \cos \alpha = D_n S \quad (I.8.3)$$

Электр индукция векторунун агымы деп аталат $D_n = D \cos \alpha$ - индукция векторунун нормалга болгон проекциясы.

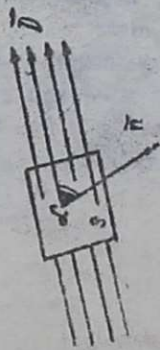
Күч сызыктардын тыгыздыгы (N/S) индукция векторуна барабар экен, б.а. бирдик бет аркылуу өткөн күч сызыктардын саны электр индукциясына барабар болот.

Эгерде электр талаасы бир тектүү болбосо, S беттин өң мадда элементардык беттерге бөлөбүз. Ар бир мындай элементардык бетти, ар бири аркылуу өткөн күч сызыктар бир тектүү болгондой кылып тандоо керек. Мындай элементардык бет аркылуу өткөн жылышуу векторунун агымы $dN = D_n dS$. Жалпы аянт S аркылуу өткөн жылышуу агымы

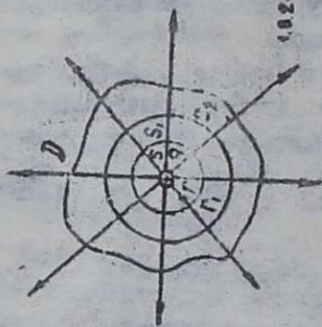
$$N = \int D_n dS = \int D \cos \alpha dS$$

Эгерде α бурчу 90° градустан аз болсо $\cos \alpha > 0$, бетти өткөн агым ($N > 0$) оң болот, б.а. күч сызыктар нормал тургузулган беттен чыгат. Эгерде $\alpha > 90^\circ$, $\cos \alpha < 0$, агым терс деп алынат. Чекитүү q зарядынын түзгөн индукциясынын агымын эсептеп көрөлү. Борбору зарядда жаткан жана аны курчаган тулк сфераны жүргүзөлү. Анын сырткы бетине \vec{n} нормал тургузалы (I.8.2-чийме). Анда индукциянын агымы

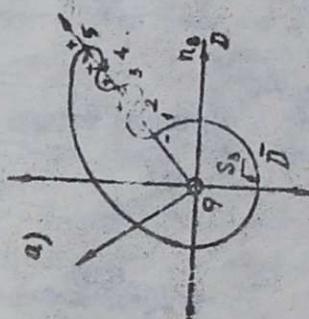
$$N = DS = \frac{1}{4\pi\epsilon_0} \frac{q}{r^2} \cdot 4\pi r^2 = q \quad (I.8.4)$$



1.81-құрне



1.82-құрне

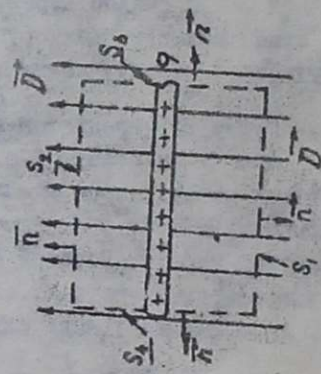


a)

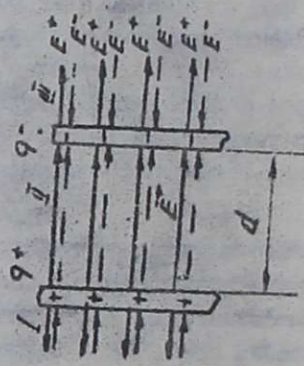
b)



1.83-құрне



1.91-құрне



1.92-құрне

заряддын чоңдугуна барабар болот.

Бул туунтма, борбору зарядка дал келген сфера үчүн эле туура болбостон, сферанын ичинин ар кандай чекитинде жайланышкан чекитүү заряд үчүн да туура болот,

$$N = \oint_S D_n dS = q \quad (I.8.5)$$

Себеби турук бетти тешип өткөн күч сызыктардын саны чекитүү заряддын жайланышкан абалына көз каранды болбойт. Эгерде, зарядды курчаган беттин калыбы сфера болбосо да (S_2), бирок ар бир күч сызык бул бетти бир жолу тешип өтсө, мурдагыдай эле электр агымы заряддын чоңдугуна ($N=q$) болот.

Эгерде "бырыккан" S_3 бет курчаган заряддын индукциясын эсептеп көрөлү. Мында кээ бир сызык ар бул бетти бир нече жолу тешип өтүшү мүмкүн (I.8.3-чиде). Агымды эсептеш үчүн, күч сызык тешип өткөн беттин ар бир чекиттерине нормал тургузубуз. Анда биринчи чекиттен чыккан агым оң $N > 0$, $\vec{D} \parallel \vec{n}$ экинчи чекит үчүн $\vec{D} \parallel \vec{n}$ күч сызыктын багыты нормалга тескери багытталгандыктан агым тескери $N < 0$. Ошентип I жана 2, 3 жана 4-чекиттердин агымдардын калпы суммасы нөлгө барабар жана 5-чекиттен чыккан агым гана калат.

Ошентип мурдагыдай эле $N=q$. Ошондой эле эгерде биз таңдаган турук тегиздик (S_4) зарядды курчабаса, электр индукциясынын агымы нөлгө барабар экендигин оңой эле көрүүгө болот.

Биз жогоруда чекитүү заряддын индукциясынын агымы, ал заряддын турук беттин ичиндеги жайланышкан абалына көз каранды эмес экендигине ишендик.

Демек, турук беттин ичинде бир нече заряддар жайланышса, алардын түзгөн индукция агымы ошол заряддардын алгебралык суммасына барабар экендигин оңой эле ишенүүгө болот.

$$N = \oint_S D_n dS = \sum_{i=1}^k q_i \quad (I.8.6.)$$

Бул туунтма Остроградский-Гауссстун теңдемесинин математикалык аныктамасы болуп эсептелет, б.а. Турук беттен чыккан электр индукциясынын агымы ошол беттин ичинде жайланышкан заряддардын алгебралык суммасына барабар.

Электр индукция векторунун өлчөө бирдиги: $[D]$ системасында (I.8.4) формуладан

$$[D] = \frac{[q]}{[S]} = \frac{Кл}{м^2}$$

$$\text{СГС}_9 \text{ системасында } [D] = 1 \frac{\text{СГС}_9}{\text{см}^2}$$

1.9. ОСТРОГРАДСКИЙ-ГАУССТУН ТЕОРЕМАСЫН КОЛДОНУУНУН МИСАЛДАРЫ.

1. Бир калыпта заряддалган чексиз тегиздиктин электр талаасы

Мындай тегиздиктин электр талаасын (1.8.6.) – формуланы пайдаланып табабыз жана зарядды белгилүү деп эсептейбиз. Адегенде заряддар түзгөн \vec{D} индукциянын күч сызыктарын көрсөтөбүз жана алар буд тегиздикке перпендикуляр болоруна оңой эле ишенүүгө болот (1.9.1-чийме). Белгилүү аяктагы заряддарды, 1.8.6-формуланы интегралдоого оңой болгондой калыптагы туюк бет менен курчообуз керек. Биздин шартта мындай бет катары тик бурчтуу параллелограмманы алуу ыңгайлуу. 1.9.1-чиймеде заряддалган тегиздиктин жана андагы туюк беттин кесилишин көрсөтүлгөн. Бул параллелограмманын төмөнкү (S_1) жана жогорку S_2 негиздери барабар, каптал беттери S_3 жана S_4 барабар болушат. Ушул тегиздиктердин сырткы беттерине нормаль \vec{n} тургузабыз. Эми Остроградский-Гауссстун формуласын (1.8.6) төмөндөгүдөй жазууга болот

$$\oint D_n dS = D_n S_1 + D_n S_2 + D_n S_3 + D_n S_4 = q \quad (1.9.1)$$

S_1 жана S_2 беттерине тургузулган нормалдар индукция векторуна жарыш болгондуктан, $D_{n3} = D_{n4} = 0, \cos \alpha = 1$ болот, ал эми S_3 жана S_4 беттерине тургузулган нормалдар индукция векторуна перпендикуляр ($\vec{D} \perp \vec{n}$) болгондуктан, $D_{n3} = D_{n4} = 0$. Параллелограмдын S_1 жана S_2 беттери барабар экендигин эске алып, 1.9.1-формуладан

$$2DS = q \quad (1.9.2)$$

туунтманы алабыз.

Мындан $D = \frac{q}{2S}$ таап, $\frac{q}{S} = \sigma$ – тегиздиктин бирдик бетине туура келген заряддардын чоңдугу, же болбосо заряддардын беттик тыгыздыгы деп белгилесек

$$D = \frac{\sigma}{2} \quad (1.9.3)$$

алабыз, б.а. бир калыпта заряддалган чексиз тегиздиктин электр индукциясы, заряддардын беттик тыгыздыгынын жарымына барабар.

1.8.1-формулаы колдонуп, электр талаасынын ыңалышын табыз

$$E = \frac{D}{\epsilon_0} = \frac{\sigma}{\epsilon_0} \quad (1.9.4)$$

Берилген заряддар үчүн D жана E турактуу чоңдуктар болушуп, аралыкка көз каранды эмес экен б.а. мындай заряддалган тегиздиктин айланасындагы мейкиндиктин ар кандай чекиттеринде электр талаасы бирдей болот экен. Мындай талааны бир тектүү (кальптагы) талаа деп атап кошат жана аны бирдей тыгыздыктагы жарыш күч сызыктар менен сүрөттөп көрсөтүшөт (1.9.1-чийме).

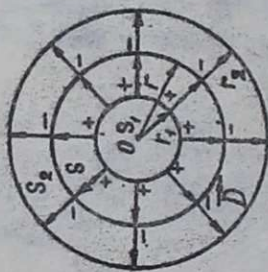
2. Жалпак конденсатордун электр талаасы. Мындай конденсатор катары эки жарыш жалпак тегиздиктердин катарын карайбыз (1.9.2-чийме). Конденсатордун тегиздиктеринин бирөөнө $q+$ заряддын берсек, экинчиси ошондой эле терс заряддалат ($q- = q-$). Бул заряддалган тегиздиктердин ар бирөөнүн түзгөн талааларынын күч сызыктарын сызгалы. Оң заряддардын күч сызыктары E_+ тугал, ал эми терс заряддалган тегиздиктен чыккан E_- күч сызыктар үзгүлтүктүү жарыш сызыктар түрүндө көрсөтүлгөн. Тегиздиктердеги оң жана терс заряддар барабар ($q- = -q+$) болгондуктан, 1.9.4-формуладан алар түзгөн талаалар да чоңдуктары боюнча бирдей, ($|E_+| = |E_-|$). Ошондуктан, конденсатор өөлөгөн мейкиндиктин I жана III бөлүмдөрүндө, $E_+ + E_-$

бул талаалар карама-каршы багытталып, жалпы суммасы нөлгө барабар. Ал эми бул тегиздиктердин ортосунда (II-бөлүм) $E_+ + E_-$ бул векторлор бир жакты көздөй багытталгандыктан кошулушат жана жалпы электр талаасы $E = E_+ + E_- = 2E_+$ болот. 1.9.4-формулаы эске алсак, конденсатордун ичиндеги электр талаасынын ыңалышы

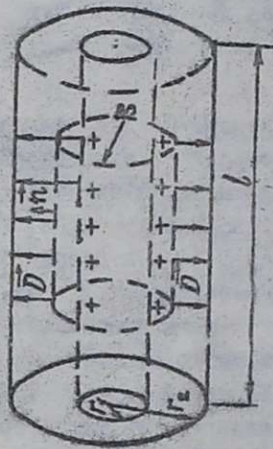
$$E = 2E_+ = \frac{\sigma}{\epsilon_0} \quad (1.9.5.)$$

барабар болот, б.а. заряддалган бир тегиздиктикке салыштырганда эки эсе чоң болот. Ошентип, мындай заряддалган конденсатордун электр талаасы сыртында жок болуп, ал эми ичинде бир тектүү талаа пайда болот экен.

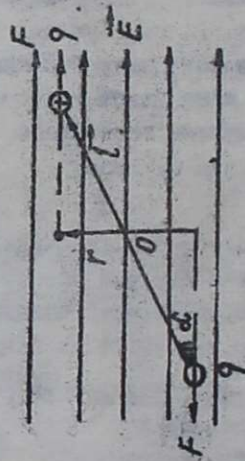
3. Бир кальпта заряддалган сферанын электр талаасы. Борборлош заряддалган эки шардын (шар конденсаторунун) ортосундагы электр талаасын карайлы (1.9.3.-чийме) ички шардын



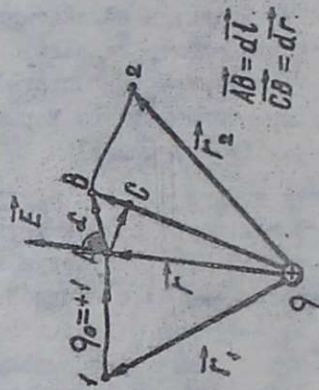
1.9.3 - ЧИՈՒՄԵ



1.9.4 - ՎՈՒՄԵ



1.10.1 - ՎՈՒՄԵ



2.4.1 - ՎՈՒՄԵ

радиусу r_1 , сырткыныкы r_2 болсун. Эгерде сырткы шарга q -заряддын берсек, ички шарда ошондой эле чоңдуктагы оң заряд пайда болот ($q_- = q_+ = q$). Оң жана терс заряддар бири бири менен тартышкандыктан, оң заряд ички шардын сырткы бетине, ал эми терс заряддар сырткы шардын ички бетине жайланышат. Бул заряддардын түзгөн электр талаасынын күч сызыктары ички шардагы оң заряддардан башталып, сырткы шардагы терс заряддарда бүткөн радиалдык сызыктардан болушат. Ички шардагы заряддарды курчаган туок бет катары радиусу болгон конденсаторго борборлош S сфераны алабыз. Остроградский-Гауссстун теоремасынан $N = DS = D \cdot 4\pi r^2 = q$

ал эми мындан индукция вектору

$$D = \frac{1}{4\pi} \cdot \frac{q}{r^2} \quad (\text{I.9.6.})$$

Талаанын чыңалышы үчүн

$$E = \frac{1}{4\pi\epsilon_0} \cdot \frac{q}{r^2} \quad (\text{I.9.7})$$

туунтмаларды алабыз.

Ашыкы формулалар чекиттүү заряддын түзгөн талаасынын туунтмасы менен дал келет б.а. заряддалган шардын сыртындагы электр талаасы, ошол шардын борборунда жаткан заряддар түзгөн электр талаасына барабар болот экен. Биз жогоруда, шар конденсаторунун ички шарынын ичинде, сырткы шарынын сыртында электр талаасы болбой тургандыгын көрсөтүк. I.9.6. жана I.9.7.-формулалардан электр талаасын мүнөздөөчү чоңдуктар

D жана E сырткы шардын r_2 радиусуна көз каранды эмес экендигин байкайбыз. Эгерде жалгыз шар көлөмү боюнча бирдей заряддалса, анда электр талаасы анын борборунда гана жок болот, да ал эми шардын ичинин калган чекиттеринде радиустун өсүшү менен электр талаасынын чыңалышы радиусуна пропорциялаш болуп чоңоет, б.а.

$$q \sim r^3, \quad E \sim 4\pi r^2 \sim r^2$$

Демек $E \sim r$

$$(\text{I.9.II})$$

Мындай заряддалган шардын сыртындагы электр талаасы I.9.7-формула менен туунтулат.

4. БИР КАЛЫТА ЗАРЯДДАЛГАН ЦИЛИНДРДИН ЭЛЕКТР ТАЛААСЫ.

Октош бири экинчисине кыйгынмаган заряддалган өлк цилиндр-

дин (цилиндр конденсаторунун) электр талаасына кеңүл буралы (1.9.4-чийме). Мурдагыдай эле бул цилиндрдин бирине $+q$ зарядын берсек экинчисине ошондой эле чоңдуктагы терс заряд пайда болот. Цилиндрлердин узундугун алардын радиустарына салыштырганда өтө чоң деп аламы ($l \gg r_1, r_2$). Мындай цилиндрди чексиз узун деп кароого болот. Заряддардын түзгөн электр талаасынын күч сызыктары цилиндрдин радиусу боюнча багытталып, ички цилиндрден башталып сырткысында бүтүшөт. Остроградский-Гаустун теоремасын колдонуш үчүн, ички цилиндрдеги заряддарды курчаган радиусу r болгон туюк цилиндрди (S) алабыз. Бул цилиндрдин сырткы бетине n нормалын тургузуп $\vec{D}_n = D$ экендигин көрөбүз. Эгерде цилиндрдин бирдик узундугуна туура келүүчү зарядды деп белгилесек, узундукка жайланышкан заряддардын саны болот.

Биз таңдаган туюк цилиндрдин негиздеринен чыккан талаанын агымы негизге барабар болгондуктан ($\vec{D} \perp n$), цилиндрдин каптал бетинен чыккан электр агымы. Остроградский-Гаустун формуласынан

$$N = D \cdot 2\pi r l = q l$$

же $D = \frac{1}{2\pi} \cdot \frac{q}{r}$ (1.9.12).

же электр талаасынын чыңалышы үчүн

$$E = \frac{1}{2\pi\epsilon_0} \cdot \frac{q}{r} \quad (1.9.13)$$

туюнтманы алабыз. Заряддалган шар сыяктуу эле, талаанын чоңдугу сырткы цилиндрдин радиусунан (r_2) көз каранды эмес экен. Ошондуктан 1.9.12 жана 1.9.13-формуларды бир калыпта заряддалган цилиндрдин электр талаасын мүнөздөйт деп айтууга болот.

1.10. ЭЛЕКТР ТАЛААСЫНДАГЫ ДИПОЛ

Белгилери карама каршы чоңдуктары бирдей болгон эки байланышкан заряддарды электр диполю деп аташат (1.10.1-чийме). Мындай диполду бир тектүү электр талаасына жайлантирсак Заряддарга карама каршы багыттагы эки F күчтөрү таасир этип, O чекитинин айланасында бурулушат.

Бул заряддарга таасир этүүчү күчтүн ийини

$$\vec{M} = [\vec{F} \times \vec{r}] = q l E \sin \alpha \quad (1.10.1)$$

б.а. заряддын чоңдугу q менен алардын ортосундагы l аралыгынын көбөйтүндүсүнө жараша болот.

Эгерде биз $ql = p$ диполдун электрдик ийини деп атасак, күчтүн ийинин электрдик ийин менен төмөндөгүдөй байланышат.

$$\vec{M} = [\vec{p} \times \vec{E}] = pE \sin(\vec{p}, \vec{E}) \quad (1.10.2)$$

Диполь электр талаасында анын электрдик ийинин багыты талаанын чыңалышынын багыты менен дал келгенге ($\alpha = 0$) айланат экен.

Электр диполунун жардамы менен физикадагы көп кубулуштар түшүндүрүлөт. Мисалы: диэлектриктердеги атомдорду жана молекулаларды, көз бир кристаллдардагы молекулаларды, өткөргүчтүн бечиндисиин, электр талаасында диполдор катары каралышат.

Глава- 2. Потенциал, потенциалдардын айырмасы

2.1. Электростатикалык талаанын жумушу

Электр талаасынын касиетин тереңирөөк түшүнүш үчүн потенциалдардын айырмасы же электрдик чыңалуу деген түшүнүктөр киргизилет. Ал үчүн кыймылсыз турган q заряддын электр талаасындагы q_0 зарядды жылдыруудагы аткарылган жумушту карайлы (2.1.1-чийме). Кыймылсыз заряддын түзгөн талаасы электростатикалык деп аталат. Тынч турган $+q$ заряддын түзгөн чыңалышы болгон талаада 1-чекиттен 2-чекитке өлчөгүч заряд $q_0 = +1$ жылып жумуш аткарылсын. Адегенде dl аралыкка жылганда элементардык жумуш

$$dA = Fd \cos \alpha = Fdr = \frac{1}{4\pi\epsilon_0} \frac{qq_0}{r^2} dr \quad (2.1.1)$$

аткарылат, мында $dr = dl \cos \alpha$. Ал эми 1-чекиттен 2-чекитке зарядды жылдырууга жумшалган жумуш төмөндөгүдөй аныкталат

$$A_{1,2} = \int^2_1 dA = \frac{qq_0}{4\pi\epsilon_0} \int_{r_1}^{r_2} \frac{dr}{r^2} = \frac{qq_0}{4\pi\epsilon_0} \left(\frac{1}{r_1} - \frac{1}{r_2} \right) \quad (2.1.2)$$

мында r_1 жана r_2 өлчөгүч заряддын 1-жана 2-чекиттеги абалдарын мүнөздөөчү радиус-векторлор.

Бул туунтмадан, электростатикалык талаада аткарылган жумуш жылуучу заряддын баштапкы жана аяккы абалдарына гана көз каранды болуп, басып өткөн жолдун узундугуна жараша болбойт экен.

Миңдай талаа потенциалдуу деп аталат. Ошол эле заряддын акыркы абалдан мурдагы абалга (I-чекитке) келгендеги жумушун карасак (2.1.2-чийме), ал

$$A_{21} = \frac{q q_0}{4\pi \epsilon_0} \left(\frac{1}{r_2} - \frac{1}{r_1} \right) \quad (2.1.3.)$$

барабар жана $A_{21} = -A_{12}$ болоруна оңой эле итэнүүгө болот. Эми ушул заряддын I-чекиттен чыгып, I-а-2 жолду басып, кайра 2-в-I кол менен баштапкы абалына айланып келгендеги толук жумушту эсептесек

$$A = A_{12} + A_{21} = A_{12} - A_{12} = 0 \quad (2.1.4)$$

нөлгө барабар болорун алабыз, б.а. электростатикалык талаанын заряддын турук жол боюнча жылдыруудагы жумушу нөлгө барабар экен, 2.1.4 туунтманы төмөндөгүдөй жазууга болот

$$A = \oint_{1-2-1} \vec{F} \cdot d\vec{l} = \oint_L q_0 E dl \cos \alpha = q_0 \oint_L E_{\parallel} dl = 0$$

Миңда q_0 - турук L жолу боюнча интегралдын белгиси $E_{\parallel} = E \cos \alpha$ электр талаасынын заряд басып, өткөн жолуна түшкөн проекциясы б.а.

$$\oint_L E_{\parallel} dl = 0$$

(2.1.6)

Бул туунтма электр талаасынын циркуляциясы деп аталат, электр талаасынын бирдик заряддын $q_0 = 1$ турук L жолу боюнча аткарган жумушун мүнөздөйт. Эгерде талаанын циркуляциясы нөлгө барабар болсо, талаанын потенциалдуу деп аташат. Демек электростатикалык талаа потенциалдуу экен. Физикалык мааниси-электростатикалык талаа оң заряддардан башталып терс заряддарга киришет (1.7.3.-чийме), б.а. талаанын күч сызыктары турук болушбайт. Биз кыймылсыз бир заряддын электр талаасындагы жумушту карадык. Эгерде кыймылсыз топ заряддардын электростатикалык талаасындагы аткарылган жумушту карасак, каяны жумуш

$$A = \sum_{i=1}^N A_i \quad (2.17)$$

ар бир заряд түзгөн талаанын аткарган A_i жумуштарынын алгебралык суммасына барабар болот. Ар бир заряд түзгөн электр талаасы потенциалдуу болгондуктан, кыймылсыз заряддардын тобунун түзгөн электр талаасы да потенциалдуу (электро-

статикалык) болот.

2.2. Потенциал. Потенциалдардын айырмасы. Электр талаасынын чыңалышы менен потенциалдар айырмасынын байланышы.

Электростатикалык талаанын аткарган жумушуна (2.1.2) дагы көңүл буралы,

$$A_{1,2} = \frac{q q_0}{4\pi\epsilon_0} \left(\frac{1}{r_1} - \frac{1}{r_2} \right) = \frac{q q_0}{4\pi\epsilon_0 r_1} - \frac{q q_0}{4\pi\epsilon_0 r_2}, \quad (2.2.1)$$

Механикадагы потенциалдуу талаадагы аткарылган жумуш менен потенциалдуу энергиялар жөнүндөгү түшүнүктөрдү эстеп, электростатикалык талаанын аткарган жумушуна (2.2.1) салыштырып, барабардыктын оң жагындагы мүчөлөрдү

$$\frac{1}{4\pi\epsilon_0} \frac{q q_0}{r_1} = W_{p_1}, \quad \frac{1}{4\pi\epsilon_0} \frac{q q_0}{r_2} = W_{p_2} \quad (2.2.2)$$

q заряды түзгөн электр талаасындагы өлчөгүч q_0 зарядынын биринчи (r_1) жана экинчи (r_2) абалдарындагы потенциалдык энергиясы деп алсак болот, б.а.

$$A_{1,2} = W_{p_1} - W_{p_2} \quad (2.2.3)$$

Эгерде биз бул потенциалдык энергиялардын өлчөгүчдөгү зарядка болгон катышын алсак,

$$\frac{W_{p_1}}{q_0} = \frac{1}{4\pi\epsilon_0} \frac{q}{r_1} = \varphi_1, \quad \frac{W_{p_2}}{q_0} = \frac{1}{4\pi\epsilon_0} \frac{q}{r_2} = \varphi_2 \quad (2.2.4)$$

бул чоңдуктар талааны түзгөн q зарядынын чоңдугуна жана өлчөгүч заряддын мейкиндиктеги абалына (r_1, r_2) гана көз каранды болот экен. Ошондуктан, бул чоңдуктарды электростатикалык талааны мүнөздөөчү чоңдук катары пайдаланууга болот жана алар талаанын берилген чекиттеги потенциалы деп аталат. Потенциал сан жагынан талаанын берилген чекитиндеги бирдик оң заряддын потенциалдык энергиясына барабар.

Аткарылган жумушту ($A_{1,2}$) талаанын потенциалдары аркылуу төмөнкүдөй жазып алууга болот

$$A_{1,2} = W_{p_1} - W_{p_2} = q_0(\varphi_1 - \varphi_2) = -q_0(\varphi_2 - \varphi_1). \quad (2.2.5)$$

талаанын потенциалын жумуш аркылуу өлчөөгө болот экен, бирок талаанын берилген чекитиндеги потенциалды аныкташ үчүн анын башка чекитиндеги потенциалы белгилүү болуш керек. Демек, талаанын экинчи чекитин чексизде жайланышат ($r_2 \rightarrow \infty$)

деп алышат жана $\varphi_2 = 0$ болот. Мындай шартта биринчи чекиттеги потенциал

$$\varphi_1 = \frac{A_{1\infty}}{q_0}$$

электр талаасынын бирдик оң зарядды берилген чекиттен чексизге жылдырган жумушка барабар болот экен.

$$\varphi_2 - \varphi_1 = \Delta\varphi = U_{21} = U \quad (2.2.6)$$

Бул туунтма, талаадагы потенциалдардын айырмасы ($\Delta\varphi$) же чыңалуусу же чыңалуунун төмөндөлү (U) деп аталат.

2.2.5 - 2.2.6 - формулалардан

$$\Delta\varphi = \varphi_2 - \varphi_1 = A_{21}/q_n \quad (2.2.7)$$

потенциалдардын айырмасы талаанын экинчи (r_2) чекитинен биринчи (r_1) чекитине бирдик оң зарядды жылдыргандагы жумушка барабар экен.

Олентин потенциал, потенциалдардын айырмасы же чыңалуу электр талаасын энергетикалык (жумуш аркылуу) мүнөздөөчү чоңдук экен. Эми электр талаасын мүнөздөөчү күчтүк (вектордук) чоңдук - талаанын чыңалышы E менен потенциалдардын айырмасынын ортосундагы байланышты табайлы.

2.2.5. жана 2.1.6 формулалардан

$$\text{Мындан } A_{12} = -q_n(\varphi_2 - \varphi_1) = -q_n U = +q_n \int_{r_2}^{r_1} E_{\parallel} dl \quad (2.2.8)$$

бул туунтмада dl - потенциалдын өзгөрүшү, dl - жылыш вектору. dU/dl - потенциалдын берилген багыт боюнча өзгөрүшүнүн ылдамдыгын мүнөздөйт. Жылыш жөнүнөн электр талаасынын чыңалышын E потенциалдын градиенти аркылуу байланыштырып көрсөтүшөт,

$$\vec{E} = -\text{grad } \varphi \quad (2.2.9)$$

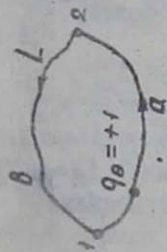
Скалярдык ар кандай φ чоңдугунун градиенти ошол чоңдуктун тээ өсүүчү багыты менен дал келүүчү вектор болуп эсептелет, б.а. электр талаасынын чыңалышы терс белгидеги потенциалдын градиентине барабар.

Потенциал же чыңалуунун өлчөө бирдиги:

СИ системасында $[\varphi] = [U] = \text{Вольт (В)}$

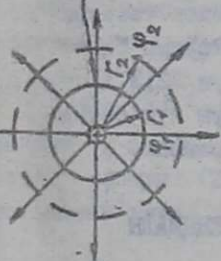
СГСЭ системасында $[\varphi] = [U] = \text{сгс}_u$

Эквипотенциалдуу бет - потенциалдары бардык чекиттеринде бирдей болгон бетти аташат. Эквипотенциалдуу беттин жардамы менен электр талаасын график түрүндө көрсөтүүгө болот.

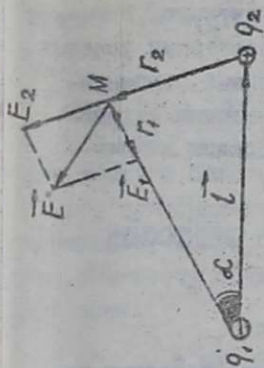


2.1.2 - қуәме.

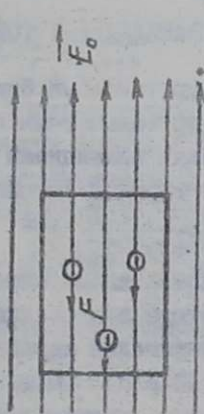
Э-дың потенциалдық беті



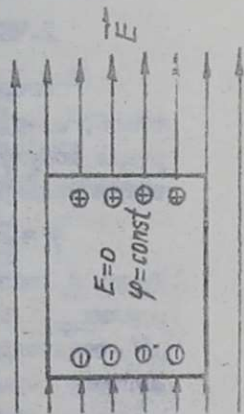
2.3.1 - қуәме



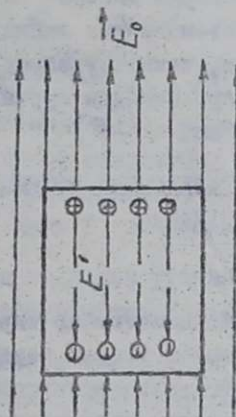
2.3.2 - қуәме



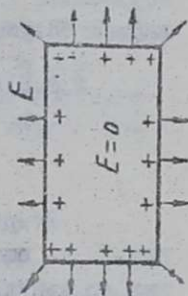
3.1.1 а қуәме



3.1.2 а қуәме



3.1.1 б қуәме



3.1.2 б қуәме

Потенциалдары бирдей болгон чекиттерди бириктирип, эквивалент потенциалдуу сызыктарды алабыз. Электр талаасынын чыңалышы \vec{E} вектору эквипотенциалдык линияларга дайыма перпендикуляр болот. Мисалы, чекиттүү заряддын талаасынын эквипотенциалдык сызыктары зарядды курчаган борборлош айланалардан болушат. (2.3.1-чийме)

2.3. ЭЛЕКТР ТАЛААСЫНЫН ПОТЕНЦИАЛДАРЫН АНЫКТОСНУН МИСАЛДАРЫ

1. Чекиттүү заряддын потенциалы

Эгерде мейкиндиктин ар бир чекитинде талаанын чыңалышы же ошол талааны түзгөн заряд белгилүү болсо, талаанын ар кандай чекитиндеги потенциалды аныктоого болот. Аныктама боюнча талааны потенциалы ошол берилген чекиттен бирдик оң зарядды чексизге жылдырууга зарыл кумушуна барабар

$$\varphi = \frac{A_{\infty}}{q_0} = \int_r^{\infty} E dr = \frac{q}{4\pi\epsilon_0} \int_r^{\infty} \frac{dr}{r^2} = \frac{1}{4\pi\epsilon_0} \frac{q}{r} \quad (2.3.1)$$

Б.а. чекиттүү q заряддын потенциалы аралыкка тескери пропорциялаш болуп өзгөрөт жана эквипотенциалдык бетте борборлош, зарядды курчаган сфералар болушуп (2.3.1-чийме), электр талаасынын чыңалыш векторлорунун күч сызыктары бул сфералык беттерге перпендикуляр болушат.

2. ЧЕКИТТҮҮ ЗАРЯДДАРДЫН ТӨБҮНҮН ПОТЕНЦИАЛЫ

Эгерде электр талаасын бир нече чекиттүү заряддар түзсө, алардын электр талаасынын чыңалыштары векторлор түрүндө кошулуша, жалпы потенциалы ар бир заряддын түзгөн потенциалдарынын алгебралык суммасына барабар болот,

$$\varphi = \sum_{i=1}^N \varphi_i = \frac{1}{4\pi\epsilon_0} \sum_{i=1}^N \frac{q_i}{r_i} \quad (2.3.2)$$

Мында q_i заряддан потенциалды өлчөөчү чекитке чейинки r_i аралык. Мисал катары электр диполунун түзгөн талаасынын M -чекитиндеги потенциалын карайлы (2.3.2-чийме) ($q_1 = -q_2 = q$) жогорку формуладан (2.3.2) M чекитиндеги потенциал

$\varphi = \frac{q}{4\pi\epsilon_0} \left(\frac{1}{r_2} - \frac{1}{r_1} \right)$ аныкталат.

Эгерде $\cos \alpha = r_1, r_2$

болсо $r, r_2 \approx r^2$

$r_1 - r_2 = l \cos \alpha$ болот, анда

$$\varphi = \frac{1}{4\pi\epsilon_0} \frac{q \cos \alpha}{r^2} = \frac{1}{4\pi\epsilon_0} \frac{q \cos \alpha}{r^2} \quad (2.3.3)$$

деп жазууга болот, б.а. потенциал диполдун электр ийини \vec{p} түз пропорциялаш, аралыктын квадратына тескери пропорциялаш, болуп, диполго салыштырмалуу талаанын потенциалын аныктоочу чекиттин абалына (α бурчунда) караба болот экен.

3. ШАР КОНДЕНСАТОРУНУН ПОТЕНЦИАЛЫ.

Шар конденсаторунун электр талаасынын чыңалышын (E) § 1.9 караганбыз (1.9.3-чийме). Эми ошол талаанын потенциалын аныктайты. Электр талаасы шарлардын ортосунда гана болгондуктан потенциалды да талаа бар мейкичиكتен издейбиз. Борбордон кандайдыр бир аралыгындагы потенциал

$$\varphi = \int_{r_1}^{r_2} E dr = \frac{q}{4\pi\epsilon_0} \int_{r_1}^{r_2} \frac{dr}{r^2} = \frac{q}{4\pi\epsilon_0} \left(\frac{1}{r_1} - \frac{1}{r_2} \right) \quad (2.2.4)$$

барабар болот. Конденсатордун ички жана сырткы шарларынын радиустары r_1, r_2 турактуу болгондуктан,

$$\varphi_0 = \frac{q}{4\pi\epsilon_0} \left(\frac{1}{r_1} - \frac{1}{r_2} \right) \quad (2.2.5) \text{ турактуу чоңдук болот.}$$

Мындан $q = 4\pi\epsilon_0 \varphi_0 \frac{r_2 r_1}{r_2 - r_1}$ (2.2.5)

заряд q нун (2.2.5) маанисин (2.2.4) формулага коюп, потенциал үчүн

$$\varphi = \varphi_0 \frac{(r_2 - r_1) r_2}{r(r_2 - r_1)} \quad (2.2.6)$$

турнтманы алабыз. Берилген конденсаторго белгилүү q зарядын берсек φ_0 турактуу чоңдук болот. 2.2.6 формуланы пайдаланып, шар конденсаторунун ичиндеги ар кандай чекиттеги (r) потенциалды аныктоого болот.

Глава- 3. ЭЛЕКТР ТАЛААСЫНДАГЫ ӨТКӨРГҮЧТӨР

3.1. Өткөргүчтөрдүн электр талаасындагы абалы

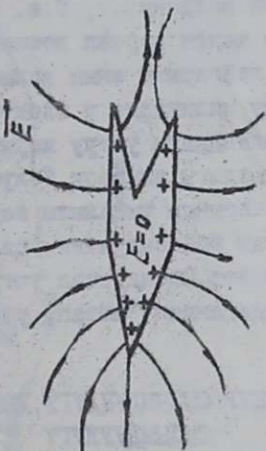
Өткөргүчтөрдө эркин электрондор болгондуктан, кандайдыр сырткы күчтүн таасири астында алар өткөргүч боюнча

кыла алышат. Эгерде өткөргүчтүн бир бөлүгүн электр талаасына жайгаштырсак, андагы электрондорго электр талаасы таасир этип ($\vec{F} = e\vec{E}$), багытталган кыймылга келишип, токтун пайда кылышат. Бирок, бул ток өтө кичине убакытта эле токтоп калат. Себеби, электрондор өткөргүчтүн чыгып кете албайт да анын бир учуна жыйналат, ал эми карама каршы учуна оң заряддар чогулат (3.1.1.-чийме). Мындай абалды (ток токтогондо) оң жана терс заряддардын тең салмактуу абалы менен түшүндүрүлөт жана ал үчүн төмөнкү шарттар талап кылынат: 1. Өткөргүчтүн ичинде электр талаасы жок ($E=0$), же өткөргүчтүн ичинде потенциал турактуу болот ($\varphi = const$) (3.1.2^a-чийме).

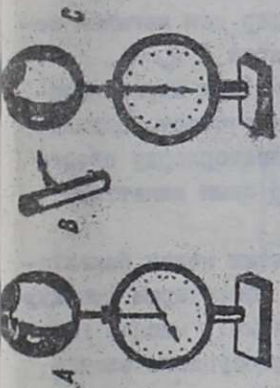
2. Өткөргүчтүн сырткы бетинин ар бир чекитинде электр талаасынын чыңалышынын күч сызыктары перпендикуляр багытталат. Ошондуктан өткөргүчтүн сырткы бети эквипотенциалдык бет болот. (3.1.2б-чийме). Эгерде өткөргүчтү заряддасак, анда заряддар тең салмактуулук сакталгандай болушуп жайгарышат (3.1.2^b-чийме). Өткөргүчтүн ичинде электр талаасы жок болгондуктан, Остроградский-Гауссстун теоремасы боюнча заряддардын суммасы да нөлгө барабар болот. Ал эми сырттан берилген заряддар өткөргүчтүн сырткы бетине тең салмактуулуктун шарттары сакталгандай болуп жайгарышат. Ошондуктан мындай өткөргүчтүн ички бөлүгүн алып салса да сырткы заряддын жайгарышына таасирин тийгизбейт. Мисал катары ичи көңдөй металлдан жасалган шарды изоляторго бекитип заряддайбыз. Учунда металл шарчасы бар изолятордон жасалган В таякчанын С электрометрдин жардамы менен көңдөй А шардагы заряддардын жайгарышын изилдейбиз (3.1.3-чийме) Адегенде А шарчасын заряддайбыз В таякчасын А шарынын тешиги аркылуу ичинде тийгизип анан электрометрге тийгизебиз электрометр өч нерсе көрсөтбөйт. Эгерде В таякчасын А шарынын сырткы бетине анан С электрометрине тийгизсек анын жибеси кыйшат. Демек, көңдөй металлдан жасалган шарды заряддаганда заряддар анын сырткы бетинде гана жайгарышат экен. Экинчи мисал катары, изолятордон жасалган таякчаларга тартылган, эки бетине жеңил кагаз баракчалары илинген металл торчону карайбыз (3.1.4-чийме). Бул торчону заряддасак анда эки бетин-



3.1.4 - QUUIME



3.1.6 - QUUIME



3.1.9 - QUUIME



3.1.5 - QUUIME

деги баракчалар ачылат. Эгер бул торчону туюктап цилиндр жасасак ичиндеги баракчалар түшүп, сыртындагылар көбүрөөк көтөрүлөт, б.а. заряддардын бардыгы торчо цилиндринин сыртына чыгат (3.1.6-чийме). Өткөргүчтүн бул касиети электр аппараттарды сырткы электр талааларынан коргоо (экрандоо) үчүн колдонулат, б.а. аппараттарды металлдан жасалган торчо менен курчап коюшат. Заряддардын металлдардын бетине жайгаришы анын калыбына караша болот. 3.1.6-чиймеде учтуу цилиндрдеги электр зарядынын жайгаришы көрсөтүлгөн. Цилиндрдин учтуу жеринде заряддар тыгызыраак, чункурунда тыгыздыгы азыраак болуп жайланышат.

Электр талаасынын чыңалышы заряддарды тыгыздыгына түз пропорциялаш болгондуктан, цилиндрдин учтуу жеринде талаа күчтүү болот. Ошондуктан учтуу металлдарды белгилүү чондукка заряддагандан баштап, учунан заряддар "учуп" чыга баштайт.

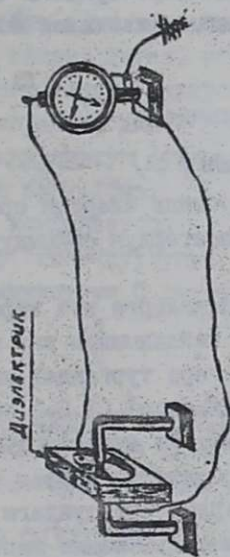
3.2. ЭЛЕКТР СИГНИДУЛУГУ ЖӨНӨНӨЛ КОНДЕНСАТОРДУН СИГНИДУЛУГУ

Ортосундагы электр талаасынын күч сызыктары биринен башталып экинчисинде бүткөн эки өткөргүчтү конденсатор деп аташат. Өткөргүчтөрдүн ортосунда талаа пайда болсун үчүн аларды заряддоо керек. Биринен башталган күч сызыктар экинчисинде бүтсүн үчүн алардагы заряддар сан жагынан барабар, белгилери карама-каршы болушу зарыл ($q_1 = -q_2$).

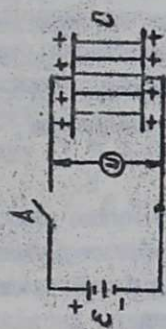
Эң жөнөкөй конденсаторлорго жалпак (эки жарым пластиналар), шар (борборлош эки сфера өткөргүчтөрү, цилиндр (эки ойтөш өткөргүч-цилиндрлер) конденсаторлорду атаого болот. Конденсаторду түзүүчү өткөргүчтөр анын канаттары (обкладкалары) деп аталат.

Конденсаторду чиймеде эки жарым сызык менен белгилешет. Конденсаторду заряддап үчүн анын канаттарын чыңалуунун булагына туташтыруу керек (3.2.1-чийме), мисалы гальваникалык элементеринин батареясынын ортосундагы электр талаасынын чыңалышы алардагы заряддын чоңдугуна түз пропорциялаш.

Конденсаторлордун заряддарды жыйноо жөндөмдүүлүгү



3.2.2 - чүүмө



3.2.1 - чүүмө

электр сыймдуулугу менен мүнөздөлөт. Электр сыймдуулугу (C) конденсатордогу заряддардын чоңдугуна (q) түз пропорциялаш, ал эми обкладкалардын ортосундагы чыңалууга (U) тескери пропорциялаш болгон физикалык чоңдук,

$$C = \frac{q}{U} \quad (3.2.1)$$

Сыймдуулуктун бирдиги СИ системасында

$$[C] = \frac{[q]}{[U]} = \frac{Кл}{В} = \text{Фарада (Ф)}$$

I. Эгерде канаттарына IКл заряд бергенде алардын ортосунда I В чыңалуу пайда болсо, конденсатордун сыймдуулугу I Ф болот.

Конденсатордун сыймдуулугу, эмнелерге көз каранды? Бул суроого жооп бериш үчүн жарыш жайланышкан эки металл дискалардын ортосундагы аралык өзгөрө тургандай кылып изоляторго бекитебиз (жалпак конденсатор) (3.2.2-чийме). Конденсатордун дискаларын электрометрге туташтырабыз. Конденсаторго заряд берилгенде электрометрдин жебеси белгилүү бурчка кыйшат. Электрометр канаттардын ортосундагы чыңалуунун (потенциалдардын айырмасын) өлчөйт. Биздин шартта, конденсатордогу заряддын чоңдугу турактуу ($q = const$).

I. Канаттарды бири биринен алыстатканда электрометрдин жебеси чоңураак бурчка кыйшат, ал эми аларды жакындатсаң чыңалуу азайганын көрөбүз, 3.2.1-формуладан

$$U = \frac{q}{C} \quad (3.2.2)$$

Заряд турактуу болгондуктан, чыңалуунун көбөйтүшү сыймдуулук (C) азайганда болушу мүмкүн, же тескерисинче сыймдуулук көбөйсө чыңалуу азаят. Ошентип, бул тажырыйбадан конденсатордун сыймдуулугу анын канаттарынын ортосундагы аралыкка тескери пропорциялаш экендигин аныктадык,

$$C \sim \frac{1}{d} \quad (3.2.3.)$$

Конденсатордун канаттарын белгилүү аралыкка жайгаштырып ($d = const$) электрометрдин жебесинин абалын байкап, дискаларды жарыш тегиздикте карама-каршы багытта жыдырабыз. Мындай кылганда бири биринин каршысындагы дискалардын аянты өзгөрөт. Мындан биз сыймдуулук дисканын аянтына түз пропорциялаш экендигине ишенебиз

3. Эки канатты белгилүү аралыкка кооп жана заряддап ($d = \text{const}, q = \text{const}$), электрометрдин жебесинин абалын байкап көрөбүз. Эки канаттын ортосуна ар түрдүү диэлектриктерди айнек, кагаз, пластик ж.б. киргизебиз. Диэлектрикти киргизгенде электрометрдин жебесинин төмөнүрөөк түшкөнүн көрөбүз, демек конденсатордун сыйымдуулугу чоңоёт экен. Сыйымдуулуктун өзгөрүшү ар түрдүү заттар үчүн ар башка болорун байкайбыз.

Эгерде конденсатордун канаттарынын ортосунда вакуум болгондогу сыйымдуулугун C_0 , ал эми диэлектрик салынгандагы сыйымдуулугун C деп белгилесек, бул эки чоңдуктун катышы

$$\frac{C}{C_0} = \epsilon$$

(3.2.5)

затты диэлектриктик өтүмдүүлүгү деп аталат. Диэлектриктик өтүмдүүлүк заттардын электрдик касиетин мүнөздөйт кагаз заттын касиетине, абалына жараша болот.

3.3. СЫЙЫМДУУЛУКТУ АНЫКТООНУН МИСАЛДАРЫ

Эгер конденсаторлордогу заряддар q белгилүү болсо, жана заряд аркылуу канаттарынын ортосундагы чыңалуу U аныкталса, сыйымдуулукту табууга болот.

I. Жалпак конденсатордун сыйымдуулугу

Конденсатордун пластиналарынын ортосундагы аралыкты алардын өлчөмдөрүнө салыштырганда өтө кичинекей деп алсак, чексиз өлчөмдүү пластиналардай турган конденсатор үчүн табылган чыңалыштын формуласын колдонсок болот (I.9.5. формуланы кара). Жалпак конденсатордун канаттарынын ортосундагы чыңалуу (I.9.2-сүйдө):

$$U = \int_0^d E dx = \frac{\sigma}{\epsilon_0} \int_0^d dx = \frac{\sigma}{\epsilon_0} d. \quad (3.3.1)$$

Мында $\sigma = q/S$ заряддын беттик тыгыздыгы, d - канаттардын ортосундагы аралык. Бул формуланы сыйымдуулуктун формуласына (3.2.1) кооп

$$C = \frac{q}{U} = \frac{q\epsilon_0}{\sigma d} = \epsilon_0 \frac{S}{d} \quad (3.3.2)$$

Эгерде конденсатордун канаттарынын ортосу диэлектриктик өтүмдүүлүгү ϵ болгон диэлектрик менен толтурулган болсо, анын сыйымдуулугу C эсе чоң боло:

$$\text{б.в.} \quad C = \epsilon \epsilon_0 \frac{S}{d} \quad (3.3.3)$$

Бул туунтмалар (3.3.2) 3.3.3) жалпак конденсаторлордун сыйымдуулугун аныктайт.

2. Шар конденсатору. Эгерде мындай конденсатордогу заряд q болсо, анын канаттарынын ортосундагы чыңалуу 2.2.5-формуланын негизинде (1.9.3 -чийме)

$$U = \frac{q}{4\pi\epsilon_0} \left(\frac{1}{r_1} - \frac{1}{r_2} \right) \quad (3.3.4)$$

барабар мында r_1, r_2 ички жана сырткы сфера канаттарынын радиустары. Анда конденсаторунун сыйымдуулугу

$$C = \frac{q}{U} = \frac{4\pi\epsilon_0}{\frac{1}{r_1} - \frac{1}{r_2}} = 4\pi\epsilon_0 \frac{r_1 r_2}{r_2 - r_1} \quad (3.3.5)$$

барабар болот. Эң четки учурларын карайлы: $r_2 \gg r_1, \frac{1}{r_2} \rightarrow 0$ ал эми сыйымдуулук

$$C = 4\pi\epsilon_0 r_1 \quad (3.3.5)$$

Бул жалгыз шардын сыйымдуулугу деп аталат жана анын радиусуна түз пропорциялаш экен

d /эки сферанын ортосундагы аралык d өтө кичинекей,

б.в. $r_2 \approx r_1$ Бул шартта конденсатордун сыйымдуулугу ($d = r_2 - r_1; r_1 \cdot r_2 \approx r^2$)

$$C = 4\pi\epsilon_0 \frac{r^2}{d} = \epsilon_0 \frac{S}{d} \quad (3.3.6)$$

Мында $S = 4\pi r^2$ сфералык беттин аянты.

Бул формуланы жалпак конденсатордун сыйымдуулугу (3.3.2) менен салыштырып, шар конденсаторун, канаттары бири-бирине өтө жакын жайланышканда жалпак конденсатор деп кароого болот экен.

3.4. КОНДЕНСАТОРЛОРДУ ТУТАШТЫРУУ

Конденсаторду ылайыкталган чыңалуудан чоң потенциалдардын айырмасына туташтырсак, канаттарынын ортосунан электр кымы чыгып тешилет (иштен чыгат). Мындай чыңалууну тешүүчү деп аташат.

Конденсаторлор электротехника, радиотехника ж.б. тармак-

тарда өтө кеңири колдонулат. Өнөр жайдан ар түрдүү типтеги (кагаздан, электролиттик, өзгөрмөлүү ж.б.) белгилүү чыңалууга жана сыймдуулукка ылайыкталган конденсаторлор чыгарылат. Турмушта даяр конденсатордун параметрине туура келбеген сыймдуулуктагы жана чыңалууга эсептелген конденсаторлор керек болот.

Мындай керектүү сыймдуулуктагы жана чыңалууга эсептелген конденсаторду алыш үчүн колдо бар конденсаторлорду жарыш жана удаалаш туташтыруу керек.

1. ЖАРЫШ ТУТАШТЫРУУ

Конденсаторлорду жарыш туташтырганда (3.4.1-чийме) алар үчүн берилген чыңалуу жалпы болот,

$$q_1 = C_1 U, \quad q_2 = C_2 U, \quad \dots, \quad q_n = C_n U \quad (3.4.1)$$

Конденсаторлордогу жалпы заряд алардын ар бириндеги заряддардын суммасына барабар болот

$$q = \sum_{i=1}^n q_i = U \sum_{i=1}^n C_i \quad (3.4.2)$$

Бул туюнтмадан

$$C = \frac{q}{U} = \sum_{i=1}^n C_i = C_1 + C_2 + \dots + C_n \quad (3.4.3)$$

Конденсаторлор жарыш туташтырганда алардын сыймдуулуктары кошуларын, ал эми чыңалуу өзгөрбөшүн көрөбүз.

2. Удаалаш туташтыруу. Конденсаторлордун канаттары бир тизмекке тизилип, чыңалуу булагына туташтырганда, ар биринде чоңдуктары барабар болгон заряддар индукциялангышат (3.4.2-чийме)

$$q_1 = q_2 = q_3 = \dots = q_n \quad (3.4.4)$$

Конденсаторлордун сыймдуулуктары ар түрдүү болгондуктан, алардын ар биринин канаттарындагы чыңалуулар айырмаланышат

$$U_1 = q/C_1, \quad U_2 = q/C_2, \quad \dots, \quad U_n = q/C_n \quad (3.4.5)$$

Бул чыңалуулардын суммасын удаалаш туташтырылган конденсатордун батареясына берилген потенциалдардын айырмасына барабар болот

$$U = U_1 + U_2 + \dots + U_n = \sum_{i=1}^n U_i = q \sum_{i=1}^n \frac{1}{C_i} \quad (3.4.6)$$

Бул тунтмадан конденсаторлордун удаалаш туташтырылган ба-
тереаларынын жалпы сыйымдуулугу

$$\frac{1}{C} = \frac{1}{C_1} + \frac{1}{C_2} + \dots + \frac{1}{C_n} \quad (3.4.7)$$

ар биринин сыйымдуулугуна тескери пропорциялаш болуп ко-
шулушарын көрөбүз. Мындай кошкондо жалпы сыйымдуулук азаят,
бирок тешүүчү чыңалуу (жогорку чыңалууга иштесе жөндөмдүү-
лүгү) көбөйт.

Эгерде бизге сыйымдуулугу жана тешүүчү чыңалуусу чоң
конденсатор керек болсо, анда колдо бар конденсаторлорду
жарып жана удаалаш туташтыруу керек (3.4.3-чийме)

3.5. ЗАРЯДДАЛГАН КОНДЕНСАТОРДУН ЭНЕРГИЯСЫ. ЭЛЕКТР ТАЛААСЫНЫН ЭНЕРГИЯСЫ

Биз төмөндөгү тажрыйбага көңүл буралы (3.5.1-чийме). Кон-
денсаторду адегенде ток булагынын батареясына (Б) туташ-
тырып, U чыңалуусуна чейин заряддайлы. Андан кийин A ала-
кочкучту 1-абалдан 2-абалга көтөрсөк, конденсатор лампача
аркылуу чыңырга тунталаат жана A лампачанын жалт эткенин
көрөбүз. Демек, заряддалган конденсатордо энергия топтолот
экен. Бул энергия эмнеге барабар? Конденсаторго лампачаны
кошкондо анын канаттарындагы электр заряддары лампача ар-
кылуу разряддалып чыңырга ток пайда болот. Эгерде мындай
кубулушта dq заряды разряддалса анда аткарылган жумуш

$$dA = U dq \quad (3.5.1)$$

барабар болот. $U = q/C$ болгондуктан 3.5.1-тунтмадан алабыз

$$dA = \frac{q}{C} dq \quad (3.5.2) \text{ алабыз}$$

Конденсатор толук разряддалгандагы жумуш ошол конденсатор-
го топтолгон энергияга W барабар болот, б.а.

$$A = W = \frac{1}{C} \int q dq = \frac{1}{C} \frac{q^2}{2} \quad (3.5.3)$$

Эгерде зарядды ($q = UC$) чыңалуу аркылуу тундурсак, ат-
карылган жумушту конденсатордун сыйымдуулугу жана чыңалуу-
су аркылуу тунтабыз

$$W = \frac{1}{2} CU^2 \quad (3.5.4)$$

Ушул эле жол менен бул формуланы заряд q жана чыңалуу U

аркылуу туюнтса да болот

$$W = \frac{1}{2} q U \quad (3.5.5)$$

Бул туюнтмалардан (3.5.3-3.5.5) заряддалган конденсатордогу энергия, топтолгон заряддын чоңдугуна, сыйымдуулукка жана заряддалгандагы чыңалуунун U чоңдугуна жараша болот экен.

Эми ушул заряддалган конденсатордогу энергия ийни кайсыл жеринде сакталат - заряддар топтолгон канаттардабы, же канаттарынын аралыгында пайда болгон электр талаасындабы деген суроо туулат.

Бул суродогу электростатикада (турактуу электр талаасында) так жооп берүү кыйын, себеби заряддарды электр талаасынан ажыратууга мүмкүн эмес. Бур суроо ачык жоопту электромагниттик талааны караганда алууга болот.

Электромагниттик толкундар энергия алып жүрөрүн (радиостанциядан үналгыга, телестанциядан сыналгыга) бардыгыбызга белгилүү. Бул толкундар заряддардан бөлүнүп мейкиндикте таралышат б.а. заряддар жок болсо деле жоголушбайт.

Ошондуктан, электромагниттик толкунда энергия топтолот. Ал эми бул толкун өзгөрмөлүү электр жана магнит талааларынан тұргандыктан, заряддалган конденсатордо энергия канаттарынын ортосундагы электр талаасы бар мейкиндикте сакталат деп жыйынтык чыгарууга болот.

Конденсатордогу энергияны электр талаасынын чыңалышы менен туюнтуп керелү, 3.5.4 формуланы жалпак конденсаторго колдонуп, анын сыйымдуулугун $C = \epsilon \epsilon_0 S/d$ пайдаланып, жана өзгөртүп

$$W = \frac{1}{2} \epsilon \epsilon_0 \frac{S}{d} U^2 = \frac{1}{2} \epsilon \epsilon_0 (U/d)^2 Sd$$

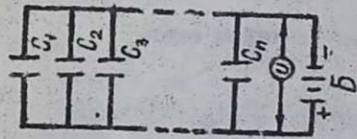
Мында $E = \frac{U}{d}$, $Sd = V$

көлөм экендигин эске алсак

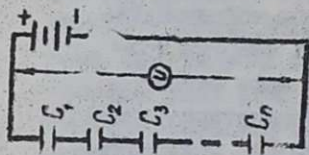
$$W = \frac{1}{2} \epsilon \epsilon_0 E^2 V \quad (3.5.6.)$$

Бул конденсатордун канаттарынын аралыгында чыңалышы E болгон электр талаасы өзгөчө V көлөмдөгү энергия болуп эсептелет. Бул энергиянын тыгыздыгы

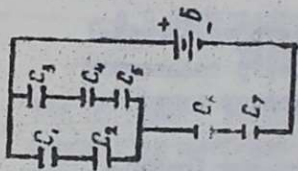
$$W^0 = \frac{W}{V} = \frac{1}{2} \epsilon \epsilon_0 E^2 \quad (3.5.7)$$



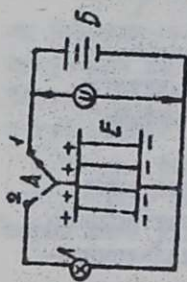
3.4.1 - ЧУМНЕ



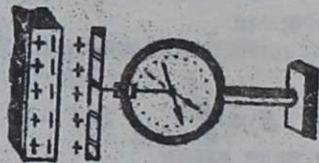
3.4.2 - ЧУМНЕ



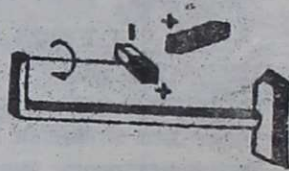
3.4.3 - ЧУМНЕ



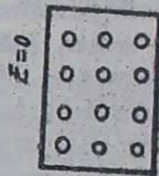
3.5.1 - ЧУМНЕ



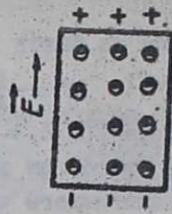
4.1.1 - ЧУМНЕ



4.1.2 - ЧУМНЕ



4.1.3 - ЧУМНЕ



4.1.4 - ЧУМНЕ

омол талаанын чыңалышынын квадратына түз пропорциялашкан экен.

Глава-4. ЭЛЕКТР ТАЛААСЫНДАГЫ ДИЭЛЕКТРИКТЕР

4.1. Диэлектриктердин поляризацияланышы.

Поляризация вектору \vec{P}

Электр талаасына диэлектриктерди киргизгенде, электр талаасы өзгөрөт. Диэлектриктердин электр талаасына тийгизген таасирин аныкташ үчүн тажрыйбага көңүл буралы (4.1. I-чийме). Электрометрге жалпак конденсатордун бир канатын (тегерек жалпак металл) туташтырып аны заряддап, электрометрдин жебесинин абалын байкап коёбуз. Эгерде электрометрдеги тегерек металлга кандайдыр бир диэлектрикти (китепти, айнек тилкесин ж.б.) жакындатсак, электрометрдин жебеси түшө баштайт, ал эми диэлектрикти кайра алыстатсак, жебе мурдакы абалына көтөрүлөт.

Заряддалган электрометрге өткөргүчтүн тилкесин жакындатсак, диэлектрикти жакындаткандагыдай эле кубулушту байкайбыз. Бирок, өткөргүчтү заряддалган нерсеге жакындатканда, анда заряд пайда болорун (индукция кубулушу) билебиз. Стондуктан, диэлектрикти электр талаасына киргизгенде анда да заряддар пайда болот деген жыйынтыкка келүүгө болот. Бул ойду бекемдеш үчүн парафиндин бир бөлүгүн жибке байлап асып коюлу. Заряддалган нерсени парафиндин бир учуна жакындатканда, ал заряддалган нерсени ээрчип бурула баштайт. Демек, парафиндин жакынкы учунда ага жакындаткан зарядка карама каршы белгидеги заряд пайда болот экен, ал эми парафиндин экинчи учунда да буга карама каршы белгидеги заряд пайда болот. 4.1.2 - чийме.

Спентип, заряддалбаган диэлектриктерди электр талаасына киргизгенде, аларда оң жана терс электр уюлдары пайда болот экен. Мындай кубулушту диэлектриктердин поляризацияланышы, ал эми пайда болгон заряддарды поляризацияланган заряддар деп аташат.

Диэлектриктердеги поляризация кубулушу өткөргүчтөрдөгү индукция кубулушуна окшош. Бирок, алардын физикалык

негиздери ар башка өткөргүчтөрдү электр талаасына киргизип туруп, ортосунан экиге бөлө кесип, талаадан чыгарсак бир бөлүгү оң зарядка, экинчи бөлүгү терс зарядка ээ бойдон калат. Ал эми диэлектрикти электр талаасына киргизип экиге бөлүп талаадан чыгарсак эки бөлүгүнөн тең заряддар жоголушат. Өткөргүчтөрдөгү мындай өзгөчөлүк, алардагы эркин электрондордун бар экендиги менен түшүндүрүлөт. Ал эми диэлектриктерде эркин электрондор жок. Диэлектриктердин электр талаасына киргизгенде кандай өзгөрүүлөр болоруна көңүл буралы. Электр талаасы жок кезде диэлектриктеги ар бир атом, молекула электронейтралдуу (4.1.3-чийме). Диэлектрикти электр талаасына киргизгенде молекулалардагы оң мана терс заряддар карама каршы багытта, көздөй жылып, ар бир молекула электр диполуна айланышат. Диэлектриктин ичинде сүрдөгүдөй эле оң заряддар менен жайланышкан терс заряддар өз ара жоголуп электронейтралдуу болот. Бирок, диэлектриктин бир учу оң заряддалса, экинчи учу терс заряддалат, б.а. поляризацияланган заряддар пайда болот (4.1.4-чийме). Эгерде диэлектриктин узундугу (электр талаасынын багыты боюнча) L болсо, учтарындагы эки карама каршы заряддардын электр ийини $\vec{P}_i = q\vec{l}$ болот. Бул вектор терс заряддан оң зарядды көздөй багытталат (4.1.5-чийме). Бирдик көлөмдөгү бул векторлордун вектордук суммасы диэлектриктин поляризация вектору деп аталат.

$$\vec{P} = \sum_{i=1}^N \frac{q_i \vec{P}_i}{V} \quad (4.1.1)$$

Эгерде диэлектриктин көлөмүнүн ар кандай чекиттери үчүн вектору бирдей болсо, мындай поляризацияны бир тектүү деп аталат.

Поляризация вектору \vec{P} белгилүү болсо поляризациялык заряддарды аныктоого болот. Негизинин янты S узундугу L болгон призма түрүндөгү электр талаасындагы диэлектриктин бир учунда тыгыздыгы $+\sigma$ экинчи учунда $-\sigma$ болгон поляризацияланган заряддар пайда болот (4.1.5-чийме). Призманын электр ийини

$$\vec{P} = \sum_{i=1}^N \vec{P}_i = \vec{\sigma} S L = \vec{\sigma} V \quad (4.1.2)$$

Мында $V = \delta L$

4.1.1 жана 4.1.2 - формулаларды салыштырып

$$P = \sigma' \quad (4.1.3)$$

Поляризация вектору поляризацияланган заряддардын тыгыздыгына σ' барабар экендигин алабыз.

4.2. ДИЭЛЕКТРИКТЕГИ ЭЛЕКТР ТАЛААСЫНЫН ЧЫЧАЛЫШЫ

Электр талаасынын чычалышын \vec{E} вакуумдагы бирдик оң зарядна аракет кылган күч катары аныктаганбыз.

Бул түшүнүктү диэлектрик бар кезде тактоо керек. Ал үчүн жалпак конденсатордун ичине диэлектрикти жайгаштырабыз (4.2.1-чийме). Эгерде конденсатордун канаттарындагы эркин заряддардын тыгыздыгы σ' болсо, ал эми диэлектрикте тыгыздыгы болгон поляризацияланган (тушалган) заряддар пайда болушат. Бул заряддар, тышкы электр талаасына \vec{E}_0 каршы багыттагы \vec{E}' талаасын түзүшөт.

$$\vec{E}' = \frac{\sigma}{\epsilon_0}$$

конденсатордун түзгөн

электр талаасын,

$$E' = \frac{\sigma'}{\epsilon_0} \text{ диэлектриктеги пайда}$$

болгон ички талаа.

Диэлектриктеги жалпы талаа ушул эки талаанын вектордук суммасы катары аныкталат $\vec{E}_0 \perp \vec{E}'$ б.а.

$$E = E_0 - E' = \frac{\sigma - \sigma'}{\epsilon_0} \quad (4.2.1)$$

Ошентип, диэлектриктеги электр талаасынын чычалышы q, q' заряддардын тыгыздыктар менен аныкталат экен.

4.1.3. формуладан поляризацияланган заряддардын тыгыздыгы диэлектриктин поляризациялануу жөндөмдүүлүгү \vec{P} векторунан барабар экендигин эске алсак, диэлектриктеги электр талаасы (4.2.1) төмөндөгүдөй жазылат

$$E = \frac{\sigma - P}{\epsilon_0}$$

же болбосо

$$\epsilon_0 E = \sigma - P \quad (4.2.3)$$

Эгерде биз жалпак конденсатор үчүн $\sigma = D$ экендигин эске алсак, бул формуладан

$$D = \epsilon_0 E + P \quad (4.2.4)$$

барабардыгын алабыз. Мында \vec{D} электр индукция вектору. Диэлектриктин поляризациялануу жөндөмдүүлүгү P электр талаасынын чоңдугуна көз каранды жана изотропттуу бир тектүү диэлектриктер үчүн электр талаасынын чыңалышына түз пропорциялаш,

$$\vec{P} = \epsilon_0 \vec{E} \quad (4.2.5)$$

4.2.4. жана 4.2.5 - формулаларды бириктирип.

$$\vec{D} = \epsilon_0 (1 + \alpha) \vec{E} = \epsilon \epsilon_0 \vec{E} \quad (4.2.6)$$

Электр жылышуу вектору \vec{D} жана электр талаасынын чыңалыш вектору \vec{E} менен байланышын алабыз. Мында α диэлектриктик шыктуулук, ϵ диэлектриктүүлүк етүмдүүлүк деп аталат.

Эми Остроградский-Гаусстун теоремасына тактоо киргизели.

$$\oint_S \vec{D}_n dS = \sum_{i=1}^k q_i$$

Вакуум үчүн бул туюнтмада q эркин заряддарды түшүндүрчү. Ал эми электр талаасында диэлектрик болгондо анда поляризацияланган (тушалган) заряддар (σ') да пайда болот. Тушалган заряддар сырткы талаанын таасири астында пайда болорун, ал эми сырткы талааны эркин заряддар түзөрүн эске алсак, мурдагыдай эле теоремадагы заряддарды эркин заряддар деп түшүнүшүбүз керек.

4.3. ЭЛЕКТР ТАЛААСЫНДАГЫ ДИЭЛЕКТРИККЕ АРАКЕТ КЫЛГАН МЕХАНИКАЛЫК КҮЧТӨР

Заряддалган нерселерди кагаз ж.б. жеңил диэлектриктерге жакындатканда алар тартыларын байкаганбыз (4.3.1-чийме). Заряддалган нерсенин (тарактын) айланасында пайда болгон электр талаасындагы кагаздын белгүү поляризацияланат. Электр талаасы буй поляризация заряддарды, бир эле убакытта түртөт жана тартат. Заряддалган тарактын жакын жактарында электр талаасы күчтүү болгондуктан кагаз таракка тартылат,

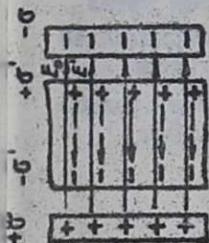
$$F = F_2 - F_1$$

$$F_2 > F_1, \text{ болгондуктан, } \vec{F} \parallel \vec{F}_2 \text{ болот.}$$

Мында F_2 тартылуу, F_1 түртүлүү, F - жыйынтык - тартуу күч, тартылуу күчү башка багытталат.



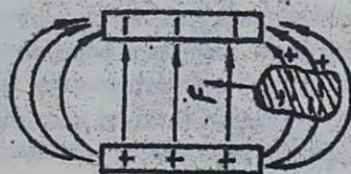
4.1.5-құрне



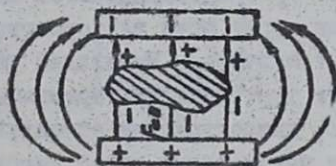
4.2.1-құрне



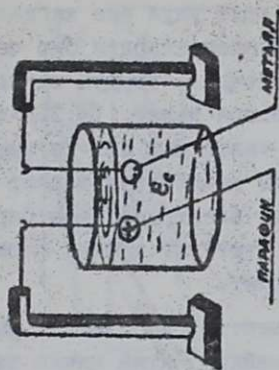
4.3.1-құрне



4.3.2-құрне



4.3.3-құрне



4.3.4-құрне

Эгерде ушул эле кагаздын майда бөлүгүн заряддалган жалпак конденсатордун бир четине алып келсек (4.3.2-чийме), ал конденсатордун ичине тартылып, анын орто четине кирип токтоп калат. (4.3.3-чийме). Себеби конденсатордун четинде талаа бир тектүү эмес, кагазга электр талаасы күчтүү жакты кездей күч таасир этет. Ал эми конденсатордун ортосунда электр талаасы бир тектүү болгондуктан, тартуучу жана түртүүчү күчтөр барабар болулуп, кагаз кыймылсыз туруп калат.

Ошентип, бир тектүү эмес электр талаасындагы диэлектрикке мейкиндиктин начар талаасынан күчтүү талааны кездей күч таасир этет.

Диэлектрикке таасир эткен күч электр талаасынын квадратынын градиентине пропорциялаш экендигин көрсөтүүгө; болот. Өзүңөр ойлонгонго мисал катары идишке куюлган суюктукка (ϵ_c) оң заряддалган парафин (ϵ_n) шарчасы жибке илинип турат. Ушул эле суюктукка жибке илинген металл шарчасы түшүрүлгөн. Металлдан жасалган шарча заряддалган парафинге түртүлөбү же тартылабы? Парафин ϵ_n менен суюктуктун ϵ_c диэлектриктин өтүмдүүлүктөрүнүн төмөнкү салыштырмалуу чоңдуктарын карап көргүлөү (4.3.4-чийме).

$$1. \epsilon_n > \epsilon_c$$

$$2. \epsilon_n < \epsilon_c$$

4.4. СЕГНЕТОЭЛЕКТРИКИ

Кээ бир диэлектриктер, белгилүү шартта өзгөчө диэлектриктин касиеттерге ээ болот. Мындай касиеттер адегенде сегнет туздарында байкалгандыктан, диэлектриктердин бул тобун сегнетоэлектриктер деп аташкан.

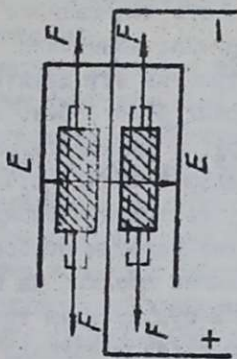
Сегнет тузунун химиялык формуласы - $NaKCaH_4D_5 \cdot 4H_2O$ жана ал күчтүү анизотропиялык касиетке ээ.

Эгерде бул туздун бөлүгүн конденсатордун канаттарынын ортосуна, электр талаасынын күч сызыктары кристаллдын белгилүү огуна жарып кылып жайланыштырганда сегнетоэлектриктин касиет пайда болот. Бул касиеттер төмөнкү өзгөчөлүктөр менен айырмаланышат:

1. Температуранын белгилүү чегинде диэлектриктин



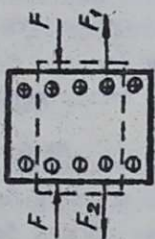
4.4.3-құрме



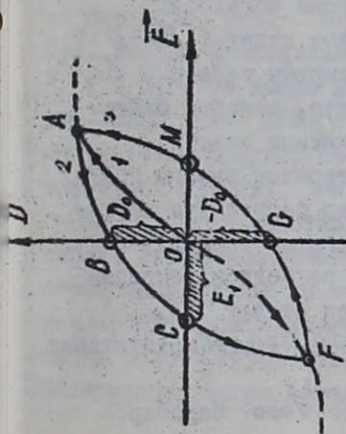
4.5.3-құрме



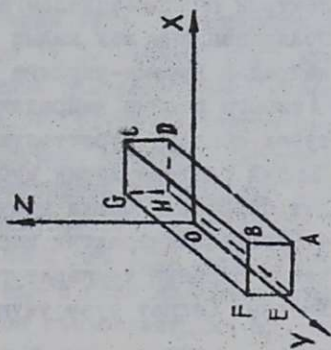
4.4.2-құрме



4.5.2-құрме



4.4.1-құрме



4.5.1-құрме

өтүндүүлүгү ϵ өтө чоң мааниге жетет $\epsilon \approx 10^4 - 10^5$
(салыштырыштыргыла; айнектики $\epsilon = 2$, фарфордуку $\epsilon = 3$)

2. Диэлектриктик өтүндүүлүк сырткы электр талаасынын чоңдугуна жараша болот, б.а. $\epsilon = f(E)$. Ошондуктан, жылытуу вектору \vec{D} электр талаасынын чыңалыш векторуна \vec{E} туз пропорциялаш болбойт (4.4.-I чийме)

3. Жылытуу векторунун \vec{D} чоңдугу электр талаасынын чоңдугуна гана көз каранды болбостон, диэлектриктин мурдакы поляризацияланган абалына да жараша болот. Диэлектриктеги бул кубулуш гистерезис деп аталат (4.4.I-чийме). Электр талаасы өскөндө жылытуу вектору I-сызык боюнча өсүп кандайдыр бир талаанын чыңалышынан чекитинен баштап каныга баштайт (өсүш токтолот). Эгерде эми конденсатордогу талааны азайта баштасак анда \vec{D} вектору мурдакы I-жол менен тескеңдөөбөстөн, AB жолу менен азаят, $\vec{E} = 0$ болгондо индуктуя \vec{D} нөлгө барабар болбойт ($D = D_0$), б.а. диэлектрик сырткы талаа жок болсо да поляризацияланган бойдон калат.

Бул поляризацияны жок кылуу үчүн талаанын багытын карама каршыга өзгөртүп, чоңойтуп баштайбыз. Кандайдыр бир $E = -E_1$ болгондо, индукция D жок болот (C чекити). Ошол эле багыттагы талааны андан ары чоңойтуу олтурсак, D кайрадан каныга баштайт (F чекити). Эми бул талааны азайта баштасак, анда \vec{D} 3-жол боюнча б.а. F-басыгынан сызат.

Сырткы талаа жок болгондо, индукция жоголбойт б.а. диэлектрик поляризацияланган бойдон калат ($D = -D_1$) Эми бул поляризацияны жок кылуу үчүн сырткы талаанын \vec{E} багытын кайрадан карама-каршыга өзгөртүп, чоңойто баштасак G-M-A сызыгы боюнча кайрадан A чекитине келебиз. Алынган тузак сыяктуу сүрөттөлүш - гистерезис тузагы деп аталат. Мындай гистерезистик кубулуштар сегнет тузуна гана мүнөздүү болбостон башка кошулмаларга да тиешелүү.

4. Сегнетоэлектриктик касиетке ээ болгон температуранын чегин Кюринин температурасы деп аталат (T_K).

Мисалы: Сегнет тузу үчүн $T_K = -15^\circ - 225^\circ C$, метатитанат барий

(Ba₂Ti₄O₂): $T_K \approx 80^\circ C, \epsilon \approx 6000 - 7000$ барабар.

Сегнетоэлектриктерди эң чоң сыйымдуулуктагы конденсаторлорду жасоо үчүн пайдаланышат. Сегнетоэлектриктик өзгөчө касиеттер кандайча түшүндүрүлөт. Бул касиет квантомеханикалык физикада гана түшүндүрүлөт. Мындай кристаллдардын атомдору өзгөчө күчтөрдүн таасири астында күчтүү поляризацияланган аймактарды домендерди пайда кылышат. Сырткы электр талаасы жок кезде домендердин поляризациясы (поляризация вектору) баш аламан жайланышат (4.4.2-чийме). Ар бир домендин поляризациясы миндеген, миллиондогон атомдордун поляризациясынын суммасына барабар. Бул диэлектрикти электр талаасына жайланып турганда талаанын таасири астында домендерди поляризациясы бир багытуу болушуп, анын жалпы поляризациясы домендердин поляризацияларынын суммасына барабар болот. Мындай күчтүү поляризация өтө чоң диэлектриктик өтүмдүүлүккө алып келет.

4.5. ПЬЕЗОЭЛЕКТРДИК ЭФФЕКТ

1. Туз пьезоэлектрик эффект.

Жогоруда, сырткы электр талаасында диэлектриктердин поляризацияланышына көңүл бурдук. Кээ бир кристаллдарды кысканда же чойгондо, сырткы талаасыз эле алар поляризацияланышат экен. Бул кубулуш пьезоэлектрик эффект деп аталат. Мындай кристаллдардын мисалы катары кварцты (SiO_2) карайлы. Кристаллдарда оптикалык оң деген багыттар (бир же бир нече) болот. Ал жөнүндө оптиканы өткөндө токтолобуз. Эгерде кристаллды оптикалык окко перпендикуляр (X) багытта кысса же чойсо (4.5.1-чийме) анда кристаллдын $ABCD$ жана $EFGH$ беттеринде поляризациялык карама-каршы тегтеги заряддар пайда болот (узунунан болгон пьезоэлектрик эффект). Эгерде кысууну, ошол эле багыттагы чоңга алмаштырсак кристаллдын бетиндеги заряддардын белгилери карама каршыга алмашат. Спондей эле бул кристаллды "У" огу боюнча кыссак же чойсок ошол эле $ABCD$ жана $EFGH$ капталдарында карама каршы белгидеги поляризация заряддары пайда болот (туурасынан болгон пьезоэлектрик эффект). Поляризацияланган заряддардын белгилери "Туурасынан" же

"узунунан" кысканда же чойгондо бирдей болушат. Эгерде ушул кристаллды оптикалык октун багыты Z боюнча кыска же чойсок анда поляризациялык заряддар пайда болбойт.

Поляризация векторунун чондугу, белгилүү чендеги деформациялоочу механикалык күчтүн чондоруна пропорциялаш болот.

Пьезоэлектрик касиетке кварцтан башка сегнет тузу да ээ. Сегнет тузунун пьезоэлектрик касиети кварцка салыштырганда күчтүүрөк, бирок ал өтө эле морт келет.

Пьезоэлектрик кристаллдар көптөгөн приборлордо колдонулат, мисалы грампластинкалардагы жазууларды окуп үчүн пьезоэлектрикден жасалган ийнелерди (адаптер) колдонушат. Бул кубулушту ар түрдүү деформацияларды (чоңлуу, ийилүү ж. б.) ченөө үчүн колдонулат. Ошондой эле пьезоэлектрик микрофон, телефон ж.б. бар.

Пьезоэлектрик эффект кристаллдардын кристаллдык түзүлүшү менен түшүндүрүлөт. Бул кристаллдарда оң жана терс иондордон турган "йчейкалар" бири бирине кийишип турат жана кадимки абалында электроннейтралдуу. Кристаллды кысканда же чойгондо оң иондордон турган йчейкалар терс иондордон турган йчейкалардан жылышат да поляризацияланышат.

2. Тескери пьезоэлектрик эффект. Эгерде пьезоэлектрик кристаллды электр талаасына кайгартырганда андагы поляризациялануу кубулушу деформацияга (кысылууга же чоңууга) алып келет. Бул кубулуш тескери пьезоэлектрик эффект деп аталат. Мындай тескери эффекттин пайда болушу энергиянын сакталуу закону менен түшүндүрүлөт. Чындыгында эле, пьезоэлектрик кристаллды F күчү менен кысылык (4.5.2-чийме). Эгерде пьезоэлектрик эффект болбосо, бул күчтүн аткарган жумушу пластинканын серпилгич деформациясынын потенциалдык энергиясына барабар болор эле. Пьезоэффектеги заряддар электр талаасынын пайда болушун алып келет. Бул талаа кошумча энергияны өзүнө топтойт, б.а. бул энергияга ичк кошумча F күчү талап кылынат экен.

Энергиянын сакталуу законуна ылайык тескери пьезоэлектрик эффекте ушул күч кристаллды деформациялайт.

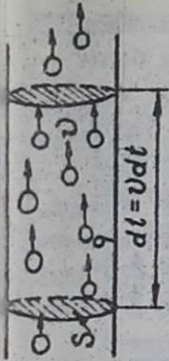
Эгерде пластинканы кысканда 4.5.2-чиймедегиде кор-



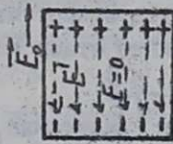
4.5.4 - 400VME



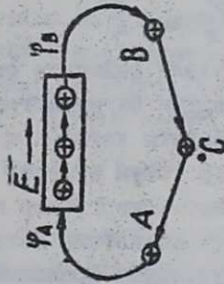
5.1.1 - 400VME



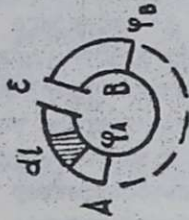
5.1.2 - 400VME



5.2.1 - 400VME



5.2.2 - 400VME



5.2.3 - 400VME

сөтүлгөндөй поляризацияланса сырткы талаанын жардамы менен ушундай поляризацияны түзгөндө, ал F_e күчүнүн багыты боюнча чокулат. Деформациянын белгиси (кысылуу же чокулуу), тескери пьезоэффекте электр талаасынын багытына жараша болот. Эгерде электр талаасынын багытын карама каршыга өзгөртсөк деформациянын белгиси да тескериге өзгөрөт. Ушул шарттарды пайдаланып ар түрдүү деформацияларды кассоого болот. 4.5.3-чиймеде эки пьезоэлементтердин чокулушу, ал эми 4.5.4-чиймеде эки пьезоэлементтердин чокулушу, ал эми 4.5.4-чиймеде алардын ийилиши көрсөтүлгөн.

Түз жана тескери пьезоэффектер көптөгөн радио жана электроакустикалык аппараттарда колдонулат.

Глава-5. ТУРАКТУУ ТОК

5.1. Электр тогу жана анын пайда болуу шарттары

Эгерде электр талаасына эркин зарядды жайгаштырсак, бул зарядка талаа тарабынан таасир эткен күч

$$\vec{F}_E = q\vec{E} \quad (5.1.1)$$

барabar болот жана заряд кыймылга келет (5.1.1-чийме).

Ар кандай заряддардын багытталган кыймылы электр тогу деп аталат. Токтун багыты катары оң заряддардын кыймылынын багыты алынат. Электр тогун өткөрүү жөндөмдүүлүгү боюнча заттар экиге бөлүнөт—өткөргүчтөр жана изоляторлор (өткөрбөгүчтөр). Өткөргүч касиетине металлдар, белгилүү шарттарда көө бир сууктуктардын аралашмасы, газдар өө болушат. Металлдардагы электр тогу андагы эркин электрондордун кыймылы менен шартталат. Сууктуктардагы жана газдардагы электр тогу, белгилүү шарттарда аларда иондордун пайда болушуна сайланыштуу. Электр тогун мүнөздөөчү чоңдуктар катары ток күчү жана токтун тыгыздыгы алынат.

Токтун чоңдугу (күчү) деп өткөргүчтүн кесилиш аянты S аркылуу убакыт бирдик ичинде өткөн заряддын саны аталат

$$I = \frac{dq}{dt} \quad (5.1.2)$$

Эгерде бирдей убакыттын аралыгында, берилген өткөргүчтүн ар кандай кесилиш аянты аркылуу бирдей заряддардын саны өтсө,

ток түзөктүү деп аталат

$$I = \frac{dQ}{dt} = \text{const} \quad (5.1.3)$$

Эгерде мындай шарт сакталбаса, өткөргүч аркылуу өткөн токту өзгөрмөлүү деп аташат.

Токтун чоңдугу СИ системасында Ампер (А) менен өлчөнөт. Ампер (А) СИ системасында, кг, м, с катарында негизги бирдик катары киргизилет. Өткөргүчтүн кесилиши аркылуу I сек I Кулон ($dQ = 1 \text{ Кл}$) заряд өтсө, ток күчү I А барабар болот ($I = \frac{dQ}{dt} = 1 \text{ сек}^{-1}$).

Өткөргүчтүн бирдик аянтына туура келген ток, анын тыгыздыгы деп аталат.

$$j = \frac{I}{S} \quad (5.1.4)$$

Ток, заряддардын багытталган кыймылы болгондуктан, токту мүнөздөөчү чоңдуктарды заряд жана анын кыймылын мүнөздөөчү чоңдуктар аркылуу туюнтурабыз.

Туурасынан кесилип аянтты S болгон өткөргүч аркылуу \vec{v} ылдамдыгы менен кыймылдаган ар биринин заряды q болгон бөлүкчөлөрдүн кыймылын карайлы (5.1.2-чийме). dt убактысында S аянттын, андан $dx = \vec{v} dt$ аралыктан алыс эмес жайгашкан заряддар кесип өтө алышат. Өткөргүчтүн $dV = S dx = S \vec{v} dt$ көлөмүндөгү dt убактысында S аянттын кесип өткөн заряддардын саны

$$dQ = nq dV = nq \vec{v} S dt \quad (5.1.5)$$

барабар, мында n - бирдик көлөмдөгү заряддардын саны.

Ампары (5.1.5) туюнтманы пайдаланып, ток күчүнүн заряддарды мүнөздөөчү чоңдуктар аркылуу байланышын алабыз

$$I = \frac{dQ}{dt} = \frac{nq \vec{v} S dt}{dt} = nq \vec{v} S \quad (5.1.6)$$

Ал эми токтун тыгыздыгы

$$\vec{j} = \frac{I}{S} = nq \vec{v} \quad (5.1.7)$$

барабар болот. ылдамдык \vec{v} вектордук чоңдук болгондуктан, токтун тыгыздыгы да вектордук чоңдук болот

$$\vec{j} = nq \langle \vec{v} \rangle \quad (5.1.8)$$

$\langle \vec{v} \rangle$ аркылуу заряддардын орточо ылдамдыгын белгиледик.

5.2. ЭЛЕКТР КЫЙМДАТКЫЧ КҮЧҮ ЧЫҘАЛУУ

Эгерде өткөргүчтү электр талаасына кайлаштырсаң, андагы эркин электрондор тез кыймылдап, оң жана терс заряддарга белгүнүшүп, өткөргүчтүн ичиндеги талаа жок болуп тез эле ток токтолот (5.1.1-чийме). Өткөргүч аркылуу ток жүрсүн үчүн мындай тең салмактуу абалды бузуу керек. Ал үчүн өткөргүчтүн бир учунда жыйналган оң заряддарды тынымсыз анын экинчи учуна ташып жеткирүү керек (5.2.2-чийме). Мындай шартта өткөргүчтөгү тең салмактуу абал бузулуп, АВ өткөргүчүндө заряддар кыймылга келип, ток пайда болот. Өткөргүчтүн А жана В учтарындагы потенциалдардын айырмасы $\Delta\varphi = \varphi_A - \varphi_B$ бар-бар. А учунан В га чейин заряддар талаанын багыты менен кыймылдаса, ал эми В учунан А га (ВСА жолу боюнча) заряддарды талаанын багытына каршы жылдыруу керек болот. Заряддарды электростатикалык талаанын багытына карама-каршы багытта ташуу үчүн электростатикалык эмес күчтү колдонуу керек. Мындай күчтөрдү бетен (сторонний) күчтөр деп аташат. Бетен күчтөр, химиялык механикалык, электромагниттик кубулуштардын негизинде пайда болушу мүмкүн.

Бетен күчтөрдүн заряддарды ташуудагы аткарган жумушун электр кыймылдаткыч күчү (ЭКК) менен мүнөздөшөт.

ЭКК деп бетен күчтүн бирдик зарядды жылдыруудагы жумушу аталат

$$\epsilon = \frac{A}{q} \quad (5.2.1)$$

Бетен күчтүн талаасынын чыңалышын E^* менен белгилесек, күчтүн өзүн f^* белгилеп

$$\vec{f}^* = \vec{E}^* q \quad \text{же} \quad E^* = \frac{f^*}{q} \quad (5.2.2)$$

туунтмаларды алабыз

Бетен күчтүн турук чыңыр аркылуу аткарган жумушу

$$A = \oint_L L_e^* dl = q \oint_L E_2^* dl \quad E_2^* = E \cos \alpha \quad (5.2.3)$$

5.2.1 формуланы пайдаланып,

$$\epsilon = \oint_L E_2^* dl \quad (5.2.4)$$

туунтманы алабыз.

Бул интеграл (ЭКК) сан жагынан бетен күчтөрдүн турук

чыгыр боюнча бирдик зарядды жылдыруудагы аткарган жумушуна барабар.

\vec{E}^* векторунун жылыш векторуна dl проекциясын E_c^* менен белгиледик. Бул жумуш бөтөн чыңалыштын циркуляциясы нөлгө барабар эмес экен. Мунун себеби, бөтөн күчтөрдүн электр талаасынын күч сызыктары туюк болуша (5.2.2-чийме)

Чыңырдун АВ, бөлүгүнө аракет кылган ЭКК

$$E_{AB} = \int_A^B E_c dl \quad (5.2.5)$$

барабар. Ал эми чыңырдун АВ бөлүгүндө зарядка электростатикалык талаасы таасир кылат.

$$\vec{F}_E = q\vec{E} \quad (5.2.6.)$$

чыңырда зарядка таасир этүүчү жалпы күч

$$\vec{F} = \vec{F}_E + \vec{F}^* = q(\vec{E} + \vec{E}^*) \quad (5.2.7)$$

Сондуктан, чыңырдун АВ бөлүгүндө зарядды жылдырууга кеткен толук жумуш.

$$A_{AB} = q \int_A^B (E_c^* + E_c) dl = q \int_A^B E_c dl + q \int_A^B E_c^* dl$$

Эгерде 5.2.5-формуланы жана $\Delta\varphi = \int E_c dl$ потенциалдардын айырмасы же чыңалуу экендигин эске алсак, анда

$$A_{AB} = qE_{AB} + q(\varphi_A - \varphi_B)$$

туунтманы алабыз. Эгерде чыңырды туунтсак (А учу В менен дал келет)

$$\varphi_A = \varphi_B \quad A = qE$$

Экинчиге аракет кылган ЭКК (E) учул / E = A/q

$$(5.2.9)$$

Туюк чыңыр боюнча бирдик зарядды жылдыруу үчүн аткарылган жумушка барабар. ЭКК булактары катары гальваникалык элементтер, электромагниттик индукция кубулушу, механикалык жылыш ж.б. колдонууга болот.

5.3. МЕТАЛЛДАРДЫН ЭЛЕКТР ӨТКӨРҮМДҮҮЛҮГҮ.

Металлдардагы ток өткөрүүчүлөрдүн таратылышы

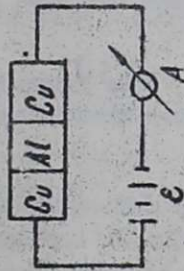
Металлдардагы ток өткөрүүчүлөрдүн таратылышын аныктоо үчүн жүргүзүлгөн тажрыйбаларга көңүл буралы.

I. Рикенин тажрыйбасы (1901ж) Рике цилиндр түрүндөгү эки жез, бир алюминий өткөргүчтөрүнүк учтарын тагиздеп, тазалап жана тараазага тартып, бири бирине жез-алюминий-жез кылып учтарын тийиштирип, удаалаш туташтырган (5.3.1-чийме). Ушундай өткөргүчтөрдүн тиешени аркылуу бир жыл бот бир багытта

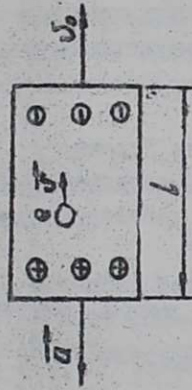
чоң ток өткөргөн. Бир жылдан кийин цилиндрлерди ажыратып алып тартып көрсө, алардын салмагы өзгөргөн эмес. Демек, электр тогун атомдор же молекулаларды бир багытуу эркин кыймыл менен байланышбайт экен. Токту ташуучу бөлүкчө ар кандай зат үчүн бирдей болуш керек. Мындай бөлүкчө 1897 жылы англиялык окумуштуу Дж. Дж. Томсон электрон болушу мүмкүн деген жыйынтыкка келген. Бирок, электрон экендигин аныктоо үчүн, өткөргүчтөрдөгү токту ташуучу бөлүкчөнүн зарядын жана массасын аныктоо керек эле. Ал үчүн көптө дурган тажрыйба, "Эгерде өткөргүчтө эркин кыймылдоочу жеңил заряддалган бөлүкчө болсо, кыймылда болгон өткөргүчтү кескин токтоткондо, андагы заряддалган бөлүкчөлөр инерция бөрнөсө кыймылын улантып, анын алдыңкы учуна топтолуп, өткөргүчтүн учтарында потенциалдардын айырмасы пайда болушу керек" - деген ой жүгүртүүгө негизделиши керек (Б.3.2-чийме).

Мындай идеяны 1913 жылы Мандельштам жана Папалексичке ашырып үчүн 500 метр зындан катушка жасап, аны чоң ылдамдыкта айландырып (оромонун сызынтуу ылдамдыгы 300 м/с) кескин токтотушкан (Б.3.3-чийме). Анда, катушкага ташатырылган эвонек эриңдиге Тормоздоо убакысында өткөргүчтө пайда болгон зарядды Гальвонометр менен өлчөшкөн (Тольмен, Старт, 1913 ж).

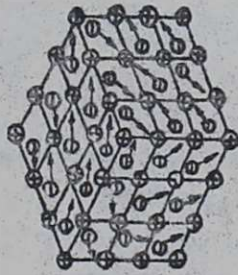
Анда $(q/m) = 1,6 \cdot 10^{19} \text{ Кл/кг}$ бөлүкчөнүн зарядынын массасына болгон катышы электрондукка жакын болуп чыкты, $(e/m) = 1,76 \cdot 10^{18} \text{ Кл/кг}$. Электрондун зарядынын чоңдугун 1904 жылы Милликен ачыктаган $e = 1,6 \cdot 10^{-19} \text{ Кл}$. Эми Старт-Тольмендин тажрыйбасындагы салыштырмалуу заряддын чоңдугунан $(q/m) = 1,6 \cdot 10^{19} \text{ Кл/кг}$ деп, б.а. сутектин атомунун массасынан 2000 эсе кичине болот экен. Ошентип бул тажрыйбалардан, өткөргүчтөрдөгү ток ташуучу бөлүкчөлөр эркин электрондор экендиги толук аныкталган.



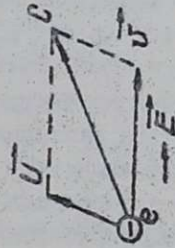
5.3.1 - ЧИЙМЕ



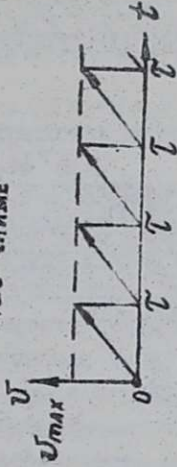
5.3.2 - ЧИЙМЕ



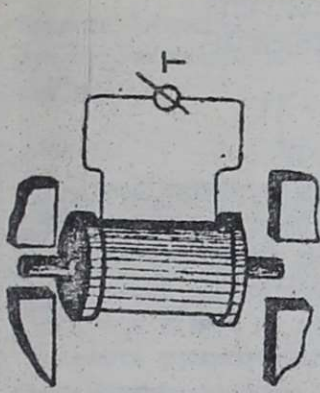
5.4.1 - ЧИЙМЕ



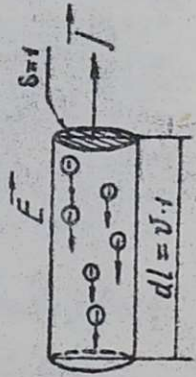
5.4.2 - ЧИЙМЕ



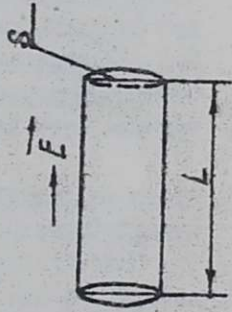
5.3.3 - ЧИЙМЕ



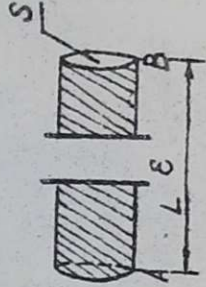
5.4.3 - ЧИЙМЕ



5.4.4 - ЧИЙМЕ



5.4.5 - ЧИЙМЕ



5.4.6 - ЧИЙМЕ

5.4. МЕТАЛЛДАРДЫН ЭЛЕКТР ӨТКӨРҮМДҮҮЛҮГҮНҮН КЛАССИКАЛЫК ЭЛЕКТРОНДУК ТЕОРИЯСЫ

Турактуу токтун закондору

Металлдардагы эркин электрондор бар экендигин өскө алтып Друде жана Лоренц металлдардын электр өткөрүмдүүлүгүнүн классикалык электрондук теориясын түзүшкөн. Металлдар катуу абалга өтүүдө, атомдордун кристаллдык торчолорго биригүүсүндө, атомдордун ортосундагы эң күчтүү аракеттердин натыйжасында алардын валенттүү электрондору атомдордон ажырап, металл боюнча эркин кыймылдоого мүмкүнчүлүк алат. Мындай эркин электрондорду иондук торчолордун ичиндеги газ катары кароого болот (5.4.1-чиңбе). Бир валенттүү атомдор бирден, эки валенттүү атомдор экиден электрондорду бөлөтүрүк жана 1м^3 металл $\sim 10^{29}$ атомдордон турарын өскө алсак, 1м^3 көлөмдөгү металлда

$$n \approx 10^{28} \div 10^{29} \text{ м}^{-3}$$

эркин электрондор болорун аныктайбыз Друде жана Лоренц мындай "электрондук газды" идеалдуу газ катары каралкан.

Классикалык электрондук теориянын негизги жоболору катары төмөнкү аксиомалар алынат:

1. Металлдар кристаллдык торчолордон турат. Мындай торчолордун түйүндөрүндө эң эррадалган иондор жайланышып, торчолордун ичинде эркин электрондор баш аламан (жылуулук) кыймылда болушат.

2. Металлдардагы электрондорду идеалдык газ катары кароого болот. Бул электрондор өз ара жана торчодогу иондор менен кагылышып, электрондук газ жана иондук торчолор бирдей температурага өз болушат. Ошондуктан, электрондордун баш аламан орточо кинетикалык энергиясы

$$\bar{\epsilon}_k = \frac{m\bar{v}^2}{2} = \frac{3}{2} kT \quad (5.4.1)$$

барабар, ал эми электрондордун орточо квадраттык ылдамдыгы

$$\bar{v}_{\text{кв}} = \sqrt{\frac{3kT}{m}} \quad (5.4.2)$$

барабар болушат, мында $k = 1,38 \cdot 10^{-23}$ Дж/К Больцмандын турактуу саны, $m = 9,11 \cdot 10^{-31}$ кг электрондун массасы.

Надимки биз жашаган белмедегү температурадагы электрондордун орточо квадраттык ылдамдыгын ушул формула менен эсептеп көрсөк

$$(T = 273 + 27 = 300 K)$$

$$\bar{U} \approx 10^6 \text{ м/с} \quad (5.4.3)$$

барабар болот. Бул ылдамдык мылтыктын огунун ылдамдыгынан миң эсеге чоң. Электрондордун эрки учуу аралыгы λ болжол менен кристаллдагы орточодогу иондордун ортосундагы аралыкка барабар, ал эми бул эркин учуу убактысы

$$\tau = \frac{\lambda}{\bar{U}} \quad (5.4.4)$$

болот. Эгерде металлдын ичинде чыңалышы E болгон электр талаасын түзсөк, андагы электрондор багыттуу кыймылга ээ болушат. Багыттуу кыймылдын ылдамдыгын \bar{V} менен белгилесек, электрондун ылдамдыгы баш аламан кыймылдын ылдамдыгы жана багыттуу кыймылдын \bar{U} ылдамдыгынын вектордук суммасына барабар болот (5.4.2-чийме)

$$\bar{C} = \bar{U} + \bar{V} \quad (5.4.5)$$

Металлдагы электрондор бонича бул ылдамдыктын орточосун тапсак,

$$\sum_{i=1}^N \bar{C}_i = \sum_{i=1}^N \bar{V}_i + \sum_{i=1}^N \bar{U}_i = \langle \bar{V} \rangle \quad (5.4.6)$$

барабар болот, себеби баш аламан ылдамдыктардын суммасы

($\sum_i \bar{U}_i = 0$) нөлгө барабар болот. Ошентип, электрондордун орточо-багытталган ылдамдыгынын ($\langle \bar{V} \rangle$) багыты электр талаасынын багыты менен бир окто жатат жана карама каршы багытталат.

Эми ушул багытталган ылдамдыктын чоңдугун эсептеп көрөлү.

Ал үчүн 5.1.8-формуладан

$$\langle \bar{V} \rangle = \frac{j}{ne}$$

туунтуп жана $j = 10 \text{ А/мм}^2 = 10^7 \text{ Кл/м}^2\text{с}$ токтуу тыгыздыгын аламы. Жез өткөргүчү үчүн $n = 8 \cdot 10^{28} \text{ м}^{-3}$

$$\langle \bar{V} \rangle = 8 \cdot 10^{-4} \text{ м/с} \quad (5.4.7)$$

табабыз. Бул ылдамдыктын сан маанисин, баш аламан ылдамдыктык (5.4.3) менен салыштырсак, баш аламан кыймылдын ылдамдыгы \bar{U} багыттуу кыймылдын \bar{V} ылдамдыгынан ($\bar{U} \gg \langle \bar{V} \rangle$)

экендигин көрөбүз. Бул салыштыруудан, өткөргүчтө өтүп жаткан ток, андагы электрондордун орточо кинетикалык энергиясына жана эркин учуу аралыгына таасири тийгизбей тургандыгын көрөбүз.

Эми өткөргүч аркылуу өткөн токту закон ченемдүүлүгүнө классикалык электрондук теориянын негизинде түшүндүрүүгө көңүл буралы.

1. Омдун дифференциалдык закону. Электр талаасында заряды e болгон электронго

$$\vec{f} = e \vec{E} = m \vec{a} \quad (5.4.8)$$

күч таасир этет жана анын талаадан алган ылдамдыгы

$$\vec{a} = (\vec{f}/m) = (e/m) \vec{E} \quad (5.4.9)$$

барабар болот. Ошондуктан, эркин учуу аралыгында электрон-

\vec{a} ылдамдануусу менен учат. Мындай электрон, эркин учуу жолунун акырында ион менен кагылышып, өзүнүн энергиясын толугу менен ионго берип, ылдамдыгын жоготот ($v_{min} = 0$)

5.4.8-ЧИМЕ

$$a = \frac{v_{max} - v_{min}}{\tau} = \frac{v_{max}}{\tau} \quad (5.4.10)$$

Мындан жана (5.4.4), (5.4.10) формулаларды пайдаланып

$$v_{max} = a \tau = e/m E \tau = \frac{e}{m} \frac{\lambda}{u} E, \quad (5.4.11)$$

багытталган ылдамдык \vec{v} менен электр талаасынын чыңалышынын ортосундагы байланышты табабыз. Электрондордун орточо ылдамдыгын

$$\langle v \rangle = \frac{v_{max} + v_{min}}{2} = \frac{v_{max}}{2} = \frac{e}{2m} \cdot \frac{\lambda}{u} E \quad (5.4.12)$$

аныкталат. Мында $\frac{e}{2m} \cdot \frac{\lambda}{u} = v$ электрондун сергектиги деп аталат жана ал электр талаасынын чыңалышына кез караңды эмес. Бул формуланы токту тигиздигинин туунтмасына (5.4.4) көп

$$\vec{j} = \frac{1}{2} \frac{ne^2 \lambda}{m u} E \quad (5.4.13)$$

Омдун дифференциалдык законунун формуласын алабыз, же

$$\vec{j} = \sigma E \quad (5.4.14)$$

Мында

$$\sigma = \frac{1}{2} \frac{ne^2 \lambda}{m u} \quad (5.4.15)$$

өткөргүчтүн салыштырмалуу өткөрүмдүүлүгү деп аталат. Бул чоңдук өткөргүчтүн касиетине (n, λ) жана анын чөйрөдөгү абалына $(U = f(T))$ жараша болот экен. Ошентип, токтуу тыгыздыгы j (туурасынын кесилиш аянты $S = I$) бирге барабар болгон токтуу күчү), электр талаасынын чыңалышына түз пропорциялаш экен жана өткөрүчтүн салыштырмалуу өткөрүмдүүлүгүнө жараша болот. Өткөрүчтүн салыштырмалуу каршылыгы, анын салыштырмалуу өткөрүмдүүлүгүнө тескери пропорциялаш.

$$\rho = \frac{1}{\sigma} = \frac{2\pi n U}{ne^2 \lambda} \quad (5.4.16)$$

өкөндигинен, өткөргүчтөрдүн каршылыгы алардагы эркин электрондордун кристалдык торчонун түйүндөрүндө жайланышкан иондор менен кагылышкандын натыйжасы экендиги келип чыгат. Бир бирдик кесилишке $(S = I)$ жана узундукка $de = v dt = v \cdot l$ өз болгон өткөргүч аркылуу өткөн токтуу законун (5.4.14) карадык (5.4.4-чийме).

Омдун чыңжырддын бир тектүү бөлүгү үчүн закону. Узундугу L жана кесилиши S болгон өткөргүч аркылуу өткөн токтуу законун табыш үчүн (5.4.14-формула) L жана S боюнча интегралдайбыз б.а.

$$\int \int j dS dl = \int \int \sigma E dS dl$$

ында j жана σ - өткөргүчтүн узун, туурасына көз каранды эмес. Ошондуктан алардын интегралдын сыртына чыгарабыз

$$\int \int j dS dl = \sigma \int dS \int E dl$$

ындан $U = \int E dl$ экендигин эске алып,

$$j S L = \sigma S U \quad (5.4.17)$$

абабыз. Ал эми $j S = I$ жана $\sigma = \frac{1}{\rho}$ экендигин эске алып жана

$$R = \rho \frac{L}{S} \quad (5.4.18)$$

элтилеп, 5.4.17- формуладан

$$I = \frac{U}{R} \quad (5.4.19)$$

онтманы алабыз. Бул узундугу L , кесилиши S болгон чыңжырдын бөлүгү үчүн Омдун интегралдуу закону, же кыскача, чыңжырдын бөлүгү үчүн Омдун закону деп аталат (5.4.3-чийме) жана R - өткөргүчтүн каршылыгы деп аталат жана ал өткөргүч-

тегине (ρ), узундугуна жана кесилиш аянтына жараша болот экен.

3. Омдун ар тектүү чыжыр үчүн закону ЭКК булагына туташтырылган өткөргүчтүн бөлүгү үчүн закону: табалы (5.4.6-чийме). Мындай чыжыр үчүн Омдун дифференциалдык законун (5.4.14) төмөндөгүдөй жазып алууга болот.

$$j = \sigma (E + E^*) \quad (5.4.20)$$

Мында E^* бөтөн күчтүн талаасынын чыңалышы. Бул формуланы өткөргүчтүн бөлүгүнүн узундугу L жана кесилиш S боюнча интегралдан

$$j \int_S ds \int_L dl = \sigma \int_S ds \left[\int_L E_e dl + \int_L E_e^* dl \right]$$

Мурда бизге

$$\int_A^B E_e dl = U_{AB}, \quad \int_A^B E_e^* dl = \mathcal{E}_{AB}$$

экендиги белгилүү. Ошондуктан,

$$jSL = \sigma S (\mathcal{E}_{AB} + U_{AB}) = \frac{1}{\rho} S [U_{AB} + \mathcal{E}_{AB}]$$

Мындан

$$I = \frac{U_{AB} + \mathcal{E}_{AB}}{R + r} = \frac{U_{AB} + \mathcal{E}_{AB}}{R_T} \quad (5.4.21)$$

Мында $R_T = R + r$ - чыжырдын бөлүгүнүн толук каршылыгы, R - сырткы өткөргүчтүн, r - ЭКК булагынын ички каршылыгы, \mathcal{E}_{AB} жана U_{AB} тандалган өткөргүчтүн бөлүгүнө аракет кылган ЭКК жана анын учтарындагы потенциалдардын айырмасы.

Биз тапкан 5.4.21-формула, Омдун бир тектүү эмес чыжырдын бөлүгүнүн закону деп аталат.

4. Бир тектүү эмес чыжырды туюктасак $U_{AB} = 0, \mathcal{E}_{AB} = \mathcal{E}$ (5.2.3-чийме).

$$I = \frac{\mathcal{E}}{R+r} \quad (5.4.22)$$

Омдун туюк чыжыр үчүн закону алабыз.

5. Джоуль-Ленцтин закону электрондук теория ток өтүп жаткан өткөргүчтөн жылуулук бөлүнүү кубулушунун себебин түшүндүрө алат. Чыңдыгында эле электрондун эркин учуунун убагында электр талаасынан алган кинетикалык энергиясы (5.4.11-формуланы пайдаланып)

$$\Delta \mathcal{E}_k = \frac{m v_{max}^2}{2} = \frac{e^2 \lambda^2}{2 m \bar{v}^2} E^2 \quad (5.4.23)$$

барabar болот. Ар бир электрон ион менен кагышканда бул энергияны иондук торчого берет жана металлдын ички эмер-

гиясы жогорулап, ал өсөй баштайт.

Ар бир электрон секундасына $\nu = 1/\sigma = \bar{u}/\lambda$ жолу иондор менен кагылышат. Спондуктан, бир секундадагы бирдик көлөмдөгү электрондордун бир секундада кристалдык торчого берген энергиясы

$$W = n \nu \Delta \epsilon_k = \frac{n e^2 \lambda^2}{2 m \bar{u}^2} \cdot \frac{\bar{u}}{\lambda} E^2 \quad (5.4.24)$$

барabar болот. Мында n бирдик көлөмдөгү электрондордун саны, жана

$$\sigma = \frac{n e^2 \lambda}{m \bar{u}}$$

экендигин эске алсак

ал энергия

$$W = \sigma E^2 \quad (5.4.25)$$

барabar болот.

Бул формула Джоуль-Ленцтин дифференциалдык закону деп аталат жана ал ток өтүп жаткан бирдик көлөмдүү өткөргүчтөн бир секундада бөлүнүп чыккан жылуулукту мүнөздөйт.

(5.4.4-чийме).

Узундугу L , туурасынан кесилиши S болгон өткөргүчтөн t убактысында бөлүнүп чыккан жылуулукту табыш үчүн 5.4.

25-формуланы L жана t боюнча интегралдоо керек (5.4.5-чийме)

$$\int_{S, L, t} W ds dldt = \iiint \sigma E^2 ds dldt$$

Бул барабардыктын сол жагын Q тымгасы менен белгилеп,

$\int \sigma E^2$ экендигин эске алып

$$Q = \int_S ds \int_L dt \int E dl = \int S U t$$

же ток өтүп жаткан өткөргүчтөн t убактысында бөлүнүп чыккан жылуулук

$$Q = I U t$$

(5.4.26)

барabar болот.

Бул формула Джоуль-Ленцтин интегралдуу закону деп аталат б.а. ток өтүп жаткан өткөргүчтөн бөлүнүп чыккан жылуулук

Q токтун күчүнүн I өткөргүчтүн кесиндисинин учтарындагы чыңалуунун U жана убакыттын t көбөйтүндүсүнө барабар экен.

5.5. КЛАССИКАЛЫК ЭЛЕКТРОНДУК ТЕОРИЯНЫН КЕМЧИЛИКТЕРИ

Ошентип, электрондук теория тажырыйбалардан алынган Омдун, Джоуль-Ленцин закондорун туура түшүндүрө алат. Бирок, ал турактуу токтун кээ бир закондорун туура түшүндүрө албайт.

1. Өткөргүчтүн каршылыгынын температурадан болгон көз карандылыгы тажырыйбада төмөндөгүдөй туундурулат.

$$R_t = R_0 (1 + \alpha t) = \alpha R_0 T \quad (5.5.1)$$

Мында t - Цельсий шкаласы боюнча температура, T - абсолюттук температура шкаласы, α - каршылыктын температуралык коэффициент, R_0 - нөл градус температурдагы каршылык (5.5.1-чийме). Ал өми классикалык электрондук теориядан, (5.4.16, 5.4.2. формуладан)

$$\rho = \frac{1}{\sigma} = \frac{2\pi\bar{u}}{n_0 e^2} \bar{u} \sqrt{T} \quad (5.5.2)$$

каршылык температуранын $1/2$ даражасына түз пропорциялаш экендигин көрөбүз. Ал өми тажырыйбадан алынган формулада (5.5.1) каршылык

$$R \sim \rho \sim T$$

температуранын биринчи даражасына түз пропорциялаш экендиги көрүнөт.

Ошентип, электрондук теория температура өскөндө, өткөргүчтүн каршылыгы чоңоерун туура: туура түшүндүрө албайт экен.

2. Өзгөчө өткөрүмдүүлүк (сверхпроводимость)

5.5.1-формуладан, температура нөлгө умтулганда, өткөргүчтүн каршылыгы да нөлгө умтулары көрүнүп турат, б.а. $T=0$ болгондой. Бул закон биз жашаган чөйрөдөгү температуранын өзгөрүү чектери үчүн туура болот. 20-кылымдын башында газдарды суюктукка айландырууну жана алардын жардамы менен өтө төмөнкү (абсолюттук нөлгө жакын) температураны алууну үйрөнүштү, өтө төмөнкү температуурадагы өткөргүчтөрдүн каршылыктарын изилдеп, Голландиялык окумуштуу Камерлинг-Оннес, 1911 жылы сымалтын каршылыгы $T=4,2\text{K}$ (суук гелийдик кайноо температурасы) тап такыр жоголуп кетерин байкады (5.5.1-чийме) кийинчерээк, сымалтан башка кээ бир заттар төмөнкү температураларда каршылыктарын жоготуп аныкталды.

Өткөргүчтөрдүн төмөнкү температурадагы каршылыктарын жоготуу кубулушу өзгөчө өткөрүмдүүлүк, жана мындай өткөргүчтөрдү өзгөчө өткөргүчтөр деп аташат. Ар бир өзгөчө өткөргүчкө өзүнчө температуранын чеги туура келет (T_c). Эгерде өткөргүчтүн температурасы ушул температурадан төмөн болсо ($T < T_c$), өзгөчө өткөрүмдүүлүк пайда болот, ал эми $T > T_c$ болгондо бул кубулуш жок болот. Өткөргүч өзгөчө өтүмдүүлүк абалына өткөндө, магнит талаасын сүрүп чыгат, б.а. ар бир өзгөчө өткөргүчтөр үчүн чектүү магнит талаасынын чыңалышы H_c туура кетет. Эгерде сырткы магнит талаасынын чыңалышы $H < H_c$ болсо, $T < T_c$ экендигине карабастан өзгөчө өткөрүмдүүлүк жоголот.

1980-жылдардын аяк чендерине чейин өзгөчө өткөрүмдүүлүк түн чеги 23 Кельвинден (К) көтөрүлбөдү (-250°C) Ошондуктан, мындай кубулуш өтө төмөнкү температурадагы өзгөчө өткөрүмдүүлүк деген атка конду. Бирок, 1988-жылы немец окумуштуулары кээ бир кошумчалар (керамика) $\sim 100\text{K}$ температурадагы өзгөчө өткөрүмдүүлүктү алууга жетишишти. Бул, экирky жылдардагы илимдеги эң чоң ачылыш болду. Кээ бир кошумчалар, айрым бир шарттарда, комнаталык температурада (300 К) өзгөчө өткөрүмдүүлүк касиетке ээ болору байкалды. Бул кубулуш жогорку температуралуу өзгөчө өткөрүмдүүлүк (HTSC) деп аталып калды. Бул кубулуштун негизинде жаңы приборлор, жаңы системалар курула баштады.

Өзгөчө өткөрүмдүүлүк кубулушу классикалык электрондук теория менен түшүндүрүлбөйт. Ал үчүн кванттык теория колдонулат.

Ошентип, электрондук теория өткөргүчтүн каршылыгынын температурадан болгон көз карандылыгын түшүндүрүүгө жетиликтүү модалды кучагына албайт экен.

3. Видеман-Францтын закону

Металлдар жогорку электр өткөрүмдүүлүгүнө жана ээ болбостон, жогорку жылуулук өткөрүмдүүлүгүнө да ээ. Анын бул касиеттери эркин электрондор менен түшүндүрүлөт. Видеман-Франц эмпирикалык жол менен өткөргүчтөрдүн жылуулук

өткөрүмдүүлүгүнүн анын электр өткөрүмдүүлүгүнө болгон катышы бардык металлдар үчүн бирдей жана температурага түз пропорциялат деген законду аныкташкан. Металлдагы электрондорду "идеалдуу газ" деп алганбыз. Анын жылуулук өткөрүмдүүлүгү

$$\chi = \frac{1}{2} n k \bar{u} \lambda \quad (5.5.3)$$

Бул туунтманы 5.4.15-туунтмага койсок

$$\frac{\chi}{\sigma} = \frac{1}{2} \frac{n \bar{u} \lambda}{n e^2 \lambda} 2 m u = n \frac{m \bar{u}^2}{e^2}, \quad \frac{m \bar{u}^2}{2} = \frac{3}{2} k T$$

эске алып

$$\frac{\chi}{\sigma} = 3 \left(\frac{k}{e} \right) T \quad (5.5.4)$$

барabar болот. Эгерде Максвеллдин теориясындагы газдардын молекулаларына ылдамдыктардын бөлүнүшүн эске алсак, 5.5.4.-формулада "3" коэффициентинин ордуна "2" коюлушу керек. Ошентип, теория менен эксперименттин ортосундагы айрыма (3/2) эсе болот экен.

Классикалык электрондук теория булардан башка дагы металлдардын жылуулук сыйымдуулугун туура түшүндүрө албайт.

Бул классикалык теориядагы кыйынчылыктар, анын толук эмес экендигин көрсөтөт. Бул түшүндүрүлбөгөн кубулуштарды квант механикасында түшүндүрүлөт.

5.6. ОМДУН ЖАЛПЫЛАНГАН ЗАКОНУ ЖЕ ТАРМАКТАЛГАН ЧЫҢЫР ҮЧҮН КИРХГОФТУН ЗАКОНДОРУ.

Тармакташкан чыңырлардын айрым бөлүктөрүндөгү токторду аныктоо кыйынчылыктарга алып келет. Мындай чыңырлар үчүн Кирхгофтуң (закондорун) эрежелерин колдонулат. Мындай эреже экөө:

I. Чыңырдын түйүнүнө кирген токтардын алгебралык суммасы нөлгө барабар (5.6.1-чийме)

$$\sum_{k=1}^n I_k = 0 \quad (5.6.1)$$

түйүн деп экиден көп өткөргүчтөрдүн туташкан чекитти айтабыз. Эгер ток түйүнгө кирсе бир белги менен адисса, андан чыккан ток карама-каршы белги менен алынат. 5.6.2-чиймедеги А, В, С, Д, Е -чекиттери түйүндөрдү түзүшөт. Бул түйүндөрдүн аралыгында каршылыктар $\Gamma_1, \Gamma_2, \Gamma_3, \dots$, ЭКК булактары $\mathcal{E}_1, \mathcal{E}_2, \mathcal{E}_3, \dots$ болушат.

II. Ар бир туок чыжырдагы каршылыктардын алар аркылуу өткөн токторго болгон көбөйтүндүлөрүнүн (каршылыктардагы потенциалдардын төмөндөү) алгебралык суммасы андагы ЭКК (электр кыймылдаткыч күчтөрүнүн) алгебралык суммасына барабар

$$\sum_{i=1}^n I_i R_i = \sum_{i=1}^k \mathcal{E}_i \quad (5.6.2)$$

Адырky формуланы жайып кызыл үчүн төмөнкү аракеттерди кылаар керек: 1. Чыжырдын ар бир элементи аркылуу өтүүчү токту багытын шарттуу түрдө көрсөтүү; 2. Туок чыжырдын элементтерин кыдыруу багытын тандоо (сааттын жебесинин айлануу багыты боюнча же карама-каршы (5.6.2-чийме)).

Эгерде токту багыты менен кыдыруу багыты дал келсе $I_i R_i$ оң белги менен карама-каршы болсо терс белги менен жазылат. Ошондой эле ток ЭКК булагынын оң уюлунан чыгып, терс уюлуна кирсе \mathcal{E}_i оң белги менен алынат.

Мисалы; $ABCEA$ чыжыры үчүн:

$$I_1 r_1 + I_2 r_2 - I_3 r_3 - I_4 r_4 = \mathcal{E}_1 - \mathcal{E}_2 - \mathcal{E}_4 \quad (5.6.3)$$

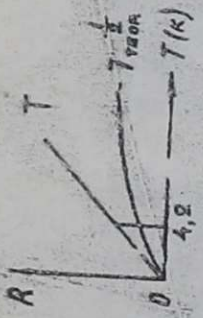
$ABCD$ чыжыр үчүн:

$$I_4 r_4 + I_3 r_3 - I_5 r_5 - I_2 r_2 = -\mathcal{E}_4 - \mathcal{E}_5 + \mathcal{E}_2 \quad (5.6.4)$$

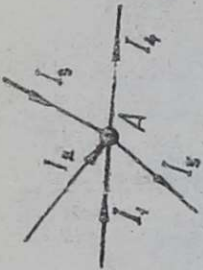
түйүнү үчүн Кирхгофун биринчи закону

$$I_4 - I_3 - I_5 = 0 \quad (5.6.6)$$

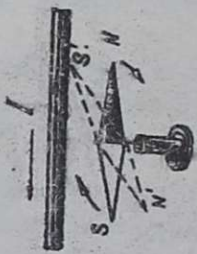
Мындай теңдемелердин саны тармактан чыжырдагы белгисиз параметрлердин (I, R, \mathcal{E} ж.б.) санына барабар болуу керек. Бул алгебралык теңдемелердин системасынан белгисиз керектүү параметрлерди аныктаого болот.



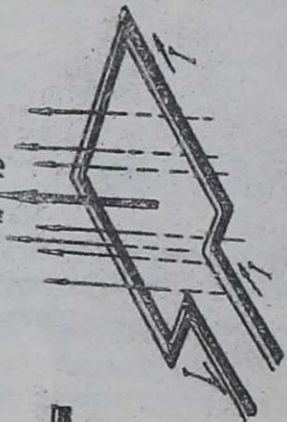
5.5.1-ЦИКЛИЧЕ



5.6.1-ЦИКЛИЧЕ



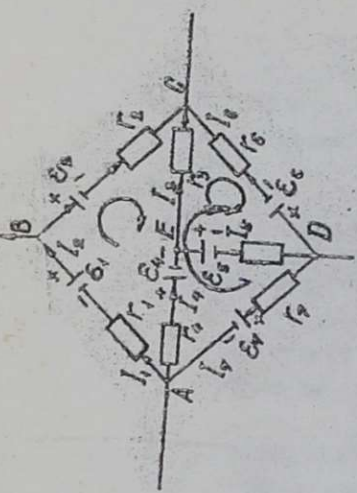
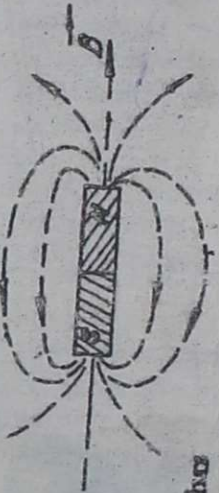
7.1.1-ЦИКЛИЧЕ



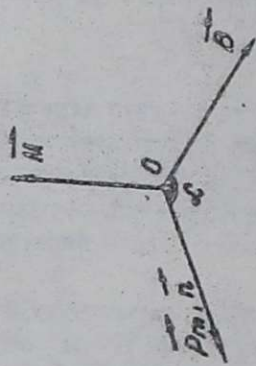
7.1.2-ЦИКЛИЧЕ



7.1.4-ЦИКЛИЧЕ



5.6.2-ЦИКЛИЧЕ



7.1.5-ЦИКЛИЧЕ

Э Л Е К Т Р О М А Г Н И Т И З М

Глава-7. Турактуу токтуу магнит талаасы.

7.1. Магнит талаасы. Магнит индукциясынын вектору \vec{B} .

Байыркы гректерге, турактуу магниттер жана алардын темир буюмдарды өзүнө тарта турган жөндөмдүүлүктөрү белгилүү болгон. Жер шары да магнит болуп эсептелет. Илгерки кытайлар жердин магниттик касиеттин пайдаланып компасты жасашкан.

Биз мурда электр заряддарынын айланасында электр талаасы пайда болорун көргөндөй, турактуу магниттердин жана электр токторунун айланасында магнит талаасы пайда боло тургандыгын көптөгөн тажырыйбалар көрсөткөн. Турактуу магнитти же ток өтүп жаткан (токтуу) өткөргүчтү магнит талаасына киргизгенде аларга күч таасир этет. Магнит талаасы деген атын токтун талаасынын магнит жебесине болгон таасирине байланыштырышат. (Эрстедтин тажырыйбасы, 1920 ж. 7.1.1-чийме). Эгерде түз өткөргүчтү магнит жебесине жакын жана жарыш кылып жайланыштырып, ал аркылуу ток жиберсек жебече өткөргүчкө перпендикуляр багытты көздөй айланат. Токтун күчү канчалык көп болсо, жебече ошончолук перпендикулярдуу болууга умтулат.

Магнит жебесин жердин үстүнө койсок бир учу түндүктү, экинчи учу түштүктү көздөй дайыма багыттанат. Жебенин ~~түндүктү көздөй дайыма багыттанат.~~ Жебенин түндүктү караган учун түндүк үөл деп ζ тамгасы менен белгилеп, ал эми түштүктү караган учун түштүк үөл деп η тамгасы менен белгилеп коюлган.

Магнит талаасы токтуу өткөргүчкө да аракет кылат.

Электр тогу заряддуу бөлүкчөлөрдүн багыттуу кыймылы болгондуктан: 1) Магнит талаасы кыймылдагы заряддарга гана аракет этет, ал эми кыймылсыз турган заряддарга таасир этбейт. Бизге белгилүү электр талаасы ар кандай абалдагы (тыныч жана кыймылда) заряддарга таасир этерин өске салайлы.

2). Ошондой эле токтун айланасында магнит талаасы пайда болгондуктан, ар бир кыймылда болгон заряддын айланасында да магнит талаасы пайда болот деген жыйынтыкка келебиз.

3). Электр заряды кыймылдаганда анын айланасында электр талаасына кошумча магнит талаасы пайда болот экен.

Көптөгөн тажрыйбалардын негизинде магнит талаасынын багыты болуп кыймылдагы заряддар б.а. электр тогу өсөптөлөрү аныкталган.

Магнит талаасын мүнөздөө үчүн магнит индукциясынын вектору \vec{B} киргизилет. Эми бул чоңдукту кантип аныктоо жана өлчөө керек?

Ал үчүн магнит талаасынын магнит жебесине, кылган аракетин пайдалансак болор эле. Бирок, ал үчүн магнит жебесинин магниттик касиетти белгилүү болушу керек. Бирдей касиеттеги жебелерди жасоого болбойт жана убакыт өткөн сайын алардын магниттик касиети өзгөрөт.

Спирондуктан магнит талаасынын токтуу өткөргүчкө аракетин пайдаланарбыз. Ток өтүп жаткан алкакты (рамканы) магнит талаасына киргизгенде, ал айланып кандайдыр бир белгилүү багытка буруларын тажрыйбалар көрсөттү. Ал багыт магнит талаасынын багытына жараша болору аныкталды. Бул алкактын магнит талаасында айланышы, ага күчтүн ийини (момент силы) \vec{M} таасир этерин көрсөтөт.

Ошентип, магнит индукциясынын векторун аныктоо үчүн токтуу алкакты алабыз. Мындай алкак аркылуу өткөн токтун күчү I жана ал курчаган тегиздиктик аянты S белгилүү болсо, аны ченелүү алкак деп коёбуз. Ченелүү алкакты мүнөздөөчү чоңдук катары алкактын магнит ийининин вектору \vec{P}_m (вектор магнитного момента) киргизебиз

$$\vec{P}_m = IS\vec{n}$$

Мында \vec{n} ошол алкак курчаган тегиздикке тургузулган нормалдын бирдик вектору (7.1.2-чийме). Эгерде бураманын туткасынын айланышы багыты токтун багыты менен дал келсе нормалдын багыты катары оң бураманын жылчык багыты алынат.

Ушундай токтуу алкакты магнит талаасына кайланыштырсак, анда алкак айланып, тең салмактуу абалды ээлейт ($M=0$). Ошол алкактын нормалынын багыты магнит талаасынын багытын көрсөтөт.

Ченелүү алкакка таасир эткен күчтүн ийини \vec{M} алкактын магнит ийинине \vec{P}_m жана магнит индукциясынын векторуна түз пропорционал өлчөндүгүн тажрыйбалар көрсөтөт, б.а.

$$\vec{M} = k' \int \vec{p}_m \times \vec{B}] \quad (7.1.2)$$

Энда k' тажырылбадан аныкталуучу пропорция коэффициенти,
же

$$M = k' p_m B \sin(\vec{n} \times \vec{\beta}) \quad (7.1.3)$$

7.1.2. же 7.1.3 формуладан магнит талаасынын, алкак жайланышкан чекиттеги чондугун (B) аныктоого болот (7.13-чийме). Эгерде $p_m = 1$ деп, жана алкактын нормалы \vec{n} менен \vec{B} векторунун ортосундагы бурч $\alpha = 90^\circ$ болсо, 7.1.3-формуладан $B=M$ экендигин алабыз б.а. мындай шартта магнит индукциясы \vec{B} күчтүн ийинине \vec{M} барабар болот. Олентип, магнит индукциясынын вектору \vec{B} бирдик магнит ийиндүү ченелүү алкакка таасир эткен күчтүн ийинине барабар экен. Демек \vec{B} магнит талаасынын күчтүк мүнөздөмөсү болот.

Магнит талаасын ушундай ыкма менен өлчөш үчүн ченелүү алкактын өлчөмдөрү жеткиликтүү кичинекей болуш керек, б.а. алкактын тегиздигинин ар бир чекитинде \vec{B} бирдей (бир тектүү) болушу керек.

Магнит талаасын электр талаасы сыяктуу эле күч сызыктардын жардамы менен сүрөттөп көрсөтүүгө болот. Магнит индукциясынын күч сызыктары анын ар бир чекитине жүргүзүлгөн жана сызык \vec{B} векторунун багыты менен дал келгендей кылып жүргүзүлөт. Магнит талаасынын чондугу бул сызыктардын тыгыздыгы аркылуу сүрөттөлөт (7.1.4-чийме).

Магнит талаасынын күч сызыктары дайыма түрк болушат жана токтуу өткөргүчтү курчап турушат.

Эгерде токтуу өткөргүч ар кандай чөйрөдө (боштукта, диэлектриктердин же магниттик материалдардын ичинде ж.б.) жайланып, ар кандай чөйрөдө B ар түрдүү чондукта болот. Себеби, чөйрөлөр атомдордон, молекулалардан турат. Алардагы айланп жүргөн электрондор микротокторду түзүшөт. Ар кандай ток сыяктуу эле бул микротоктор дагы өзүнүн магнит талаасын түзүшөт. Бул өзүмдүк магнит талаалар токтуу өткөргүчтүн (макротоктун) магнит талаасы менен кошулат. Олентип, магнит индукциясынын вектору B макро жана микро токтордун магнит талааларынын суммасына барабар экен.

Боштукта (вакуумда) жайланышкан токтуу өткөргүчтүн (макро-

токтун) магнит талаасын мүнөздөө үчүн магнит талаасынын чыңалышы \vec{H} деген чоңдук киргизилет, ал \vec{B} сыяктуу эле вектор жана күчтүк мүнөздөмө.

Демек, $\vec{B} = \vec{H}$ (абсолюттук системасында - СГСМ)
 $\vec{B} = \mu_0 \vec{H}$ СИ системасында

Мында - магниттик турактуу сан,

СГСМ-системасында $\mu_0 = 1$

СИ-системасында $\mu_0 = 4\pi \cdot 10^{-7} \text{ Гн/м}$

Заттардын магниттик касиети магнит өтүмдүүлүгү менен мүнөздөлөт. Эгерде токтун айланасында кандайдыр бир чөйрө болсо, анын магнит талаасы чөйрө жок кездегиге салыштырганда μ эсе чоң болот экен (бул жөнүндө кийинчерээк толугураак токтолобуз), б.а.

$$\vec{B} = \mu \vec{B}_0 = \mu \mu_0 \vec{H} \quad (7.1.4)$$

μ - чөйрөнүн магнит өтүмдүүлүгү, өлчөмсүз сан.

\vec{B}_0 - баштагы магнит талаасынын индукциясы

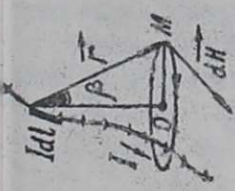
7.2. БИО-САВАР -ЛАПЛАСЫН ЗАКНЫ

Турактуу токтун магнит талаасынын закон ченемдүүлүктөрүн тажырыйба жүзүндө БИО жана Савар өздөштүргөн, анын математикалык формула түрүндө Лаплас жазган.

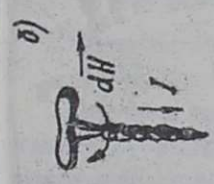
Магнит талаасынын булагы болуп ток эсептелерине илендик. Бирок, магнит талаасынын чоңдуктары \vec{B}, \vec{H} токтун күчүнө гана эмес, ошол ток өтүп жаткан контурдун калыбына да жараша болот. Бул кыйындыктан кутулуп үчүн: 1) Ток өтүп жаткан контурду жөнөкөй жана өтө кичинекей $d\vec{l}$ бөлүктөргө (элементтерге) бөлүшкөн жана бул элементти токтун күчүнө болгон көбөйтүндүсүнө токтун элементи $I d\vec{l}$ деп аташкан. Магнит талаасынын чоңдугу токтун элементи менен гана көз каранды болот. 2) Ток өтүп жаткан контурдун толук магнит талаасы ошол элементтер түзгөн элементардык магнит талаалардын вектордук суммасына барабар болот (суперпозиция принциби)

$$\vec{H} = \sum_{i=1}^N d\vec{H}_i, \quad \vec{B} = \sum_{i=1}^N d\vec{B}_i = \int d\vec{B}_i \quad (7.2.1)$$

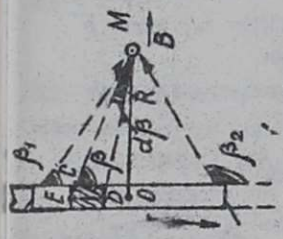
Ошентип, токтун өткөргүчтүн магнит талаасын табыш үчүн, адегенде токтун элементардык магнит талаасынын закон ченемдүүлүгүн табыш керек экен, б.а. $d\vec{H} = f(I d\vec{l}, r, \dots)$ табуу



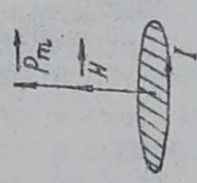
7.2.1 - ЧИТМЕ



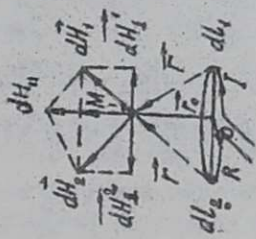
7.2.2 - ЧИТМЕ



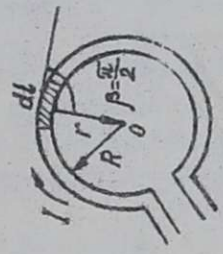
7.3.1 - ЧИТМЕ



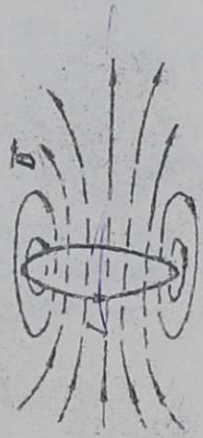
7.4.2 - ЧИТМЕ



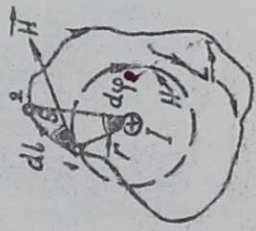
7.4.3 - ЧИТМЕ



7.4.4 - ЧИТМЕ



7.4.5 - ЧИТМЕ



7.5.1 - ЧИТМЕ

керек. Бул закон ченемдүүлүктү Бис-Савар - Лаплас тар табыч кан (7.2.1^а- чийме)

$$dH = k \frac{Idl}{r^2} \sin \beta \quad (7.2.2)$$

же вектордук түрдө

$$d\vec{H} = k \frac{[Idl \times \vec{r}]}{r^3} \quad (7.2.3)$$

Мнда \vec{r} - радиус вектор, k - пропорция коэффициенти: $k = \frac{1}{4\pi \epsilon_0 \mu_0}$ СИ системасында, $k = \frac{1}{4\pi}$ СГС системасында.

Ошентип, токту элементинин Idl дин r аралыгында түзген магнит талаасы dH ошол токту элементинин Idl жана \vec{r} векторлорунун ортосундагы бурчтун синусунун көбөйтүндүсүнө түз пропорционал ал эки аралыктын квадратына тескери пропорционал.

Элементардык магнит талаасынын багыты Idl дин багытына салыштырмалуу оң бурчтун эрежеси боюнча аныкталат (7.2.1^б-чийме). 7.1.4-формуланын негизинде $d\vec{B}$ ны $d\vec{H}$ аркылуу төмөндөгүчө тунтудуулач

$$d\vec{B} = k \mu_0 \frac{[Idl \times \vec{r}]}{r^3} \quad (7.2.4)$$

Бис-Савар-Лапластын жана суперпозиция принцибин колдонуп ар кандай түрдөгү контурлар аркылуу өткөн токтордун магнит талаасын табууга болот. Теңде утул боюнча эки мисал карайлы.

7.3. ТҮЗ СИСТЕМДУУ ТОКТУН МАГНИТ ТАЛААСЫ

Түз токту L аралыгында жаткан M чекитиндеги магнит талаасын табайлы. Бул токту ар кандай элементтери Idl үчүн dH магнит талаасынын багыты бирдей болгондуктан алардын суперпозициясын алгебралык суммасына барабар болот (7.3.1) (7.3.1-чийме). Ошондуктан, Бис-Савар-Лапластын законуна (7.2.2). Суперпозиция принцибин (7.2.1) колдонуп, M чекитиндеги түз ток түзгөн магнит талаасынын чыңалышын H табайбыз. Бирок, биз азыркы колдонуучу формулада берилген системаны ошолчө турган чоңдуктары аркылуу (I, R, β) тунтутуубуз керек. Ошентип,

$$dH = k \frac{Idl}{r^2} \sin \beta \quad (7.3.1)$$

$$\vec{H} = \sum_{i=1}^N d\vec{H}_i = \int_L d\vec{H} \quad (7.3.2)$$

L - контурдун ток агуп жаткан узундугу

7.3.1-формуладагы r, d, l, β параметрлерин елчөөчү чоңдуктарга алмаштыралы 7.3.1-чиймеден үч бурчтуктардан

$$\triangle ODM : \rightarrow r = D / \sin \beta \quad (7.3.3)$$

$$\text{үч бурчтук } \triangle CDE : DC = dl \sin \beta \quad (7.3.4)$$

$$\text{үч бурчтук } \triangle DMC : DC = rd \beta \quad (7.3.5)$$

7.3.4 жана 7.3.5 формулаларды теңдеп, жана 7.3.3 эске алып

$$dl = \frac{rd\beta}{\sin \beta} = \frac{Rd\beta}{\sin^2 \beta} \quad (7.3.6)$$

Эми (7.3.6) жана (7.3.3) формулаларды (7.3.1)-заңына кооп төмөнкүнү алабыз

$$\int dH = \kappa \frac{I}{R} \sin \beta d\beta \quad (7.3.7)$$

Бул туунтма dH элементаринин токтон r аралыктагы dH магнит талаасын аныктайт. Бардык элементардык токтордун M чекитиндеги түзгөн талаасын табыш үчүн 7.3.7 туунтмага суперпозиция принцибин (7.3.2) колдонобуз, б.а.

$$H = \int dH = \kappa \frac{I}{R} \int_{\beta_1}^{\beta_2} \sin \beta d\beta = -\kappa \frac{I}{R} \sin \beta \Big|_{\beta_1}^{\beta_2} = \kappa \frac{I}{R} (\sin \beta_1 - \sin \beta_2) \quad (7.3.8)$$

$$H = \kappa \frac{I}{R} (\sin \beta_1 - \sin \beta_2)$$

Бул формула ийке түз ток үчүн колдонулат.

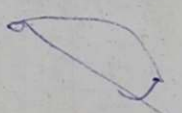
Эгерде түз токту узундугу чексиз болсо, $\beta_1 \rightarrow 0; \beta_2 \rightarrow \pi$ чексиз түз ток үчүн (7.3.8) теңдемеден H үчүн төмөнкүнү алабыз

$$H = 2\kappa \frac{I}{R} \quad (7.3.9)$$

Ошентип, чексиз түз токту магнит талаасынын тыңалышы токту күчүнө I түз пропорциялаш, ал эми андан каралган M чекитине чейинки R аралыкка тескеря пропорциялаш экен.

Алынган туунтма түз токко перпендикуляр болгон тегиздиктеги R аралыкта жаткан бардык чекиттер үчүн бирдей болгондуктан, бул чекиттердин орду айланмалы түзөт.

Ошондуктан, түз токту магнит талаасынын күч сызыктары борбору токту жаткан борбордош айланалардын тобуу түзүлөт. (7.3.2-чийме). Магнит талаасынын күч сызыктарынын багыты оң бурманын эрежеси боюнча аныкталат.



7.4. ТЕГЕРЕК ТОКТУН МАГНИТ ТАЛААСЫ

Радиусу R болгон айлана аркылуу жүргөн I тогунун анын борбору аркылуу өткөн огуңдагы магнит талаасын табайлы (7.4.1-чийме). Ал үчүн дагы эле Био-Савар-Лапластын (7.2.2) чана суперпозиция принцибин колдонобуз (7.2.1). Мурдагыдай эле контурдун параметриерин өлчөнө турган I, R, r_0 болгондуктан $\rho = 90^\circ$; $\sin \rho = 1$ 7.2.2.-формуладан 7.4.1-чиймеден: $d\vec{H} = d\vec{H}_1 + d\vec{H}_2$ болгондуктан $dH_1 = dH_2 = dH$ жана $d\vec{H}_1$ векторлорун окко перпендикулярдуу dH_1 жана жарыш dH_2 түзүүчүлөргө ажыратсак $dH_1 = -dH_1^z$, $dH_2 = dH \cos \alpha$ болот. Буга (7.4.1) кош төмөнкү алабыз $dH = k \frac{Idl}{r^2}$ (7.4.1)

$$dH_n = dH \cos \alpha = k \frac{Idl}{r^2} \cos \alpha \quad (7.4.2)$$

Эми суперпозиция принцибин колдонолу.

Анда $d\vec{H}_1 = \sum_{i=1}^N d\vec{H}_1^i = 0$ себеби $dH_1 = -dH_1^z$
Ошондой эле айлананы карама-каршы жактарындагы ушундай жуп элементеринин магнит талааларынын нормалдуу түзүүчүлөрү dH_1 бирин кошуп, натыйжада алардын бардыгынын суммасы нөлгө барабар болот. Ал эми жарыш түзүүчүлөрү dH_2 бир багыттау болгондуктан кошулушат, б.а.

$$H = \oint_L dH_n = k \frac{I \cos \alpha}{r^2} \oint_L dl = k \frac{I \cos \alpha}{r^2} 2\pi R \quad (7.4.3)$$

$\triangle MON$ бурчтугунан пифагордун теоремасын негизинде $r^2 = r_0^2 + R^2$ жана $\cos \alpha = \frac{R}{\sqrt{R^2 + r_0^2}}$ экендигин табабыз.

Акыркыларды 7.4.3-тукунтамага кош. төмөнкү барабардыкты алабыз

$$H = k \frac{2\pi R I}{R^2 + r_0^2} \frac{R}{(R^2 + r_0^2)^{1/2}} = k \frac{2\pi R^2 I}{(R^2 + r_0^2)^{3/2}} \quad (7.4.4)$$

Бул тукунтама тегерек токтун күчү I контурунун радиусу R жана тегеректин борборунан r_0 аралыктагы окто жаткан M чекитиндеги магнит талаасынын чыңалышын (H) аныктайт. Эми четки чектеги учурларды карайлы:

1) Айлананын борбору үчүн $r_0 = 0$ болгондуктан, борбордогу магнит талаасы

$$H_0 = k \frac{2\pi I}{R} \quad (7.4.5)$$

барабар болот

2). Таскерисинче $r \gg R$ болсун. Анда $r_0^2 \gg R^2$ болгондуктан, (7.4.4) - теңдемеден

$$H = k \frac{2\pi R^2 I}{r_0^3} = k \frac{2IS}{r^3} = \frac{k}{k'} \frac{p_m}{r^3} ; p_m = k' IS$$

p_m - контурдун магнитинин ийини.

Ошентип, кичинекей тегерек контурдун магнит талаасы

$$\vec{H} = \frac{k}{k'} \frac{p_m}{r^3}$$

контурдун магниттик ийинине \vec{p}_m түз пропорциялап жана багыты менен дал келет экен (7.4.2-чийме).

Тегерек токтуу магнит талаасынын күч сызыктары, ток курчаган турук айланалардын болушат. Борбору аркылуу өткөн күч сызык айлананын огу менен дал келет (7.4.4-чийме).

7.5. МАГНИТ ТАЛААСЫНЫН ЧЫЧАЛЫШ ВЕКТОРУНУН ЦИРКУЛЯЦИЯСЫ ЖЭНҮНДЕГҮ ТЕОРЕМА (ТОЛУК ТОКТУУ ЗАКОНУ)

Ар кандай токтуу өткөргүчтүн же өткөргүчтөрдүн тобу-нун түзгөн магнит талаасын Био-Савар Лапластын законунун жана суперпозиция принцибинин негизинде табууга боло тургандыгын жогоруда көрсөттүк. Бирок бул жол жөнөкөй учурлар үчүн (түз жана тегерек токтор) ыңгайлуу, бирок жалпы жөнүнөн өзүн актабаган узун жана таттал эсептөөлөргө алып келет. Тогу бар өткөргүчтөрдүн магнит талаасын табуунун жөнөкөй закону болуп, магнит талаасынын чычалыш векторунун (\vec{H}) циркуляциясы жөнүндөгү теорема эсептелет. Ал үчүн адегенде \vec{H} векторунун циркуляциясы эмнеге барабар экендигин аныктайлы. I тогун курчаган контур L ушул токто перпендикуляр тегиздикте жатсын (7.5.1-чийме). \vec{H} векторунун турук L контуру боюнча болгон циркуляциясы деп, ушул турук контур боюнча эки \vec{H} жана $d\vec{l}$ контурдун элементи) векторлорунун скалярдык көбөйтүндүсүнөн алынган интеграл аталат, б.а.

$$\oint_L \vec{H} \cdot d\vec{l} = \oint_L H dl \cos(\vec{H}, d\vec{l}) = \oint_L H_0 dl \quad (7.5.1)$$

Мында $H_0 = H \cos \theta$ \vec{H} векторунун $d\vec{l}$ элементиндеги проекциясы, $\cos \theta = (\vec{H}, d\vec{l})$

$$7.5.1\text{-чиймеде көрүнгөндөй } dl_0 = dl \cos \theta, dl_0 = r d\varphi, \quad (7.5.2)$$

б.а. $dl \cos \theta = r d\varphi$
Түз I токтун r аралыгындагы магнит талаасынын чычалыш

$$H = \sigma \frac{2I}{R}$$

(7.5.3)

экендигин жана 7.5.2-туунтамаларды эске алып, 7.5.1-формуладан

$$\oint H_i dl = k 2I \oint d\varphi$$

(7.5.4)

алабыз.

Бул туунтамата, интегралдын параметри болуп ток өткөн өткөрүчтү айланган φ бурчу эсептелет. Биз \angle контуру боюнча толук айланып чыксак φ бурчу 0 дон 2π чейин өзгөрөт

б.а.

$$\oint H_i dl = k 2I \int_0^{2\pi} d\varphi = k 4\pi I$$

(7.5.5)

Бул интеграл, эгерде \angle контуру жаткан тегиздик I тогуна перпендикуляр болбосо да туура болот. Себеби $d\vec{l}$ векторун I тогунун багытына жарыш жана перпендикуляр кылып алырканда $d\vec{l} = d\vec{l}_n + d\vec{l}_\perp$

$$H d\vec{l} = H dl_n \cos(\vec{n} \cdot d\vec{l}_n) + H dl_\perp \cos(\vec{n} \cdot d\vec{l}_\perp) : \cos(\vec{n} \cdot d\vec{l}_n) = 0$$

б.а. $d\vec{l}$ векторунун перпендикуляр түзүүчүсү $d\vec{l}_\perp$ тана мааниге өз болот.

Биз жогоруда I тогун курчаган туюк \angle контурун карайлы. Эгерде мындай туюк контур токту курчабаса $\oint H dl$ нөлгө барабар экендигин оңой эле көрсөтүүгө болот.

Эгерде туюк \angle контуру бир нече токторду курчаса (7.5.2-чийме) бул интеграл

$$\oint H_i dl = k 4\pi \sum_{i=1}^N I_i$$

(7.5.6)

б.а. Магнит талаасынын чыңалыш векторунун туюк контур боюнча циркуляциясы сан жагынан ошол контур курчаган токтордун алгебралык суммасын $k 4\pi$ көбөйткөнгө барабар экен. Бул биз жогоруда атаган теореманын аныктамасы болуп эсептелет. Бул теореманы толук токтуу закону деп да атап кошолат.

7.5.2-чийме үчүн, алгебралык токтордун суммасы $\sum_{i=1}^N I_i = I_1 + 2I_2 + 0I_3 - I_4$ болот, б.а. ар бир ток туюк контур аркылуу канча жолу курчалса ошончо жолу эсептелет:

I_1 тогу бир жолу, I_2 тогу эки жолу, I_3 тогу курчалбайт, I_4 тогунун багыты карама-каршы.

Бул теорема магнит талаасынын негизги закону болуп эсептелет, б.а. 7.5.6-формуладан: 1) Магнит талаасынын булагы болуп электр тогу эсептелет. 2) Магнит талаасын

токторду курчап турган тулк күч сызыктардан турат. Мындай талааларды соленоидалдуу же куюндуу деп аташат.

Бул теореманы колдонуунун мисалдарына токтололу.

7.6. СОЛЕНОИДДИН ЖАНА ТОРОИДДИН МАГНИТ ТАЛААЛАРЫ

Кандайдыр бир өзөккө бир калыпта удаалаш оролгон өткөргүчтөрдү соленоид деп аташат. Бул оромолор аркылуу бирдей I тогу өтөт. (7.6.1-чийме). Эгерде соленоиддин узундугу l , андагы оромолордун саны N болсо, андагы оромолордун тыгыздыгы $n = \frac{N}{l}$ болот. Ар бир оромонун түзгөн магнит талаасы кошулат.

Эгерде соленоиддин узундугу анын диаметринен алда канча чоң болсо, аны чексиз узун деп кароого болот. Мындай соленоиддин магнит талаасы анын ичинде топтолгон, анын сыртында жокко эсе (7.6.1-чийме). Ушундай чексиз узун соленоиддин магнит талаасын табыш үчүн магнит талаасынын чыңалып векторунун циркуляциясынын теоремасын колдонуубуз 7.5.6-формуладан.

$$\oint \vec{H}_c d\vec{l} = \kappa 4\pi NI$$

алабыз.

Бул формулада магнит талаасынын чыңалышын табыш үчүн, барабардыктын сол жагындагы интегралды эсептеш үчүн ыңгайлуу түрдөгү тулк контурду алуубуз керек. Биздин шартта мындай контур N оромду өзүнө курчаган узундугу l болгон тик бурчтук болот, б.а. тулк l контуру боюнча болгон интегралды тик бурчтуктун төрт жактары боюнча болгон төрт интегралдын суммасы катары кароого болот,

$$\oint \vec{H}_c d\vec{l} = \int_1^2 \vec{H}_c d\vec{l} + \int_2^3 \vec{H}_c d\vec{l} + \int_3^4 \vec{H}_c d\vec{l} + \int_4^1 \vec{H}_c d\vec{l} = \kappa 4\pi NI$$

Тик бурчтуктун 1-2 жана 3-4 жактары магнит талаасынын векторуна перпендикуляр болгондуктан $H_c = H \cos 90^\circ = 0$. Ал эми чексиз соленоиддин сыртында магнит талаасы болбогондуктан $H=0$ 4-1 жакында да $H_c = 0$

Эментип, $\oint \vec{H}_c d\vec{l} = \int_2^3 \vec{H}_c d\vec{l} = \int_2^3 H dl = Hl$. $Hl = \kappa 4\pi NI^2$

б.а. $H = \kappa \frac{4\pi N I}{l} = \kappa 4\pi n I$

Бул формулада соленоиддин магнит талаасы анын ичинде

тоштолгон гача бир тектүү, ал тоқтун \angle күчүнө жама ормолордун l жаштыгына түз пропорциялап өкөн. Бир тектүү магнит талаасы жарыл, бирдей жаштыкта жайланышкан күч сызыктар аркылуу көрсөтүлгөн (7.5.2-чийме).

Эгерде соленоиддин узундугу чектелүү болбосо ($l \gg R$) анда анын магнит талаасы H анын оңунун кандайдыр бир чекитинде төмөнкүдөй аныкталарын далилдебестен жазалы (7.6.1-чийме)

$$H = k \frac{2NI}{R} (\cos \varphi_2 - \cos \varphi_1)$$

(7.6.2)

Мында $\varphi_2 < \varphi_1$, $\cos \varphi_1 = -l/R^2 + l^2$

$$\cos \varphi_2 = (l-l_1) / \sqrt{R^2 + (l-l_1)^2}$$

2. Торойд деп туок соленоидди айтабыз (7.6.3-чийме) торойддин магнит талаасынын чыңалышын табыш үчүн 1.6.7-формулань колдонобуз, торойддин узундугу $2\pi l$

R торойд орточо радиусу,

$$H = k \frac{2NI}{R}$$

(7.6.4)

Аныркы формуладан, торойддин магнит талаасы чексиз соленоид сыяктуу эле бир тектүү жана анын ичинде гана пайда болору келип чыгат.

7.7. КЫҢЫЛДАГЫ ЗАРЯДДИН МАГНИТ ТАЛААСЫ

Био-Савар-Лапластын законунун негизинде Idl тоқтун элементи баралында dH магнит талаасынын чыңалышын түзгөн кергенбуз, б.е.

$$dH = k \frac{I d\vec{l} \times \vec{r}}{r^3}$$

(7.7.1)

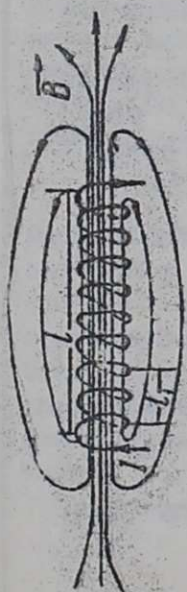
Электр тогу барыттуу кыңылдагы заряддардын тобу болгондуктан, dH талаасы элементиндеги заряддардын түзгөн талааларынын вектордук суммасына барабар болот, б.е.

$$dH = NH$$

(7.7.2)

Мында k кыңылдагы бир заряддын түзгөн магнит талаасын. Эгерде $dl \ll r$ болсо, радиус вектор \vec{r} бардык заряддар үчүн бирдей болот.

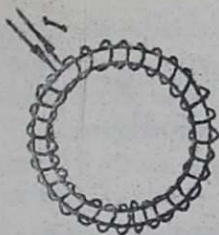
Тоқтун Idl элементин заряддардын саны N ылдамдыгы v жана чоңдугу q аркылуу тунтабыз (7.7.1-чийме)



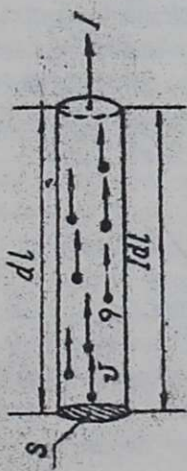
7.6.1 - ЧИЙМЕ



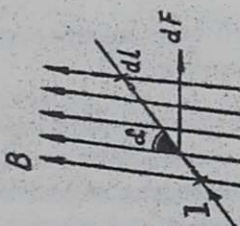
7.6.2 - ЧИЙМЕ



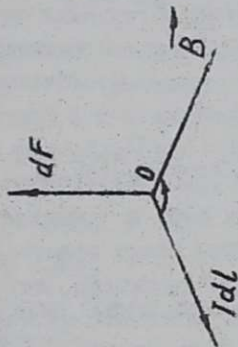
7.6.3 - ЧИЙМЕ



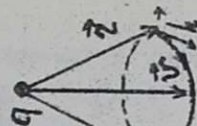
7.7.1 - ЧИЙМЕ



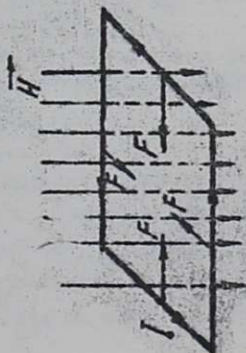
7.8.1 - ЧИЙМЕ



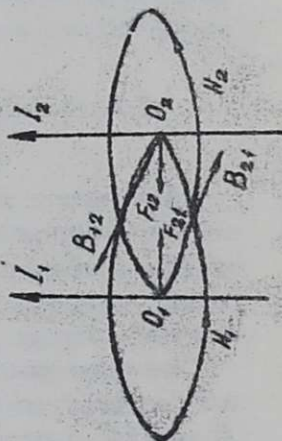
7.8.2 - ЧИЙМЕ



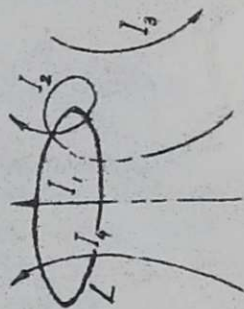
7.7.2 - ЧИЙМЕ



7.8.3 - ЧИЙМЕ



7.9.1 - ЧИЙМЕ



7.10.1 - ЧИЙМЕ

$$|dl| = j S dl \quad j = n q v \quad \text{токтун тыгыздыгы}$$

$$|d\vec{l}| = n q v S dl = q \vec{v} n V = N q v \quad (7.7.3)$$

Акыркы туунтманы 7.7.1-формулага кооп

$$d\vec{H} = k N q \frac{[\vec{v} \times \vec{r}]}{r^3}$$

N заряддын аралыгындагы магнит талаасынын чыңалышын таптык. Бир заряддын магнит талаасын табыш үчүн $d\vec{H}$ ты заряддардын саны N ге бөлөбүз.

$$\vec{H} = \frac{d\vec{H}}{N} = k q \frac{[\vec{v} \times \vec{r}]}{r^3} \quad (7.7.4)$$

Бул ылдамдыгы болгон бир q заряддын аралыгындагы магнит талаасынын чыңалышы болуп эсептелет. Кыймылдагы заряддын магнит талаасынын күч сызыктары, түз токтуку сыяктуу эле, заряддын кыймылынын багытынын айланган борбордош сызыктар болушат экен. (7.7.2-чийме)

7.8. Магнит талаасынын токко жасаган аракети.

Ампердин закону.

Биз биринчи лекцияда, магнит талаасында жайланышкан өлчөмдүү алкакка күчтүн ийини таасир этип, кандайдыр бир бурчтан буруларын көргөнбүз. Эми токтуу өткөргүчкө магнит талаасынын таасир эткени күчүнүн закон менен мүлдүгүн карайлы. Мындай закон менен мүлдүктү Ампер тапкан (1820 ж).

Ампердин законун башкача магнит индукциясы \vec{B} болгон магнит талаасынын токтуу элементине $I d\vec{l}$ аракет кылган \vec{F} күчү $d\vec{B}$ жана $I d\vec{l}$ векторлорунун жана алардын ортосундагы бурчтун косинусунун көбөйтүндүлөрүнө барабар (7.8.1-чийме), б.а.

$$d\vec{F} = k' I d\vec{l} \times d\vec{B} \sin(\angle d\vec{l}, \vec{B}) \quad (7.8.1)$$

же вектордук түрүндө

$$d\vec{F} = k' [I d\vec{l} \times \vec{B}], \quad (7.8.2)$$

Мында k' пропорция коэффициенти.

$d\vec{F}$ күчтүн багытын, эгер $I d\vec{l}$ жана \vec{B} векторлорунун багыттары белгилүү болушса, үч ортогоналдуу векторлордун же кол жол эрежеси боюнча аныктоого болот (7.8.2-чийме).

Бал колдун жайык алаканы төрт Зарпактын учтагы токтуу багыт

тына дал келгендей жана магнит талаасынын күч сызыктары алаканга киргендей кылып койсок, баш бармак аракет кылган $d\vec{F}$ күчүнүн багытын көрсөтөт. ✓

Ампердин законунан токтоу алкакка магнит талаасынан күчтүн ийини аракет кылары келип чыгарын көрсөтөдү (7.8.3-чийме) Адегенде токтоу алкактыч тегиздиги (1-2-3-4) бир тектүү магнит талаасынын күч сызыктарынын тегиздигине дал келсин. Алкактын 1-2 жана 3-4 жактарын l деп, ал эми 1-4 жана 2-3 жактарын b деп белгилеп коейлу. Анда 1-2 жана 3-4 жактарына магнит талаасы тасир этбейт ($F_3, F_4 = 0$), ал эми 1-4 жана 2-3 жактарына таасир эткен F_1 жана F_2 күчтөрү максималдуу болушат

$$F_1 = F_2 = BIl \quad (7.8.3)$$

жана карама каршы багытта болушкандыктан алкак 00 огунун айланасында айлана баттайт.

Алкакка аракеттенген күчтүн ийини

$$M = Fb \sin(\vec{n}, \vec{B}) = Iab \sin(\vec{n}, \vec{B}) \quad (7.8.4)$$

$$\vec{M} = IS \vec{n} \quad \text{эске алып,}$$

Бул формуланы вектор түрүндө жазалы, б.а.

$$\vec{M} = [I \vec{S} \times \vec{B}] \quad (7.8.5)$$

Биринчи лекцияда бул формуланы тажырылбадан чыккан формула катары колдонгонбуз. Ал эми азыр Ампердин законунан келип чыгарын көрсөттүк. Эгерде токтоу төрт бурчтуу алкак тең салмактуу абалына келсе ($\vec{n} \perp \vec{B}$) анда анын жактарына ичке куушуручу (7.8.4-чийме) же аларды сырт жактарды көздөй кеңейтүүчү күчтөр таасир этишет.

7.9. ЭКВИВАЛЕНТТӨР ДУН ӨЗ АРА АРАКЕТТЕНИШТЕРИ

Ампердин законун жарыш токтордун өз ара аракеттенишине колдонулу. Бир токтун экинчиге болгон аракети, биринин түзгөн магнит талаасынын экинчи токко болгон аракети менен түшүндүрүлөт. I_1 жана I_2 токтору жарыш жана бир жакты көздөй багытталсын дейли (7.9.1-чийме). I_1 тогунун I_2 тогуна болгон аракетин табыш үчүн I_1 тогунун I_2 тогу эткен чекит аркылуу түзгөн B_{21} магнит талаасын таап, Ампердин законун колдонуу зарыл.

$$B_{12} = k \mu \mu_0 \frac{2I_1}{R} \quad (7.9.1)$$

$$dF_{12} = k I_1 dl B_{21} \quad (7.9.2)$$

$I_1 dl \vec{B}$ болгондуктан, $\sin(\vec{I_1 dl} \wedge \vec{B}) = 1$

7.9.1-формуланы эске алып, 7.9.2 туюнтманы төмөндөгүдөй жазууга болот

$$dF_{12} = k' k \mu \mu_0 \frac{2 I_1 I_2}{R} dl \quad (7.9.3)$$

Сүрөттө көрсөтүлгөндөй, бул күч I_1 тогун кездей багытталган. Ушул эле мыйзам менен I_2 тогунун I_1 тогуна болгон аракетин dF_{21} тапсак 7.9.3-туюнтманы кайра алабыз жана бул күч I_2 тогун кездей багытталган болот. Ньютондун үчүнчү закону боюнча

$$dF_{21} = -dF_{12} \quad (7.9.4)$$

Ток агуп жаткан өткөргүчтөрдүн бирдик узундугуна аракет кылган күчтү тапсак, анда ал

$$f_{12} = \frac{dF_{12}}{dl} = k' k' \mu \mu_0 \frac{2 I_1 I_2}{R} \quad (7.9.5)$$

барабар болот.

7.10. Электромагниттик чоңдуктарды өлчөөчү бирдиктердин системасы (ГСМ, СИ Гаусс)

Токтун жана магниттик бирдиктерди табуу үчүн, 7.9.5-формула (вакуумда $\mu=1$) колдонобуз,

$$\frac{dF_{12}}{dl} = f_{12} = k k' \mu_0 \frac{2 I_1 I_2}{R} \quad (7.10.1)$$

1. Адегенде СИ системасын карайлы. Бул системадагы бизге белгилүү үч негизги бирдиктерге: масса (кг), узундук (м) жана убакыт (сек), кошумча төртүнчү негизги бирдик токтуун бирдиги ампер (А) киргизилет. Бул төртүнчү бирдиктин киргизилиши ил жүзүндө ыңгайлыкка алып келген менен физикалык өк негизге ээ эмес.

Эгерде өкн чөксүз узундуктагы түз карып, вакуумда бири биринен 1 м, аралыкта жайланышкан, кесилиш аянттары жокко эсе болгон өткөргүчтөр аркылуу өткөн бирдей турактуу ток бири бирине 1 метр узундукка 2-10⁷ Ньютон күч менен аракеттенисе мындай токтуун чоңдугу 1 Амперге барабар болот.

Бул системада пропорция коэффициенттери төмөндөгүдөй маанилерге ээ деп алынат. $k' = 1$, $k = 1/4\pi$

7.10.1-формуланы пайдаланып магниттик турактуу μ_0 таап алабыз $I_1 = I_2 = 1A$, $R = 1m$, $f_{12} = 2 \cdot 10^{-7} H/m$

$$\mu_0 = \frac{4\pi f_{12} R}{2I_1^2} = 4\pi \cdot 10^{-7} H/A^2 = 4\pi \cdot 10^{-7} Tm/A$$

Магнит талаасынын чыңалышынын бирдигин чексиз түз токтуун магнит талаасы формуласынан аныктайбыз

$$H = k \frac{2I}{R} = \frac{1}{4\pi} \frac{2I}{R} = \frac{I}{2\pi R} \quad (7.10.2)$$

Бул формуладан магнит талаасынын чыңалышынын бирдигин Ампер/метр (A/m) аркылуу табабыз. $1A/m$ дегенибиз чоңдугу 1 амперге барабар чексиз түз токтуун $R = \frac{1}{2\pi}$ метр аралыкта түзген магнит талаасынын чыңалышына барабар болот. Бул шартта

7.10.2-формуладан

$$1 \frac{A}{m} = \frac{1A}{2\pi \cdot \frac{1}{2\pi} m} = 1 \frac{A}{m} \quad \text{алынат.}$$

Ал эми магнит индукциясынын векторунун бирдиги $B = \mu_0 H$ формуласынан табылат жана СИ системасында тесла (Ta) деп аталат.

$$1 Ta = 4\pi \cdot 10^{-7} H/A^2 \cdot 1A/m = 4\pi \cdot 10^{-7} H/A \cdot m$$

б.а. магнит талаасынын чыңалышы $1A/m$ болсо, анын индукциясы $4\pi \cdot 10^{-7} Ta$ барабар болот экен.

2. Абсолюттук электромагниттик бирдиктердин системасы

СГСМ. Бул системада коэффициенттер $\mu_0 = 1$; $k' = k = 1$. Токтуун күчүнүн бирдиги болуп СГСМ, кабыл алынган. Буга кошумча механикалык чоңдуктардын СГС системасындагы негизги бирдиктер I_g , I_{cm} , I_c колдонулат.

1 СГСМ, токтуун бирдиги (7.11.1 формуладан табылат. (Вакуум үчүн $\mu = 1$)

Эки жарым түз чексиз узундуктагы вакуумда $\mu = 1$ бири биринен $R = 2$ см аралыкта жайганышкан, кесилиш аянтары жолко эсе болгон өткөргүчтөр аркылуу өткөн турактуу ток бири бирине метр узундукка 1 динга күч менен аракеттенишсе, алар аркылуу өткөн токтуун күчү 1 СГСМ, барабар болот.

ЭИ системасындагы 1 Ампер менен СГСМ системасындагы 1 СГСМ, токтуун бирдиктеринин ортосундагы байланышы 7.10.1-формуладан табабыз, $I_1 = I_2 = 1$ болгондуктан жана $1 \text{ дин} = 10^{-5} H$, $R = 2 \cdot 10^{-2} m$, $dl = 10^{-2}$

$$I = \sqrt{\frac{4\pi l d F}{2\mu_0 dl}} = 10A$$

б.а. $1 \text{ ГСМ} = 10 \text{ А}$

ГСМ системасында магнит индукциясынын векторунун бирдиги катары Гаусс (Γc) алынат $[B] = 1 \Gamma c$. Бул чоңдук Ампердин законунан аныкталат,

$$F = k' I B$$

7.10.3)

Бир тектүү магнит талаасы I ГСМ, ток отуп жаткан түз өткөргүчтүн ар бир см узундугуна I дина күч менен аракет этсе мындай магнит талаанын индукциясы I Гаусска (Γc) барабар болот

Мындан $k' = 1$ $[F] = 1 \text{ дина}$, $[I] = 1 \text{ ГСМ}$

$$[L] = 1 \text{ см} = 10^{-2} \text{ м}$$

$$[B] = \frac{[F]}{[I][L]} = \frac{1 \text{ дина}}{1 \text{ ГСМ} \cdot 1 \text{ см}} = \frac{10^{-5} \text{ Н}}{10 \text{ А} \cdot 10^{-2} \text{ м}} = 10^{-4} \text{ Тл, б.а. } 1 \Gamma c = 10^{-4} \text{ Тл}$$

Магнит талаасынын чыңалышынын бирдиги катары, ГСМ системасында Эрстед (\mathcal{E}). I Эрстед катары вакуумда индукциясы, I Гаусска барабар болгон магнит талаасы кабыл алынат,

$B = \mu_0 H$ болгондуктан; жана ГСМ системасында $\mu_0 = 1$; $1 \mathcal{E} = 1 \Gamma c$

Эми I Эрстед менен СИ системасындагы (1 А/м) ортосундагы байланышты табайлы

$$H = \frac{B}{\mu_0} = \frac{10^{-4}}{4\pi \cdot 10^{-7}} \frac{\text{А}}{\text{м}} = \frac{10^3}{4\pi} \frac{\text{А}}{\text{м}}$$

б.а.

$$1 \mathcal{E} = (10^3 / 4\pi) \text{ А/м}$$

3. Гаусстун абсолюттук бирдиктеринин системасы. Бул системада физика колдонулуучу бирдиктердин эң ыңгайлууусу. ГСМ жана ГСЭ системалардан айырмасы, ампердин жана Био-Савар-Лапластын формулаларындагы пропорция коэффициенттери $k' = k = \frac{1}{c}$ барабар деп алынат жана c жарыктын вакуумдагы таралуу ылдамдыгы, физикада электродинамикалык турактуулук деп аталат.

СИ, ГСМ жана Гаусстун абсолюттук бирдиктеринин системасындагы электрдик жана магниттик чоңдуктардын байланыштарын физикалык атайын таблицалардан караңыздар.

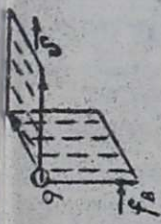
7.11. Магнит талаасындагы заряддардын кыймылы.

Лоренцтин күчү.

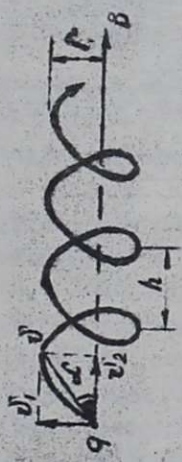
Ампердин законунан $I dl$ токтун элементине индукциясы болгон магнит талаасы $d\vec{F}$ күчү менен аракеттерин көргөмбүз



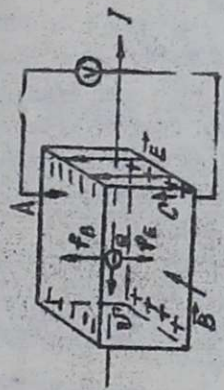
7.11.1 - 4УЌИМЕ



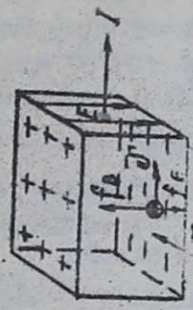
7.11.3 - 4УЌИМЕ



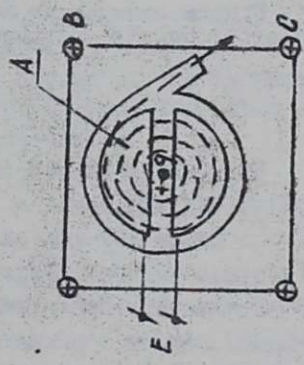
7.11.4 - 4УЌИМЕ



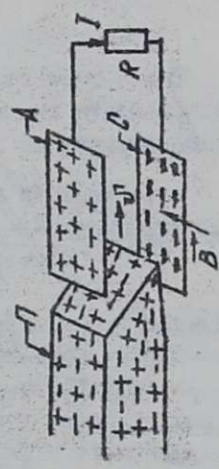
7.12.1 - 4УЌИМЕ



7.12.2 - 4УЌИМЕ



7.13.1 - 4УЌИМЕ



7.14.1 - 4УЌИМЕ

б.а.

$$dF = \kappa' Idl B \sin(I \vec{dl} \cdot \vec{B}) \quad (7.11.1)$$

Багыттуу заряддардын кыймылы токтоу, түзгөндүктөн, токтун Idl элементин заряддардын саны N кылдамдыгы \vec{v} жана заряддын чоңдугу q аркылуу: 7.7.3-формула)

$$Idl = Nq\vec{v} \quad (7.11.2)$$

Эми магнит талаасынын кыймылдагы бир зарядка таасир эткен күчүн табыш үчүн, 7.11.2-формула менен 7.11.1 формулага кооп заряддардын санына N бөлөбүз

$$\vec{F} = \frac{dF}{N} = \kappa' q \vec{v} B \sin(\vec{v} \cdot \vec{B}) \quad (7.11.3)$$

же вектордук түрдө жазсаң

$$\vec{F}_B = \kappa' q [\vec{v} \times \vec{B}] \quad (7.11.4)$$

Ачыксы туюнтма Лоренцтин күчү деп аталат. Лоренцтин күчү магнит талаасынын кыймылда болгон зарядка жасаган аракетин көрсөтөт. Бул күчтүн багыты өз ара ортогоналдуу \vec{v} , \vec{B} жана \vec{F}_B векторлордун, же сол колдун арабеси аркылуу аныктоого болот. 7.11.1 жана 7.11.2-чиймелерден керунгөндөй бул күчтүн багыты кыймылдаган заряддардын белгисине да көз карашы. Эгерде оң ($q > 0$) жана терс ($q < 0$) заряддар, бир магнит талаасында бирдей багытта кыймылдашса, аларга карама-каршы багыттагы күчтөр таасир этет.

Эгерде кыймылдагы заряд электр (\vec{E}) жана магнит талааларында \vec{B} болсо ага Лоренцтин күчинен башка электр күчү $f_E = q\vec{E}$ да таасир этет б.а.

$$\vec{F} = \vec{f}_E + \vec{f}_B = q\vec{E} + q[\vec{v} \times \vec{B}] \quad (7.11.5)$$

Бир тектүү магнит талаасындагы заряддардын кыймылын карайлы (электр талаасы жок). 1. Заряддын кыймылынын багыты (\vec{v}) менен магнит талаасынын күч сызыктары (\vec{B}) каршы болсун ($\vec{v} \perp \vec{B}$). Анда (7.11.3) формуланын негизинде $\sin \alpha = 1$ болгондуктан, Лоренцтин күчү ($f_B = qv$) нөл болот, б.а. кылдай шартта заряддалган бөлүкчөгө магнит талаасы аракет кылбайт. 2. Заряддалган бөлүкчө магнит талаасынын күч сызыктарына перпендикуляр ($\vec{v} \perp \vec{B}$) кыймылдасын. 7.11.1, 7.11.2-чиймелер). Бул эки вектордун ортосундагы бурч $\alpha = \frac{\pi}{2}$ болгондуктан $\sin \alpha = 1$, Лоренцтин күчү сан жагынан

$$f_0 = |q| v B = m \frac{v^2}{r} \quad (7.11.6)$$

барабар болот. Заряддалган бөлүкчө \vec{v} магнит индукциясынын векторуна перпендикуляр тегиздикте кыймылдайт. Лоренцтин күчү борбордон четтөчү күч болот.

$$f_0 = |q| v B = m \frac{v^2}{r} \quad (7.11.7)$$

Бул туунтмадан, кыймылдын траекториясынын ийрилигинин радиусу

$$r = \frac{1}{|q/m|} \frac{v}{B} \quad (7.11.8)$$

барабар болот.

Бир тектүү талаада B турактуу болгондуктан, массасы болгон заряддалган бөлүкчө айлана боюнча кыймылдайт, жана анын айлануу мезгили T турактуу болот

$$T = \frac{2\pi r}{v} = \frac{2\pi}{B} \frac{m}{q} \quad (7.11.9)$$

Айлана боюнча болгон заряддын кыймылы ошол заряддын белгисине жараша болот экен (7.11.3-чийме). Бул чиймеде квадраттын ичинде магнит талаасы бир тектүү жана анын күч сызыктары чийменик тегиздигине перпендикуляр болуп киришет.

(\oplus белгиси менен берилген). Оң заряддалган бөлүкчө ($q > 0$) солдон оңду кардай кыймылдаса, сол колдун эрежеси боюнча жогору багытталган Лоренцтин күчү таасир этет. Эгер бөлүкчө терс зарядка ээ болгон болсо, анда ага таасир эткен күч төмөндө багытталмак.

3. Заряддалган бөлүкчө магнит талаасынын күч сызыктарына кандайдыр бир α бурчу менен кирсин (7.11.4-чийме). Магнит талаасынын багытына салыштырмалуу ылдамдык векторун жарып жана перпендикуляр түзүүчүлөргө ажыратайлы

$$\vec{v} = \vec{v}_1 + \vec{v}_n, \quad v_n = v \cos \alpha, \quad v_1 = v \sin \alpha \quad (7.11.10)$$

Ылдамдыктын жарып түзүүчүсүнө магнит талаасы таасирин тийгизбешин жогоруда карадык. Мындай шартта бөлүкчө бир убакытта эки кыймылда болот - ал v_n ылдамдыгы менен магнит талаасынын күч сызыктарын бойлоп түз сызыктуу кыймылда болсо, v_1 ылдамдыгы менен радиусу

$$r = \frac{m}{|q|} \frac{v_1}{B} = \frac{m}{|q|} \frac{v \sin \alpha}{B} \quad (7.11.11)$$

болгон айланма кыймылга катышып,

Жалпы жөнүөнөн бөлүкчөнүн кыймылынын траекториясы спиралы сызат. Бул спиралдын арымы $\lambda = v_p T$ же 7.11.9 -формуласы пайдаланып төмөндөгүнү алабыз:

$$\lambda = \frac{2\pi}{B} \frac{m}{191} v \cos \alpha \quad (7.11.12)$$

7.12. Холлдуң эффектиси

Америкалык физик Э.Холл 1880 ж) металл (алтын) тилкесин магнит талаасына жайлаштырып, ток өткөзгөндө тилкенин төмөнкү жана жогорку тегиздиктеринин A жана C чектеринин ортосунда потенциалдардын айырмасы $\varphi_A - \varphi_C$ пайда болорун байкаган (7.12.1- чийме). Мындай потенциалдардын айырмасы магнит талаасы бар кезде жана анын күч сызыктары токтуң багыты менен перпендикуляр кезинде гана пайда болоруна көңүл бурган. Бул кубулуш Холлдуң эффектиси деп аталып калды. Бул потенциалдардын айырмасы, тилке аркылуу өткөн токтуң тыгыздыгына, магнит талаасынын индукциясына \vec{B} жана тилкенин бийиктигине d түз пропорциялаан экендиги тажрыйбадан аныкталган.

$$U_x = \Delta\varphi = \varphi_A - \varphi_C = R_H j B d \quad (7.12.1)$$

Мында R_H - Холлдуң турантуу саны. Эми электрондук теориянын негизинде Холлдуң эффекттин түшүндүрөлү.

Металлдарда ток электрондордун кыймылы менен байланышкан. Магнит талаасында кыймылдагы зарядна Лоренцтин күчү таасир этет. Чиймеде токтуң багыты солдон оңду көздөй багытталган, бул электрондордун оңдон солду көздөй багытына туура келет, ал эми магнит талаасынын индукциясы \vec{B} перпендикуляр багытталган. Мындай шартта электронго жогорку жакка багытталган Лоренцтин күчү таасир этет. Натыйжада электрондор өткөргүчтүн жогору жагына чогулат, ал эми төмөнкү тегиздикте терс заряддар жетишбегендиктен, оң заряддар топтолот. Ток өткөн өткөргүчтөгү заряддардын мындай бөлүнүшү алардын ортосунда электр талаасынын пайда кылат. Бул электр талаасы электронго Лоренцтин күчүнө карама-каршы (f_l) багытта аракет кылат. Бул күч бири-бирине барабар болгондо, тең салмактуу абал $f_B = f_E$ пайда болот же болбосо

$$e v B = e E \quad (7.12.2.)$$

эки жагын тилкенин бийиктиги d га көбөйтөлү

$$\vec{v} B d = E d = U$$

7.12.3)

токтун тыгыздыгы $j = \frac{I}{S} = n l \vec{v}$

(7.12.4)

болгондуктан, $U = \frac{1}{n l} B d = R_x j B d$

7.12.5)

Мында $R_x = \frac{1}{n l}$ Холлдун турактуусу, өткөргүчтөгү зарядка жана анын тыгыздыгына көз каранды экен. Ошондуктан, Холлдун тажрыйбасынан R_x ди өлсөң, андан өткөргүчтөгү электрондордун тыгыздыгын аныктоого болот экен.

Кийинчерээк, Холлдун эффектиси жарым өткөргүчтөрдө да байкалары аныкталды. Холлдун тажрыйбасын пайдаланып жарым өткөргүчтөрдөгү токту өткөргүчү заряддардын белгисин (оң, терс) аныктоого болот, себеби 7.12.5-формуладан керүнгөндөй, потенциалдардын айырмасынын белгиси өткөргүчтөгү заряддын белгисине да жараша экен. 7.12.1-чиймеде жарым өткөргүчтүн же өткөргүчтүн зарядды алып жүрүүчүлөрү терс заряддуу электрондор болгондуктан, көрсөтүлгөн шартта жогорку бети терс потенциалга өз, ал эми 7.12.2-чиймеде жарым өткөргүчтүн зарядды алып жүрүүчү оң заряддагы бөлүкчө болгондуктан, жогорку бети оң потенциалга өз.

7.13. Заряддалган бөлүкчөлөрдүн ыңдаматкычтары.

Электр жана магнит талааларынын жардамы менен заряддалган бөлүкчөлөрдү (электрон, протон, мезон ж.б.) жогорку энергияга жеткирүүчү куралдарды алардын ыңдаматкычтары деп аташат. Мындай ыңдаматкычтар ыңдамдануучу бөлүкчөлөрдүн түрлөрүнө, энергияларына жана интенсивдүүлүгү менен мүнөздөлүшөт. ыңдаматылуучу бөлүкчөлөрдүн траекториясына жана ыңдаматуунун шартына жараша ыңдаматкычтарды түз, циклдүү (мезгилдүү) жана индукциондуу кылып бөлүнүшөт. Түз ыңдаматкычтарда бөлүкчөлөрдүн траекториясы түз сызык боюнча ал эми циклдүү жана индукциондуу ыңдаматкычтарда бөлүкчөлөрдүн траекториясы айлана же спираль түрүндө бөлүнүшөт.

ыңдаматылуучу бөлүкчөлөрдүн энергиясы электр талаасынан көбөйөт.

I. Түз сызыктуу ыңдаматкычтар электростатикалык жана индук-

циондуу болуп эки түргө алынат. Электростатикалык түз сызыктуу ылдамдаткычтарда заряддуу бөлүкчө ылдамдатуучу электр талаасы аркылуу бир нече жолу өтсө, бөлүкчө $\Delta\varphi = \varphi_2 - \varphi_1$ потенциалдардын айырмасын өткөндө $W = qU$ энергиясына ээ болот. Ошентип, бөлүкчө канчалык көп потенциалдардын айырмасын басып өтсө, ошончолук көп энергияга ээ болот. Заряддалган бөлүкчөлөрдү электр талаасы аркылуу бир нече жолу өткөрүү менен алардын энергиясын ондогон миллион электрон вольтко ($M\text{ЭВ}$) жеткирүүгө болот.

Индукциондуу түз ылдамдаткычтарда заряддалган бөлүкчөлөр энергияны жогорку жыштыктагы өзгөрмөлүү электр талаасынан алышат. Бул электр талаасы ылдамдатылуучу бөлүкчөлөрдүн кыймылына жараша (синхронно) бирдей өзгөрөт. Ушундай жол менен заряддалган бөлүкчөлөрдүн энергиясын, 3 км жолду өткөндө 22 ГЭВ чейин жеткизипкен (США).

2. Азыркы мезгилдеги эң кубаттуу ылдамдаткычтар циклдүү принципде иштешет. Аларда заряддалган бөлүкчөлөр электр талаасын көп жолу басып өтүшүп ар бир өткөндө энергиясын күздөгөн миң электронвольтко (эВ) көбөйтүп олтурат. Ишндай ылдамдаткычтарга циклотрон, фазатрон, синхрофазотрондор кирешет.

Циклотрон эки жука металлдан жасалган жарым тегерек (коробкадан (Дуант) турушат (7.13.1-чийме). Бул дуанттардын ортосундагы жылчык менен бөлүнгөн жана алар күштүү магниттин эки урлунун ортосунда жайланышат. Эки дуант өзгөрмөлүү электр талаасынын (E) булактарына туташтырылган. Бул дуанттын борборунан (чекити) заряддалган бөлүкчөлөр бүркүлүп турат. Алар дуанттын жылчыктарынын ортосундагы электр талаасынын энергия алышат. Электр талаасынын багыты, заряддалган бөлүкчө жылчыкка жеткенде, аны ылдамдаткандай болуп өзгөрүп турат. Магнит талаасынын таасири астында заряддалган бөлүкчө айлана боюнча кыймылдагандыктан, анын айлануу мезгили заряддалган бөлүкчөнүн салыштырмалуу зарядына (q/m) жана магнит талаасынын индукциясына гана жараша болот. (7.11.9-формула)

$$T = \frac{2\pi}{(q/m)} \cdot \frac{1}{B}$$

7.13.1)

Электр талаасы дагы ушундай мезгил менен өзгөрүп турушу барыл. Электр талаасын ар бир жолу басып, өткөн сайын анын энергиясы (ыңдамдыгы) көбөйгөндүктөн бөлүкчөнүн айлануу радиусу чоңоюп олтурат (7.11.8-формула).

Мындай бөлүкчө белгилүү бир энергияга жеткенден кийин циклотрондон учуп чыгат жана аны ар түрдүү керектөөлөргө пайдаланышат. Циклотрондордо магнит талаасы турактуу, ал эми электр талаасынын ыңгалы гармоникалык закон менен турактуу T мезгили менен өзгөрөт.

$$E = E_0 \sin(2\pi/T)t \quad (7.13.2)$$

Бөлүкчөнүн энергиясы (ыңдамдыгы) өскөн сайын анын массасы өзгөрөрүн билебиз

$$m = \frac{m_0}{\sqrt{1 - v^2/c^2}} \quad (7.13.3)$$

б.а. ыңдамдыгы өскөн сайын заряддалган бөлүкчө "оордой" баштап, айлануу мезгили узарат.

Ошондуктан, бөлүкчөнүн ыңдамдыгы чоңойгондо ($v \sim c$) электр талаасынын өзгөрүшү менен бөлүкчөнүн айлануу мезгилдеринин ортосундагы синхрондуулук (дая келүүчүлүк) бузула баштайт. Бөлүкчөнүн ыңдамдыгы кандайдыр бир чондунка жеткенде, аны айлануу мезгили электр талаасынын тескери фазасына түшүп ыңдаматылбастан, тескерисинче акырындай баштайт. Ошентип, циклотрондо заряддалган бөлүкчөнү белгилүү бир энергияга чейин гана ыңдамдатууга болот экен. Мындай энергиянын жогорку чеги төмөнкү формула менен аныкталат.

$$W_r = 4\sqrt{m_0 c^2 q U_0 / \pi} \quad (7.13.4)$$

Мында q, m_0 бөлүкчөнүн заряды жана тынч абалындагы массасы, U_0 жарыктын ыңдамдыгы U_0 -дуанттардын ортосундагы ыңгалуунун амплитудасы. Мисалы $U_0 = 10^8$ болсо, анда протон үчүн $W_r = 21,9$ МэВ болсо, электрон үчүн $W_r = 1$ МэВ болот. Ошондуктан, циклотрондор электрондорду ыңдамдатуу үчүн жараксыз экен.

Фазатрон. Фазатрондун түзүлүшү циклотрондунан айырмаланбайт, магнит талаасы турактуу. Бирок фазатрондо циклотрондогу электр талаасы менен бөлүкчөнүн айлануу мезгилдеринин бузулушу электр талаасынын мезгилин акырындап өзгөртүү аркылуу калыбына келтирилет. Заряддалган бөлүкчөнүн айлануу радиусу, анын ыңдамдыгына жараша чоңоюп олтургандыктан, анын

эң жогорку энергиясы фазатрондун диаметри жана магнит индукциясынын чоңдугу менен байланышкан. Мисалы, СССРде электромагнитинин салмагы 10^7 кг, уулдарынын диаметри 6 м болгон фазатрон протонду 680 МэВ энергияга чейин ылдамдатат. Фазатрон да циклотрон сыяктуу эле электрондорду ылдамдатууга жараксыз, себеби анын массасы, орбитанын радиусу жана айлануу мезгили, ылдамдыгы өскөн сайын өтө тез өсүшөт.

Ошондуктан, электрондорду ылдамдатуу үчүн циклдүү ылдамдатыгычтардын башка түрлөрү — бетатрон жана синхротрондор колдонушат. Бетатрондун иштөө принциби электромагниттик индукция кубулушуна негизделгендиктен аны кийинчерээк карайбыз.

Синхротрондо, өзгөрмөлүү электр талаасынын жыштыгы турактуу ал эми магнит талаасынын индукциясы өзгөрүлөт. Бөлүкчөнүн толук энергиясы $W = mc^2$, анын массасына түз пропорциялаш болгондуктан, анын магнит талаасындагы айлануу мезгили (7.13.1) төмөндөгүчө мезгилин (7.13.1) төмөндөгүчө жазууга болот (c — жарыктын ылдамдыгы)

$$T = \frac{2\pi}{gc^2} \frac{W}{B} \quad 7.13.5)$$

Ошондуктан, синхрондоо шарты сакталсын үчүн, бөлүкчөнүн энергиясы өскөн сайын магнит талаасынын индукциясын чоңойтуу талап кылынат. Синхротрондордо заряддалган бөлүкчөлөр спираль түрүндө эмес айланага жакынкы орбиталар боюнча айланышат.

г) Синхрофазатрон. Синхрофазатрондо жогоруда айтылган синхротрон жана фазатрондордун иштөө принциптери кошулган б.а. электр талаасынын жыштыгы жана магнит талаасынын чоңдугу өзгөртүлөт. Ошондуктан, мындай ылдамдыгычтардын жардамы менен бөлүкчөлөрдү эң чоң энергияларга чейин ылдамдатууга болот.

Серпуховдогу (СССР) синхрофазатрон протондорду 76 ГэВ чейин ал эми Чикагодогу (США) Синхрофазатрон 400 ГэВ чейин ылдамдатышат.

7.14. Магнито-гидродинамикелге 'МГД' генератор

МГД-генератордун иштөө принциби Холлдун эфректисинин пайда болушуна окшош жана Лоренцтин күчүнө байланыштуу. МГД-генератордун түзүлүшү жөнөкөй (7.14.1-чийме). Ал эки жарыл тегиздикте жайланышкан А жана В өткөргүчтөн жасалган тилкелерден электрондордон турат. Бул тилкелердин ортосундагы баштукта магнит талаасы түзүлөт. Эгерде ошол баштук аркылуу плазма жогорку ылдамдыкта өтсө жана анын кыймыл багыты магнит талаасынын күч сызыктарына перпендикуляр болушса ($\vec{v} \perp \vec{B}$), Лоренцтин күчүнүн таасири менен плазманын оң заряддалган бөлүкчөлөрү бир электродко (сүрөттө жогоркусуна), ал эми терс заряддалган бөлүкчөлөр экинчи электродко бөлүнүшүп, алардын ортосунда потенциалдар айырмасы пайда болот. Бул эки электродду кандайдыр бир каршылыкка (лампочка, электромотору, утүг ж.б.) ал аркылуу ток өтөт.

МГД-генераторду түзүүдө эң негизги элемент плазманын агыны болуп эсептелет. Плазманы, жылуулук электр станцияларындагы буу турбиналарындагы жогорку температураларды ($T \sim 3000^\circ\text{C}$) пайдаланып алууга болот. Кээ бир заттардын атомдору, ушул температурада иондорго (оң жана терс заряддарга) ажырашат, Мисалы, натрийдин атомдору. Ал эми натрийдин Na иондоштурулган буулары температуранын градиентинин эсебинен ысыктан суукту кездей жылышып, плазманын агынын пайда кылынат. Ошентип, МГД-генератору жылуулук электростанциясы менен бирдикте иштеп, анын пайдалуу аракет коэффициентин (п.а.к.) жогорулатат. Азыркы кездеги МГД-генераторлордун кубаттуулугу ~ 100 Мегаваттка жетет.

7.15. Магнит агыны

Магнит индукциясынын векторунун агыны же кыскача магнит агыны ($d\Phi$) деп элементардык dS аянтчанын магнит индукциянын векторунун аянтчага тургузулган бирдик нормалга түшкөн проекциясына B_n болгон көбөйтүндүсү аталат (7.15.1 чийме)

$$d\Phi = B_n dS = B dS \cos\alpha = \vec{B} d\vec{S}$$

(7.15.1)

Мында $Ld = (\vec{B} \cdot \vec{n})$, $d\vec{S} = \vec{n} dS$ аянтча вектору
 Бул туундун толук S бети боюнча интегралдап, ошол S
 бети боюнча өткөн агымды алабыз,

$$\Phi = \int_S B_n dS = \int_S \vec{B} \cdot d\vec{S} \quad (7.15.2)$$

7.15.1-формуладан $B_n = d\Phi/dt$ б.а. B_n -бирдик аянтка туура кел-
 ген күч сызыктардын санына барабар болгондуктан, магнит
 агымы ошол аянтча аркылуу өткөн күч сызыктардын толук санына
 барабар. Магнит агымы оң жана терс болуп белгиси менен да
 айырмаланат. Чыныгында эгерде $\alpha < 90^\circ$ болсо $\cos\alpha > 0$, маг-
 нит агымы ($d\Phi > 0$) оң сан болот. Бул учурда магнит талаа-
 сынын күч сызыктары нормаль тургузулган беттен чыгышат.
 Эгерде $\alpha > 90^\circ$ болсо магнит күч сызыктары нормал тургу-
 зулган бетке кирет, $\cos\alpha < 0$ магнит агымы Φ терс мааниге ээ
 болот. Магнит агымы бир тектүү жана S бети жалпы болсо
 магнит агымы $\Phi = BS$ болот.

Эгерде магнит талаасы бир тектүү болбосо жана S бети
 жалпы болбосо, S бетин элементардык dS бетчелерге бөлүү
 керек. Мындай бетчелердин аянтын ар биринен бирдей сандагы
 бир тектүү күч сызыктар өткөндөй кылып тандоо зарыл. Далпы
 магнит агымы 7.15.2-формула менен аныкталат.

Магнит агымынын бирдик СИ системасына $[\Phi] = [B][S] = T \cdot m^2 =$
 $= \frac{B \cdot c}{M^2} \cdot m^2 = B \cdot c$ Вобер (Вб) деп аталат.

СИ системасында Максвелл мкс.

$$1 \text{ Мкс} = 1 \text{ Гс} \cdot 1 \text{ см}^2, 1 \text{ Тл} = 10^4 \text{ Гс}, 1 \text{ Вб} = 10^8 \text{ Мкс}$$

7.16. Остроградский-Гауссун магнит талаасы учун теоремасы

Турук бет аркылуу өткөн магнит агымы нөлгө барабар.

$$\oint_S B_n dS = \oint_S \vec{B} \cdot d\vec{S} = 0 \quad (7.16.1)$$

Бул теорема магнит талаасынын күч сызыктарынын туруктуулугунан
 'соленоидалдуулугунан' келип чыгат (7.16.1-чйме). Турук бет-
 тин S_1 жагынан кирген магнит агымы S_2 бетинен чыккан агымга
 сан санынан бирдей, бирок белгилери карама каршы $\Phi_1 = -\Phi_2$
 себеби кирген жана чыккан сызыктардын сандары бирдей. Ал эми

жалпы магнит агыны алардын суммасына барабар

7.17. Магнит чыңырларынын закондору

Биз жогоруда, соленоиддин жана торроиддин өзөктөрүндө магнит талаасы пайда болорун караганбыз. Ушул сыяктуу магнит талаасы топтолгон мейкиндиктин бөлүктөрүнүн тобун магниттик чыңырлар деп аташат. Магнит талаасын өңдөтүш үчүн магнит өтүүдүүлүгү μ өтө чоң болгон магниттик материалдардын турган магниттик чыңырларды колдонушат (мисалы, темир). Мындай чыңырлардагы магнит талаасынын булагы болуп чыңырдын бир бөлүгүн түзгөн токтуу катушка эсептелет. Трансформаторлор, электромагниттер, электромотор ж.б. элементтерден турган магнит чыңырын эсептөө маанилүү мааниге ээ. Магниттик чыңырларды эсептөө толук токтуу законун жана Остроградский-Гауссстун магнит талаасы үчүн теоремасына негизделет.

Демек мисал катары, ичке жылчыктуу шакек сыяктуу өзөктүү соленоидден турган магнит чыңырын карайлы. Оромолордун саны N , токтуу күчү I . l_1 -абадагы жылчыктын кендиги, l_2 - өзөктүн узундугу (7.17.1-чийме).

Толук токтуу закону боюнча соленоиддеги магнит талаасынын чыңалышы

$$\oint H_1 dl = 4\pi kNI \quad (7.17.1)$$

Өзөктөгү H_2 жана жылчыктагы абада ($\mu_1, \mu_2 = 1$) магнит талааларынын чыңалышы ар түрдүү болгондуктан

$$H_1 = \frac{B}{\mu_1 \mu_0} \quad H_2 = \frac{B}{\mu_2 \mu_0} \quad (7.17.2)$$

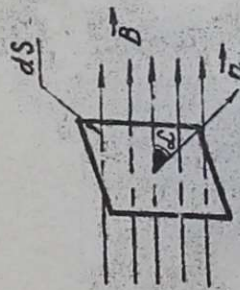
же болбосо $\oint H_1 dl = H_1 l_1 + H_2 l_2 = B \left(\frac{l_1}{\mu_1 \mu_0} + \frac{l_2}{\mu_2 \mu_0} \right) = 4\pi kNI$

$$B = k\mu_0 \frac{4\pi NI}{\frac{l_1}{\mu_1} + \frac{l_2}{\mu_2}} \quad 7.17.6$$

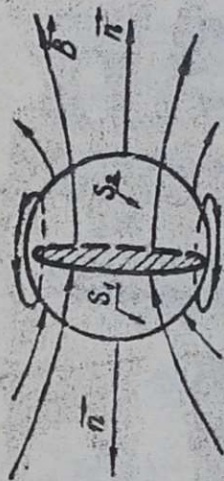
Эгерде өзөк түйн темирден болсо ($\mu_1 = \mu_2 = \mu$)

$$B = B_1 = k\mu \frac{4\pi NI}{l_1 + l_2} \quad (7.17.7)$$

$\mu_1 \gg \mu_2$ болгондуктан, $B_1 > B$ болот, б.а. өзөк түйн болбосо, андагы абалуу жылчык жалпы катушкадагы магнит талаасынан азайдына алып келет экен. Мындай болбос үчүн жылчыкты өтө



7.15.1-сурет



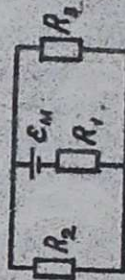
7.16.1-сурет



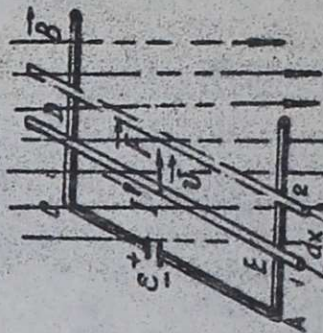
7.17.1-сурет



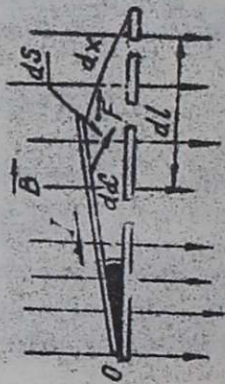
7.17.2-сурет



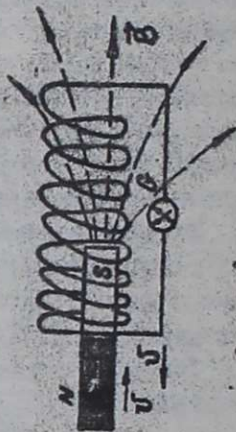
7.17.3-сурет



7.18.1-сурет



7.18.2-сурет



7.19.1-сурет

кичинекей жылы керек.

7.17.6. барабардыктын эки жагын өзөктүн кесилиш аянтына көбөйтүп, ал аркылуу өтүүчү магнит агынын алабыз

$$\Phi = BS = k \frac{4\pi IN}{\frac{1}{\mu_1 \mu_0} \frac{l_1}{S} + \frac{1}{\mu_2 \mu_0} \frac{l_2}{S}} \quad (7.17.8)$$

Бул туюнтма, Омдун толук чыңыры үчүн законуна түспөлдөп көрүнөт; б.а.

$$I = \frac{\mathcal{E}}{R+r} = \frac{\mathcal{E}_M}{R_1+R_2} \quad (7.17.9)$$

Мында $\mathcal{E}_M = k4\pi IN$ магнит агынын түзүүчү магнит кыймылдаткыч күчү

$$\begin{aligned} R_1 &= \frac{l_1}{\mu_1 \mu_0 S} && \text{— өзөктүн магниттик каршылыгы} \\ R_2 &= \frac{l_2}{\mu_2 \mu_0 S} && \text{— кыймылдын магниттик каршылыгы} \\ R_M &= R_1 + R_2 && \text{— магнит чыңырынын толук каршылыгы} \end{aligned}$$

Ошондуктан, 7.17.9-туюнтма Омдун магнит чыңырлары үчүн толук закону деп аталат.

Татаал магнит чыңырларынын магниттик мүнөздөөчү чоңдуктарды эсептөө үчүн Кирхгофтун эрежелери колдонулат. Кирхгофтун I-эрежеси

$$\sum_{i=1}^N \Phi_i = 0 \quad (7.17.10)$$

магнит өткөргүчтөрдүн түйүндөрүндөгү магнит агындарынын алгебралык суммасы нөлгө барабар.

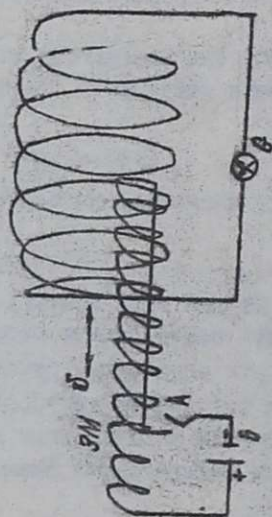
Кирхгофтун II-эрежеси $\sum_{i=1}^N \Phi_i R_{Mi} = \sum_{i=1}^N \mathcal{E}_{Mi}$ (7.17.11)

тармакталган магнит чыңырынын ар кандай туюк контурунда магнит агындарынын чыңырдын тиешелүү бөлүктөрүнүн магниттик каршылыктарына болгон көбөйтүндүлөрдүн алгебралык суммасы ошол контурдагы магнит кыймылдаткыч күчтөрүнүн алгебралык суммасына барабар. 7.17.2-чиймеде жөнөкөй тармакталган магнит чыңыры-электромагнит берилген, анын эквиваленттүү схемасы 7.17.3-чиймеде көрсөтүлгөн.

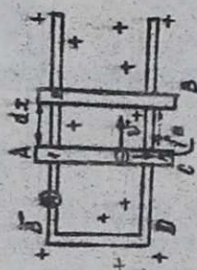
Кирхгофтун эрежелерин (7.17.10-7.17.11) колдонуп, электромагниттин керектүү магниттик мүнөздөмөлөрүн эсептей алабыз.

7.18. Магнит талаасындагы токтуу өткөргүч чыңырындагы күч

Магнит талаасына (\vec{B}) токтуу өткөргүчтү жайлаштыралы (7.18.1-чийме) АСДЕ электр контурунун DE бөлүгү контакты буз-



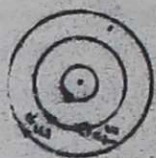
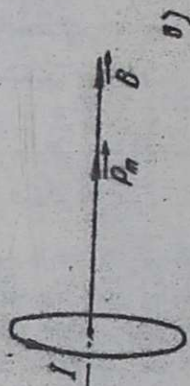
8.1.2-чүмкө



8.2-чүмкө



8.1.5-чүмкө



8.2.2-чүмкө

бай өрлин жылуу мүмкүнчүлүгү бар дейли. Анда бул dF өткөргүчкө Ампердин күчү аракет кылат.

$$F = k' I B \sin \alpha \quad (7.18.1)$$

Биздин шартта $I \perp B$ болгондуктан

Бул күчтүн таасири астында DE өткөргүч dx аралыгына жылып,

$$\begin{aligned} dA &= F dx = k' I d(B dx) = k' I B dx = \\ &= k' I B dS = k' I d\Phi \quad (7.18.2) \end{aligned}$$

жумуш аткарылат.

Эгерде токтун багыты магнит индукциясынын күч сызыктарына перпендикуляр болбосо, анда $\vec{B} = B_1 \vec{e}_1 + B_2 \vec{e}_2$ векторун түзүүчүлөргө ажыратуу керек. Бул вектордун B_1 түзүүчүсү токко аракет кылбагандыктан, анын B_2 түзүүчүсүн гана алуу керек, анда $d\Phi = B_2 dS$ болот. Ошондой эле тогу бар өткөргүч магнит талаасында кандайдыр бир θ огуна айланасында айланып бараткан дейли. Нурдагыдай эле $B \perp dl$ жөнөкөй учурун карайлы. Магнит талаасынын таасири менен өткөргүч оң жакты көздөй айланат. Андагы аткарылган жумуш (7.18.2-чиыме)

$$dA = k' I dl B dx = k' I d\Phi \quad (7.18.3)$$

Ошентип, бул эки мисалдын негизинде төмөнкүдөй жыйынтыкка келебиз: магнит талаасында жайланышкан токтоу өткөргүчтү жылытуудагы Ампердин күчүнүн аткарган жумушу, ошол турактуу I токтун күчүн, ток өзүнүн кыймылынын натыйжасында кийин өткөн бет аркылуу өткөн магнит $d\Phi$ агымынын көбөйтүндүсүнө барабар экен.

Эгерде ток өтүп өткөн контурдун бир бөлүгү эмес, контур толукту менен магнит талаасында жылса, анда аткарылган жумуш контурдагы турактуу токтун күчүн, ошол контур жылганда ал аркылуу өткөн магнит агынын өзгөрүшүнүн ($d\Phi$) көбөйтүндүсүнө барабар экендигин көрсөтүүгө болот. Эгерде контурдун биринчи абалындагы магнит агыны Φ_1 болсо, жылгандан кийинки экинчи абалындагы магнит агыны Φ_2 болсо, $d\Phi = \Phi_2 - \Phi_1$,

$$A_{12} = I(\Phi_2 - \Phi_1) \quad (7.18.4)$$

Глава 8. ЭЛЕКТРОМАГНИТТИК ИНДУКЦИЯ

8.1. Электромагниттик индукция кубулушу жана анын негизги закону

Мурдакы главада электр тогу магнит талаасын булагы болорун көрдүк. Бул кубулуштун тескериси да болушу керек, б.а. магнит талаасы токту пайда кылабы деген суроо туулат. Бул суроого, 1831 жылы Фарадей жооп берген.

Фарадей турактуу магнитти жана катушканы алган (8.1.1-чйме). Катушканы гальванометрге туташтырып, магнитти катушканын ичине салып, ары бери жылдырганда гальванометрдин жебеси да ары бери жылган. Демек, катушка жана гальванометрден турган чынжырда ток пайда болот экен. Токтун багыты магниттин катушкага салыштырмалуу кыймылына, ал эми токтун чоңдугу ошол кыймылдын ылдамдыгына жараша болорун Фарадей байкаган. Эгерде магнитти электромагнит менен алмаштырып, аны катушканын ичине салып, ары бери жылдырса мурдагыдай эле натыйжаны алабыз (8.1.2-чйме).

Эми катушканын ичине электромагнитти салып кошп, A ачыкчын кармаы менен аны токту булагы B туташтырсак, туташтырган учурда гальванометрдин жебесинин диртилдегенин байкайбыз.

A ачыкчын кайра ажыраткан учурда да гальванометрдин жебеси диртилдейт. Эми A ачыкчын тез-тез ачып капсак гальванометрдин жебеси оңго-солго термеле берерин көрөбүз.

Бул тажрыйбалар Фарадейге таандык. Магнит талаасынын кыймылынын таасири астында туок чынжырда электр тогу пайда болот экен. Бул токту индукциялык ток деп, ал эми кубулуштун өзүн электромагниттик индукция деп аташты.

Кеп сандагы ушундай тажрыйбаларды негизинде индукциялык ток качан гана магнит талаасынын күч сызыктары өткөргүчтү кесип, туок контур кучагына алган күч сызыктардын саны өзгөргөндө б.а. туок контур аркылуу магнит өзгөргөндө пайда болот деген, жыйынтыкна Фарадей келген.

Чындыгында эле турактуу магнитти цанек сыяктуу туок контурга (1-абал) жакындатсак (2-абал), контурдун ичи аркылуу өткөн магниттик күч сызыктардын саны көбөйөт (магнит агыны да чоңоёт, ал эми алыстатсак (3-абал) контур аркылуу өткөн күч сызыктардын саны азайат (8.1.3-чйме). Ал эми магниттин

ылдамдыгы чоңойгондо гальванометрдин жебеси көбүрөөк жылат, б.а. пайда болгон индукциялык токтун күчү да чоңоёт экен. Бул учурда магнит агынын өзгөрүшүнүн ылдамдыгы өзгөрөрүн оңой эле көрүүгө болот. Ошентип, индукциялык токтун чоңдугу магнит агынын өзгөрүшүнүн ылдамдыгына түз пропорциялаш экен,

$$I_{\text{инд}} \propto \frac{d\Phi}{dt}$$

(8.1.1.)

Биз жогоруда магниттик катушкага салыштырмалуу кыймылдын багытына карап, гальванометрдин жебесинин кыйшайуу багытын б.а. пайда болгон индукциялык токтун багытынын өзгөрөрүн көрдүк. Индукциялык токтун багытынын менен магнит агынын өзгөрүшүн ортосундагы байланышты Э.Х.Ленц көрсөткөн (1834 ж).

Ленцтин закону төмөнкүдөй айтылат:

Турук алкактагы индукциялык ток ар дайым, өзүн пайда кылган магнит агынын өзгөрүшүнө карама каршы (магнит талаасын түзгөндөй) аракет жасагандай багытта пайда болот.

Бул закон түшүнүктүү болсун үчүн 8.1.3-чиймеге көңүл бөлөлү. Шакеп сыяктуу турук контур магнитке салыштырмалуу алгачкы 1-абалда болсун. Эми магнитти контурга \vec{J} ылдамдыгы менен жакындатсак (2-абал), анда ал аркылуу өткөн магнит агынын күч сызыктар) көбөйөт. Ленцтин эрежеси боюнча, бул учурда пайда болгон индукциялык токтун багыты өзү түзгөн магнит талаасын \vec{H}' магнит агынын өсүшүнө каршылык көрсөткөндөй багытта болушу керек. Демек, индукциялык токтун $I_{\text{инд}}$ айланасында пайда болгон \vec{H}' магнит талаасы магнит түзгөн магнит талаасына

\vec{B} карама каршы багытта болушу керек ($\vec{H}' \parallel \vec{B}$). Ал үчүн индукциялык ток саатын жебеси айланган багытта пайда болот, б.а. контурдун магнит ийини $\vec{P}_m = I_{\text{инд}} S \vec{n}$ магниттик магнит индукциясынын \vec{B} багытына каршы багытта ($\vec{P}_m \parallel \vec{B}$)

Эми магнитти контурдан \vec{J} ылдамдыгы менен алыстаталы (3-абал). Анда контурду кесип өткөн күч сызыктардын саны магнит агынын) азаят. Бул учурда индукциялык токтун түзгөн магнит талаасы \vec{H}' , өзүн пайда кылган магнит агынын азайышына каршылык кылган, б.а. сырткы магнит талаасына \vec{B} кошулгандай $\vec{H}' \parallel \vec{B}$ болушу керек. Биздин шартта индукциялык токтун багыты (3-абал) саат жебесинин айлангышына карама каршы багыт-

та пайда болот.

Англиялыг омуштуу Дж.Максвелл (1853г) Зарадагдин тажырийбаларын жыйынтыктап, Ленцтин законун эске алып электромагниттин индукция кубулушун негизги законун чазган.

$$\mathcal{E}_{\text{инд}} = -k' \frac{d\Phi}{dt}$$

8.1.2)

б.а контурдагы электромагниттин индукциянын электр кыймылдатгыч күчү ($\mathcal{E}_{\text{инд}}$), ошол контур аркылуу өткөн магнит агынын өзгөрүшүнүн ылдамдыгына түз пропорциялаш экен. Мында k' -пропорция коэффициенти, минус (-) белгиси Ленцтин эрежеси боюнча, индукциялык токтуун багытын көрсөтөт. б.а. контурдун магнит агынын ($\vec{P}_{\text{инд}} = I_{\text{инд}} S \vec{n}$) магнит агынын өзгөрүшүнө тескери багыттаалган болот.

Эгерде магнит агыны өссө ($d\Phi/dt > 0$), анда $\vec{P}_{\text{инд}} \parallel \vec{B}$, $\mathcal{E}_{\text{инд}} < 0$ ал эми магнит агыны азайса $d\Phi/dt < 0$; $\vec{P}_{\text{инд}} \parallel \vec{B}$, $\mathcal{E}_{\text{инд}} > 0$

8.2. ЭЛЕКТРОМАГНИТТИК ИНДУКЦИЯНЫН ЭЛЕКТР КЫМЫЛДАТгыч Күчүнүн (ЭКК) ТАБИГАТЫ

Электромагниттик индукция кубулушунун негизги законун (8.1.2) физикалык табиगतан көңүл бузала. Ал үчүн, 8.2.1-чиймеде берилген, магнит талаасындагы (АВСД) туур контурду карайлы. Бул контурдун АС капталы (I-абал) калган эки капталында баш датсын дейли. Магнит индукциясынан күч сызыктары контурдун тегиздигине тик киришсин (+) менен белгиленген). Эгерде контурдун АС жагы оңду көздөй v ылдамдыгы менен жылдырсок, анда А амперметри токтуун пайда болгонун көрсөтөт. Мунун себеби эмнеде? АС өткөргүчү оңду көздөй жылганда аны менен кошо андагы электрондор да жылышат. Бул электрондорго магнит талаасы Лоренцтин күчү f_0 менен аракет кылат (8.2.1-чийме)

$$f_0 = k' e v B$$

8.2.1)

Бул күч, электронго чыналышы \vec{E}^n болгон электр талаасынын аракетинде эквиваленттүү

$$\vec{F}_E = e \vec{E}^n$$

8.2.2)

Бул эки барабардыкты теңдеп төмөнкүнү алабыз

$$\vec{E} = k[\vec{v} \times \vec{B}] \quad (8.2.3)$$

Контурдун AC, кагы жылганда анда ток пайда болуп, бул күч-төрдүн таасир менен электрондордун турук контур боюнча айланып кыймылдашы менен түзүндүрүлөт. Демек, E^* электр талаасы электростатикалык боло албайт. Ошондуктан, мындай талааны индукциялык электр талаасы деп аташат, жана аны электростатикалык талаадан айырмалаш үчүн жылдызча ($*$) менен белгилеп коёбуз. Бул электр талаасынын күч сызыктары, магнит талаасынынкындай эле, турук болупат (8.2.2-чийме) Индукциялык

E^* талаасынын AC кесиндисиндеги электронду жылдыруу үчүн аткарган жумуш

$$A_{AC} = e \int_A^C E_c^* dl$$

барабар болот. Ал эки бирдик зарядды жылдырууга сарпталган жумуш электр кыймылдаткыч күчү (ЭКК) экенин жана 8.2.3-формулану эске алып төмөнкү туунтманы алабыз.

$$E_{ind} = \frac{A_{AC}}{q} = \int_A^C E_c^* dl = k' \int_A^C B dl \frac{dx}{dt} = k' B l \frac{dx}{dt}$$

$$E_{ind} = \int_A^C E_c^* dl = -k' \frac{d\Phi}{dt} \quad (8.2.4)$$

Малда $d\Phi = B l dx = B dS, dx = v dt$

Эгерде контурдун AC кагы гана эмес, анын өзү магнит талаасында жылса же контур маймыса анда 8.2.4-туунтма мурдагыдай эле мааниге ээ болот, мында $d\Phi$ контур жылгандагы же маймыккандагы магнит агынын өзгөрүшү. Бул шартта E^* турук контурду бойлойт. Ошентип 8.2.4-туунтманы калпы учур үчүн

$$E_{ind} = \oint E_c^* dl = -k' \frac{d\Phi}{dt} \quad (8.2.5)$$

деп казууга болот. Бул барабардыктагы $\oint E_c^* dl$ туунтмасы электр талаасынын турук контур боюнча циркуляциясы экендигин эске салайлы. Демек, индукциялык электр талаасынын индукциясынын циркуляциясы магнит талаасынын сыяктуу, нөлгө барабар эмес экен. Бул индукциялык электр талаасынын күч сызыктарынын турук, соленоидалдуу экендигинен келип чыгат (8.2.2-чийме). Биз мурда электростатикалык талаанын цыңалгы \vec{E} векторун караганбыз. Анын күч сызыктары ачык, б.а. оң заряддардан башталып, терс заряддарга киришет. Мындай талааны потенциалдуу деп коюшат. Бул эки талаа E жана E^* электр заряддарга бирдей таасир этишет, бири бири менен түздүштү менен

гана айырмаленшат.

Электростатикалык талаа \vec{E} заряддардын айланасында пайда болсо, индукциялык электр талаасы \vec{E}^* өзгөрмөлүү магнит талаасынын айланасында пайда болот экен.

8.3. Алкактын магнит талаасындагы айлануу.

Генераторлор.

Электромагниттик индукция кубулушу механикалык энергиядан электр энергиясын алууга мүмкүнчүлүк берет. Өткөргүчтү магнит талаасында жылдырса, анда индукциялык ток пайда болорун жогоруда көрдүк. Электр тогунун генераторунун эң жөнөкөй мисалын карайлы. Өткөргүчтөн жасалган алкакты индукциясы \vec{B} болгон магнит талаасында айлантасы (8.3.1-чийме). Алкактын аянты S , ага тургузулган нормаль \vec{n} болсун. Бул алкакты ω огунун айланасында ω бурчтук ылдамдыгы менен айлантасы. Анда магнит агыны убакыттын t учурунда

$$\Phi = BS \cos \omega t$$

(8.3.1)

барабар болот. Убакыттын өтүшү менен магнит агынын өзгөргөндүктөн алкакта индукциянын ЭКК пайда болот.

$$\mathcal{E}_{\text{инд}} = -k' \frac{d\Phi}{dt} = k' BS \omega \sin(\omega t) \quad (8.3.2)$$

ая эми анда пайда болгон ток

$$I_{\text{инд}} = k' \frac{BS \omega}{R} \sin(\omega t) \quad (8.3.2)$$

Олентип, алкакта пайда болгон ЭКК жана индукциялык ток синус закону боюнча өзгөрөт экен. ЭКК амплитудасы эң чоң мааниси)

$$\mathcal{E}_{\text{макс}} = BS \omega = \mu_0 n S \omega$$

8.3.3)

магнит талаасынын чыңалышы \vec{H} , алкактын аянты S экин айлануу ылдамдыгы ω жана ал оролгон магниттик чөйрөнүн өтүмдүүлүгү μ жарала болот экен. Магнит талаасынын чыңалышын чоңойтуу үчүн чон, кубаттуу магниттерди же электромагниттерди колдонуу керек.

Бирок, анын да чеги бар, магнитти өтө чоңойтса болбойт. Айлануу ылдамдыгын ω да өтө чоңойтууга болбойт, себеби жо-

торку ындамдыкта, айлануучу белүккө (роторго) борбордон четтөөчү чоң күч таасир этип, ал таянган ок ийилиши мүмкүн. Ошондуктан, $\omega = 2\pi \nu$ айлануу жыштыгын белгилүү чоңдукта алышат. Биздин өлкө үчүн жыштык $\nu = 50$ герцтип, ЭКК чоңойтуунун эки ыкмасы ыңгайлуу: 1) алкактын аянттын (S) чоңойтуу. Ал үчүн бири бирине удаалаш туташкан алкактарды биринин үстүнө бирин оройт. Мындай алкактардын саны N болсо, аянт NS болот да ЭКК N эсеге чоңоет. 2) удаалаш туташтырылган алкактарды магнит өтүмдүүлүгү чоң болгон магниттик затка (ферромагнитке) оролот. Мында ЭКК μ эсеге чоңоет. Ушундай жолдор менен ЭКК күчүн миллиондогон вольтко жеткиришет. Биз жогоруда электр тогунун генераторунун негизги иштөө принцибине токтолдук. Мындай генератордун айлануучу белүгүн ротор, ал эми кыймылсыз белүктөрүн статор деп аташат. Роторду ар түрдүү жолдор менен айланташат. Суу менен (ТЭС), жылуулук менен (ТЭЦ), атомдук энергия менен (АЭС), шамал менен (ШЭС), дизель мотору менен (ДЭС) ж.б. мындай генераторлор көбүнчө өзгөрмөлүү токту иштеп чыгышат. Алар турактуу ток иштеп чыксын үчүн токту алуу (токосъемник) схемасын гана өзгөртүү жетиштүү. 8.3.1-чиймесинде алкактын чыгыш A жана C учтары эки түрк шакекчелерден контактары аркылуу керектелүүчү аймактарга (R_n) өзгөрмөлүү ток берилет. Эгерде биз алкактын A жана C учтарын жарым шакекчелерге туташтырсак (8.3.2-чийме) анда генератордон багыты боюнча турактуу, чоңдугу боюнча өзгөрмөлүү ток алынат. Бул токтордун (турактуу, өзгөрмөлүү) убакыттан болгон көз карандылыгын графигин тургузууну өзүңөргө сунуш кылабыз. Мындай токтун чоңдугу да турактуу, болсун үчүн жарым шакекчелерди кыска, бири биринин айлана боюнча жылып жайланышкан сегменттерге алмаштырылат (8.3.3-чийме). Карама каршы жайланышкан эки сегментке (1-5, 2-6, 3-7, 4-8) өзүнчө алкактардын учтары туташтырылган. Бул алкактар сегменттер саяктуу эле бири биринен белгилүү бурчка жылып жайланышат.

Электромотор. Электромотордун иштөө принциби генераторго тескерисинче. Эгерде биз караган схеманын (8.3.1-чийме) роторуна ток берсек, анда ал айланып, электромоторго айланат. Ампердин законун эске алсак, оңой эле электромотордун иштөө принцибин түшүндүрүүгө болот.

8.4. Өз ара индукция

Биз электромагниттик индукция кубулуш караганыбызда, контурдагы индукциялык ток, контур аркылуу өткөн магнит агыны өзгөргөндө, пайда болорун көрдүк. Бирок бул индукциялык токтун пайда болушу магнит агынын жаратылышына жараша болбостон, анын өзгөрүшүнүн ылдамдыгына гана көз каранды экен. Контурду кесүүчү магнит талаасы тышкарыдан келеби же ал ошол контурдун өзү пайда болгонунан жараша, электромагниттик индукция кубулушу өз ара жана өзүндүк индукция болуп экиге бөлүнөт. Адегенде өз ара индукцияны карайлы. Карыш тегиздиктерде жаткан эки илмек түрүндөгү контурду алып, биринчи контурду токту булагына, экинчисин гальванометрге (Г) туташтыралы (8.4.1-чи'ме). Биринчи контур аркылуу I_1 тогу өткөндө анын айланасында магнит талаасы пайда болот. Бул магнит талаасынын күч сызыктары (B) экинчи контурду кесип өтүп, Φ_{21} магнит агынын түзүшөт. Эгерде I_1 тогун эки эсе көбөйтсөк, Φ_{21} магнит агыны дагы эки эсеге көбөйтөт, б.а. бул магнит агыны I_1 тогуна түз пропорциялап

$$\Phi_{21} = k' M_{21} I_1 \quad (8.4.1)$$

Мында пропорция коэффициенттери k' -өлчөө системасына жараша болот (Ш: $k'=1$), M_{21} -өз ара индукциянын коэффициенти, контурлардын өз ара жайланышуу абадарына жана калыптарына жараша болот. Эми экинчи контурга ток булагын туташтырып, ток жүргүзүп (I_2) биринчи контурга гальванометрди туташтыралы. Анда экинчи токту түзгөн магнит талаасынын биринчи контурга түзгөн магнит агыны

$$\Phi_{12} = k' M_{12} I_2 \quad (8.4.2)$$

I_2 тогуна түз пропорциялап болот. Эгерде бул контурлардын өз ара ээлеген орундары жана калыптары өзгөрүлбөсө өз ара индуктивдүүлүктүн коэффициенттери M_{12} жана M_{21} барабар болушат, $M_{21} = M_{12} = M$ — өз ара индуктивдүүлүктүн коэффициенти деп аталат.

Биринчи контур аркылуу өткөн токту R каршылыгынын жардамы менен өзгөртсөк, экинчи контурдагы магнит агыны да өзгөрүп, анда ЭКК пайда болот

$$\mathcal{E}_2 = k' \frac{d\Phi_{21}}{dt} = -k' \frac{d}{dt} (-k' M I_1) = -(k')^2 M \frac{dI_1}{dt} \quad (8.4.3)$$

Демек, экинчи контурда пайда болгон ЭЖК (\mathcal{E}_2) биринчи контурдагы токтум өзгөрүү ылдамдыгына $\frac{dI_1}{dt}$ түз пропорциялаш өкөн.

Эми 8.4.3-формулань пайдаланып өз ара индуктивдүүлүктүн коэффициентинин өлчөө бирдигин СИ системасында аныктайлы.

Биринчи контурдагы токтум өзгөрүш ылдамдыгы бирге барабар ($dI_1/dt = 1$) болгондо, экинчи контурда 1 Вольт ЭЖК пайда болсо мындай эки контурдун өз ара индуктивдүүлүгү 1 Генриге (Гн) барабар болот, б.а. $(dI_1/dt) = 1, k' = 1 (\mathcal{E}_2) = 1 \text{ В} [M] = 1 \text{ Гн}$

8.5. Жалпы өзөктүү эки соленоиддин өз ара индукциясы

Бир өзөккө оролгон эки катушканын индуктивдүүлүгүн карайлы. Туок өзөктүн магнит өтүмдүүлүгү μ , туурасынан кесилиш аянты S , узундугу l , барабар. Өзөккө оролгон катушкалардын оромдорунун саны N_1 жана N_2 ге барабар. Биринчи катушка аркылуу тогун өткөрсөк, өзөк аркылуу

$$\Phi = BS = k_4 \pi \mu \frac{N_1 N_2}{l} S I_1 \quad (8.5.1.)$$

магнит агыны жүрөт.

Бул магнит агыны экинчи катушканын оромдору аркылуу өтөт жана экинчи катушка аркылуу өткөн толук магнит агыны

$$\Phi_{21} = N_2 \Phi = k_4 \pi \mu \frac{N_1 N_2}{l} S I_1 \quad (8.5.2.)$$

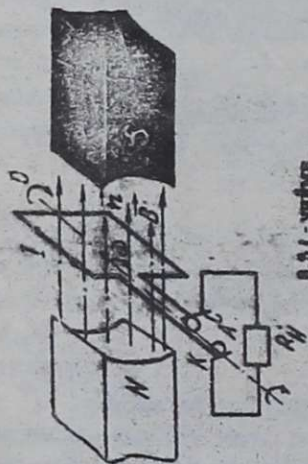
барабар болот. Акыркы тулутманы 8.4.1-формула менен салыштырып бул эки катушканын өз ара индуктивдүүлүгүн табабыз

$$M = \frac{\Phi_{21}}{k' I_1} = \frac{k}{k'} k_4 \pi \mu \frac{N_1 N_2}{l} S \quad (8.5.3)$$

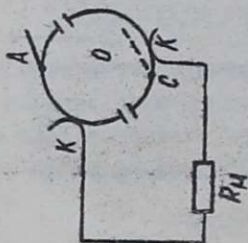
СИ системасында $k' = 1, k = \frac{1}{4\pi \epsilon_0}, \mu = 4\pi \cdot 10^{-7} \text{ Гн/м}$ болгондуктан

$$M = \mu \mu_0 \frac{N_1 N_2}{l} S \quad (8.5.4.)$$

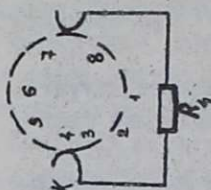
Өз ара индукцияныч мисалы катары трансформаторду карайбыз. 8.5.2-чийме Жалпы туок темир өзөккө кийгизилген эки катушка трансформатор деп аталат. Оромдорунун саны N болгон ка-



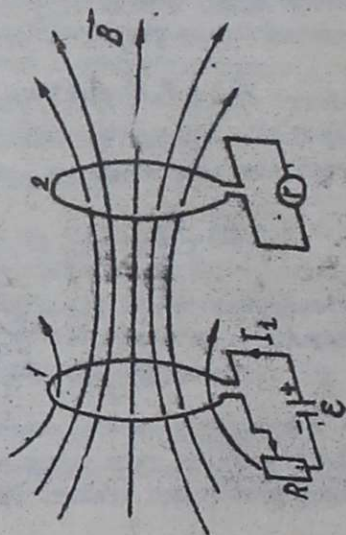
0.3.1 - vörðun



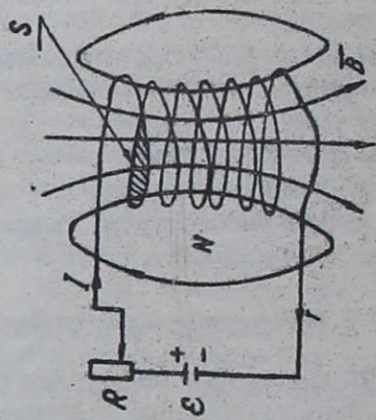
0.3.2 - vörðun



0.3.3 - vörðun



0.4.1 - vörðun



0.5.1 - vörðun

тушкага \mathcal{E} , ЭКК булагын туташтырып, I өзгөрмөлүү ток өткөндө өзөктө Φ магнит агыны пайда болот. Биринчи жана экинчи катушкалар аркылуу өткөн магнит агындар $N_1\Phi$ жана $N_2\Phi$ барабар болот. Бул магнит агындары өзгөрмөлүү болушуп, катушкаларда индукциянын ЭКК пайда кылышат. Омдун закону боюнча биринчи катушкадагы чыңалуунун төмөндөшү $U_1 = I_1 R_1$, сырткы ЭКК \mathcal{E}_1 жана пайда болгон индукциянын ЭКК $\mathcal{E}_{\text{инд}} = -k' \frac{d(N_1\Phi)}{dt}$ суммаларына барабар

$$\mathcal{E}_1 - k' N_1 \frac{d\Phi}{dt} = I_1 R_1 \quad (8.5.5)$$

Ошондой эле экинчи катушка үчүн

$$\mathcal{E}_2 - k' N_2 \frac{d\Phi}{dt} = I_2 R_2 \quad (8.5.6)$$

Бул катушкалардын каршылыктарын, алардагы чыңалуунун төмөндөшү (U_1, U_2) аларда пайда болгон индукциянын ЭКК $\mathcal{E}_{\text{инд}1}, \mathcal{E}_{\text{инд}2}$ чоңдуктарынан көп эсе аз болгондой кылып тандашат:

$$I_1 R_1 \ll \mathcal{E}_{\text{инд}1}, \quad I_2 R_2 \ll \mathcal{E}_{\text{инд}2} \quad (3.5.7)$$

Мындай шартта 8. 5.5 жана 8.5.6-туунтамалардан

$$\mathcal{E}_1 \approx k' N_1 \frac{d\Phi}{dt}; \quad \mathcal{E}_2 \approx k' N_2 \frac{d\Phi}{dt}$$

Бирин экинчисине болуп, $\mathcal{E}_1 : \mathcal{E}_2 = N_1 : N_2$ же $\mathcal{E}_1 N_2 = \mathcal{E}_2 N_1$, (8.5.8)

Трансформатордун киришине берилген \mathcal{E}_1 ЭКК анын чыгышында пайда болгон \mathcal{E}_2 ЭКК болгон катышы алардын оромолдорунун санын катышына барабар экен. N_1/N_2 -трансформатордун күчөтүү коэффициенти деп аталат. Эгерде $\frac{N_2}{N_1} > 1$ трансформатордун чыгышындагы \mathcal{E}_2 ЭКК киришиндегиден $\frac{N_2}{N_1}$ эсе чоң болот.

Мындай трансформаторлор жогорулатуучу деп аталышат. Тескерисинче ($N_2/N_1 < 1$) болсо төмөндөткүч трансформатор болот. Трансформатор аркылуу берилүүчү энергия анын киришинде жана чыгышында бирдей болгондуктан, жогорулатуучу трансформаторлордун чыгышында чыңалуу чоңойсо ток күчү азаят. Жогорулатуучу трансформаторлор электр энергиясын алыс аралыкка берүүдө колдонулат, себеби өткөргүч аркылуу өткөн токтун жоготулушу Джоулдун жылуулугуна, $Q = I^2 R t$ көтөт) токтун күчүнүн квадратына түз пропорциялаш, б.а. электр энергиясын алыс аралыкка бериш үчүн токтун күчүн азайтып, чыңалууну көбөйтүү пайдалуу экен. Азыркы электр станциялар пайдалануучулардан ондогон, жүздөгөн километр аралыкта жайланышкандыктан, чыңалууну да ондогон, жүздөгөн киловольтко жогорулатып беришет ($\sim 10^6$ Вольт). Мындай

жогорку чыңалуудагы электр энергиясын пайдалануу үчүн төмөндөтүүчү трансформаторлорду пайдаланышат

6.6. Өзүмдүк индукция

Биз жогоруда бир катушка аркылуу өзгөрмөлүү токту экинчи катушкага тийгизген таасирин, өз ара индукцияны, карадык. Эми ошол өзгөрмөлүү ток өткөн катушканын өзүнө тереңирээк көңүл бөлөлү.

Катушка аркылуу ток өткөндө, анын айланасында пайда болгон магнит талаасы катушканын өз оромдорун кесип, магнит агынын түзөт. Бул магнит агыны ал аркылуу өткөн I тогуна түз пропорциялаш 8.6.1-чийме)

$$\Phi = k'LI \quad (8.6.1)$$

Бул жерде L - өзүмдүк индукциянын коэффициентин же контурдун индуктивдүүлүгү деп аталат.

Өзүмдүк индукциянын коэффициентин (L) аныктоо үчүн өз ара индукция коэффициентинин (M) туунтмасын 8.5.3-формула) пайдаланабыз. Өзүмдүк индукцияда оромолуу катушка түзгөн магнит агыны, ошол эле катушканын оромдорун кесип өтүп жаткандыктан, $N_2 = N_1 = N$ деп алсак 8.5.3-формуладан контурдун индуктивдүүлүгү L үчүн

$$M = L = \frac{k}{k'} 4\pi \mu \mu_0 \frac{N^2}{l} S \quad (8.6.2)$$

туунтманы алабыз.

Ал эми бул катушка аркылуу өзгөрмөлүү I тогун жиберсек, ал түзгөн магнит агында өзгөрмөлүү болуп, катушканын өзүндө ЭКЖ пайда болот

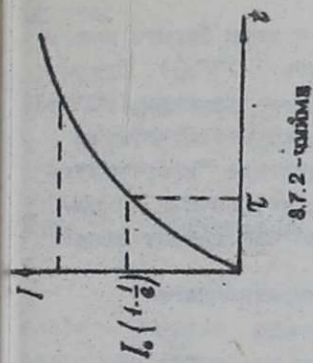
$$\mathcal{E}_0 = -k' \frac{d\Phi}{dt} = -(k')^2 L \frac{dI}{dt} \quad (8.6.3)$$

Бул ЭКЖ өзгөрмөлүү I тогу өтүп жаткан катушканын өзүндө пайда болгондуктан, өзүмдүк индукциянын ЭКЖ (\mathcal{E}_0) деп аталат.

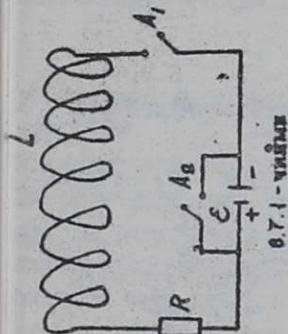
Формуладагы минус (-) белгиси, Ленцтин эреже боюнча контурдагы индуктивдүүлүк андагы токту өзгөрүшүн акырындагы тургандыгын билгизет. Эгерде контурдагы ток өссө $\frac{dI}{dt} > 0$, анда $\mathcal{E}_0 < 0$ б.а. контурдагы ток чоңоё баштаса, анда пайда болгон индукциялык ток I_0 негизги токко карама-каршы багытта пайда болуп, анын өсүшүнө тоскоолдук кылат (II_0). Тескерисинче, контурдагы ток азайганда $\frac{dI}{dt} < 0$, $\mathcal{E}_0 > 0$ болот, б.а. бул шартта пайда бол-



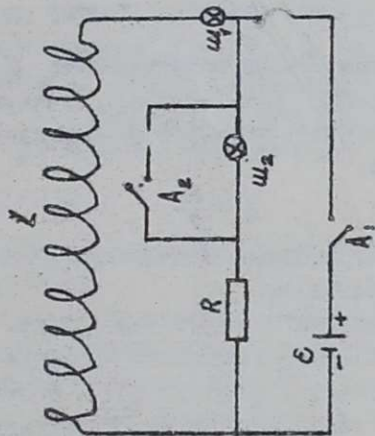
8. F. 1 - WINDUNG



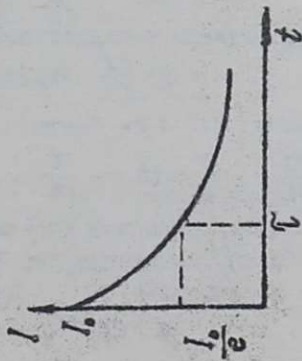
8.7.2 - WINDUNG



8.7.1 - WINDUNG



8.7.4 - WINDUNG



8.7.3 - WINDUNG

гон индукциялык токтуң багыты негизги токтуң багыты менен дал келип, анын азайышына тоскоолдук кылат (11%). Эгерде контур аркылуу турактуу ток өтсө ($\frac{dI}{dt} = 0$), анда $\mathcal{E}_i = 0$) индукциялык ток пайда болбойт. Ошентип, индуктивдүүлүктүн болушу, катушка аркылуу өзгөрмөлүү ток өткөндө "инертүүлүккө" алып келет б.а. контурдагы ток тез өсүп, өзүнүн максималдык чоңдугуна жете албайт жана, тез жоголо албайт экен.

8.7. Чыгырларды кошкондогу жана ажыраткандагы өзгөчө (экстра) токтор

ЭКК \mathcal{E} каршылык R жана индуктивность L ден түзүлгөн электр чыгырын карайлы (8.7.1-чийме). A_2 ачкычы ачык, A_1 ачкычы дайыма жабык болгондо, чыгырга \mathcal{E} ЭКК аракет кылып, анда I_0 тогу жүргөн болот

$$I_0 = \frac{\mathcal{E}}{R} \quad (8.7.1)$$

Эми ЭКК чыгырға кошулгандагы жана ажырагандагы кубулуштарды байкайлы.

1. \mathcal{E} ЭКК булагын чыгырга тез кошулу. Ал үчүн A_2 -ачкычы ачык) A_1 ачкычы тез жабылат. Чыгырда индуктивдүүлүк болгондуктан, өзүндүк индукция пайда болуп, ал негизги I тогунун өсүшүнө тоскоолдук кылат. Натыйжада чыгырдагы токтуң күчү эки ($\mathcal{E}, \mathcal{E}_i$) ЭККтердун таасири астында аныкталат

$$I = \frac{\mathcal{E} + \mathcal{E}_i}{R} \quad IR = \mathcal{E} - L \frac{dI}{dt} \quad (8.7.2) \quad \text{же болбосо}$$

Эгерде $IR = \mathcal{E} = u$ деп белгилесек,

$$u = R dI \quad (8.7.3) \text{ болот.}$$

Анда 8.7.2-формулану төмөндөгүдөй жазууга болот.

$$u = -L \frac{dI}{dt} \quad (8.7.4)$$

8.7.3-туунтманы 8.7.4 га бөлүп

$$\frac{du}{u} = -\frac{R}{L} dt = -\frac{t}{\tau} \quad (8.7.5)$$

алабыз. Мында $\tau = \frac{L}{R}$ чыгырдын турактуу убактысы деп аталат (8.7.5) -формулану кандайдыр бир t убактысына чейин интегралдап жана потенциалдап.

$$u = \mathcal{E} e^{-t/\tau} \quad (8.7.6)$$

алабыз. Эми бул турнтиваны 8.7.2-формулага көп төмөнкүнү алабыз

$$IR = \mathcal{E} + C e^{-t/\tau} \quad (8.7.7)$$

Интегралдын турактуулугу C ны баштапкы шарттан аныктайбыз: Демек 2 7.7-формуладан бул шартта $C = -\mathcal{E}$ болот.

Муну 8.7.7 -формулага көп

$$I = \frac{\mathcal{E}}{R} (1 - e^{-t/\tau}) \quad (8.7.8)$$

алабыз. Ошентип, чыңжырды ЭЖК нүн булагына кошкондо ток дароо эле өзүнүн өң чоң маанисине I_0 жетбестен, 8.7.8-закону боюнча өсөт экен (8.7.2-чийме). Убакыт t чыңжырдын турактуу убактысы τ барабар $t = \tau$ болгондо, чыңжырдагы ток I максималдуу токтун $I_0(1 - \frac{1}{e})$ бөлүгүнө барабар болот

$$I = I_0 (1 - \frac{1}{e}) \quad (8.7.9)$$

убакыт чексизге умтулганда $t \gg \tau$ гана чыңжырдагы ток турактуу токко барабар болот.

2. Чыңжырдагы ток максималдуу чондугунда $I = I_0$) өтүп жатат. Эми чыңжырды туюк калтырып, ЭЖК булагынан кокусунан ажыраталды. Ал үчүн A_1 ачыкчы жабык бойдон вурат (8.7.1-чийме). A_2 -ачыкчы кокусунан жабабыз. Анда ЭЖК булагы A_2 ачыкчы аркылуу оң жана терс уюлдары түз кошулуп, RL чыңжырына аракет кылбай калат. Мындай шартта чыңжырдагы токтуун кантип жок болорун карайлы.

Сырткы ЭЖК аракет кылбагандыктан $\mathcal{E} = 0$, чыңжырга өзүнчө индукциянын гана ЭЖК таасир кылат б.а.

$$I = \frac{\mathcal{E}_0}{R} = -\frac{L}{R} \frac{dI}{dt} \quad (8.7.10)$$

Ошондуктан 8.7.7-теңдеменин ордуна

$$IR = C e^{-t/\tau} \quad (8.7.11)$$

алабыз. Эми C аныктайлы.

Баштапкы шартта $t = 0$: $I = I_0$ - ток максималдуу болгон.

Ошондуктан 8.7.11 -формуладан $C = I_0 R$ болот.

Турактуу C маанисин 8.7.11 формулага көп

$$I = I_0 e^{-t/\tau} \quad (8.7.12)$$

алабыз. R_1 -чыңжырын ЭКК күчүнөн кокусунан арыктатканда, андагы ток 8.7.12-закону боюнча азайып чок болот экен. (8.7.3 чийме). Анын канчалык тез тоголору \mathcal{L} жарыа болот.

Олентип, электр чыңжырларындагы индукция дүүлүк (механикадагы инертүүлүктө массага) окшош болуп, чыңжырга инертүүлүк берет экен.

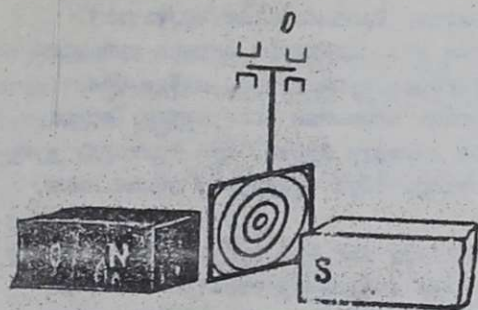
ЭКК булагын чыңжырга кошкондогу жана андан ажыратканда пайда болгон экстра токторду төмөнкү демонстрациялык тажрыйбада көрсөтүүгө болот (8.7.4-чийме). Бул чыңжыр эки жарыш чыңжырлардан: чоң индуктивдүү \mathcal{L} катушкасына \mathcal{M}_1 , электр шамчасы удаалаш туташтырылган жана буларга удаалаш туташтырылган R каршылыгы жана \mathcal{M}_2 шамчасы жарыш туташтырылган. A_2 ачык ачык турсун. Эгерде биз A_1 ачыктын жабсак, анда ЭКК бул эки жарыш чыңжырга туташтырылат. \mathcal{M}_1 шамчасы индуктивдүүлүккө удаалаш туташтырылгандыктан, өзүнчө индукциянын таасири астында бир аз кечигибирээк жаркырап күйөрүн. ал эми \mathcal{M}_2 шамчасы тез жаркырагын байкайбыз.

Биз индуктивдүүлүктүү чыңжырга ЭКК булагын кошкондо пайда болгон өзгөчө токту көрдүк .

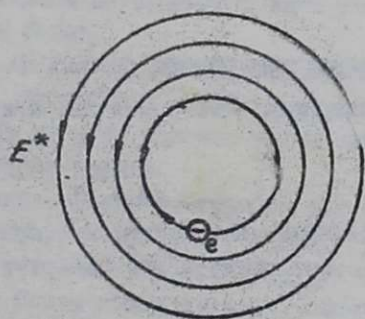
Бул чыңжырды ЭКК ажыратканда пайда болгон өзгөчө токту байкоо үчүн A_2 ачыктын туюктан, \mathcal{M}_2 -шамы ЭККнен ажыратылат). кабык турган A_1 ачыктын шарт ажыраткан учурда бул шамдын жаркырагы, анан өчөрүн көрөбүз. Мындай кубулуш, чыңжырды ток булагынан ажыратканда пайда болгон өзүмдүк индукциянын негизинде пайда болгон өзгөчө токтун натыйжасы болуп эсептелет

8.8. Куундуу токтор (Фуконун токтору)

Индукциялык токтор туташ салмактуу өткөргүчтөрдө да пайда болот. Эгерде өзгөрмөлүү магнит талаасына туташ өткөргүчтөн жасалган нерселерди киргизгенде, аларда куундуу токтор пайда болушат. Бул токтордун багыттары Ленцтин эрежеси боюнча болушат. 8.8.1-чиймеде, 0 чекитине илинген металл пластинасынан жасалган маятник магнит уюндарынын ортосунда термелет. Маятник термелгенде ал аркылуу өткөн магнит агыны өзгөргөндүктөн, бул өзгөрмөлүү магнит агынын айланасында индукциялык электр талаасы $\mathcal{E}^{\text{инд}}$ пайда болорун (8.2.2-чийме) билебиз. Маятник туташ өткөргүч болгондуктан, анда пайда



8.8.1-чүүмэ



8.8.2-чүүмэ

болгон туби индукциялык электр талаасы E^* өткөргүчтөгү электрондорду талаанын тубк кч сызыктары боюнча кыймылга келтирет да, өткөргүчтө тегерек тубк токтор пайда болот. Бул токтордун багыттары магнит агынынын өзгөрүшүнө (чоңоюшуна, же азайышына) жараша өзгөрүп турат. Бул токторду куундуу токтор же фуюкун токтору (бул кубулушу ачкан киши) деп атап коюшат.

Ар кандай кубулуштар сыяктуу эле бул кубулуштун пайдалуу жана зыян жактары бар: 1. Бул кубулушту электромагниттик (микротолкундуу) печь катары пайдаланышат, айрыкча вакуумдуу приборлордун (лампалардын) металлдардын жасалган тетиктерин кызытып иштетүүдө бул ыкманы башка жол менен алмаштыруу кыйын. Ошондой эле кубулуш электр өлчөөчү кураалдарда, алардын көрсөтүүчү жөбөсинин термелиши токтотуу (демферлеө) үчүн колдонулат. 2. Зыяндуу жактары трансформаторлор иштегенде пайда болот. Эгерде трансформатордун өзөгү туташ темирден жасалса, анда пайда болгон куундуу токтор анын ишатына алып келет. Ошондуктан, трансформатордун өзөгүн бири биринен изоляцияланган жука тилкелердин, тобунан жасашат. Мындай шартта куун токтор азаят.

8.9. Токтун магнит талаасынын энергиясы

Индуктивдүүлүгү L болгон контурдан I тогу өткөндө ага илөөшкөн магнит агыны

$$\Phi = k'LI \quad (8.9.1)$$

барабар болору белгилүү (8.6.1-чийме). Магнит агынын $d\Phi$ ге өзгөртүш үчүн, контур аркылуу өткөн токтун dI ге өзгөртүү k керек,

$$d\Phi = k' L dI \quad (8.9.2)$$

Бул агынды өзгөртүш үчүн аткарылган жумуш

$$dA = k' I d\varphi \quad (8.9.3)$$

барабар болот. Мындай жумушту контурга туташтырылган ЭКК аткарат. Бул жумуш контурдагы топтолгон энергияны dW га көбөйтөт. Эгерде контурдагы токтун dI ге азайтсак, анда бул топтолгон энергия бөлүнөт. Ошентип токтун dI ге көбөйткөндө контурдагы топтолгон энергия dW га чоңоет, б.а.

$$dW = dA = k' I d\Phi = (k')^2 L I dI \quad (8.9.4)$$

Контурдагы ток нөлдөн кандайдыр бир I ге чоңойгондогу топтолгон энергияны табыш үчүн 8.9.4-туунтманы нөлдөн чейин интегралдоо керек

$$W = \int_0^I dA = \int_0^I (k')^2 L I dI = (k')^2 L \frac{I^2}{2} \quad (8.9.5)$$

СИ системасында $k' = 1$

$$W = L \frac{I^2}{2} \quad (8.9.6)$$

Акыркы туунтма индуктивдүүлүгү L болгон контурдан I тогу өткөндө топтолгон энергияны мүнөздөйт. Түшүнүктүү болсун үчүн бул туунтманы заряддалган, сыйымдуулугу C болгон конденсатордун энергиясы менен салыштыруу пайдалуу

$$W_q = \frac{1}{C} \frac{q^2}{2} \quad (8.9.7)$$

Конденсатордун энергиясы андагы заряддардын чоңдугунун квадратына (q^2) түз пропорциялаш болсо, тогу бар контурдун энергиясы токтун квадратына б.а. заряддардын кыймылынын квадратына түз пропорциялаш экен. Бул жагынан бул энергияларды механикадагы потенциалдык жана кинетикалык энергияларга салыштырууга болот.

Ар кандай электр тогу магнит талаасы менен курчалгандыктан, тогу бар контурдагы энергия, өтүп жаткан өткөргүчтүн ичиндеби же анын айланасындагы магнит талаасында топтолгонбу деген суроо туулат.

Чындыгында өгөрдө контурдагы ток турактуу болсо, андагы энергия дагы турактуу болот. Бирок, бул энергияны андан өтүп жаткан ток менен байланыштырууга болбойт, себеби индуктивдүүлүгү башка контурду алып, ошондой эле ток өткөрсөк, анда ошол эле токтун энергиясы башкача болот. Ошондуктан, бул энергияны магнит талаасы менен байланыштыруубуз керек. Ал үчүн торроиддик катушканы аламыз (263-чийме). Анын индуктивдүүлүгү

$$L = \frac{k}{k'} \mu \mu_0 4\pi \frac{N^2}{l} S \quad (8.9.8)$$

экендиги белгилүү.

8.9.8-туунтманы 8.9.5-формулага койсок

$$W = \frac{1}{2} k' k \mu \mu_0 4\pi \frac{N^2}{l} S I^2$$

жана аны торроиддин узундугу l ге көбөйтүп жана бөлүп

$$H = k_4 \pi \frac{N}{l} I ; IS = V$$

өкөндигин эске алып. СИ-системасында ($k'_1=1; k=\frac{1}{4\pi}$) төмөнкү алабыз

$$W = \frac{1}{2} \mu \mu_0 H^2 V \quad (8.9.9)$$

Бул энергиянын тыгыздыгы

$$W_H = \frac{W}{V} = \frac{1}{2} \mu \mu_0 H^2 = \frac{1}{2} BH \quad (8.9.10)$$

Ошентип, тогу бар өткөргүчтүн магнит талаасынын энергиясы, магнит талаасынын мейкиндиктин чекитиндеги тыгыздыгынын квадратына түз пропорциялаш экен.

Электростатикада электр талаасынын энергиясы, анын тыгыздыгынын квадратына түз пропорциялаш өкөндигин көргөнбүз.

$$W_E = \frac{1}{2} \epsilon \epsilon_0 E^2 = \frac{1}{2} DE \quad (8.9.11)$$

Эгерде мейкиндикте электромагниттик талаа болсо, анда бул талаанын энергиясы магнит H жана электр E талааларынын энергияларынын суммаларына

$$W = W_E + W_H = \frac{1}{2} \mu \mu_0 H^2 + \frac{1}{2} \epsilon \epsilon_0 E^2 \quad (8.9.12)$$

барabar болот.

Глава 9. МАКСВЕЛЛИН ТЕОРИЯСЫНН НЕГІЗДЕРИ

9.1. Индуцтуу токтору

Ар кандай өзгөрмөлүү магнит талаасын курчаган индукциялык электр талаасы пайда болорун электромагниттик индукция кубулушунда көргөнбүз. Ал электромагниттик индукция кубулушунун негизги теңдемесинен келип чыгат,

$$\mathcal{E}_{\text{инд}} = \oint E_c^* dl = k \frac{d\Phi}{dt} = -k \int_S \frac{dB_m}{dt} dS \quad (9.1.1)$$

Англиялык окумуштуу Максвелл, ар түрдүү электромагниттик процесстерди изилдеп, эгерде өзгөрмөлүү магнит талаасы индукциялык E^* электр талаасын түзсө, тескерисинче, өзгөрмөлүү электр талаасы магнит талаасын түзүшү керек деген жыйынтыкка келген. Буга чейин биз, магнит талаасынын булагы болуп ток аяптелерин көргөнбүз. Спондуктан, магнит талаасын түз-

ген өзгөрмөлүү электр талаасын Максвелл жылышуу тогу деп атап койдук.

Былылуу тогун түшүнүш үчүн төмөнкү тазырыйбага көңүл буралы: (9.1.1.-чийме) C жалпак конденсаторуна \mathcal{E} ЭКК булагын алакошкуч (АК) аркылуу туташтыралы. Конденсатордун бир канатына кичинекей электр шамы M туташтырылган. Мындай электр чыныжыры турактуу ток үчүн туюк болбойт. Ошондуктан, ал аркылуу ток жүрбөйт, буга электр шамынын күйбөгөнү күбө. Эгерде көңүл кошп карасак, алакошкуч ЭКК булагын конденсаторго кошкондо жана аны алакошкондо, ток булагынын уюлдары алышат, шамдын үлпүлдөгөнүн (жанып өчкөнүн) көрөбүз. Демек, бул учурларда чыныжырда электр тогу пайда болот экен. Чындыгында эле алакошкучту 1-абалдан 2-абалга которгондо конденсатор шамы аркылуу ала заряддалып, ток жүрөт. Качан конденсатор алазаряддалып бүткөндө шам кайра өчөт.

Опентип, \mathcal{E} ЭКК булагын конденсатору бар чыныжырга кошкон жана алакошкон учурларда электр шамы бүлбүлдөйт экен. Эгер эми бул чыныжырды өзгөрмөлүү электр тогунун булагына туташтырсак шам дайыма күйгөнсүп көрүнөт. Себеби кишинин көзү 25 Гц жыштыктан жогорку өзгөрүүлөрдү ажырата албайт. Ал эми өзгөрмөлүү электр тогу 50 Гц жыштыкта өзгөргөндүктөн конденсатордогу заряддоо жана алазаряддоо 100 Гц жыштык менен жүрөт. Ошондуктан, мындай өзгөрмөлүү токту булагына туташтырылган электр шамы турактуу күйгөнсүйт. Опентип, өзгөрмөлүү электр тогу турактуу токтон айырмаланып, ачык чыныжырлар аркылуу да жүрө алат экен. Бул чыныжырды конденсатордун канаттарынын ортосундагы пайда болгон жылышуу тогу б.а. өзгөрмөлүү электр талаасы туюктайт.

Түшүнүктүүрөөк болсун үчүн 9.1.2.-чиймеге көңүл буралы. Алакошкучту 1-абалга жылдырсак конденсатордун сол канатына оң заряддар $(+q)$, ал эми канатына терс заряддар $(-q)$ жыйнала баштайт (заряддалышат). Аларда заряддар көбөйгөн сайын, ортосундагы электр талаасы пропорциялаш чоңоёт. Эгерде канаттарындагы заряддардын беттик тыгыздыгы σ болсо, анда алардын ортосундагы электр талаасынын индукциясы D га түз пропорциялаш болот,

$$D = \sigma$$

$$(9.1.2)$$

ал эми толук заряд $q = \sigma S = DS,$

$$(9.1.3)$$

мында S конденсатордун канатынын аянты

Эгерде dt убактысында конденсатордун заряды dq га өзгөрсө, конденсаторду туташтырган өткөргүчтөгү пайда болгон токтуң күчү I_0

$$I_0 = \frac{dq}{dt} = S \frac{dD}{dt} \quad (9.1.4)$$

болот, же аялн тыгыздыгы

$$\vec{J}_0 = \frac{dq}{dt/S} = \frac{dD}{dt} \quad (9.1.5)$$

канаттардын ортосундагы электр индукциясынын өзгөрүшүнүн ылдамдыгына $\frac{dD}{dt}$ пропорциялам болот. Бул барабардыктан, өткөргүчтөгү токту канаттардын ортосундагы мейкиндикте (диэлектрикте) өзгөрмөлүү электр талаасынын күч сызыктары ($\frac{dD}{dt}$) улантып, чыныкырды туруктай тургандыгы келип чыгат. Бул вектордук чоңдугу Максвелл жылышуу тогу деп атаган,

$$\vec{J}_* = \frac{dD}{dt} \quad (9.1.6)$$

Электр индукциясы \vec{D} диэлектриктин поляризация вектору менен төмөндөгүдөй байланышкан.

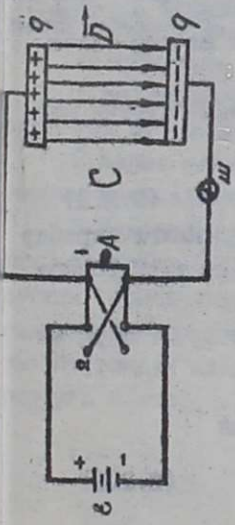
$$\vec{D} = \epsilon_0 \vec{E} + \vec{P} \quad (9.1.7)$$

$$\vec{J}_* = \frac{d}{dt} (\epsilon_0 \vec{E} + \vec{P}) \quad (9.1.8)$$

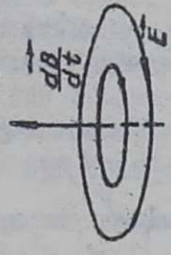
мында ϵ_0 - электрдик турактуу сан, \vec{E} - электр талаасынын чыңалышы. Поляризация вектору \vec{P} диэлектриктеги поляризациялык заряддар менен байланыштуу болгондуктан, 9.1.8 формуладагы $\frac{d\vec{P}}{dt}$ чоңдугу поляризациялык заряддарынын жылышынын ылдамдыгына мүнөздөйт. Ошондуктан, 9.1.8-формуладагы бул мүчө "жылышуу тогу" деген наамга туура келет. Ар кандай ток сыяктуу, жылышуу тогунун айланасында да магнит талаасы пайда болот. Конденсатор амазаряддалганда өткөрүмдүүлүк J_0 тогу багытын өзгөрткөндүктөн, жылышуу J_* тогу да өз багытын өзгөртөт (9.1.3-чийме). Ошентип, конденсаторлуу электр чыныкыр аркылуу өзгөрмөлүү ток жүргөндө конденсатордун канаттарынын ортосунда пайда болгон жылыш тогу J_* өткөргүч аркылуу жүргөн токтуң J_0 уландысы болуп, чыныкыр турукталат жана бул токтордуң тыгыздыктары барабар болушат

$$J_0 = J_*$$

Эгерде кандайдыр бир өткөргүч аркылуу өзгөрмөлүү ток жүрсө,



9.1.1 - ҮҮӨМӨ

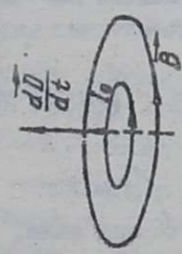


9.2.1 - ҮҮӨМӨ

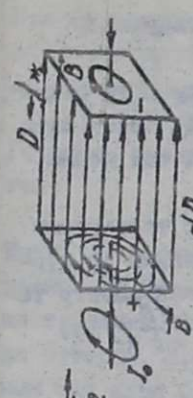


$\frac{dD}{dt} > 0$

9.1.2 - ҮҮӨМӨ

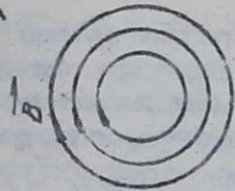


9.2.2 - ҮҮӨМӨ

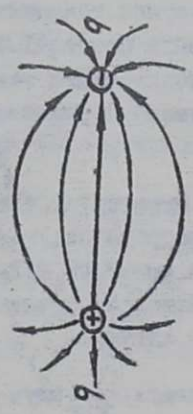


$\frac{dD}{dt} < 0$

9.1.3 - ҮҮӨМӨ



9.2.3 - ҮҮӨМӨ



9.2.4 - ҮҮӨМӨ

анын ичинде өзгөрмөлүү электр талаасы болот. Ошондуктан, мындай өткөргүч арылуу өткөрүмдүүлүк тогуна (j_0) башка жылышуу тогу j_* да пайда болот. Өткөргүч арылуу өткөн толук ток бул токтордун суммасына $j = j_* + j_0$ барабар болот, канчалык аларды курчаган магнит талаасынын чыңалышы ушул ток менен аныкталат.

Чейренүн электр өткөрүмдүүлүгүнө жана электр талаасынын өзгөрүшүнүн ылдамдыгына жараша бул токтордун салымы ар түрдүү болушат. Анчалык чоң эмес жыштыктагы өзгөргөн электр талаасы үчүн: а) жакшы өткөргүчтөр үчүн $j_0 \gg j_* = \frac{dD}{dt}$, $j = j_0$

б) начар өткөргүчтөр үчүн $j_* \gg j_0$ $j = j_*$

в) жарым өткөргүчтөр үчүн $j_* \sim j_0$ $j = j_0 + j_*$

9.2. Максвеллдин интегралдык теңдемелери

Максвеллдин жылышуу тогун ачышы, ага электр жана магниттик кубулуштардын жалпы теориясын түзүүгө мүмкүнчүлүк берди. Максвеллдин бул теориясынын негизги болуп, анын төрт теңдемеси эсептелет. Бул теңдемелердин интегралы түрүндөгүсүн карайлы.

Анын биринчи теңдемеси электромагниттик индукциянын негизги закону эсептелет,

$$\oint_L E_c dl = -k' \frac{d}{dt} \int_S B_n dS \quad (9.1.1)$$

Бул теңдемени оңдон солго окусак анда, ар кандай өзгөрмөлүү магнит талаасынын айланасында индукциялык электр талаасы пайда болот (9.2.1-чийме).

Максвеллдин экинчи теңдемеси, Остроградский-Гаустун магнит талаасы үчүн теоремасы эсептелет,

$$\oint_S B_n dS = 0 \quad (9.2.2)$$

б.а. туниталган бет аркылуу өткөн магнит агыны нөлгө барабар. Бул теоремадан, магнит талаасынын күч сызыктары туюк болору келип чыгат (9.2.2-чийме).

Максвелл өзүнүн үчүнчү теңдемеси катары толук токтун законун алган,

$$\oint_L H_c dl = 4\pi I = 4\pi \int_S j dS$$

Бул жерде $j = j_0 + j_*$ толук токтун тыгыздыгы ошондуктан

$$\oint_L H_c dl = 4\pi \left[\int_S j_0 dS + \frac{d}{dt} \int_S D_n dS \right] \quad (9.2.3)$$

Бул теңдемеден, магнит талаасы өткөрүмдүүлүк токтуң j_0 айланасында гана пайда болбостон, жылышуу тогунун $j_{\text{ж}} = dD/dt$ айланасында да пайда болору келип чыгат (9.2.3-чыйме)

Ал эми төртүнчү теңдеме катары, Максвелл, Остроградский-Гаусстун электростатикалык талаа учун теоремасын пайдаланган,

$$\oint D_n dS = q = \int \rho dV \quad (9.2.4)$$

Мында ρ -заряддын көлөмдүк тыгыздыгы, электростатикалык талаанын D булагы болуп электр заряды q эсептелерин, яна ал талаанын күч сызыктары оң заряддан башталып, терс заряддар да бүтөрүн, б.а. электростатикалык талаанын күч сызыктарынын баа аягы болуп, ачык өкөңдигин көрсөтөт (9.2 4-чыйме).

Электр жана магнит талааларына ар кандай чөдрөлөрдүн тийгизген таасирлерин буга чейин бизге белгилүү байланыштар, материалдык теңдемелер аркылуу берилет

$$\begin{aligned} D &= \epsilon \epsilon_0 \vec{E} \\ B &= \mu \mu_0 \vec{H} \\ \vec{j} &= \sigma \vec{E} \end{aligned} \quad (9.2.5)$$

(Ондун дифференциалдык закону)

Мында ϵ -чөйрөнүн электр жана магнит өтүмдүүлүгү, σ -анын электр өткөрүмдүүлүгү

Максвеллдин бул теңдемелеринен электр жана магнит талааларынын ортосундагы тыгыз байланыштар, алардын электр зарядынын абалына көз каранды өкөңдиги келип чыгат.

Максвеллдин теориясынан келип чыккан негизги жылынтыктар:

1. Мейкиндикте электромагниттик толкундар пайда болуп,

алар баш мейкиндикке жарыктын ылдамдыгы c менен таралат.

2. Жарык электромагниттик толкун жана ал көз көргөн жылыктын диапозонуна туура келет.

3. Максвеллдин теориясы ар кандай электр жана магниттик,

электромагниттик, кубулуштарды, ошондой эле электромагниттик термелүүлөрдү жана толкундарды, ошонун ичинде жарык

толкундарын да түшүндүрө алат. Бул жагынан Максвеллдин теориясын Ньютондун классикалык механикадагы теориясы менен салыштырууга болот.

Глава 10. ЭЛЕКТРОМАГНИТТИК ТОЛКУНДАР ЖАНА ТЕРМЕЛҮЛӨР

Ар кандай электромагниттик кубулуштардын арасында электромагниттик термелүүлөр жана толкундар орчундуу орунду ээлейт. Мында, электрдик жана магниттик чоңдуктар (заряддар, токтор, электр жана магнит талаалары) мезгилдүү өзгөрүшөт.

10.1. Термелүү чыңыгы. Өзүндүк термелүү

Удаалаш туташтырылган C конденсатордон, индуктивдүүлүгү катушкадан жана R каршылыгынан түзүлгөн электр чыңыры термелүү контуру деп аталат (10.1.1-чийме). Мындай чыңырга адегенде электр энергиясын берүү керек. Андыктан, A_1 ачыкчынын жардамы менен C конденсаторду ЭКК (E) булагына туташтырабыз. Бул мезгилде A_2 ачыкчы ачык турат. ЭКК булагы конденсаторду заряддайт жана, анда $q = CV$ барабар заряддар топтолот. Мында, ток булагынын сырткы клеммаларынын ортосундагы чыңалуусу U га барабар. Биздин шартта конденсатордун жогорку канатында оң заряддар ($+q$), ал эми төмөнкү канатында терс заряддар ($-q$) топтолушкан. Бул заряддалган канаттардын ортосунда пайда болгон электр талаасынын чыңалышы E ге барабар болуп, ал эми энергиясы

$$Wq = \frac{q_0^2}{2C} \quad (10.1.1)$$

барабар болот.

C конденсатору заряддалгандан кийин аны C ток булагынан атыратып (A_1 ачылат), термелүү контурун туруктап (A_2 жабылат) индуктивдүүлүк аркылуу конденсатор разряддалат (заряддар ага баштайт). Индуктивдүүлүктүн таасири астында, контурда пайда болгон ток акырындап, өсүп, ток өтүп жаткан катушканы курчаган магнит талаасы пайда болот. Конденсатордогу заряддар азайган сайын, анын электр энергиясы азайып катушканын магнит талаасынын энергиясы көбөйөт. Контурдагы термелүү кубулушу түшүнүктүүрөөк болсун үчүн, адегенде андагы каршылыкты эске албайлы ($R=0$), б.а. контурдагы энергия жылуулукка айланып жок болбойт. Конденсатор толугу менен разряддалып бүткөндө (10.1.2-чийме), катушка аркылуу өткөн ток максималдуу болот жана чыңырыдагы индуктивдүүлүк токтун токтоп калышына тоскоолдук кылат. Ушунун негизинде конденсатордо алгачкыдан башталат б.а. конденсатордун төмөнкү

канатына оң жогоркусуна терс заряддар топтоло баштайт (10.1.3-чийме). Мындай алазаряддоо бүткөндө чыңжырдагы ток токтолуп ($I=0$) бардык энергия кайрадан конденсаторго топтолот. Бул абалда чыңжыр көпкө тура албайт жана конденсатор катушка аркылуу кайрадан заряддала баштайт, оң заряддар төмөнкү канаттан жогорку канатты кездей катушка аркылуу ага башташат. Мындай агуунун тез бүтүшүнө катушкада пайда болгон өзүмдүк индукция кубулушу тоскоолдук кылат. Конденсатор толук разряддалып бүткөндөн кийин (10.1.4-чийме), Ошол эле индуктивдүүлүк конденсаторду алазаряддоого мажбур кылат, б.а. конденсатордун жогорку канатына оң заряддар топтолуп төмөнкү канатына терс заряддар топтоло баштайт. Конденсатордун толук алазаряддалып бүткөн учуру 10.1.5-чиймеде көрсөтүлгөн. Контурдун бул абалы анын баштапкы ($t=0$) абалына дал келет (10.1.1-чийме). Ошентип, бул контурда заряддар бир толук термелишип, мурдакы абалына келишти. Бир толун термелүүгө кеткен убакыт термелүүнүн мезгили ($t=T$) экендигин эсибизге салаалы. Термелүү контуру мындай абалда көпкө тура албагандыктан, кайрадан заряддардын термелүү процесстери кайталанат. Биз каршылыкты эске алган жокбуз, ошондуктан, контурдагы мындай бир башталган термелүү чексиз эсе кайталанат.

Эми ушул контурдагы термелүүнүн жүрүшүнүн закон ченемдүүлүгүн аныктайлы. Ал үчүн биз жогоруда караган термелүү контуруна (10.1.1-чийме) Кирхгофтин экинчи законун (Омдун толук чыңжыр үчүн законун) жазайлы.

Биз адегенде калпы учурду, б.а. каршылыкты да эске алабыз.

$t=0$ учурунда конденсатор толук заряддалып турсун ($q=Q_0$).

A_2 ачыкчыл кошкондо (A_1 -ачык) чыңжырда разряддоо тогу жүрө баштайт. Бул ток Кирхгофтин экинчи законунан аныкталат, б.а.

$$IR + U_C = \mathcal{E}_0 \quad (10.1.2)$$

Мында IR -каршылыктагы чыңалыштын төмөндөшү, $U_C = q/c$ конденсатордун канаттарынын ортосундагы чыңалыш,

$$\mathcal{E}_0 = -L \frac{dI}{dt} \quad (10.1.3)$$

индуктивдүүлүктө пайда болгон өзүнчө индукциянын ЭКК.

Бул чыңжыр аркылуу аккан электр тогу

$$I = \frac{dq}{dt} \quad (10.1.4)$$

болгондуктан, токту өзгөртүү заряддар аркылуу төмөндөгүдөй туундурулат

$$\frac{dI}{dt} = \frac{d^2q}{dt^2} \quad (10.1.5)$$

Олентип, Кирхгофун экинчи законун (10.1.2), заряддар аркылуу төмөндөгүдөй жазууга болот

$$L \frac{d^2q}{dt^2} + R \frac{dq}{dt} + \frac{q}{C} = 0$$

же болбосо индуктивдүүлүккө (L) бөлүп,

$$\frac{d^2q}{dt^2} + \frac{R}{L} \frac{dq}{dt} + \frac{q}{LC} = 0 \quad (10.1.6)$$

туунтманы алабыз, жана термелүү контурунун дифференциалдык теңдемеси болуп эсептелет.

Мындан ары төмөнкүдөй белгилеп алууну жүргүзөлү

$$\sqrt{\frac{L}{C}} = \omega_0 \quad (10.1.7)$$

контурдун өзүмдүк жыштыгы,

$$\tau = \frac{L}{R} \quad (10.1.8)$$

контурдун өзүмдүк убактысы.

I. Биз адегенде LC контурдагы эркин термелүүлөрдү карайлы.

Ал үчүн $R=0$ каршылыкты эске албайбыз. Мындай контур эркин термелүүлөрдүн же LC контуру деп аталат.

Мындай шартта ($R=0$) 10.1.6.-теңдеме төмөндөгүдөй жазылат

$$\frac{d^2q}{dt^2} + \omega_0^2 q = 0 \quad (10.1.9)$$

Бул теңдемени механикадагы гармоникалык термелүүлөрдүн теңдемеси менен салыштырып көрөлү

$$\frac{d^2x}{dt^2} + \omega_0^2 x = 0 \quad (10.1.10)$$

Мында $\omega_0 = \sqrt{k/m}$, k -серпилгичтиктин коэффициенти, m -термелүүчү нерсенин массасы ω_0 -термелүүнүн өзүмдүк жыштыгы экендигин эске салалы. Бул теңдемеден, биз караган m массасы гармоникалык закон

$$x = x_0 \cos(\omega_0 t + \varphi_0) \quad (10.1.11)$$

боюнча термелерин алганбыз.

10.1.9 жана 10.1.10-теңдемелерди салыштырып, биз карап жат-

кан LC контурундагы заряддар

$$q = q_0 \cos(\omega_0 t + \varphi_0) \quad (10.1.12)$$

өзгөрөрүн оңой эле табабыз.

Мында q_0 - конденсатордогу баштапкы заряд, термелген заряддардын амплитудасынатуура келет, φ_0 эркин термелүүнүн жыштыгы жана баштапкы фазасы. Ошентип, контурдагы заряд гармоникалык закон боюнча термелерин (өзгөрөрүн) көрдүк. Эркин термелүүнүн жыштыгы ω_0 10.1.7 - теңдемеден аныкталат.

Мындай термелүүнүн мезгили

$$T = \frac{2\pi}{\omega_0} = 2\pi \sqrt{LC} \quad (10.1.13)$$

экендиги, мектептин физикасынан Томсондун формуласы деген ат менен белгилүү.

LC - контурундагы заряддардын өзгөрүү закону график түрүндө 10.1.6 - чиймеде берилген. Бул графикте баштапкы фаза $\varphi_0 = 0$ нөлгө барабар деп алынган, б.а. термелүүнү эсептөө конденсатордогу заряд максималдуу болгондон башталат ($t=0, q=q_0$). Ушул 10.1.1 - чиймеден жана 10.1.12 - теңдемеден, убакыттын кайсыл учурларында конденсатор толук заряддалгандыгын ($q=q_0$) же алаазардалгандыгын ($q=-q_0$) индуктивдүүлүк аркылуу өткөн ток жок экендигин ($I=0$) же максималдуу ($I=I_0$) оңой эле табууга болот.

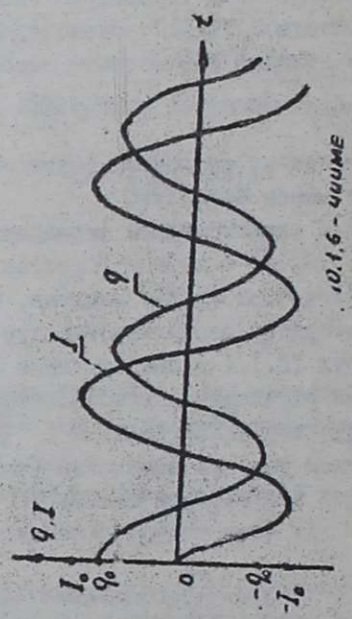
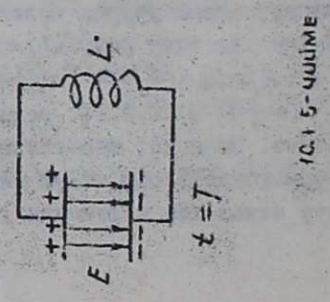
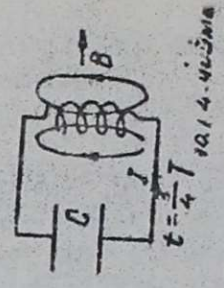
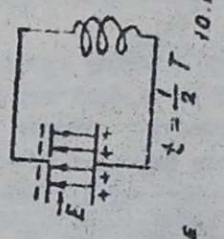
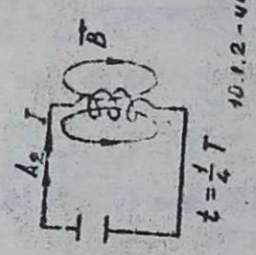
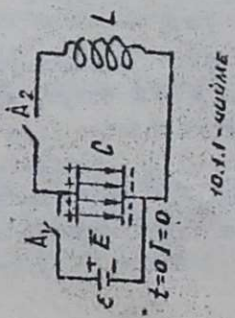
Ал үчүн токтум өзгөрүү закону ченемдүүлүгүн да таап алабыз

$$I = \frac{dq}{dt} = -\omega_0 q_0 \sin(\omega_0 t + \varphi_0) = I_0 \cos(\omega_0 t + \varphi_0 - \frac{\pi}{2}) \quad (10.1.14)$$

Мында $I_0 = q_0 \omega_0$ - токту амплитудасы 10.1.12 жана 10.1.14 - теңдемелерди салыштырып, термелүү контурунда заряд (q) жана ток (I) карама каршы фазада өзгөрөрүн оңой эле көрүүгө болот. Чындыгында эле $\varphi_0 = 0$ болгондо бул теңдемелерден

1. $t=0, \cos \omega_0 t = 1, q = q_0, \sin(\omega_0 t) = 0, I = 0$

2. Заряд кайсыл учурда нөлгө барабар ($q=0$) экендигин табайлы. Ал үчүн $\cos(\omega_0 t) = 0$ Мындан $\omega_0 t = \pi/2$ болушу керек же $t = \pi/2\omega_0 = (\pi/4\pi)T = (1/4)T$ экендигин табабыз. Ушул учурда $t = \frac{1}{4}T$, 10.1.14 - теңдемеден $I = -I_0$ экендигин табабыз. Ошентип, термелүүнүн төртөн бир $T/4$ мезгилиндеги учурда конденсатор толук разряддалат $q=0$ жана катушка аркылуу өткөн ток максималдуу ($I = -I_0$) болот (10.1.2 - чий-



ме). 3) Конденсатордун толук алазаряддалган учурун табайлы, б.а. $q = -q_0$. Ал үчүн 10.1.12-тендемеде $\cos(\omega_0 t) = -1$ болушу керек. Мындан $\omega_0 t = \pi$ экендигин жана $t = \pi/\omega_0 = T/2$ экендигин оңой эле табабыз. Ал эми ушул эле учурда $t = T/2$ чыныгыдагы ток $I = 0$, токтонун (10.1.14-тендемеден оңой эле табабыз (10.1.3-чыйме). Ушундай эле жол менен убакыттын $t = 3T/4$ учурунда конденсатордогу заряддын $q = 0$ нөл экендигин, ал эми чыныгыдагы токтун максималдуу экендигин ($I = I_0$) (10.1.4-чыйме) ал эми убакыттын термелүүнүн мезгилине туура келген учурунда $t = T$ термелүү контуру баштыкы абалга кайра келерин ($q = q_0, I = 0$) оңой эле табабыз. Термелүү контурундагы заряддын жана токтун убакытка байланыштуу өзгөрүшү жана биз жогоруда караган учурдагы абалдары (10.1.6-графикте көрсөтүлгөн, жана токтун өзгөрүшү зарядыкынан фазасы боюнча $\pi/2$ арта жүрөт экен.

Контурдагы термелүү процессинде электр энергиясы, магнит талаасынын энергиясына, жана тескерисинче болорун көрдүк. Бул энергиялардын өзгөрүүсүнүн жана сакталуусунун закон ченемдүүлүгүнө көңүл буралы. Электр жана магнит талааларынын энергиясынын суммасы

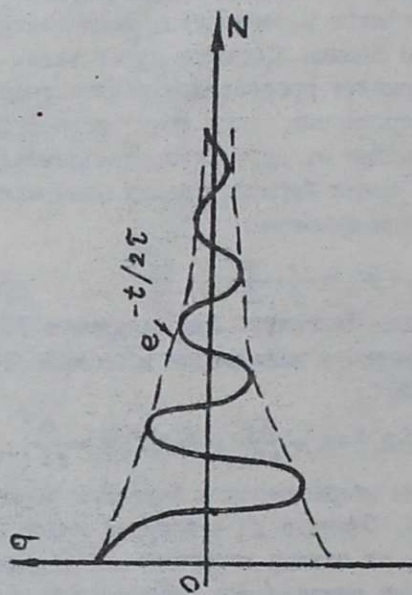
$$W = W_E + W_H = \frac{1}{C} \frac{q^2}{2} + L \frac{I^2}{2} \quad (10.1.15)$$

өзгөргөн бизге мурдатан белгилүү. Бул тендемеге 10.1.12 жана 10.1.14-тендемелердеги маанилерин коюп жана 10.1.7-барабардыкты өскө алып

$$W = \frac{q_0^2}{2C} \cos^2(\omega_0 t + \varphi_0) + \frac{q_0^2 L}{2CL} \sin^2(\omega_0 t + \varphi_0) = \frac{q_0^2}{2C} \quad (10.1.16)$$

өзгөргөн б.а. баштагы конденсаторго берилген берилген энергия сакталарын алабыз. Ошентип LC-контурда жалпы энергиянын суммасы өзгөрбөй, ал электр энергиясынан (конденсатордон), магнит талаасынын энергиясына (катулуктун айланасына), өтөрүнө жана тескерисинче магнит талаасынын энергиясы электр талаасыныкына өтөт экен. Энергиятын мындай өзгөрүү закону да гармоникалык бойдон калат. Убакытты кайсыл учурларында энергиянын кайсыл түрү кандай мааниге ээ болорун 10.1.6-графикти карап, оңой эле аныктоого болот.

2) Басандоочу термелүүлөр. Эгерде термелүүчү контурда каршылык болсо, анда контурдагы энергия бара-бара Джоуцдун



10.1.7 - 450/100

жылуулук энергиясына айланып, айлана чөйрөгө тарап жок болот.
Ар кандай өткөргүчтөн каршылыкка ээ болгондуктан,

контурга каршылыкты атайлап кош-
босок да, катушка кандайдыр бир каршылыкка ээ болот. Ошон-
дуктан, ар кандай термелүү контурунда каршылык болот жана
опонун негизигде контурда башталган термелүү бара бара ба-
саңдап, акырында өчөт. Мындай термелүүнүн басаңдашы 10.1.6-
теңдемеден көрсөтүүгө болот.

$$\frac{d^2q}{dt^2} + \frac{1}{\tau} \frac{dq}{dt} + \omega_0^2 q = 0 \quad (10.1.17)$$

Бул реалдуу $R \neq 0$ термелүү контурунун теңдемеси.

Мындан

$$q = q_0 e^{-t/2\tau} \cdot \cos(\omega t + \varphi_0) \quad (10.1.18)$$

Заряддын термелүү амплитудасы

$$A = q_0 e^{-t/2\tau} \quad (10.1.19)$$

Убакыт өскөн сайын экспонент бөрүчө төмөндөшү көрүнүп турат.
Бул амплитуданын канчалык тез өчүшү контурдун турактуу убак-
тысы $\tau = L/R$ же болбосо каршылыкка жараша болору көрүнүп
турат (10.1.7-чийме). Мындай басаңдоочу термелүүнүн жыштыгы

$$\omega = \sqrt{\frac{1}{LC} - \frac{R^2}{4L^2}} \quad (10.1.20)$$

да каршылыкка жараша болот.

Мындай басаңдоочу термелүүлөргө механикада термелүүлөрдү
караганда кеңири токтолгонбуз.

10.2. Электромагниттик толкундардын нурланышы жана таралышы, Герцтин тажрыйбалары

Биз мурдакы параграфта, ар кандай термелүүчү контурдун
каршылыгы болгондуктан, андагы пайда болгон термелүүгө бара
бара басаңдап өчөрүн көргөнбүз. Ошондуктан, контурдагы тер-
мелүүлөр дайыма болсун үчүн ага сырттан мезгили менен өнөр-
гия берип тууру талап кылынат. Мындай термелүүлөрдү аргасыздан
термелүү деп атап, механикада кеңири караганбыз. Азыр биз кон-
турдагы аргасыздан болгон термелүүнүн теңдемесин казуу менен
тана чектелели. Мында биз 10.1.17 теңдемени пайдаланалыбыз

$$\frac{d^2q}{dt^2} + \frac{1}{\tau} \frac{dq}{dt} + \omega_0^2 q = \epsilon_0 \cos(\Omega t) \quad (10.2.1)$$

Мында ϵ_0, Ω сырттан берилүүчү энергиянын амплитудасы жана

жыштыгы. Башка белгилерди биз жогоруда караганбыз.

Термелүү контурундагы аргасыздан болгон термелүүнү, биринчилерден болуп Г.Герц өзүнүн тажрыйбаларында иш жүзүнө ашырган (1886 ж).

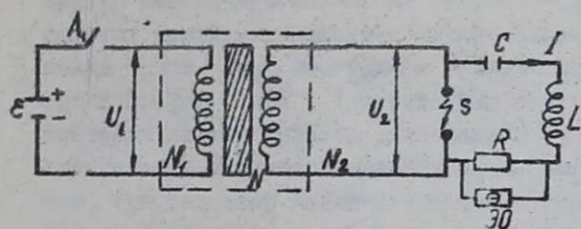
Ал конденсатордон (C), индуктивдүүлүктөн (L) жана каршылык-тан (R) турган термелүү контуруна (U) индуктор аркылуу белгилүү жыштыгы менен энергия берип турган (10.2.1-чийме). Бул индуктор бир өзөккө оролгон, оромдору N_1 жана N_2 болгон эки катушкадан турат. Экинчи катушканын оромдорунун саны N_2 биринчисиникинен N_1 өтө көп болгондуктан ($N_2 \gg N_1$), бул индуктор жогорулатуучу трансформатор болуп кызмат кылат. Трансформатордун киришине, чыңалуусу $U_1 = 10$ Вольт болгон өзгөрмөлүү ток булагын туташтырсак, анын чыгышында (экинчи оромдо): он миңдеген Вольт чыңалуу ($U_2 \approx 10^4$ В) индукцияланат. Трансформатордун чыгыш оромдорунун учтары термелүү контуруна туташтырылган. Контурду баштапкы абалында S абалык аралыгы ачык болгондуктан, термелүү жүрбөйт. Герц, M индукторунун киришине турактуу ток булагын туташтырып, A кошуп-үзгүчүнүн жардамы менен экинчи оромдордо жогорку чыңалышты ($U_2 = 10^6$ В) индукциялоого жетишкен. Кошуп-үзгүч электромагниттин жардамы менен $f = 10^3 - 10^6$ жыштыкта иштейт.

Бул термелүү контурунун иштөө негиздерине кеңүл буралы. Кошуп үзгүч кандайдыр бир t убактысында C ток булагын индукторго кошуп турсун (10.2.2^a-чийме)

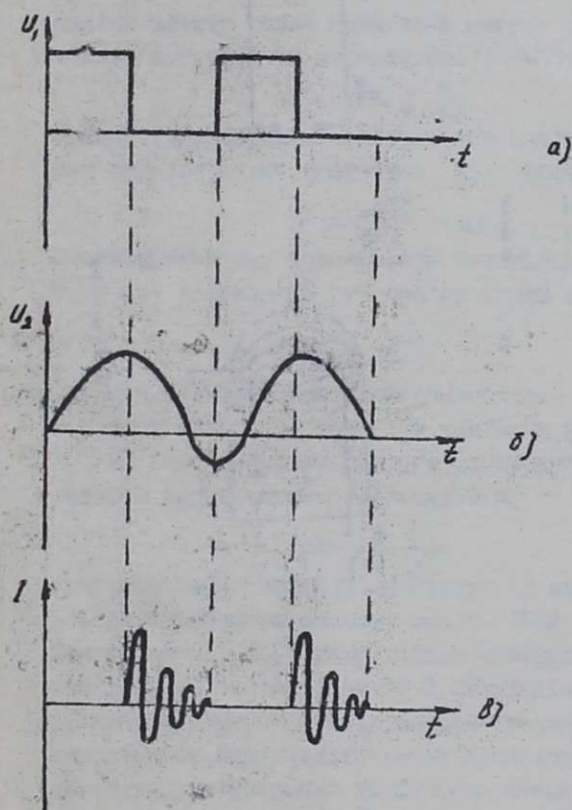
Анда индуктордун чыгышында индукциянын ЭКК пайда болуп, C конденсатору U_2 чыңалышына ылайык заряддалып, чыңалыш аралыкта разряд пайда болгон маанисине жеткенде ($U_2 = U_p$) аралыкта разряд жүрүп, термелүү контуру туюкталып, термелүү түрөт. Термелүү жыштыгы $\omega = 1/T = 1/2\pi\sqrt{LC}$ кошуп-үзгүчтүн жыштыгынан өтө чоң кылып тандалгандыктан ($\omega \gg f$), кошуп-үзгүч кайра кошулганга чейин контурунда бир топ термелүү болуп, акырында басаңдап өчөт. Кошуп-үзгүч экинчи жана андан кийин кошулганда бул процесс кайра кайталанылат.

Кошуп-үзгүчтүн кошулуу жана үзүлүү убактысы, индуктордун чыгышындагы максималдуу чыңалуусу жана S аралыгы, A кошуп-үзгүчтүн кошулуу убактысынын аягында разряд жүргөндөй кылып тандалат.

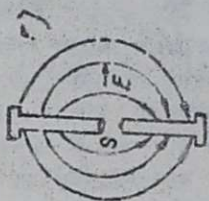
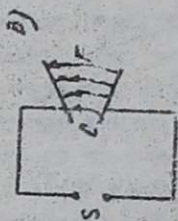
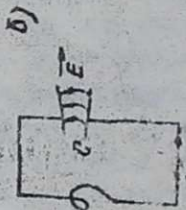
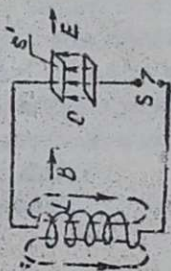
Сменити, Герцтин тажрыйбасында термелүү контуруна ин-



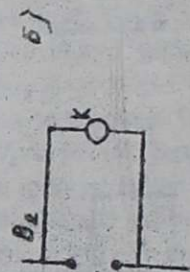
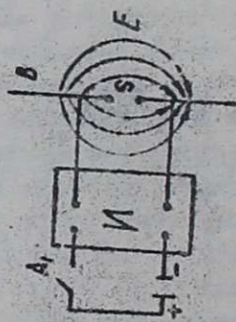
10.2.1-ЧУЌМЕ



10.2.2-ЧУЌМЕ



10.2.3 - yuqune



10.2.4 - yuqune

дуктор мезгил-мезгили менен энергия берип турат жана термелүүчү контурунда топ-топ болгон басандоочу термелүүлөр пайда болот. Аны, контурдагы R каршылыгындагы чыңалыштын опиллография (∂D) туташтырып көрө алабыз. Биз караган контурда электр талаасы конденсатордун ичинде, ал эми магнит талаасы катушкага илээшип айланасында пайда болгондуктан, бул талаалар мейкиндикке чыгып таралышбайт. Демек, мындай контурлар электромагниттик талаа үчүн жабык болушат экен. Электромагниттик толкундар мейкиндикке таралышы үчүн өчкү контур жасоо керек. Электромагниттик термелүүнүн энергиясы электр жана магнит талааларынын чыңалышынын квадратына түз пропорциялаш экендиги белгилүү, б.а. $W \sim E^2 H^2$ ал эми индукциялык электр талаасынын жана магнит талаасынын чыңалыштары токтуу өзгөрүшүнүн ылдамдыгына (dI/dt) түз пропорциялаш.

$$H \sim E \sim L \frac{dI}{dt}$$

Электр тогу заряддын өзгөрүшүнүн ылдамдыгына жө болбосо заряддын термелүүсүнүн жыштыгына түз пропорциялаш болгондуктан,

$$I = \frac{dq}{dt} \sim \omega$$

Электромагниттик термелүүнүн энергиясы термелүү жыштыгынын төртүнчү даражасына түз пропорциялаш экендигин алабыз

$$W \sim \omega^4$$

(10.2.2)

Демек, мейкиндиктеги электромагниттик термелүүнүн энергиясын көбөйтүү үчүн анын термелүү жыштыгын көбөйтүү зарыл экен.

Ал эми термелүү жыштыгы контурдун параметрлери L жана C тескери пропорциялаш болгондуктан,

$$\omega \sim \frac{1}{\sqrt{LC}}$$

(10.2.3)

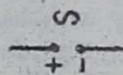
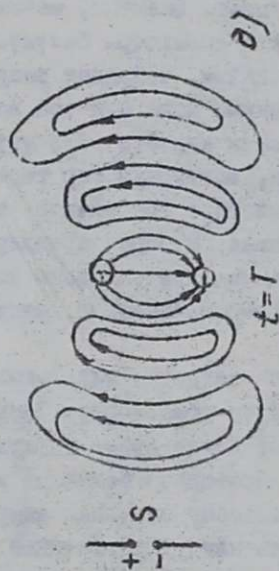
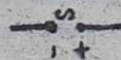
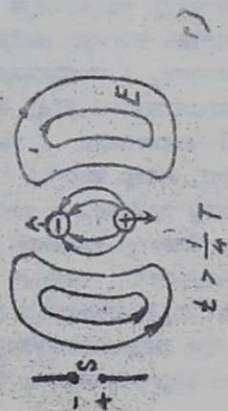
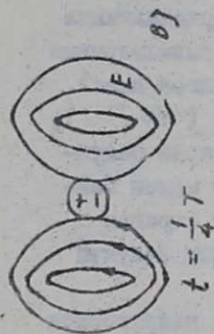
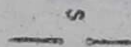
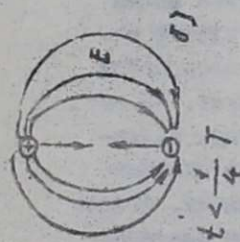
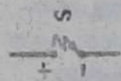
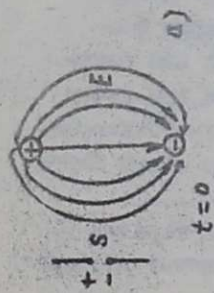
жыштыкты көбөйтүү үчүн контурдун L индуктивдүүлүгүн жана C сыйымдуулугун азайтуу зарыл (10.2.3-чиймеде кантип жабык контурдан (10.2.3^а-чийме) ачык контурду (10.2.3^г-чийме) өлүүнүн схемасы көрсөтүлгөн 10.2.3^а-чиймеде L индуктивдүүлүгүн жана

C сыйымдуулугу болгон конденсатордон турган жабык контур көрсөтүлгөн. Индуктивдүүлүгүн оромолорунун саны N , конденсатордун канаттарынын ар биринин аянты S' га барабар. Мында S разряд аралыгы. Индуктивдүүлүктү азайтыш үчүн N оромдордун ордуна бир ором калтырабыз ($N=1$), ал эми конденсатордун

сиймдуулугун азайтып үчүн ($C \sim \epsilon \epsilon_0 S/d$) эки жалпак беттин ордуна эки кесим өткөргүчтү алып, аларды керип коёбуз (10.2.3^б-чийме). Термелүү жыштыгын дагы чоңойтуу үчүн, индуктивдүүлүктөгү бир оромдун ордуна, өткөргүчтүн бир кесигин алабыз, ал эми конденсатор болуп кызмат кылган эки кесинди өткөргүчтү дагы чоңураак аралыкка киребиз (10.2.3^в-чийме). Анда, электр талаасы мейкиндикке көбүрөөк чыкканын көрөбүз. Ал эми электр талаасы мейкиндикке дагы көбүрөөк чыксын үчүн термелүү контурун 5 разряддык аралыгында бир окто кайланышкан эки кесим өткөргүч түрүндө алабыз (10.2.3^г-чиймеси). Мында электр талаасы ачык мейкиндикке чыгат. Мындай контурду Герц колдонгон жана Герцтин вибратору деп аталат.

Герц мындай вибраторду индукторго туташтырып (10.2.4^а-чийме) электромагниттик термелүүнү нурланткан. Бул электромагниттик термелүүнү кабыл алып үчүн резонанс кубулушун пайдаланган жана кабыл алуучу контур катары нурлантуучу B_1 вибратордой эле экинчи B_2 вибраторун алган. Анын жыштыгы ν_2 нурлантуучу вибратордун ν_1 жыштыгына дал келгенде ($\nu_1 = \nu_2$) кабыл алуучу контурга туташтырылган электр K коңгуроосу иштеген (10.2.4^б-чийме) Олентип, биз Г.Герцтин жасаган биринчи радио (передатчик) бергичин жана радиосалгычты (приемник) карадык.

Эми Герцтин вибраторунан электромагниттик толкундун нурлануу процесстерине көңүл буралы (10.2.5-чийме). Баштапкы учурда $t=0$ контур толук заряддалган ($q=q_0$). Оң жана терс заряддардын ортосунда (S аралыгында) электр талаасы E_0 пайда болот. Андан ары $t>0$ болгондо, S аралыгында разряд жүрүп, термелүү башталат (конденсатор разряддала баштайт), оң жана терс заряддар бири бирин кездей умтулуп жылышат. Бул заряддар электр талаасы менен байланышта болгондуктан, аларды электр талаасынын күч сызыктары ээрчигендиктен, күч сызыктардын алгачкы калыбы бузулат ($0 < t < \frac{1}{4} T$). Конденсатор толук разряддалып бүткөндө ($t = \frac{1}{4} T$) терс жана оң заряддар бири бирин толук жоюшкандыктан, күч сызыктардын аягы башт менен кошулуп турук күч сызыктарга айланышат. Убакыттын $t = \frac{1}{2} T$ учурунан конденсатордо алазаряддоо башталат, б.а. кайрадан оң жана терс заряддар бөлүнө баштайт, оң заряд төмөнкү терс заряд жогору кездей жыла

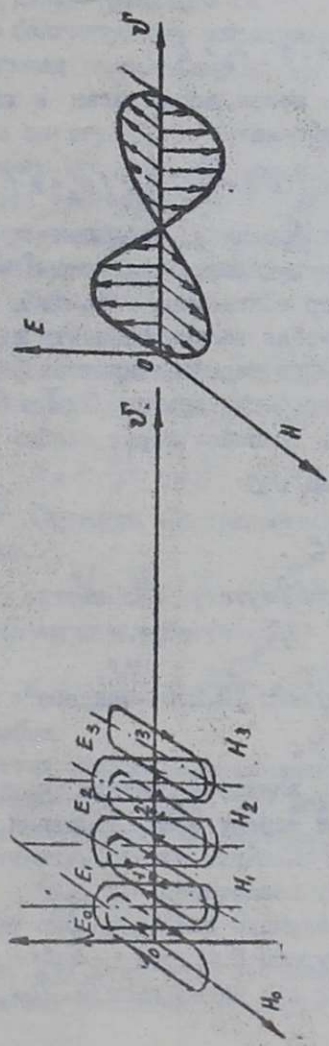


баштайт. Заряддар бөлүнгөндүктөн алардын ортосунда жаңыдан электр талаасы пайда болуп, мурдагы турук күч сызыктарды сүрүп чыгат. Ошентип, мейкиндикке эки топ электр талаасынын күч сызыктары бөлүнүп чыгышат. Контур толук алазаряддалган кийин, кайрадан разряддалат. Ал толук разряддалганда мейкиндикке дагы эки топ электр талаасынын күч сызыктарынын бөлүнгөнүн көрөбүз (бул учурлар чиймеде көрсөтүлгөн эмес). Ошентип, контурдун бир термелген учурун карасак ($t=T$), анда биз төрт топ электр талаасынын күч сызыктарын бөлүнгөнүн жана оң, терс заряддардын ортосундагы алар менен байланышкан электр талаасын көрөбүз. Андан ары биз караган процесстер кайталанып, электр талаасы вибратордон бөлүнүп турат.

Биз жогоруда индукциялык электр талаасынын вибратордон бөлүнгөнүн гана көрдүк. Электромагниттик толкун кантип пайда болот деген суроо туулду мүмкүн.

Вибратордон бөлүнгөн индукциялык E_1 электр талаасы, өзүн колдоочу заряддан ажырагандыктан убакыт өткөн сайын азая баштайт (10.2.8 чийме). Мындай өзгөрмөлүү электр талаасынын айланасында өзгөрмөлүү H_0 магнит талаасы пайда болору Максвеллдин үчүнчү теңдемесинен келип чыгат. Ал эми Максвеллдин биринчи теңдемесинен өзгөрмөлүү магнит талаасынын айланасында электр E_2 талаасы пайда болорун билебиз жана мындан ары мындай процесс улана берет. Ошентип, эгерде мейкиндиктин кандайдыр бир чекитинде вибратордон бөлүнгөн электр же магнит талаасы пайда болсо, анан айланасында магнит же электр талаалары пайда болуп, бул процесс уланып электромагниттик толкун пайда болот. 10.2.8-чиймеге тереңирөөк көңүл бөлсөк, 0 чекитинде \vec{E}_0 жана \vec{E}_1 векторлору карама каршы багытталгандыктан, алар бири бирин жокшуп 1-чекитке жылат. Ал эми 1-чекитинде \vec{E}_1 жана \vec{E}_2 векторлору карама каршы болгондуктан, алар жокшуп талаа 2-чекитке көчөт. Ушул эле сыяктуу электр талаасы 2-чекиттен үчүнчүгө ж.б. андан ары көчүп олтурат. Электр талаасы менен магнит талаасы тыгыз байланышта болгондуктан, магнит талаасы да электр талаасы менен бирге жылып электромагниттик толкунду пайда кылат.

Өз ара перпендикуляр тегиздикте бирдей фазада тарахуу багытына перпендикуляр термелишкен электр жана магнит вектор



10.2.6 - ҮҮҮМЕ

10.2.7 - ҮҮҮМЕ

лор электромагниттик толкунду түзүшөт (10.2.7-чийме).

Биз буга чейин электромагниттик толкунду пайда болушун жана таралышын карадык. Эми бул толкун кандай ылдамдык менен таралышына токтололу.

Электромагниттик индукция кубулушун табиягатын караганда \vec{J} ылдамдыгы менен жылуучу \vec{B} магнит талаасы байкоо чекитине салыштырмалуу \vec{E}^* индукциялык электр талаасын түзөрүн көргөнбүз

$$\vec{E}^* = -k' [\vec{v} \times \vec{B}] \quad (10.2.4)$$

Ошондой эле \vec{v} ылдамдыгы менен кыймылдаган e заряды r аралыгында түзгөн магнит талаа

$$\vec{H} = k'e [\vec{v} \times \frac{\vec{r}}{r^3}] = k' [\vec{v} \times \vec{E}] \quad (10.2.5)$$

барабар болот. Мында биз $\frac{e}{r^2}$ чекитүү заряддын r аралыкта түзгөн электр талаасынын чыңалышы $E = e/r^2$ жана $\vec{v} = \vec{v}_E$ заряд менен бирге жылган электр талаасынын ылдамдыгы экендигин эске алдык. Электромагниттик толкунда электр жана магнит талаалары мейкиндикте бирге таралышкандыктан $\vec{v}_E = \vec{v}_B = \vec{v}$ жана алар өз ара перпендикуляр болгондуктан $\vec{E} \perp \vec{B} \perp \vec{v}$ 10.2.4 жана 4.2.5-формулалардан төмөндөгүлөрдү алабыз

$$E^* = E = k' v B \quad (10.2.6a)$$

$$H = k' v E \quad (10.2.7)$$

Максвелл бел теңдемелерди Гауссун абсолюттук системасында вакуум үчүн караган: $k' = 1/c$; $k = 1$; $\mu_0 = 1$; $\mu = 1$; $\epsilon = 1$; $c = 3 \cdot 10^{10}$ м/с

Анда $B = H$ (10.2.7) формуланы 10.2.6 -теңдемеге коюп

$$v = c \quad (10.2.8)$$

алабыз. Башкача айтканда, электромагниттик толкун вакуумда жарыктын ылдамдыгы менен тарайт экен. Максвелл мындан башка дагы бир ачылыш жасаган-жарык электромагниттик толкундун көз көргөн диапозону өсөптөлөт.

Эми электромагниттик толкундун кандайдыр бир чөйрөдө таралуу ылдамдыгына көңүл буралы б.а. $\mu \neq 1$; $\epsilon \neq 1$

Ал үчүн 4.2.7 -теңдемени сол жагын дагы $\vec{E}_{\text{ин}}$ $\vec{D}_{\text{га}}$ алмаштырабыз.

анда

$$E = \kappa' \nabla V = \frac{M}{\epsilon} \nabla V \quad (10.2.9)$$

$$H = \kappa' \nabla D = \frac{\epsilon}{\mu} \nabla E \quad (10.2.10)$$

Бул эки теңдемеден

$$\nabla^2 = \frac{\epsilon}{\sqrt{\mu \epsilon}} \nabla^2 = \frac{\epsilon}{\mu} \quad (10.2.11)$$

экендигин алабыз. Мында $\mu = \sqrt{\mu \epsilon}$ чөйрөнүн сынуу көрсөткүчү деп аталат. Диэлектриктерде $\epsilon > 1$, пара жана ферромагниттиктерде $\mu > 0$ болгондуктан, электромагниттик толкун жарыктын ылдамдыгынан μ эсе акырын тарайт. Ал эми диамагниттиктерде $\epsilon = 1$, $\mu < 1$, $\mu < 1$

болгондуктан электромагниттик толкун жарыктын вакуумдагы c ылдамдыгынан чоң ылдамдык менен тарайт экен.

Ылдамдыктын тунтуугу (10.2.11)-формуласы 10.2.9 же

10.2.10-формулага кошп электр жана магнит талааларынын чөйрөнүн мүнөздөмөлөрү ϵ жана μ аркылуу байланышын алабыз,

$$\sqrt{\epsilon} E = \sqrt{\mu} H$$

$$\epsilon E^2 = \mu H^2$$

$$(10.2.12)$$

4.2.12-формула электромагниттик энергияны электр же магнит талаасынын тыңалыштары аркылуу тунтууга мүмкүндүк берет. Үчүндүгүндө

$$W_H = \frac{\kappa'}{\mu} \frac{\mu \mu_0}{8\pi} H^2, \quad W_E = \frac{\kappa'}{\epsilon} \frac{\epsilon \epsilon_0}{8\pi} E^2$$

болгондуктан, Гауссун системасында электромагниттик толкундун энергиясы

$$W = W_H + W_E = \frac{\epsilon E^2}{8\pi} + \frac{\mu H^2}{8\pi}$$

жана 4.2.10-формуласы өскө алып,

$$W = \frac{\mu H^2}{8\pi} + \frac{\epsilon E^2}{8\pi} = \frac{\mu H^2}{4\pi} = \frac{\epsilon E^2}{4\pi} \quad (10.2.13)$$

экендигин алабыз

Электромагниттик толкун $\vec{V} = \frac{c}{\sqrt{\epsilon \mu}}$ ылдамдыгы менен тыгыздыгы W болгон энергияны алып жүрөт. Бул эки чоңдуктун көбөйтүндүсү

$\vec{S} = W \vec{V}$ Умов Поинтингдин вектору деп аталат, же болбосо ал вектор

$$\vec{S} = \frac{c}{4\pi} [\vec{E} \times \vec{H}]$$

$$(10.2.14)$$

барabar болот. Бул вектордун сан мааниси бирдик убакыттын ичинде энергиянын багытына перпендикуляр турган бирдик

тегиздик аркылуу өткөн энергиянын агышына барабар болот.

10.3. Электромагниттик толкундун басымы

Электромагниттик толкун өзүнүн жолундагы тоскоолдуктарга басымы жасайт. Бул басымдын себеби эмнеде?

Электромагниттик толкун жалпак тегиздикке перпендикуляр түшсүн дейли (10.3.1-чийме). Бул толкундун электр талаасы нерсенин бетинде токту пайда кылат ($\vec{j} = \sigma \vec{E}$), бул ток толкундун магнит талаасына перпендикуляр болгондуктан, ампердин законун негизинде, нерсеге толкундун багыты боюнча F күчү таасир этет. Бирдик аянтка таасир эткен күч басымга барабар ($p = F/S$) экендигин эске салалы. Электромагниттик толкундун басымынын анын орточо энергиясынын тыгыздыгы менен байланышын Максвелл тапкан

$$p = (1+k)W \quad (10.3.1)$$

Мында k -нерсенин толкунду чагылдыруу коэффициентини эгерде нерсе толкунду толук чагылдырса $k=1$

$$p = 2\bar{W} \quad (10.3.2)$$

Ал эми түшкөн толкунду нерсе толук кутса ($k=0$), анда толкундун басымы эки эсе аз болот, б.а.

$$p = \bar{W} \quad (10.3.3)$$

Эарик толкунунун заттарга болгон басымын тажрыйба жүзүндө орус окумуштуусу И.И.Лебедев ишке ашырган.

10.4. Электромагниттик толкундун шкаласы

Термелүү контурунда ошондой эле Герцтин вибраторунда заряддардын термелиши электромагниттик толкунду пайда кыларын көрдүк. Чыныгында контурдагы заряд $q = q_0 \cos \omega t$ ал эми ток $I = \omega q_0 \sin \omega t \sim \omega$

өзгөрсө, $I \sim \omega \sim \nu$ экендигин эске алсак, $I \sim \omega \sim \nu$ контурдагы ток заряддын ылдамдыгына түз пропорциялаш. Ал эми контурдагы пайда болгон электр жана магнит талаасы токту өзгөрүшүнүн ылдамдыгына (dI/dt) пропорциялаш экендигин мурда караганбыз

$$E \sim H \sim \lambda \frac{dI}{dt} \sim \frac{dV}{dt} = a \sim \omega e \quad (10.4.1)$$

Бул тусунтамадан, электромагниттик толкунду ылдамдатылган кыймылдагы заряддар нурлантагы жана анын жыштыгы заряддын ылдамдануусуна жараша болору ($\omega \sim a$) келип чыгат. Бул кыйынтык Максвеллдин теориясынан келип чыккан негизги тыянактын бири болуп эсептелет.

Электромагниттик термелүүлөр жана толкундардын жыштыгы өтө кеңири диапазондо, нөндөн өтө чоң жыштыктары 10^{-20} Гц ке чейин өзгөрүшөт. Бул толкундардын нурлантуучу булактарына жана касиеттерин жараша диапазондорго бөлүнүшөт (төмөнкү таблицаны кара, $\lambda = c/\nu$ болгон байланышты эске ал).

Таблица 10.4.1

толкундун аты	толкундун узундугу (м)	толкундун жыштыгы (Гц)	Толкундун булагы
Төмөнкү жыштагы толкундар	$\lambda > 10^4$	$\nu < 3 \cdot 10^4$	өзгөрмөлүү токтуу генераторлору
Радиотолкундары	$10^4 - 0,1$	$3 \cdot 10^4 - 3 \cdot 10^{10}$	Термелүү контурлары, Герцтин вибратору
Ультрарадио толкундары	$0,1 - 10^{-4}$	$3 \cdot 10^{10} - 3 \cdot 10^{12}$	Магнетрон, клистрон ж.б.
Инфракызыл нурлар	$10^{-4} - 7,7 \cdot 10^{-7}$	$3 \cdot 10^{12} - 4 \cdot 10^{14}$	Исытылган заттар (шамдар) дүүлүккөн атомдор, молекулалар
Жарык нурлары	$7,7 \cdot 10^{-7} - 4 \cdot 10^{-7}$	$4 \cdot 10^{14} - 7,5 \cdot 10^{14}$	
ультрафиолет нурлары	$4 \cdot 10^{-7} - 4 \cdot 10^{-8}$	$7,5 \cdot 10^{14} - 3 \cdot 10^{16}$	"
рентген нурлары	$10^{-8} - 10^{-11}$	$3 \cdot 10^{16} - 3 \cdot 10^{19}$	рентген трубкалары
Гамма нурлары	$< 10^{-11}$	$\nu > 3 \cdot 10^{19}$	радиоактивдүү заттар (атомдордун ядролору)

Глава II. ЗАТТАРДЫҢ МАГНИТ ТАЛААСЫ

II.1. Магниттик вектору \vec{P}_m жана анын \vec{H} жана \vec{B} векторлору менен байланышы

Вакуумда гана түрдүү чөйрөлөрдө токтуу өткөргүчтүн түзгөн магнит талаасы ар кандай маанилерге ээ болуп, тиешелүү \vec{H} жана \vec{B} чоңдуктары менен мүнөздөлөрүн мурда караганбыз (§ 7.1). Башкача айтканда, токтуу өткөргүчтүн магнит талаасы чөйрөнү магниттеп, кошумча магнит талаасы пайда кылат. Эгерде биз токтуу вакуумдагы магнит талаасын \vec{H} вектору менен мүнөздөсөк, ал эми магниттелген чөйрөнүн түзгөн магнит талаасын \vec{H}' вектору менен белгилесек, анда жалпы магнит талаасы \vec{B} бул эки вектордун суммасына барабар болот.

$$\vec{B} = \mu_0 (\vec{H} + \vec{H}') \quad (II.1.1)$$

\vec{H}' кантип пайда болоруна кеңүл буралы. Ар кандай заттар атомдордон турарын жана атом ядродонун анын айланасында айланган электрондордон турган система экендигин эске салалы (II.1.1-чийме) ядронун айланасында электрондор өтө жогорку жыштыкта (секундасына 10^5) айланышкандыктан, бул электрондун m массасын жана e зарядын орбита боюнча бир калыпта жайгарышылган шакек катары б.а. тегерек ток катары кароого болот. Тегерек токтуу магнит талаасы магнит ийини вектору \vec{P}_m менен мүнөздөлөбүз (§ 7.4) (II.1.2-чийме).

$$\vec{P}_m = \kappa' IS \vec{n} \quad (II.1.2)$$

Бул тегерек токтуу огундагы магнит талаасы ушул магнит ийинине түз пропорциялаш экендигин ($\vec{H} \sim \vec{P}_m$) көргөнбүз.

Атомдогу айланган электрон m массасына жана e зарядына ээ болгондуктан, анын орбита боюнча кыймылы орбиталык механикалык \vec{L}_0 жана магниттик \vec{P}_0 ийиндер менен мүнөздөйбүз.

Орбиталык механикалык ийин

$$\vec{L}_0 = m \vec{v} \vec{r} \quad (II.1.3)$$

электрондун $m \vec{v}$ импульсунун орбитанын r радиусуна көбөйткөнгө барабар. Ал эми орбиталык магнит ийини

$$\vec{P}_0 = \kappa' I_0 S \vec{n} \quad (II.1.4)$$

Электрондун e зарядынын кыймылы түзгөн $L_0 = e/T$ токтуун орбита чектеген $S = \pi r^2$ аянтка барабар (\vec{n} бирдик нормаль T -электрондун айлануу мезгили),

$$I_0 = \frac{e}{T} = \frac{e v}{2\pi r} \quad \text{болгондуктан,}$$

$$\vec{p}_0 = \kappa' \frac{e v r}{2} \vec{n} \quad (\text{II.1.5})$$

векторунун \vec{L}_0 векторуна болгон катышы турактуу чондук экендигин көрөбүз

$$\frac{p_0}{L_0} = \kappa' \frac{e}{2m} = \gamma \quad (\text{II.1.6})$$

Бул катыш гирромагниттик чондук деп аталат жана мындан

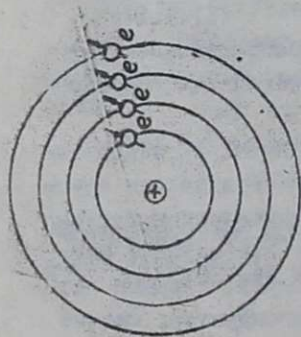
$$\vec{p}_0 = \kappa' \frac{e}{2m} \vec{L} \quad (\text{II.1.7})$$

атомдун орбиталдык магнит ийини орбиталдык механикалык ийинге түз пропорциялаш экендигин көрөбүз, б.а. эгер атом орбиталдык механикалык ийинге ээ болсо, ал сөзсүз орбиталдык магнит ийинине ээ болот. Мындай байланыш электрондун массага жана зарядка ээ экендигинен келип чыгат. Демек, атом магнит ийинине ээ болгондуктан, анын айланасында \vec{p}_0 векторуна пропорциялаш магнит талаасы пайда болот. Атомдогу электрондун орбита боюнча айлануу орбиталдык ийиндерди түзөт тургандыгын көрдүк. Кийинчерээк, кыймылсыз электрондун өзүмдүк (спиндик) механикалык L_s жана өзүмдүк магнит \vec{p}_s ийиндерге ээ экендигин аныкталган (II.1.3-чийме) жана алардын ортосундагы байланыш II.1.7-туунтма сыяктуу эле катышылат

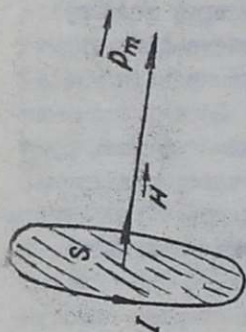
$$\vec{p}_s = \kappa' \frac{e}{m} \vec{L}_s \quad (\text{II.1.8})$$

б.а. эң кичинекей магнит болуп электрон өсөптөлөт экен. Бул өзүмдүк ийиндер классикалык физиканын (максвеллдин теориясынан) негизинде түшүндүрүлбөйт.

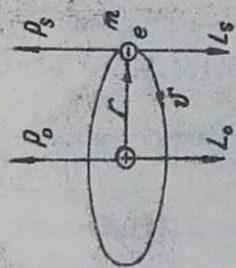
Алардын физикалык табияты, кийинчерээк кванттык физикада түшүндүрүлөт. Булардын башка, атомдо анын оң заряддалган ядросу бар. Ядро протон жана нейтрон деген бөлүкчөлөрдөн турары белгилүү. Бул бөлүкчөлөр, электрон сыяктуу эле өзүмдүк магнит жана механикалык ийиндерге ээ болот. Бирок, алардын массасы электронго караганда 2000 эсе оор болгондуктан, магнит ийиндери 2000 эсеге аз болушат (II.1.8-формулань кара).



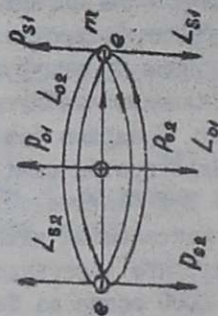
11.1.1-құмме



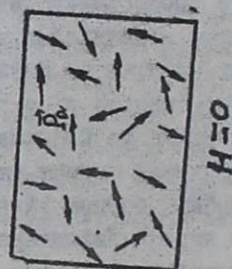
11.1.2-құмме



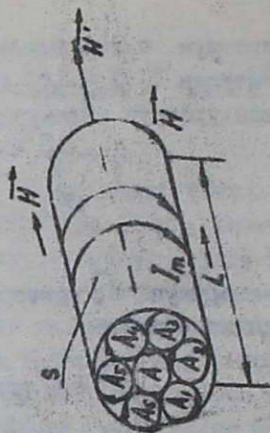
11.1.3-құмме



11.1.4-құмме



11.1.5-құмме



11.1.6-құмме

Ошентип, ядронун магнит, ийинин, электронго салыштырмалуу, эсепке албай койсок болот. Биз буга чейин бир электрондуу гана атомду карадык. Ал эми жалпы жөнүнөн, ар бир атомдо анын Менделеев таблицасындагы өзгөчө катар Z номерине барабар электрон болот. Эгерде атомдо Z электрон болсо, анда анын магнит ийини

$$\vec{P}_0 = \sum_{i=1}^Z \vec{P}_{0i} + \sum_{i=1}^Z \vec{P}_{Si} \quad (\text{II.I.9})$$

орбиталдык \vec{P}_0 жана өзүмдүк \vec{P}_S магнит ийиндеринин вектордук суммаларына барабар болушат (Мисалы, II.I.4-чиймеде эки электрондуу атом көрсөтүлгөн. Ар кандай заттар атомдордон турушат, алардын магнит ийиндери \vec{P}_0 баш аламан багытталышат. Ошондуктан, сырткы магнит талаасы болбосо, заттагы магнит ийиндеринин суммасы нөлгө барабар болуп, магнит талаасын түзүшбөйт (II.I.5))

Эгерде затты магнит талаасына жайлаштырсак, анын атомдорунун магнит ийиндери, магнит жебеси сыяктуу магнит талаасынын күч сызыктары боюнча багытталышып, алардын вектордук суммасы заттын магнит ийинин түзүшөт. Заттын бирдик көлөмүнө туура келген заттын магнит ийини анын магниттелиш вектору \vec{P}_m деп алат, б.а.

$$\vec{P}_m = \frac{\sum_{i=1}^N P_{0i}}{V} \quad (\text{II.I.10})$$

Мында P_{0i} бир атомдун магнит ийини, N - атомдордун саны, V - заттын өзгөчө көлөмү. Магниттелиш вектору заттын магниттелген абалын мүнөздөөчү чоңдук болуп эсептелет. Заттардын ар бир чөйрөсүндөгү магниттелиш вектору белгилүү болсо, алар түзгөн магнит талаасын аныктоого болот.

Бир тектүү магнит талаасына жайланышкан узундугу l туурасынан кесилиш аянты S болгон цилиндр түрүндөгү заттын (өзөктүн) магниттелишин карайлы (II.I.6-чийме). Атомдордун магнит ийини магнит H талаасынын күч сызыктары бойлоп багытталышкандыктан, N атомдордогу орбиталдык (микро) токтор бир багытта агышат (чиймеде A) кичинекей айланалар).

Цилиндрдин баш жагындагы микротокторго көңүл бурсак, коңшу атомдорду жанаша жайланышкан жактарындагы токтор карама-каршы багытта болгондуктан, бирин-бири жоктуп заттын ичиндеги токтордун суммасы нөлгө барабар болот. Ал эми заттын өз

сырткы катмарындагы атомдордун сырт жагындагы микротоктордун түзүүчүлөрү жолушбай кошулуп, цилиндрдин бетин айланган I_m макроскопиялык токун түзөт. Бул S кесилиш аянтын айланган токтун түзгөн магнит ийини

$$\vec{P}_m = \sum_{i=1}^N \vec{P}_{a_i} = k' I_m S \vec{n} \quad (\text{II.I.II})$$

барabar болот. Ал эми тиешелүү магниттелиш вектор

$$\vec{P}_m = \frac{P_m}{V} = k' \frac{I_m S}{S l} = k' \frac{I_m}{l} = k' I_m \quad (\text{II.I.I2})$$

аныкталат, б.а. магнит талаасындагы өзөктү бирдик узундугундагы токтуу бир оромго туура келген соленоид катары кароого болот экен. Мындай токтун түзгөн магнит талаасын соленоиддин формуласын колдонуп табууга болот

$$\vec{H}' = k' 4\pi I_m = \frac{k'}{k} 4\pi \vec{P}_m \quad (\text{II.I.I3})$$

Заттыгы микротоктордун түзгөн магнит талаасы \vec{H}' анын магниттелиш векторуна \vec{P} пропорциялаш болот. Ошондуктан, жалпы магнит талаасы \vec{H} жана \vec{H}' векторлорунун суммасына барabar, б.а.

$$\vec{B} = \mu_0 (\vec{H} + \vec{H}') \quad (\text{II.I.I4})$$

Изотроптуу магнетиктер үчүн, магниттелиш вектору сырткы \vec{H} магнит талаасына пропорциялаш болот

$$\vec{P} = \alpha \vec{H} \quad (\text{II.I.I5})$$

пропорция коэффициентин α магнит шытуулугу деп аталат. Эми II.I.I5 жана II.I.I3-формуларды II.I.I4-тендемеге коюп, жашыланган магнит талаасы

$$\vec{B} = \mu_0 (1 + \frac{k'}{k} 4\pi \alpha) \vec{H}' = \mu \mu_0 \vec{H}' \quad (\text{II.I.I6})$$

экендигин табабыз. Мында

$$\mu = 1 + \frac{k'}{k} 4\pi \alpha \quad (\text{II.I.I6})$$

заттын магнит өтүмдүүлүгү деп аталат. СИ системасында, $k' = 1$, $k = \frac{1}{4\pi}$ болгондуктан, $\mu = 1 + 4\pi \alpha$ барabar болот.

Ошентип, токтун сейрадегү магнит талаасын өлчөгөндө, түздөн түз өлчөнүүчү чоңдук магнит индукциясы \vec{B} болуп эсептелет, жана ал заттардагы микро жана өткөргүчтөгү макротоктордун түзгөн талаалардын суммасына барabar болот.

II.2. Заттардын магниттик касиеттери.

Диа жана парамагнетизм

Магнит өтүздүүлүк μ заттардын магниттик касиеттерин мүнөздөйт. Магнит өтүздүүлүгү $\mu < 1$ болгон заттар диамагнетиктер, болгон заттар парамагнетиктер деп аталышат. Мындай заттар изотроптуу болушат. Магнит талаасын өтө сезгич ($\mu \gg 1$) заттар өзгөчө бөлүнүп ферромагнетиктер деп аталышат.

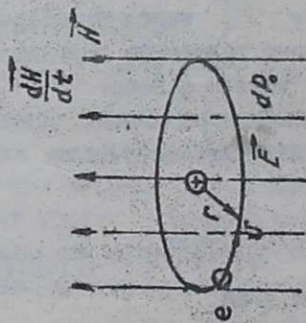
I. Адегенде диамагнетизмди карайлы. Диамагнетиктер үчүн магниттик шүктүүлүк $\chi < 0$ тескери мааниге ээ. Бул заттар үчүн, II.1.15-формуланын негизинде магниттелиш вектору \vec{P} сырткы магнит талаасынын тыңалышына \vec{H} карама-каршы багытталган, б.а. жалпы магнит талаасы, магнит индукциясынын вектору \vec{B} анын тыңалып \vec{H} векторунан кичине ($\vec{B} < \vec{H}$) болот. Ошондуктан, мындай диамагнеттик заттарды (мисалы, Висмут таякчасы) магнит талаасына жайлаштырсак, андан алар талаадан түртүлүп чыгарылат.

Диамагнеттик заттардын атомдорунда жуп сандагы электрондор болот. Атомдогу жана жайланышкан электрондор үчүн алардын орбиталдык \vec{P}_0 жана өзүмдүк \vec{P}_s магниттик ийиндери карама каршы багытталгандай болуп кыймылдоо ыңгайлуу (II.1.4-чийме) (ар кандай система энергиясын минималдуу кылууга умтулат - өң кичине энергиялуу принциби). Ошондуктан, мындай атомдордун жалпы магнит ийини $\vec{P}_0 = 0$ нөлгө барабар болгондуктан, диамагнеттик заттын жалпы магнит ийини $\vec{P}_m = 0$ дагы нөлгө барабар болуп сырткы магнит талаасы болбогондо анын магниттелиш вектору \vec{P}_m нөлгө барабар болот. Бирок, диамагнеттик затты магнит талаасына киргизсек, анын атомдорун кескен магнит агыны кескин өзгөрөт (dH/dt) > 0 . Электромагниттик индукция законунун негизинде, мындай өзгөрмөлүү магнит агынын айланасында индукциялык электр талаасы пайда болот (II.2.1-чийме)

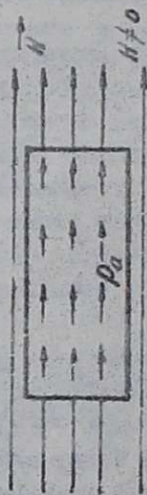
$$\oint_L \vec{E}_e d\vec{l} = -k' \frac{d\varphi}{dt} = -k' \frac{d}{dt} (NS) \quad (II.2.1)$$

Атомдун орбитасындагы электрон үчүн

$$\oint_L \vec{E}_e d\vec{l} = E \cdot 2\pi r; \quad S = \pi r^2$$



11.2.1 - ЧУМНЕ



11.2.2 - ЧУМНЕ

өкендигин эске алсак II.2.1-формуладан атомдогу индукциялык электр талаасы магнит талаасынын өзгөрүшүнүн ылдамдыгына

$$\vec{E} = -\frac{r}{2} \frac{dH}{dt} \quad (\text{II.2.2})$$

түз пропорциялап жана анын багыты Ленцтин эрежеси боюнча аныкталат. Бул индукциялык электр талаасы, орбитадагы электронго кошумча $\vec{f} = e\vec{E} = m\vec{a}$ күч менен аракет жасап анын орбиталык ылдамдыгын өзгөртөт ($a = dv/dt$). Электронго индукциялык электр талаасын бойлогон айлана боюнча таасир эткен күчтүн ийини $M = eEr$ барабар. Бул күчтүн ийини, нерсенин айлана боюнча болгон кыймылынын динамикасынын негизги закону боюнча

$$M = eEr = \frac{dL_0}{dt} \quad (\text{II.2.3})$$

орбиталдык механикалык L_0 ийиндин өзгөрүшүнө алып келет. Акыркы формулага II.2.2-туунтманы кошп, орбиталдык механикалык ийиндин өзгөрүшүн табабыз

$$d\vec{L}_0 = -\frac{r^2}{2} e dH \quad (\text{II.2.4})$$

Ында магнит талаасынын өзгөрүшү dH диамагнитте магнит талаасы бар ($H_2 = H$) жана жок кездеги ($H_1 = 0$) айырмасына барабар

$$dH = \vec{H}_2 - \vec{H}_1 = \vec{H} \quad (\text{II.2.5})$$

Акыркы туунтманы эске алсак,

$$d\vec{L}_0 = -\frac{r^2 e}{2} \vec{H} \quad (\text{II.2.6})$$

болот.

Электрондун орбиталдык механикалык ийинге ээ болушу, анын орбиталдык магнит ийинине ээ кылгандыктан, II.1.7 жана II.2.6. формулалардан, пайда болгон кошумча орбиталык магнит ийининин туунтмасын алабыз

$$\vec{P}_0 = -\frac{r^2 e}{4m} \vec{H} \quad (\text{II.2.7})$$

жана бул кошумча магнит ийининин $d\vec{P}_0$ сырткы магнит талаасынын багытыча карама каршы багытталганын көрөбүз.

Тышкы магнит талаасынын таасири астында пайда болгон атомдун магнит ийини

$$\vec{P}_a = \sum_{i=1}^Z \mu \vec{P}_i$$

ар бир электрон түзгөн кошумча ийиндердин \vec{p}_i вектордук суммасына барабар. Ал эми диамагниттеги пайда болгон магниттелиш вектору

$$\vec{P} \sim \sum_{i=1}^N \vec{p}_{ei} \sim -N$$

сырткы магнит талаасына карама-каршы багытталган болот. Бул эффект диамагниттик деп аталат.

Ошентип, диамагниттик эффект сырткы магнит талаанын атомдогу электрондорго тийгизген аракети менен байланыштуу жана бул эффект, магнит талаасына ар кандай заттарды киргизгенде пайда болот.

2. Парамагнитизм. Парамагниттик заттар үчүн магниттик шыктуулук ($\chi > 0$) оң мааниге ээ, б.а. магниттелиш векторунун сырткы магнит талаасы бирдей багытталышат. Ошондуктан, магнит индукциясы \vec{B} чыңалып векторунан чоң болуп, мындай заттар жалпы магнит талаасын күчөтөт экен.

Парамагниттик заттардын атомдорунда так сандагы электрондор болушат. Данага жайланышкан электрондордун орбиталдык \vec{p}_o жана өзүмдүк \vec{p}_s магнит ийиндери карама-каршы багытталып бирин-бири жоктоп, жуп сандагы электрондордун жалпы магнит ийини нөлгө барабар болгондуктан, атомдун магнит ийини акыркы так электрондун орбиталдык \vec{p}_o жана өзүмдүк \vec{p}_s магнит ийиндеринин суммасына барабар болот (II.1.3-чийме)

$$\vec{p}_a = \vec{p}_o + \vec{p}_s$$

Сырткы магнит талаасы жок болгон кезде, парамагниттик заттын атомдорунун магнит ийиндери бат аламан жайланышкандыктан, (II.1.4-чийме) заттын толук магнит ийини нөлгө барабар болот магниттелбейт.

Мындай заттарды магнит талаасына киргизгенде атомдордун магнит ийиндери тадаанын багыттарын бойлоп жайланышып, магниттелишет, (II.2.2-чийме).

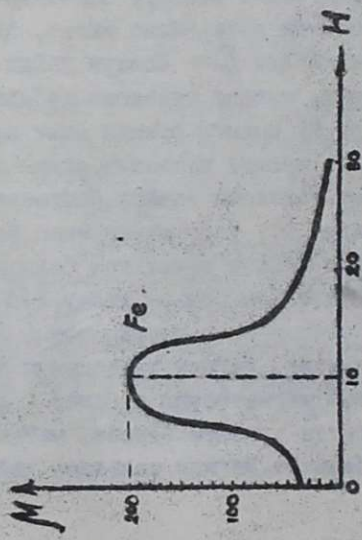
Ошентип, парамагниттик заттын магниттелиш вектору \vec{P} сырткы H магнит талаасы менен бир багытта болуп, жалпы магнит талаасы \vec{B} күчөйт ($B > H$).

II.3. Ферромагнитизм

Магнит талаасын өте сезгич заттар ферромагнетиктерди түзүөт, химиялык тогуз Менделеевдин таблицасындагы 26-28 жана 64-69 катардагы элементтердин кристаллдары ферромагниттик касиетке ээ: темир ($26 Fe$), кобальт ($27 Co$), Никель ($28 Ni$), Гадолиний ($64 Gd$), Тербий ($65 Tb$), Диспорзий ($66 Dy$), Гольмий ($67 Ho$), Эрбий ($68 Er$) жана тулий ($69 Tm$). Ферромагниттин ферромагнит менен ошондой эле ферромагниттин ферромагнит эмес болгон заттардын кошулмалары да ферромагниттик касиетке ээ болушат.

Ферромагнетиктердин негизги касиеттери: 1. Магнит өтүүдүүлүгү μ сырткы магнит H талаасынын таасири астында өзгөрөт (II.3.1-чийме). Адегенде, магнит талаасы азыраак кезде μ кескин өсүп, магнит талаасы өскөн сайын чоңоюп олтуруп максимумга жетет (темир үчүн $H \approx 3000 A/m$). Магнит талаасынын андан ары жогорулашы магнит өткөрүмдүүлүгүнүн азайышына алып келет. Магнит талаасы өтө чоңойгондо μ бирге жакындайт. Ошондуктан, ферромагнетиктерди өтө чоң магнит талааларында электромагниттин өзөгү катары пайдалануу пайдасыз экен.

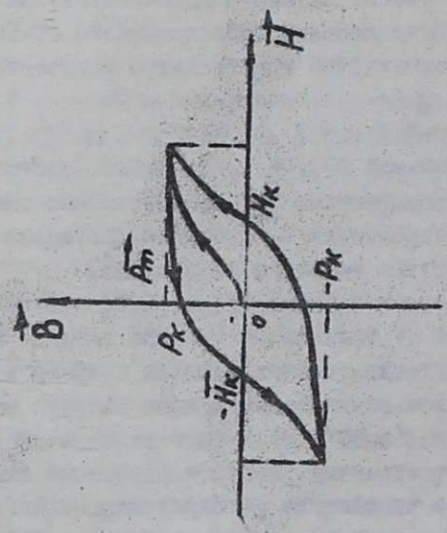
2. Ферромагниттик заттардын магниттееген абалы аларды магниттөөчү талаа жок болсо да көпкө чейин сактап калат. Мунун натыйжасында магниттик гистерезис пайда болот (II.3.2-чийме). Ферромагниттерде магниттелиш вектору \vec{P}_m өзгөрүшү магнит талаасынын H чыңалышынан арта калып калат. Адегенде ферромагнетик магниттелбеген абалда $\vec{P}_m = 0$ болсун дейли. Аны магнит талаасына жайланыштырып, магнит талаасын кеңейтсе баштасак, магниттелиш вектору \vec{P}_m сызыгы боюнча өсөт да A чекитинен баштап каныгат, б.а. магнит талаасын андан ары чоңойтсо \vec{P}_m өзгөрбөйт. Магнит талаасын азайта баштасак, магниттелиш \vec{P}_m вектору мурдакы AO жолу менен эмес башка A_1P_1 сызыгы менен азаят. Сырткы магнит талаа жок болгондо ($H_0 = 0$) ферромагнетик магниттелген бойдон калат ($\vec{P}_m = \vec{P}_K$). Бул магниттелишти жок кылып үчүн магнит талаасынын ($H < 0$) багытын өзгөртүп чоңойто баштасак, магнит талаасынын кандайдыр бир маанасынде ($H = H_K$) магниттелиш жоголот ($\vec{P}_m = 0$). Магнит талаасын ошол эле багытта чоңойто берсек, магниттелиш \vec{P}_m вектору дагы каныга баштайт. Магнит талаасын кайрадан



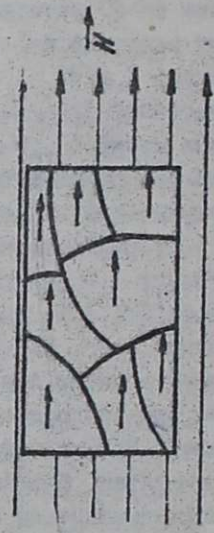
11.3.1 - қуыме



11.3.4 - қуыме



11.3.2 - қуыме



11.3.5 - қуыме

азайта баштап нөлгө жеткенде, ферромагнетик магниттелген абалда калат ($\overline{P}_m = -\overline{P}_k$). Бул магниттелишти жок кылуу үчүн, магнит талаасынын багытын өзгөртүп ($H > 0$) чоңойто баштасак, анын чоңдугу $H = H_k$ болгондо магниттелиш жоголот ($\overline{P}_m = 0$). Магнит талаасын андан ары жогорулатуу кайрадан A чекитине алып келет. Бул фигураны магниттелиштин гистерезиси деп аташат.

3. Ферромагниттик касиет кандайдыр бир температурага чейин гана сакталат. Мындай температураны Кюринин температурасы деп аташат (T_K). Ферромагнитти температурасын T_K ашканда ал өзүнүн ферромагниттик касиетин кескин өзгөртүп, парамагнитке айланат. Кээ бир заттар үчүн бул температуралар төмөндөй: темир үчүн $T_K = 770^\circ C$ Кобальт үчүн $T_K = 1127^\circ C$ эрбий үчүн $T_K = -253^\circ C$.

Ферромагниттердин ушундай өзгөчө касиети эмне менен түшүндүрүлөт?

Көптөгөн тажырыйбалардын (Эйнштейндин, Де Гаазанын, Иоффенин, Капицанын) негизинде, ферромагниттик касиет атомдордогу орбиталдык ийин менен эмес, электрондордун өзүмдүк магнит \overline{P}_s ийини менен байланыштуу деген жыйынтыкка келишкен.

Ферромагниттик заттардын атомдорунун магнит ийиндерин өлчөп көргөндө, анын чоңдуктары парамагниттик заттардыкындай эле болуп чыкты. Бирок, анчалык чоң эмес магнит талаасында ферромагниттин магниттелишине парамагниттерде өтө чоң магнит талааларында да жетүү мүмкүн эмес. Мунун себеби эмнеде? Ферромагниттик касиет, анын атомдорунда бир нече электрондорун өзүмдүк магнит ийиндери бир багыттуу болуп бири бирич жойбостон, кошулуп шарты менен байланышкан, Мындай электрондор темирдин атомунда төртөө (II.I.I-чийме), кобальтто экөө, никелде экөө ж.б. Ошентип, ферромагниттин атомдору магнит ийинине ээ экен.

Бирок, ферромагниттеги жогорку магниттелишти, анын атомдорунун сырткы магнит талаасынын таасири астында багытталышы камсыз кыла алышбайт. Ошондуктан, ферромагниттик заттардын бөлүкчөлөрү сырткы магнит талаасыз эле жогорку магниттелишке ээ деген гипотезаны киргизди. Мындай магниттелген заттын бөлүкчөлөрүн домендер деп аташкан. Белгилүү бир

шартта ар бир доменде атомдордун магнит ийиндери өздөрү эле бирдей багытталышып, каныга магниттелгендиктөн домендин магнит ийини өтө чоң мааниге жетет. Сырткы магнит талаасы жок кезде, домендердин магнит ийиндери баш аламан багытталып, ферромагниттин жалпы магниттелиши нөлгө барабар болот ($\vec{P}_m = 0$) (II.3.4-чийме).

Ал эми сырткы магнит талаасынын таасири менен домендердин магнит ийиндери бир багытта болушуп, ферромагниттин чоң магниттелишине алып келет (II.3.5-чийме).

Домендердин пайда болуу себептери, атомдордогу электро^ндордун өзүмдүк магнит ийиндеринин бир багытталышы кванттык теориянын негизинде гана түшүндүрүлөт (физиканын үчүнчү бөлүгүндө окулат).

Электромагниттик кубулушка байланыштуу
кыргыз тилиндеги жаңы сөздөрдүн

КЫРГЫЗЧА- ОРУСЧА СӨЗДҮГҮ

А

- абал- положение
агым -поток
адепки-первоначальный
алапошкуч-переключатель
аласалуу-переворачивание вверх дном
алазариддоо-перезарядка
алкак-рама, рамка, контур.
-токтуу алкак -рамка, с током
арым-шаг, диапазон
аргасыздан -вынужденный

Б

- болжолдоо-условность; приближенное
бетен-сторонний
-бетен куч-сторонняя сила
белуктер -деления
-шкаланын белуктерү -деления шкалы

В

- вектор -вектор
вектордук кошуу-векторное сложение
вектор чоңдугу -векторная величина
вольт-вольт (чыңалуунун бирдиги)
вольтметр -вольтметр
ватт -ватт (кубаттуулуктун бирдиги)

Г

- Гармоника-гармоника
Гармоникалык термелүү -гармоническое колебание
Гелиотехника // элиотехника (күндүн нурун пайдалануу техникасы)
Генератор- генератор
-электр тогунун генератору-генератор электрического тока
Гидротехника-гидротехника (суу техникасы)
Гидротурбина -гидротурбина (суу турбинасы)

Д

диэлектрик-диэлектрик

-диэлектриктик шактуулук-диэлектрическая восприимчивость

-диэлектриктик өтүмдүүлүк -диэлектрическая проницаемость

дирилдөө -вибрация

Е

жаңылчатык-погрешность

жарыш-параллель

жебе -стрела

-магнит жебечеси -магнитная стрелка

жылыш вектору -вектор смещения

жылыш модулу -модуль сдвига

жылышуу тогу - ток смещения

жип -нить (жип)

темир жиби -железная нить

жалпы-суммарное, результирующее

-жалпы электр талаасы -результирующее электрическое поле

жакыңдоо -приближение

-удаалаш жакыңдоо -последовательное приближение

З

закон-закон

заряд-заряд

-электр заряды-электрический заряд

-эркин заряд -свободный заряд

тушалган заряд -связанный заряд

-поляризацияланган заряд -поляризационный заряд

зем -проволка

-белгилүү заряд -пробный заряд

И

индукция -индукция

-индукция заряды-индукционный заряд

-магниттик индукция -магнитная индукция

-электрдик индукция -электрическая индукция

иллек -петля

индекс -индекс

инерция -инерция

инертүүлүгү-инертность
интеграл-интеграл
интенсивдүү-интенсивный

К

Калып-форма
касиет -хорошее качество
катар-ряд, порядок
кадыресе -обжиговенный
каталык -погрешность, ошибочность
канат -крыло, полотнище
-конденсатордун канаттары -обкладки конденсатора
кескин -критический
-кескин температура -критическая температура
кызыктуу -накаливание
-плайык кызыктуу-нормальное накаливание
күлөө-настройка
-комузду күлөө-настройка комуза
-контурду күлөө -настройка контура

Л

лампа -лампа
-сымап лампасы -ртутная лампа,
-электр лампасы-электрическая лампа

М

Магнит -магнит
-магнит өтүмдүүлүгү-магнитная проницаемость
-магнит шыктуулугу -магнитная восприимчивость
-магнит ийини -магнитный момент
-орбиталык магнит ийини -орбитальный магнитный момент
-өзүмдүк (спиндик) магнит ийини-спиновый магнитный момент
магниттелип -намагничивание
материал-материал
модуляция -модуляция (бир толкундун башка толкундун таасири астында өзгөрүлү)
-амплитудалык модуляция -амплитудная модуляция
-аштык модуляциясы-частотная модуляция

Н

номер-номер

нормалдуу-нормальный
норма-норма
нормалаштырылган -нормализован

О

ойдуң -впадина
об"ект-об"ект

Ө

өлчөө-измерение
өлчөө чеги -предел измерения
өтүмдүүлүк -проницаемость
-диэлектрик өтүмдүүлүк -диэлектрическая проницаемость
-магниттик өтүмдүүлүк -магнитная проницаемость
өткөргүч -проводник
өткөрүмдүүлүк -проводимость
өткөргүчү электрондор -электроны проводимость
өзүмдүк индукция -самоиндукция
өз ара индукция -взаимная индукция

П

потенциал- потенциал
потенциалдардын айырмасы -разность потенциалов
-туурасынан потенциалдардын айырмасы-поперечная разность потенциалов

Р

радиан -радиан
радио-радио
разряд-разряд
электр разряды -электрический разряд

С

сактагыч-предохранитель
-коргошун сактагыч -свинцовой предохранитель
система -система
-саноб системасы -система отсчета
сергектик (чыйрагтык) -подвижность
-электрон сергектиги -подвижность электрона

Т

талаа-поле

-магнит талаасы- магнитное поле
-электр талаасы -электрическое поле

тилке -кличок, полоса, пластинна

ток-ток

-электр тогу -электрический ток

-жылышуу тогу-ток смещения

тузак-петли

-гистерезис-тузагы -петли гистерезиса

тушалган заряд-связанный заряд

тыгыздык-плотность

-беттик тыгыздык -поверхностная плотность

-сызыктуу тыгыздык-линейная плотность

тутка-зажим

-элементтин туткасы -зажимы элемента

-ламдын туткасы -зажимы лампочки

У

ургаалдуу -интенсивный

удалаш -последовательный

Ц

циркуляция -циркуляция (айлануу)

цикл-цикл

Ч

чагылган - молния

ченелүү -пробный, измеренный

-ченелүү алкак-пробная рамка

ченемдүү-соразмерный с чем либо

ченее-измерение

чыңалуу-напряжение

чыңалыш-напряженность

чыйрактык-подвижность

-электрондун чыйрактыгы-подвижность электрона

Ш

шыктуулук -восприимчивость

-магнит шыктуулугу -магнитная

ЭНС 100
ИДН

10c



-1907-2

2.3/1000/1
1126
ОШ ЖОГОРКУ ТЕХНОЛОГИЯЛЫК КОЛЛЕДЖИ
ФИЗИКА ЖАНА ХИМИЯ КАФЕДРАСЫ

А. МАРИПОВ

ЭЛЕКТР ЖАНА МАГНИТ КУБУЛУШТАРЫ

(ЛЕКЦИЯЛАРДЫН ЖЫЙНАГЫ)

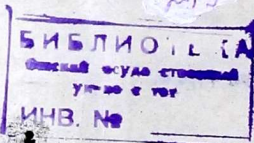
ОШ — 1992

Жогорку инженер-техникалык адистерди даярдоо үчүн 1991 жылы басылып чыккан жогорку окуу жайлары үчүн физиканын программасына ылайыкталган

Физика жана химия кафедрасынын жана Ош жогорку технологиялык колледжинин усулдук комиссиялары тарабынан каралып жактырылган жана басууга сунуш кылынган.

Бул китеп жөнүндө өзүңүздөрдүн ой пикириңиздерди бизге жазып жиберсеңиздер, автор өзүнүн чоң ыраазычылыгын билдирер эле.

Биздин дарегибиз: 714018, Ош шаары Исанов көчөсү 81
Ош жогорку технологиялык колледжи,
физика жана химия кафедрасы.



М А З М У Н У

Электростатика	бет
Глава-1. Электр талаасы жана аны мүнөздөөчү чоңдуктар.	6
1.1. Электр заряддары жана алардын жаратылышы. Заряддардын сакталуу закону	6
1.2. Заряддардын өз ара аракеттенүү закону	4
1.3. Өткөргүчтөр жана изоляторлор	10
1.4. Электр чоңдуктарын ченөө бирдиктери	13
1.5. Электр талаасы, Электр талаасынын чыңалышы	14
1.6. Электр талааларынын кошулушу	15
1.7. Электр талаасынын чыңалышынын күч сызыктары жана агымы	16
1.8. Электр талаасынын индукция вектору Остроградский-Гауссун теоремасы.	19
1.9. Остроградский-Гауссун теоремасын колдонуунун мисалдары.	22
1.10. Электр талаасындагы диполь	26
Глава-2. Потенциал.	
2.1. Электростатикалык талаанын жүмүшү.	27
2.2. Потенциал. Потенциалдардын айырмасы.	29
2.3. Электр талаасынын потенциалдарын аныктоонун мисалдары.	32
Глава-3. Электр талаасындагы өткөргүчтөр.	
3.1. Өткөргүчтөрдүн электр талаасындагы абалы	33
3.2. Электр сыймдуулугу	36
3.3. Сыймдуулукту аныктоонун мисалдары.	39
3.4. Конденсаторлорду туташтыруу.	40
3.5. Заряддалган конденсатордун энергиясы электр талаасынын энергиясы.	42
Глава-4. Электр талаасындагы диэлектриктер	
4.1. Диэлектриктердин поляризацияланышы поляризация вектору P .	45
4.2. Диэлектриктеги электр талаасынын чыңалышы.	47
4.3. Электр талаасындагы диэлектрикке аракет кылган күчтөр.	48
4.4. Сегнетоэлектриктер	51
4.5. Пьезоэлектрик эффект.	53

Глава- 5.Турактуу ток.

5.1.Электр тогу жана анын пайда болуу шарттары.	56
5.2.Электр кыймылдаткыч күчү, Чыңалуу	58
5.3.Металлдардын электр өткөрүмдүүлүгү	59
5.4.Металлдардын электр өткөрүмдүүлүгүнүн классикалык электрондук теориясы.	62
5.5.Классикалык электрондук теориянын кемчилдиктери.	68
5.6.Омдун жалпыланган закону же таракталган чыңыр үчүн Кирхгофун закондору.	70

Электромагнетизм.

Глава- 7. Турактуу токтуу магнит талаасы.

7.1.Магнит талаасы.Магнит индукция вектору	73
7.2.Био-Савар-Лапластын закону	76
7.3.Түз сызыктуу токтуу магнит талаасы	78
7.4.Тегерек токтуу магнит талаасы	80
7.5.Магнит талаасынын чыңалыш векторунун циркуляциясы жөнүндөгү теорема.	81
7.6.Соленоиддин жана торондун магнит талаалары.	83
7.7.Кыймылдагы заряддын магнит талаасы	84
7.8.Магнит талаасынын токко жасаган аракети.Ампердин закону	84
7.9.Жарыш токторунун өз ара аракеттенүүлөрү	87
7.10.Электромагниттик чоңдуктары алчөөчү бирдиктердин системасы.	88
7.11.Магнит талаасындагы заряддардын кыймылы.Лоренцтин күчү.	90
7.12.Холлдуу эффектиси	94
7.13.Заряддалган бөлүкчөлөрдүн ылдамдаткычтары	95
7.14.Магнито-гидродинамикалык (МГД) генератор	99
7.15.Магнит агымы	99
7.16.Остроградский-Гаусстун магнит талаасы үчүн теоремасы	100
7.17.Магнит чыңырларынын закондору	101
7.18.Магнит талаасындагы токтуу өткөргүч жылгандагы жумуш	103

Глава -8.Электромагниттик индукция

8.1.Электромагниттик индукция кубулушу жана анын негизги закону	106
8.2.Электромагниттик индукциянын электр кыймылдаткыч күчүнүн (ЭКК) табияты.	108

8.3. Алкактын магнит талзасындагы айланышы. Генераторлор	110
8.4. Өз ара индукция	112
8.5. Далпы өзөктүү эки соленоиддин өз ара индукциясы.	113
8.6. Өзүмдүк индукция	116
8.7. Чыккырларды кошкондогу жана ажыраткындагы өзгөчө токтор	118
8.8. Курндуу токтор (бухонун токтору)	120
8.9. Токтун магнит талзасынын энергиясы.	122

Глава-9. Максвеллдин теориясынын негиздери.

9.1. Жылылуу токтору	124
9.2. Максвеллдин интегралдык теңдемелери	128

Глава-10. Электромагниттик толкундар жана термелүүлөр.

10.1. Термелүү чыккыр. Өзүмдүк термелүү	130
10.2. Электромагниттик толкундардын нурланышы жана таралышы. Герцтин тажырыбалары	137
10.3. Электромагниттик толкундун басымы	148
10.4. Электромагниттик толкундун шкаласы	149

Глава 11. Заттардын магнит талаасы

11.1. Магниттедил вектору \vec{P} жана анын \vec{H} жана \vec{B} векторлору менен байланышы	150
11.2. Заттардын магниттик касиеттери. Диа жана парамагнетизм	155
11.3. Ферромагнетизм	159

Электромагниттик кубулушка байланыштуу кыргыз тилиндеги жана сөздөрүн кыргызча-орусча сөздүгү. 163

ЭЛЕКТРОСТАТИКА

I-Глава. Электр таласы жана аны мүнөздөчү чоңдуктар.

1.1. Электр заряддары жана алардын жаратылышы.

Заряддардын сакталуу закону

Физиканын механика бөлүмүнүн негизги закондору болуп Ньютондун закондору экендигин жана алардын эң негизгиси экинчи закон

$$m\vec{a} = F$$

болорун, биринчи жана үчүнчү закондор экинчи законду толуктай жана айкалдай тургандыгын көрсөткөнбүз. Экинчи закондун негизинде, ар кандай кыймыл, нерсеге таасир этүүчү күч F чоңдугу жана багыты белгилүү болсо гана аныктала алат экен. Механикада, гравитациялык күчтүн таасири астындагы (оордук күчү) кыймылы кеңири токтолгонбуз. Нерселер гравитациялык күчтүн таасиринен башка электромагниттик ж.б. күчтөр аркалуу да аракеттеништерине ылчандан ары токтолбоз.

Электромагниттик күч электр заряддарынын ортосунда пайда болот. Электр заряддары жөнүндөгү мектептен белгилүү маалыматтарга дагы көңүл буралы. Эгерде айнек таякчасын жибек кездеме-сине же эбонит таякчасын теринин жүнүнө сүрткөндө, аларда заттардын жеңил бөлүкчөлөрүн тартып алуу жөндөмдүүлүгү пайда болору белгилүү. Заттардын мындай касиеттерин аларда заряддардын пайда болушу менен түшүндүрүлөт. Демек бир нерсени экинчи нерсеге сүрткөндө алар электрленишет б.а. аларда заряддар пайда болот. Заряддалган нерселер бири-бирине тартылыштары же түртүлүшөрү тажрыйбалардан белгилүү. Жибек жиптерине ылчип жанама кайланышкан эки жеңил шарчаларга жибекке сүрүлгөн айнек таякчасын тийгизсек, шарчалар бири-бирин түртүшөт (I.I.I^a-чийме). Эгерде бул шарчаларды теринин жүнүнө сүрүлгөн эбонит менен заряддасак, алардын мурдагыдай эле бири-бирин түртүшөрүн байкайбыз (I.I.I^b-чийме). Эки бул шарчанын бирөөн айнек таякчасы менен экинчисин эбонит таякчасы менен заряддасак, шарчалардын бири-бирине тартылышын көрөбүз (I.I.I^b-чийме). Бул тажрыйбалардан эбониттеги жана айнектеги пайда болгон заряддардын касиеттери башка экендиги келип чыгат. Эгерде башка ар түрдүү

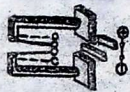
көптөгөн заттарда пайда болгон заряддарга көңүл бөлүп, эки түрдүү эбонитте жана айнек таякчаларында пайда болгон заряддарга окшош гана ("эбонит электрлиги" жана "айнек электрлиги") заряддар пайда болору аныкталган. Кийинчерээк "айнек электрлиги" оң заряд, ал эми "эбонит электрлиги" - терс заряд деп атап коюшкан. Ошентип, оң заряддар бири-бирин түртүшөт. Узундай эле касиетке терс заряддар да ээ (I.I.4-чийме). Оң жана терс заряддар бири-бирин тартышат. Кыскасы бир тектүү заряддар түртүлүшөт, ар түрдүү тектеги заряддар бири-бирин тартышат. Эки нерсени бири-бирине сүргөндө, бирөөндө белгилүү чоңдукта оң заряд пайда болсо, экинчисинде омондой эле чоңдуктагы терс заряд пайда болору тажырыйбалардан белгилүү. Муну себеби эмнеде деген суроо туулат. Ар кандай заттар атомдордон түзүлөрүн билебиз. Атом, оң заряддалган ядродон жана анын айланасында айланып жүргөн терс заряддуу электрондордон пайда болорун аныкталган (I.I.2-чийме). Кадимки абалында атомдогу оң заряддардын (протондордун) саны андагы терс электрондордун санына барабар болуп, электронейтралдуу болот. Атомдордун эң сырткы катмарындагы жайланышкан (валентүү) электрондор атомдун ядросу менен начар байланышкандыктан, бир затты экинчи затка сүрткөндө ал электрондор бир заттын атомунан экинчи заттын атомуна өтүшөт. Электрондорду кеткен заттын атомдору оң заряддалган иондорго айланып, затты оң зарядка ээ кылат. Ал эми электронду кабыл алган заттын атомдору терс заряддалган ионго айланышып, заттагы терс заряддардын пайда болушуна алып келет.

Заряддын терең касиеттеринин бири болуп, анын, сакталышы эсептелет, б.а. турук системадагы заряддардын саны сакталат жана алар системанын бир бөлүгүнөн экинчи бөлүгүнө гана өтүшү мүмкүн. Заряддардын жалпы саны оң жана терс заряддардын санына барабар. Турук электронейтралдуу системада оң заряддардын саны терс заряддын санына барабар.

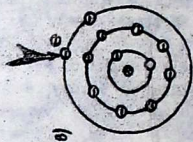
$$\sum_{i=1}^n q_i^+ = \sum_{i=1}^n q_i^- \quad \text{же} \quad \sum_{i=1}^n q_i^+ + \sum_{i=1}^n q_i^- = 0$$

Мында q_i^+ жана q_i^- оң жана терс элементардык заряддар, заряддын эң кичинекей бөлүкчөсүн элементардык заряд деп атайбыз. Мындай зарядды алып жүрүүчү бөлүкчө болуп электрон ж.б. элементардык бөлүкчөлөр эсептелишет.

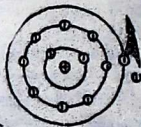
Анын заряды $e = 1,602 \cdot 10^{-19}$ Кл



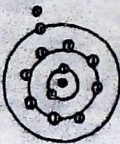
1.1.1 - QUOMME



1)



2)



3)

1.1.2 - QUOMME

(1) HFB

Ар кандай башка чоңураак бөлүкчөлөрдүн (атом, молекула) жана заттардын заряддары элементардык зарядка өсөлөнүп чыгат. Ошондуктан, электрондун зарядын заряддардын кванты деп аташат.

1.2. ЗАРЯДДАРДЫН ӨЗ АРА АРАКЕТТЕНҮҮ ЗАКОҢУ (КУЛОНДУҢ ЗАКОҢУ)

Заряддалган нерселер, же алардын бөлүкчөлөрү өз ара аракеттеништерине жогоруда ишендик. Мындай аракеттенүүлөрдүн закон ченемдүүлүгүн мындан эки кылым илгери (1785ж) окутуу Кулон ачкандыгы физиканын мектептеги курсунан белгилүү. Кулон, эки чекиттүү заряддар бири бирине, ал заряддардын (Q_1 , Q_2) чоңдуктарынын көбөйтүндүсүнө түз пропорциялап, ал эми аралыгынын (Z) квадратына тескери пропорциялап болгон күч менен аракеттеништерин көрсөткөн (1.2.1-чийме)

$$F = k \frac{Q_1 \cdot Q_2}{Z^2} \quad (1.2.1)$$

Мында k - пропорция коэффициенти, ченөө системасына жарата аныкталат. Заряддардын чекиттүүлүгү механикадагы материалдык чекиттердин шарты сыяктуу аныкталат б.а. $d \ll z$, d - заряддалган нерселердин өлчөмү, z - алардын ортосундагы аралык).

Ар кандай заряддалган чоң өлчөмдөгү нерселер үчүн мындай законду алуу кыйын, анткени мындай нерселердин ортосундагы өз ара аракет эткен күч, бирдей шартта алардын калыбына да жарата болот. Кулондун законун бүткүл дүйнөлүк тартышуу законуна салыштырсак, алардын окшон экендигин байкайбыз.

$$F_k \sim \frac{q_1 q_2}{z^2}, \quad F_g \sim \frac{m_1 m_2}{z^2}$$

Бирок масса (m_1, m_2) терс болгондуктан ($E_g > 0$), ал эми заряддар q_1, q_2 оң жана терс болгондуктан алардын ортосундагы аракет этүүчү күчтөр оң жана терс мааниге өз болушат. Белгилүү заряддагы элементардык бөлүкчөлөр үчүн (мисалы электрон) бул эки күчтү салыштырсак, электр күчү F_k гравитациялык күчкө F_g салыштырганда 10^{37} эсе күчтүү экендигин көрөбүз ($F_k = 10^{37} F_g$)

Күч вектордук чоңдук болгондуктан, заряддардын ортосундагы өз ара аракеттердин багытын аныктап үчүн, Кулондун

законун вектор түрүндө жазалыз

$$\vec{F} = k \frac{q_1 q_2}{z^2}, \quad \vec{z} = k \frac{q_1 q_2 \vec{z}}{z^3} \quad (1.2.2.)$$

Ушул формуланы пайдаланып, бир тектүү жана ар түрдүү белгилеги заряддардын ортосундагы аракет кылган күчтөрдүн багытын аныктайлы:

1. $q_1 > 0, q_2 > 0$; биринчи заряддын экинчи зарядка аракет жасаган күчтүн багытын табыш үчүн, биринчи заряддан экинчи зарядка радиус-вектор (\vec{z}_{12}) ^{күчү} эки заряддын көбөйтүндүсү $q_1 q_2 > 0$ оң болгондуктан аракет эткен \vec{F}_{12} күчтүн багыты, \vec{z}_{12} радиус-вектор багыты менен дал келет (1.2.1 а-чийме) $\vec{F} \uparrow \vec{z}$

б) Ал эми ушул эле шартта экинчи q_2 заряддан биринчи q_1 зарядка радиус-вектор (\vec{z}_{21}) жүргүзүп, экинчи заряддын биринчи зарядка аракет эткен күчтүн багытын аныктайлыз жана ал \vec{F}_{21} күчтүн багыты \vec{z}_{21} радиус вектордун багыты менен дал келерин көрөбүз, $\vec{F}_{21} \uparrow \vec{z}_{21}$ (1.2.1 а-чийме).

2. Эгерде ($q_1 < 0, q_2 < 0$) эки заряд тең терс болсо, жогоруда караган (1-пункт) жыйынтыкты алабыз (1.2.1^а-чийме). Демек, бир тектүү заряддар түртүшүшөт экен.

3. Эгерде аракеттенишүүчү заряддардын белгиси ар түрдүү болсо ($q_1 > 0, q_2 < 0$), анда жогоруда көрсөтүлгөндөй тиешелүү \vec{z}_{12} , \vec{z}_{21} радиус-векторлорду жүргүзүп, бир тектүү эмес заряддар өз ара тартыла тургандыгын көрөбүз $\vec{F}_{12} \uparrow \vec{z}_{21}$, $\vec{F}_{21} \uparrow \vec{z}_{12}$ (1.2.1^б-чийме).

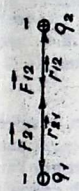
1.3. ӨТКӨРГҮЧТӨР ЖАНА ИЗОЛЯТОРЛОР

Ар кандай заттар, өзүнөн электр заряддарды өткөргүчү жана өткөрбөөчү болуп, эки чоң класска бөлүнөшөт. Өткөргүчтөр аркылуу заряддар эркин жыла алышат. Мындай өткөргүчтөргө металлдар кирет. Өткөрбөгүчтөр (изоляцияторлор) аркылуу заряддар эркин жыла албайт. Мындай заттардын мисалы катары айнек, обонит, кургак аба ж.б. ларды кароого болот. Заттардын мындай электрдик касиеттерин текшерүү үчүн, эки заряддалган жана заряддалбаган, электроскопторду алып, аларды өткөргүч

а)

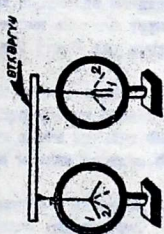


б)

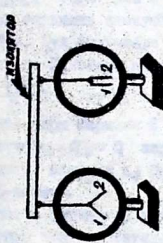


1.2.1 - ЧУВНЕ

а)



б)



1.3.1 - ЧУВНЕ

а)



б)



1.3.1 - ЧУВНЕ

менен туташтырсак, заряддардын бир электроскоптун экинчиге өткөнүн көрөбүз (I.3.I³-чийме). Ал эми заряддалган, электроскопту заряддалбаганы менен изолятор аркылуу туташтырсак, электроскоптордун абалдарынын өзгөрбөгөнүн көрөбүз (I.3.I⁶-чийме) б.а. изолятор аркылуу заряддар өтбөйт экен.

1.4. ЭЛЕКТР ЧОНДУКТАРЫН ЧЕНЕӨ БИРДИКТЕРИ

1.4.1. Абсолюттук электростатикалык ченөө бирдиктеринин системасы (катары) - СГСЭ.

Бул системада заряддын ченөө бирдиги абсолюттук электростатикалык заряддын бирдиги (СГС) деп аталат жана туунду бирдиктерге кошулат. Бул бирдикти аныктоо үчүн Кулондун законун (1.2.1) колдонубуз. Бул системада пропорция коэффициенти $k = 1$ деп алынгандыктан, Кулондун закону

$$F = \frac{q_1 q_2}{r^2} \quad (1.4.1)$$

түрүндө жазылат. Эгерде бири биринен $l = 1$ см аралыкта жайланышкан бирдей эки чекитүү $q_1 = q_2 = q$ заряддар $F = 1$ дина күч менен аракеттенмесе, алардын q биринин чоңдугу $q = 1 \text{ СГС}q$ барабар болот (1.2.1-чыңме).

Андан ары, негизги бирдиктер катары $l = 1 \text{ см}$, $m = 1 \text{ г}$, $t = 1 \text{ с}$ тандап, жана абсолюттук электростатикалык заряддын бирдигин (СГС q) колдонуп, ар кандай электрдик жана магниттик чоңдуктардын ченөө бирдиктерин аныктай алабыз. Бул система абсолюттук электростатикалык бирдиктердин системасы (СГСЭ) деп аталат.

Бул системада электрондун заряды $e = 4,8 \cdot 10^{10} \text{ СГС}q$ барабар. **2. СИ системасы.** Бул системада электрдик жана магниттик чоңдуктардын бирдиктерин аныктоо үчүн механикадагы негизги бирдиктерге (метр, кг, сек.) ток күчүнүн бирдиги Ампер (А) кошулат.

СИ системасында электр заряддын ченөө бирдиги катары Кулон (Кл) алынат. Бул туунду бирдик болот жана өткөргүчтүн берилген кесилип алыгы аркылуу бир секундта бир ампер турактуу токту пайда кылган зарядга барабар болот, б.а. $1 \text{ Кл} = 1 \text{ А} \cdot \text{с}$.

Тажыйба жогу менен 1 Кл заряд $3 \cdot 10^9 \text{ СГС}q$ заряддын бирдигине барабар экендиги аныкталган.

СИ системасында пропорция коэффициенти $k = 1/4\pi\epsilon_0$ деп алынат. Кулондун законун пайдаланып, электростатикалык турактуу саяланышын сан маанисин аныктайды.

$$F = k \frac{q_1 q_2}{r^2} = \frac{1}{4\pi\epsilon_0} \frac{q_1 q_2}{r^2} \quad (1.4.2)$$

$q_1 = q_2 = q = 1 \text{ нКл} = 1 \cdot 10^{-9} \text{ Кл}$ деп алайлы
 Анда заряддардын буюшмаларын (I 4.1) жана (I 4.2) формулаларга кооп, аларды теңдеп

$$F = \frac{(1 \cdot 10^{-9})^2}{(10^{-2})^2} = 9 \cdot 10^{-14} \text{ Н} = 9 \cdot 10^{-8} \text{ Ньютон (Н)}$$

$$F = \frac{1}{4\pi\epsilon_0} \cdot \frac{1 \cdot 1}{1} = 9 \cdot 10^{-9} \text{ Н} \quad \text{экендигин алабыз.}$$

Бую формуладан

$$\epsilon = \frac{1}{4\pi \cdot 9 \cdot 10^9} = 8,85 \cdot 10^{-12}$$

СИ бирдиктине

барбар экендиги келип чыгат.

СИ системасында электрондун зарядынын чоңдугу $e = 1,602 \cdot 10^{-19} \text{ Кл}$

I.5. ЭЛЕКТР ТАЛААСЫ. ЭЛЕКТР ТАЛААСЫНЫН ЧЫЧАЛЫШЫ

Когоруда биз караган заряддардын өз ара аракеттенүүлөрү электр талаасы аркылуу берилет. Ар кандай заряд өзүн курчаган мейкиндиктин касиетин өзгөртөт - электр талаасын түзөт. Мындай талаага электр зарядын жайгаштырсак, зарядка күч таасир өтөт. Демек, мейкиндикте талаа бар же жок экендигин билиш үчүн ага өлчөгүчү зарядды (чоңдугу жана белгиси белгилүү), жайгаштырып, ага таасир өткөн күчтүн чоңдугуна жараша талаанын ургаалдуулугун (интенсивдүүлүгүн) билебиз. Электр талаасын мүнөздөөчү чоңдук катары электр талаасынын чычалышы E киргизилет.

Адегенде чекитүү заряддын электр талаасына өлчөгүч зарядды жайгаштырып, талаанын чычалышын аныктайлы.

Ал үчүн $q_1 = q$ деп, белгилүү заряд катары $q_2 = q_0$ алып, Кулондун законун пайдаланып көрөлү.

$$F = k \frac{qq_0}{r^2}$$

Мында таасир өткөн F күчү биз изилдеген заряд q га гана көз каранды болбостон, өлчөгүч q_0 зарядынын чоңдугуна да жараша болот. Демек, F күчү q зарядды түзгөн электр талаасын мүнөздөөчү чоңдук боло албайт. Эгерде биз F/q_0 катышын алсак, анда $\frac{F}{q_0} = k \frac{q}{r^2}$

бул катыш өлчөгүч зарядка көз каранды эмес, ошондуктан ал q зарядды түзгөн талааны мүнөздөөчү чоңдук боло алат жана электр талаасынын чычалышы деп аталат.

$$E = \frac{F}{q_0} = k \frac{q}{r^2}$$

(I.5.1)

Электр талаасынын чыналымы бирдик өлчөгүч зарядка таасир эткен күчкө барабар экен. Бул (1.5.1) тунтига чекиттүү q заряды r аралыгында түзгөн талаанын чыналымын мүнөздөйт жана ал ошол заряддын чоңдугуна түз, аралыктын квадратына тескери пропорциялап экен.

Электр талаасынын чыналымы күч аркылуу аныкталгандыктан, (1.5.1) вектордук чоңдук болуп эсептелет жана вектордук түрдө төмөндөгүдөй жазылат

$$E = k \frac{q}{r^2} \vec{r} \quad (1.5.2)$$

Бул формуланын негизинде E нин чоңдугун гана эмес, багытын да аныктоого болот (1.5.1-чилим). Ош заряддын талаасы радиус-вектордун багыты менен дал келип ($\vec{E} \parallel \vec{r}$), ал заряддан сыртты кездей багытталса (1.5.1^a-чилим), терс заряддын талаасы анын өзүн кездей багытталат экен (1.5.1^b-чилим).

Эгерде мейкиндиктин кандайдыр бир чекитинде талаанын чыналымы E аныкталса, ал чекитке киргизилген q зарядка аракет кылган \vec{F} күчү аныкталган болот,

$$\vec{F} = q\vec{E} \quad (1.5.3)$$

Электр талаасынын чыналымынын өлчөө бирдиктери:

СИ системасында $[E] = \text{Вольт метр (В/м)}$, ал эми СГСЭ системасында $[E] = \text{ICGS}_E$ бирдиктери менен өлчөнөт.

$q = 1 \text{ Кл}$ заряд $r = 1 \text{ м}$ аралыкта СИ системасында

$$E = \frac{1}{4\pi\epsilon_0} \frac{q}{r^2} = \frac{4\pi}{4\pi} \cdot 9 \cdot 10^9 \frac{1}{1^2} = 9 \cdot 10^9 \text{ В/м} \quad (1.5.4)$$

же СГСЭ системасында $k = 1$ $E = \frac{q}{r^2} = \frac{3 \cdot 10^9}{(10^3)^2} = 3 \cdot 10^6 \text{ CGS}_E \quad (1.5.5)$

Электр талаасын пайда кылат экен.

Бул эки чоңдуктар бир эле заряддын ($1 \text{ Кл} = 3 \cdot 10^9 \text{ CGS}_q$)

бирдей аралыкта ($r = 1 \text{ м} = 10^3 \text{ см}$) түзгөн талаасы бол-

гондуктан, бири бирине барабар болушат. Чоңдуктан буларды теңдеп

$$1 \text{ CGS}_E = 3 \cdot 10^6 \text{ В/м} \quad , \text{ барабар}$$

өкөндүгүн алабыз

1.6. ЭЛЕКТР ТАЛААЛАРЫНЫН КОМУЛУШУ (СИНЕРГИЗМИНСЫ)

Чекиттүү бир заряддын электр талаасын аныктоо үчүн-

генден кийин, чекитүү заряддардын тобунун түзгөн электр талаасын кантип табууга боло тургандыгына көңүл буралы. Электр талаасынын чыңалышы вектордук чоңдук (\vec{E}) болгондуктан, заряддардын белгилүү бир чекиттеги түзгөн электр талаалары вектордун закону боюнча кошулушат. Мисал катары оң q_1 жана терс q_2 заряддарынын А чекитинде түзгөн жалпы электр талаасын (\vec{E}) аныктайтыз (1.5.1-чийме). Адегенде q_1 заряды түзгөн \vec{E}_1 векторун, андан кийин q_2 заряды түзгөн \vec{E}_2 векторун тургузабыз. Бул векторлордун жалпы түзүүчүсү алар түзгөн параллелограмдын диагонали \vec{E} болуп эсептелет, F

$$\vec{E} = \vec{E}_1 + \vec{E}_2 \quad (1.6.1)$$

Бул вектордун сан мааниси (модулу)

$$|\vec{E}| = E = \sqrt{E_1^2 + E_2^2 + 2E_1E_2 \cos \alpha} \quad (1.6.2)$$

формуладан аныкталат. Демек, жалпы талаанын чыңалышын (E) аныкташ үчүн ар бир заряд түзгөн талаалардын сан маанисилерин (E_1, E_2) гана аныктабастан, ал векторлордун ортосундагы бурчту (α) да эсептөө керек экен.

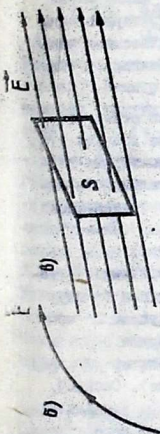
Чекитүү заряддардын тобунун ($q_1, q_2, q_3, \dots, q_n$) мейкиндиктин кандайдыр бир чекитиндеги түзгөн жалпы талаасын аныктоо үчүн векторлордун кошулуу эрежесин колдонобуз

$$\vec{E} = \vec{E}_1 + \vec{E}_2 + \dots + \vec{E}_n = \sum_{i=1}^n \vec{E}_i \quad (1.6.3)$$

Заряддардын тобунун түзгөн талаалары векторлордун кошулуу закону менен аныктоо суперпозиция эрежеси деп аталат.

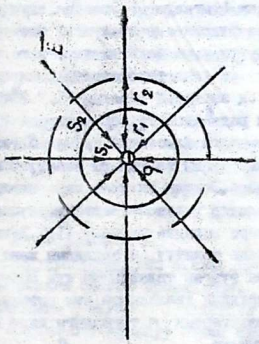
1.7. ЭЛЕКТР ТАЛААСЫНЫН ЧЫҢАЛЫШЫНЫН КҮЧ СЫЗЫКТАРЫ ЖАНА АГЫМЫ

Электр талаасын, аналитикалык формуланын (1.5.2) жардамы менен, мейкиндиктин ар бир чекиттери үчүн эсептеп тургузулган чыңалыш векторлору аркылуу көргөзүүгө болот (1.7.1^a-чийме). Мындай татаал сүрөттөлүштү жөнөкөй күч сызыктарын жардамы менен график түрүндө көрсөтүү ыңгайлуу. Электр талаасынын чыңалыш векторлорунун күч сызыктары, алардын ар бир чекитине жүргүзүлгөн жана сызыктар, ошол чекиттердеги электр талаасынын чыңалыш векторлорунун багыттары менен келгендей кылып сызылат (1.7.1^b-чийме). Талаанын чыңалышынын чоңдугу күч сызыктарына тыгыздыгы аркылуу көрсөтүлөт. Берилген заряддан

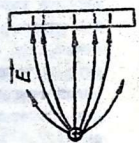


1.71 - ЧУМНЕ

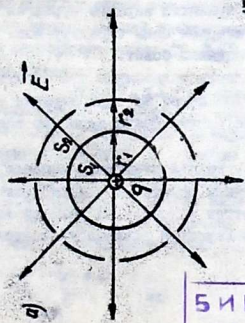
1.72 - ЧУМНЕ



1.73 - ЧУМНЕ



1.74 - ЧУМНЕ



1.75 - ЧУМНЕ

БИБЛИОТЕКА
 ИСЛАМ ОУЛ СОНН. В
 УИ В С Е:
 ИНВ. №

Белгилүү аралыкта, күч сызыктарга тик (E) жайланышкан S тегиздиктин бирдик аянтын тешип өткөн сызыктардын саны (n), ошол аянтка туура келүүчү электр талаасынын чыңалышына (E), барабар же түз пропорциялаш болгондой кылып жүргүзүшөт, б.а.

$$n = \frac{N}{S} \approx E$$

Мында S -тегиздиктин аянты, N -тегиздикти кесип өткөн күч сызыктардын жалпы саны, n -бирдик аянтка туура келүүчү күч сызыктардын саны (тыгыздыгы). Ошентип, күч сызыктардын жардамы менен көрсөтүлгөн сүрөттөлүштөн электр талаасынын чыңалышынын чоңдугун жана багытын аныктоого болот өкөн. Мисал катары чекиттүү оң жана терс заряддардын электр талаасынын күч сызыктары оң заряддан тараган (1.7.2^а-чийме) жана терс зарядка кирген радиалдык түз сызыктардын (1.7.2^б-чийме) тобун түзүшөт. Заряддан алыстаган сайын S тегиздиги аркылуу өткөн, күч сызыктардын тыгыздыгы азаят, б.а. талаанын чоңдугу да кичирейет. Эгерде оң жана терс заряддардын системасынын түзгөн электр талаасын карасак, күч сызыктар оң заряддан башталып терс зарядка киришет (1.7.3-чийме). Ошондой, эле 1.7.4-чиймеде чекиттүү оң заряддын жана терс заряддалган калпак нерсенин түзгөн талаасынын күч сызыктары көрсөтүлгөн.

Чекиттик заряддын талаасынын күч сызыктарына дагы көңүл бурсады. Күч сызыктардын n тыгыздыгы шарт боюнча анын чоңдугуна пропорциялаш

$$n = E \approx k \frac{q}{r^2}$$

ал өми зарядды курчаган тегиздиги аркылуу өткөн сызыктардын саны

$$N = ES = E \cdot \pi r^2 = \frac{1}{4\pi\epsilon_0} \cdot q$$

б.а. ар кандай аралыкта зарядды курчаган турук бетти тешип өткөн күч сызыктардын саны турактуу жана берилген q зарядына түз пропорциялаш болот.

Ошентип, электр талаасынын күч сызыктары оң заряддан башталып чексизге кетет же терс зарядка келип бүтөт, б.а. электр талаасын булагы болуп заряддар өсөтөт (1.7.2-чийме).

Заряддалган татаал калыптагы нерселер үчүн электр талаасынын чыңалышын өсөптөө көп кыйынчылыктарга алып келет жана анын сүрөттөп көрсөтүү да жөнөкөй иш эмес. Бул учурда Остроградский-Гауссун теоремасын колдонуу зарыл.

18. ЭЛЕКТР ТАЛААСЫНЫН ИНДУКЦИЯ ВЕКТОРУ. ОСТРОГРАДСКИЙ-ГАУССЫН ТЕОРЕМАСЫ

Бул теореманы колдонуш үчүн жаңы түшүнүктөрдү киргизүү зарыл: 1. Электр талаасынын индукция же электрдик жылышуу \vec{D} вектору вакуум үчүн $\vec{D} = \epsilon_0 \vec{E}$ (I.8.1) ал эми чекитүү заряд үчүн $D = \epsilon_0 E = \frac{1}{4\pi\epsilon_0} \frac{q}{r^2}$ (I.8.2.) жана бул \vec{D} векторунун багыты вакуумда \vec{E} векторуна менен дал келет.

График түрүндө сүрөттөш үчүн электрдик жылыш күч сызыктары колдонулат. Бул күч сызыктардын багыты электр талаасынын чыңалыш \vec{E} векторунун багыты менен дал келет жана тыгыздыгы индукция векторуна пропорциялаш болот.

2. Электр индукция векторунун агымы N .

Жалпак S тегиздиктин алып, бир бетине n нормалын (чондугу бирге болгон перпендикуляр) тургузалы. Бул нормал менен бир тектүү талаанын күч сызыктары α бурчу түзүшсүн. Бетти тешип өткөн күч сызыктардын жалпы саны (I.8.1-чийме)

$$N = D \cdot S \cos \alpha = D_n S \quad (I.8.3)$$

Электр индукция векторунун агымы деп аталат $D_n = D \cos \alpha$ - индукция векторунун нормалга болгон проекциясы.

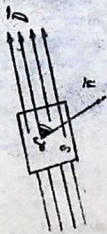
Күч сызыктардын тыгыздыгы (N/S) индукция векторуна барабар экен, б.а. Блрдик бет аркылуу өткөн күч сызыктардын саны электр индукциясына барабар болот.

Эгерде электр талаасы бир тектүү болбосо, S беттин өң мада элементардык беттерге бөлөбүз. Ар бир мындай элементардык бетти, ар бири аркылуу өткөн күч сызыктар бир тектүү болгондой кылып тандоо керек. Мындай элементардык бет аркылуу өткөн жылышуу векторунун агымы $dN = D_n dS$. Жалпы аянт S аркылуу өткөн жылышуу агымы

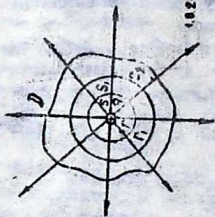
$$N = \int D_n dS = \int D \cos \alpha dS$$

Эгерде α бурчу 90° градустан аз болсо $\cos \alpha > 0$, бетти өткөн агым ($N > 0$) оң болот, б.а. күч сызыктар нормал тургузулган беттен чыгат. Эгерде $\alpha > 90^\circ$, $\cos \alpha < 0$, агым терс деп алынат. Чекитүү q зарядынын түзгөн индукциясынын агымын эсептеп көрөлү. Борбору зарядда жаткан жана аны курчаган түйк сфераны жүргүзөлү. Анын сырткы бетине \vec{n} нормал тургузалы (I.8.2-чийме). Анда индукциянын агымы

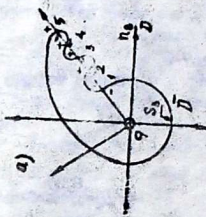
$$N = DS = \frac{1}{4\pi\epsilon_0} \frac{q}{r^2} \cdot 4\pi r^2 = q \quad (I.8.4)$$



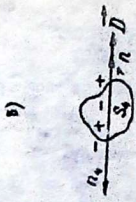
1.81-ЧУММЕ



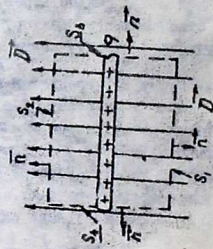
1.82-ЧУММЕ



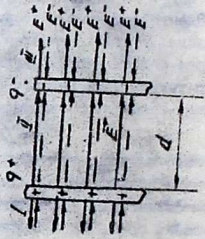
1.83-ЧУММЕ



1.84-ЧУММЕ



1.81-ЧУММЕ



1.82-ЧУММЕ

заряддын чоңдугуна барабар болот.

Бул туунта, борбору зарядка дал келген сфера үчүн эле туура болбостон, сферанын ичинин ар кандай чекитинде жайланышкан чекитүү заряд үчүн да туура болот,

$$N = \oint S_n dS = q \quad (I.8.5)$$

Себеби туюк бетти өткөн күч сызыктардын саны чекитүү заряддын жайланышкан абалына көз каранды болбойт. Эгерде, зарядды курчаган беттин калыбы сфера болбосо да (S_2), бирок ар бир күч сызык бул бетти бир жолу тешип өтсө, мурдагыдай эле электр агымы заряддын чоңдугуна ($N=q$) болот.

Эгерде "бырышкан" S_3 бет курчаган заряддын индукциясын эсептеш керелү. Мында кээ бир сызык ар бул бетти бир нече жолу тешип өтүшү мүмкүн (I.8.3-чиңме). Агымды эсептеш үчүн, күч сызык тешип өткөн беттин ар бир чекиттерине нормал тургузубуз. Анда биринчи чекиттен чыккан агым оң $N > 0$, $\vec{D} \parallel \vec{n}$ экинчи чекит үчүн $\vec{D} \parallel \vec{n}$ күч сызыктын багыты нормалга тескери багытталгандыктан агым тескери $N < 0$. Ошентип I жана 2,3 жана 4-чекиттердин агымдардын жалпы суммасы нөлгө барабар жана 5-чекиттен чыккан агым гана калат.

Ошентип мурдагыдай эле $N=q$. Ошондой эле эгерде биз таңдаган туюк төгиздик (S_4) зарядды курчабаса, электр индукциясынын агымы нөлгө барабар экендигин оңой эле көрүүгө болот.

Биз жогоруда чекитүү заряддын индукциясынын агымы, ал заряддын туюк беттин ичиндеги жайланышкан абалына көз каранды эмес экендигине ишендик.

Демек, туюк беттин ичинде бир нече заряддар жайланышса, алардын түзгөн индукция агымы ошол заряддардын алгебралык суммасына барабар экендигин оңой эле илөңүүгө болот.

$$N = \oint S_n dS = \sum_{i=1}^k q_i \quad (I.8.6.)$$

Бул туунта Остроградский - Гауссстун теңдемесинин математикалык аныктамасы болуп эсептелет, б.а. Туюк беттен чыккан электр индукциясынын агымы ошол беттин ичинде жайланышкан заряддардын алгебралык суммасына барабар.

Электр индукция векторунун өлчөө бирдиги: СИ системасында (I.8.1) формуладан

$$[D] = \frac{[q]}{[S]} = \frac{Кл}{м^2}$$

СГС, системасында $[D] = 1 \frac{CГC}{CM^2}$

1.9. ОСТРОГРАДСКИЙ-ГАУССТУН ТЕОРЕМАСЫН КОЛДСОНУУНУН МИСАЛДАРЫ.

1. Бир калыпта заряддалган чексиз тегиздиктин электр талаасы
 Мындай тегиздиктин электр талаасын (1.8.6.) - формуланы пайдаланып табабыз жана зарядды белгилүү деп эсептейбиз. Адегенде заряддар түзгөн D индукциянын күч сызыктарын көрсөтөбүз жана алар буд тегиздикке перпендикуляр болоруна оңой эле ишенүүгө болот (1.9.1-чийме). Белгилүү аяктагы заряддарды, 1.8.6-формуланы интегралдоого оңой болгондой калыптагы туюк бет менен курчообуз керек. Биздин шартта мындай бет катары тик бурчтуу параллелограмманы алуу ыңгайлуу. 1.9.1-чиймеде заряддалган тегиздиктин жана андагы туюк беттин кесилкинин көрсөтүлгөн. Бул параллелограмманын төмөнкү (S_1) жана жогорку S_2 негиздери барабар, каптал беттери S_3 жана S_4 барабар болушат. Ушун тегиздиктердин сырткы беттерине нормаль \vec{n} тургузабыз. Эми Остроградский-Гаусстун формуласын (1.8.6) төмөндөгүдөй жазууга болот

$$\oint D_n dS = D_n S_1 + D_{n2} S_2 + D_{n3} S_3 + D_{n4} S_4 = q \quad (1.9.1)$$

S_1 жана S_2 беттерине тургузулган нормалдар индукция векторуна каршы болгондуктан, $D_{n3} = D_{n4} = 0, \cos \alpha = 1$ болот, ал эми S_3 жана S_4 беттерине тургузулган нормалдар индукция векторуна перпендикуляр ($D \perp \vec{n}$) болгондуктан, $D_{n3} = D_{n4} = 0$. Параллелограмдын S_1 жана S_2 беттери барабар экендигин эске алып, 1.9.1-формуладан

$$2DS = q \quad (1.9.2)$$

туунтманы алабыз.

Мындан $D = \frac{q}{2S}$ таап, $\frac{q}{S} = \sigma$ - тегиздиктин бирдик бетине туура келген заряддардын чоңдугу, же болбосо заряддардын беттик тыгыздыгы деп белгилесек

$$D = \frac{\sigma}{2} \quad (1.9.3)$$

алабыз, б.а. бир калыпта заряддалган чексиз тегиздиктин электр индукциясы, заряддардын беттик тыгыздыгынын жарымына барабар.

1.8.1-формуланы колдонуп, электр талаасынын тыялышын табабыз

$$E = \frac{D}{\epsilon_0} = \frac{\sigma}{2\epsilon_0} \quad (1.9.4)$$

Берилген заряддар үчүн D жана E турактуу чоңдуктар болуп, аралыкка көз каранды эмес экен б.а. мындай заряддалган тегиздиктин айланасындагы мейкиндиктин ар кандай чекиттеринде электр талаасы бирдей болот экен. Мындай талааны бир тектүү (кальптагы) талаа деп атап коюшат жана аны бирдей тыгыздыктагы жарыш күч сызыктар менен сүрөттөп көрсөтүшөт (1.9.1-чийме).

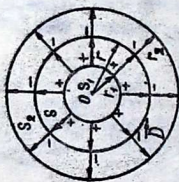
2. Жалпак конденсатордун электр талаасы. Мындай конденсатор катары эки жарыш жалпак тегиздиктердин катарын карайбыз (1.9.2-чийме). Конденсатордун тегиздиктеринин бирөөнө $q+$ заряддын берсек, экинчиси ошондой эле терс заряддалат ($q+ = q- = q$). Бул заряддалган тегиздиктердин ар бирөөнүн түзгөн талааларынын күч сызыктарын сызгалы. Оң заряддардын күч сызыктары E_+ тугал, ал эми терс заряддалган тегиздиктен чыккан E_- күч сызыктар үзгүлтүктүү жарыш сызыктар түрүндө көрсөтүлгөн. Тегиздиктердеги оң жана терс заряддар барабар ($q+ = -q- = q$) болгондуктан, 1.9.4-формуладан алар түзгөн талаалар да чоңдуктары боюнча бирдей, ($|E_+| = |E_-|$). Ошондуктан, конденсатор өөлөгөн мейкиндиктин I жана III бөлүмдөрүндө, $E_+ \parallel E_-$

бул талаалар карама-каршы багытталып, жалпы суммасы нөлгө барабар. Ал эми бул тегиздиктердин ортосунда (II-бөлүм) $E_+ \parallel E_-$ бул векторлор бир жакты кездей багытталгандыктан кошулушат жана жалпы электр талаасы $E = E_+ + E_- = 2E_+$ болот. 1.9.4-формуланы эске алсак, конденсатордун ичиндеги электр талаасынын тыялышы

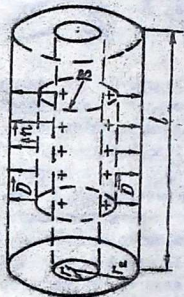
$$E = 2E_+ = \frac{\sigma}{\epsilon_0} \quad (1.9.5.)$$

барабар болот, б.а. заряддалган бир тегиздиктикке салыштырганда эки эсе чоң болот. Ошентип, мындай заряддалган конденсатордун электр талаасы сыртында жок болуп, ал эми ичинде бир тектүү талаа пайда болот экен.

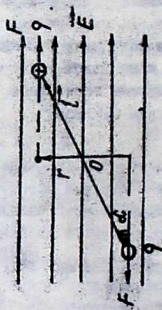
3. Бир кальпта заряддалган сфераны электр талаасы. Борборлош заряддалган эки шардын (шар конденсаторунун) ортосундагы электр талаасын карайлы (1.9.3.-чийме) ички шардын



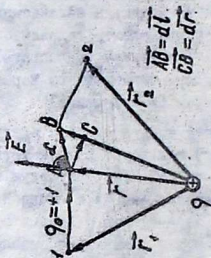
1.9.3 - QUADRE



1.9.4 - QUADRE



1.10.1 - QUADRE



2.1.1 - QUADRE

радиусу r_1 , сырткыны r_2 болсун. Эгерде сырткы шарга q -зарядын берсек, ички шарда ошондой эле чоңдуктагы оң заряд пайда болот ($q_+ = q_+ = q$). Оң жана терс заряддар бири бири менен тартышкандыктан, оң заряд ички шардын сырткы бетине, ал эми терс заряддар сырткы шардын ички бетине жайланышат. Бул заряддардын түзгөн электр талаасынын күч сызыктары ички шардагы оң заряддардан башталып, сырткы шардагы терс заряддарда бүткөн радиалдык сызыктардан болушат. Ички шардагы заряддарды курчаган туок бет катары радиусу болгон конденсаторго борборлош S сферанын алабыз. Остроградский-Гауссун теоремасынан $N = DS = D \cdot 4\pi r^2 = q$

ал эми мындан индукция вектору

$$D = \frac{1}{4\pi} \cdot \frac{q}{r^2} \quad (I.9.6.)$$

Талаанын чыңалышы үчүн

$$E = \frac{1}{4\pi\epsilon_0} \cdot \frac{q}{r^2} \quad (I.9.7)$$

туунталарды алабыз.

Акыркы формулалар чектүү заряддын түзгөн талаасынын туунтмасы менен дал келет б.а. заряддалган шардын сыртындагы электр талаасы, ошол шардын борборунда жаткан заряддар түзгөн электр талаасына барабар болот экен. Биз жогоруда, шар конденсаторунун ички шарынын ичинде, сырткы шарынын сыртында электр талаасы болбой тургандыгын көрсөтүк. I.9.6. жана I.9.7.-формулардан электр талаасын мүнөздөөчү чоңдуктар

D жана E сырткы шардын r_2 радиусуна көз каранды эмес экендигин байкайбыз. Эгерде калгыз шар көлөмү боюнча бирдей заряддалса, анда электр талаасынын борборунда гана жок болот, да ал эми шардын ичинин калган чекиттеринде радиустун өсүшү менен электр талаасынын чыңалышы радиусуна пропорциялаш болуп чоңоёт, б.а.

$$q \sim r^3, \quad E \sim 4\pi r^2 \sim r^2$$

Демек $E \sim r$

(I.9.II)

Мындай заряддалган шардын сыртындагы электр талаасы I.9.7-формула менен туунтулат.

4. БИР КАЛЫТТА ЗАРЯДДАЛГАН ЦИЛИНДРДИН ЭЛЕКТР ТАЛААСЫ.

Октош бири эквипотенциалга кийгизилген заряддалган өлкө цилиндр-

дин (цилиндр конденсаторунун) электр талаасына кеңүл буралы (1.9.4-чийме). Мурдагыдай эле бул цилиндридин бирине $+q$ зарядын берсек экинчисине ошондой эле чоңдуктагы терс заряд пайда болот. Цилиндрилердин узундугун алардын радиустарына салыштырганда өтө чоң деп алабыз ($l \gg r_1, r_2$). Мындай цилиндри чексиз узун деп кароого болот. Заряддардын түзгөн электр талаасынын күч сызыктары цилиндридин радиусу боюнча багыталып, ички цилиндриден башталып сырткысында бүтүшөт. Остроградский-Гаустун теоремасын колдонуш үчүн, ички цилиндридеги заряддарды курчаган радиусу r болгон туюк цилиндри (S) алабыз. Бул цилиндридин сырткы бетине n нормалын тургузуп $\vec{D}_n = \vec{D}$ экендигин керебүз. Эгерде цилиндридин бирдик узундугуна туура келүүчү зарядды деп белгилесек, узундукка жайланышкан заряддардын саны болот.

Биз таңдаган туюк цилиндридин негиздеринен чыккан талаанын агымы нөлгө барабар болгондуктан ($\vec{D} \perp \vec{n}$), цилиндридин каптал бетинен чыккан электр агымы. Остроградский-Гаустун формуласынан $N = D \cdot 2\pi r l = q l$

$$\text{же } D = \frac{1}{2\pi} \cdot \frac{q}{r} \quad (1.9.12)$$

же электр талаасынын чыңалышы үчүн

$$E = \frac{1}{\epsilon_0} \cdot \frac{q}{r} \quad (1.9.13)$$

туюнтманы алабыз. Заряддалган шар сыяктуу эле, талаанын чоңдугу сырткы цилиндридин радиусунан (r_2) кез келгенди эмес экен. Ошондуктан 1.9.12 жана 1.9.13-формуларды бир калыпта заряддалган цилиндридин электр талаасын мүнөздөйт деп айтууга болот.

1.10. ЭЛЕКТР ТАЛААСЫНДАГЫ ДИПОЛ

Белгилери карама каршы чоңдуктары бирдей болгон эки жайланышкан заряддарды электр диполу деп аташат (1.10.1-чийме). Мындай диполду бир тектүү электр талаасына жайлалтырсак Заряддарга карама каршы багыттагы эки F күчтөрү таасир этип, 0 чекитинин айланасында бурулушат.

Бул заряддарга таасир этүүчү күчтүн кыймы

$$\vec{M} = [\vec{F} \times \vec{r}] = q l E \sin \alpha \quad (1.10.1)$$

б.а. заряддын чоңдугу q менен алардын ортосундагы l аралыгынын көбөйтүндүсүнө барабар болот.

Эгерде биз q диполдун электрдик ийини деп атасак, күчтүн ийинин электрдик ийин менен төмөндөгүдөй байланышат.

$$\vec{M} = [\vec{p} \times \vec{E}] = pE \sin(\vec{p}, \vec{E}) \quad (1.10.2)$$

Диполь электр талаасында анын электрдик ийинин багыты талаанын сыңалынын багыты менен дал келгенге ($\alpha = 0$) айланат экен.

Электр диполунун жардамы менен физикадагы көп кубулуштар түшүндүрүлөт. Мисалы: диэлектриктердеги атомдорду жана молекулаларды, көз бир кристаллдардагы молекулаларды, өткөргүчтүн кесиндисиин электр талаасында диполдор катары каралышат.

Глава- 2. Потенциал, потенциалдардын айырмасы

2.1. Электростатикалык талаанын жумушу

Электр талаасынын касиетин тереңирөөк түшүнүш үчүн потенциалдардын айырмасы же электрдик сыңалуу деген түшүнүктөр киргизилет. Ал үчүн кыймылсыз турган q заряддын электр талаасындагы q_0 зарядды жылдыруудагы аткарылган жумушту карайлы (2.1.1-чийме). Кыймылсыз заряддын түзгөн талаасы электростатикалык деп аталат. Тынч турган $+q$ заряддын түзгөн сыңалыты болгон талаада I-чекиттен 2-чекитке өлчөгүч заряд $q_0 = +1$ жылып жумуш аткарылсын. Адегенде $d\vec{l}$ аралыкка жылганда элементардык жумуш

$$dA = Fd \cos \alpha = Fdr = \frac{1}{4\pi\epsilon_0} \frac{qq_0}{r^2} dr \quad (2.1.1)$$

аткарылат, мында $dr = dl \cos \alpha$. Ал эми I-чекиттен 2-чекитке зарядды жылдырууга жумшалган жумуш төмөндөгүдөй аныкталат

$$A_{1,2} = \int_1^2 dA = \frac{qq_0}{4\pi\epsilon_0} \int_{r_1}^{r_2} \frac{dr}{r^2} = \frac{qq_0}{4\pi\epsilon_0} \left(\frac{1}{r_1} - \frac{1}{r_2} \right) \quad (2.1.2)$$

мында r_1 жана r_2 өлчөгүч заряддын I-жана 2-чекиттеги абалдарын мүнөздөөчү радиус-векторлор.

Бул туунгмадан, электростатикалык талаада аткарылган жумуш жылуучу зарядды баштапкы жана аяркы абалдарына гана көз каранды болуп, басып өткөн жолдун узундугуна барабар болбойт экен.

Миңдай талаа потенциалдуу деп аталат. Ошол эле заряддын акыркы абалдан мурдакы абалга (I-чекитке) келгендеги жумушун карасак (2.1.2-чийме), ал

$$A_{21} = \frac{q_1 q_2}{4\pi \epsilon_0} \left(\frac{1}{r_2} - \frac{1}{r_1} \right) \quad (2.1.3.)$$

барабар жана $A_{21} = -A_{12}$ болоруна ошол эле мезгилге болот. Эми ушул заряддын I-чекиттен чыгып, I-а-2 жолду басып, кайра 2-в-I жол менен баштапкы абалына айланып келгендеги толук жумушту эсептесек

$$A = A_{12} + A_{21} = A_{12} - A_{12} = 0 \quad (2.1.4)$$

нөлгө барабар болорун алабыз, б.а. электростатикалык талаанын зарядды турук жол боюнча жылдыруудагы жумушу нөлгө барабар экен, 2.1.4 туунтманы төмөндөгүгө жазууга болот

$$A = \oint_{L} dA = \oint_{L} F dl = \oint_{L} q_0 E dl \cos \alpha = q_0 \oint_{L} E_l dl = 0$$

Миңда q_0 -турук L жолу боюнча интегралдын белгиси $E_l = E \cos \alpha$ электр талаасынын заряд басып, өткөн жолуна түшкөн проекциясы б.а.

$$\oint_{L} E_l dl = 0 \quad (2.1.6)$$

Бул туунтма электр талаасынын циркуляциясы деп аталат, электр талаасынын бирдик зарядды $q_0 = 1$ турук L жолу боюнча аткарган жумушун мүнөздөйт. Эгерде талаанын циркуляциясы нөлгө барабар болсо, талаанын потенциалдуу деп аталат. Демек электростатикалык талаа потенциалдуу экен. Физикалык мааниси-электростатикалык талаа ошол заряддардан башталып терс заряддарга киришет (1.7.3.-чийме), б.а. талаанын күч сызыктары турук болушбайт. Биз кыймылсыз бир заряддын электр талаасындагы жумушту карадык. Эгерде кыймылсыз топ заряддардын электростатикалык талаасындагы аткарылган жумушту карасак, жанын жумуш

$$A = \sum_{i=1}^N A_i \quad (2.17)$$

ар бир заряд түзгөн талаанын аткарган A_i жумуштарынын алгебралык суммасына барабар болот. Ар бир заряд түзгөн электр талаасы потенциалдуу болгондуктан, кыймылсыз заряддардын тобунун түзгөн электр талаасы да потенциалдуу (электро-

статикалык) болот.

2.2. Потенциал. Потенциалдардын айырмасы. Электр талаасынын чыңалышы менен потенциалдар айырмасынын байланышы.

Электростатикалык талаанын аткарган жумушуна (2.1.2) дагы көңүл буралы,

$$A_{12} = \frac{q_0}{4\pi\epsilon_0} \left(\frac{1}{r_1} - \frac{1}{r_2} \right) = \frac{q_0}{4\pi\epsilon_0} \left(\frac{1}{r_1} - \frac{1}{r_2} \right), \quad (2.2.1)$$

Механикадагы потенциалдуу талаадагы аткарылган жумуш менен потенциалдуу энергиялар жөнүндөгү түшүнүктөрдү естеп, электростатикалык талаанын аткарган жумушуна (2.2.1) салыштырып, барабардыктын оң жагындагы мүчөлөрдү

$$\frac{1}{4\pi\epsilon_0} \frac{q_0}{r_1} = W_{p1}, \quad \frac{1}{4\pi\epsilon_0} \frac{q_0}{r_2} = W_{p2} \quad (2.2.2)$$

q заряды түзгөн электр талаасындагы өлчөгүч q_0 заряддын биринчи (r_1) жана экинчи (r_2) абалдарындагы потенциалдык энергиясы деп алсак болот, б.а.

$$A_{12} = W_{p1} - W_{p2} \quad (2.2.3)$$

Эгерде биз бул потенциалдык энергиялардын өлчөгүчдөгү зарядка болгон катышын алсак,

$$\frac{W_{p1}}{q_0} = \frac{1}{4\pi\epsilon_0} \frac{q}{r_1} = \varphi_1, \quad \frac{W_{p2}}{q_0} = \frac{1}{4\pi\epsilon_0} \frac{q}{r_2} = \varphi_2 \quad (2.2.4)$$

бул чоңдуктар талааны түзгөн q зарядынын чоңдугуна жана өлчөгүч заряддын мейкиндиктеги абалына (r_1, r_2) гана көз каранды болот экен. Ошондуктан, бул чоңдуктарды электростатикалык талааны мүнөздөөчү чоңдук катары пайдаланууга болот жана алар талаанын берилчек чекиттеги потенциалы деп аталат. Потенциал сан жагынан талаанын берилген чекитиндеги бирдик оң заряддын потенциалдык энергиясына барабар.

Аткарылган жумушту (A_{12}) талаанын потенциалдары аркылуу төмөнкүдөй жазып алууга болот

$$A_{12} = W_{p1} - W_{p2} = q_0(\varphi_1 - \varphi_2) = -q_0(\varphi_2 - \varphi_1), \quad (2.2.5)$$

талаанын потенциалын жумуш аркылуу өлчөөгө болот экен, бирок талаанын берилген чекитиндеги потенциалдын аныкташ үчүн анын башка чекитиндеги потенциалы белгилүү болуш керек. Демек, талаанын экинчи чекитин чексизде жайланышат ($r_2 \rightarrow \infty$)

деп алынат жана $\varphi_2 = 0$ болот. Мындай шартта биринчи чекиттеги потенциал

$$\varphi_1 = \frac{A_{1\infty}}{q_0}$$

электр талаасынын бирдик оң зарядды берилген чекиттен чексизге жылдырган жумушка барабар болот экен.

$$\varphi_2 - \varphi_1 = \Delta\varphi = U_{21} = U \quad (2.2.6)$$

Бул туурганда, талаадагы потенциалдардын айырмасы ($\Delta\varphi$) же чыңалуусу же чыңалуунун төмөндөлү (U) деп аталат.

2.2.5 - 2.2.6 - формулалардан

$$\Delta\varphi = \varphi_2 - \varphi_1 = A_{21}/q_n \quad (2.2.7)$$

потенциалдардын айырмасы талаанын экинчи (r_2) чекитинен биринчи (r_1) чекитине бирдик оң зарядды жылдыргандагы жумушка барабар экен.

Ошентип, потенциал, потенциалдардын айырмасы же чыңалуу электр талаасын энергетикалык (жумуш аркылуу) мүнөздөөчү чоңдук экен. Эми электр талаасын мүнөздөөчү күчтүк (вектордук) чоңдук - талаанын чыңалышы E менен потенциалдардын айырмасынын ортосундагы байланышты табайлы.

2.2.5. жана 2.1.6 формулалардан

$$\text{Мындан } A_{12} = -q_n(\varphi_2 - \varphi_1) = -q_n U = +q_n \int_1^2 E_{\parallel} dl \quad (2.2.8)$$

бул туурганда $\frac{dA_{12}}{dl}$ - потенциалдын өзгөрүшү, dl - жылыш вектору. dU/dl - потенциалдын берилген багыт боюнча өзгөрүшүнүн ылдамдыгы мүнөздөйт. Жалпы жөнүнөн электр талаасынын чыңалышын E потенциалдын градиенти аркылуу байланыштырып көрсөтүшөт,

$$\vec{E} = -\text{grad } \varphi \quad (2.2.9)$$

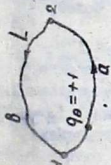
Скалярдык ар кандай φ чоңдугунун градиенти ошол чоңдуктун тез өсүүчү багыты менен дал келүүчү вектор болуп эсептелет, б.а. электр талаасынын чыңалышты терс белгидеги потенциалдын градиентине барабар.

Потенциал же чыңалуунун өлчөө бирдиги:

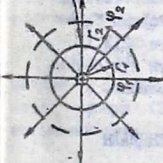
СИ системасында $[\varphi] = [U] = \text{Вольт (В)}$

СГСЭ системасында $[\varphi] = [U] = [r/c]$

Эквипотенциалдуу бет - потенциалдары бардык чекиттеринде бирдей болгон бетти аташат. Эквипотенциалдуу беттин жардамчы менен электр талаасын график түрүндө көрсөтүүгө болот.

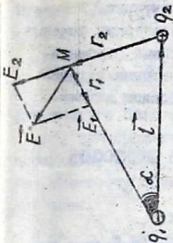


2.1.2 - QUUIME.

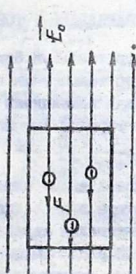


2.3.1 - QUUIME

3-ВУЛОМ-НАУЛУГДАК СЕМ



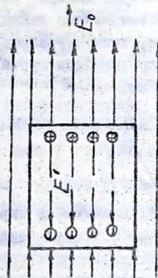
2.3.2 - QUUIME



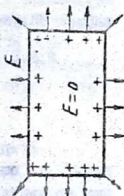
3.1.1 a QUUIME



3.1.2 a QUUIME



3.1.1 E QUUIME



3.1.2 E QUUIME

Потенциалдары бирдей болгон чекиттерди бириктирип, эквипотенциалдуу сызыктарды алабыз. Электр талаасынын чыңалыш \vec{E} вектору эквипотенциалдык линияларга дайыма перпендикуляр болот. Мисалы, чекиттүү заряддын талаасынын эквипотенциалдык сызыктары зарядды курчаган борборлош аймалардан болушат. (2.3.1-чийме)

2.3. ЭЛЕКТР ТАЛААСЫНЫН ПОТЕНЦИАЛДАРЫН АНЫКТОСУНУ МИСАЛДАРЫ

1. Чекиттүү заряддын потенциалы

Эгерде мейкиндиктин ар бир чекитинде талаанын чыңалышы же ошол талааны түзгөн заряд белгилүү болсо, талаанын ар кандай чекитиндеги потенциалды аныктоого болот. Аныктама бөрнчө талаанын потенциалы ошол берилген чекиттен бирдик оң зарядды чексизге жыдырууга зарыл жумушуна барабар

$$\varphi = \frac{A_{1\infty}}{q_0} = \int_r^\infty \vec{E} dr = \frac{q}{4\pi\epsilon_0} \int_r^\infty \frac{dr}{r^2} = \frac{1}{4\pi\epsilon_0} \frac{q}{r} \quad (2.3.1)$$

Б.а. чекиттүү q заряддын потенциалы аралыкка тескери пропорциялаш болуп өзгөрөт жана эквипотенциалдык бетте борборлош, зарядды курчаган сфералар болушуп (2.3.1-чийме), электр талаасынын чыңалыш векторлорунун күч сызыктары бул сфералык беттерге перпендикуляр болушат.

2. ЧЕКИТТҮҮ ЗАРЯДДАРДЫН ТОБУНУН ПОТЕНЦИАЛЫ

Эгерде электр талаасын бир нече чекиттүү заряддар түзсө, алардын электр талаасынын чыңалыштары векторлор түрүндө кошулушса, жалпы потенциалы ар бир заряддын түзгөн потенциалдарынын алгебралык суммасына барабар болот,

$$\varphi = \sum_{i=1}^N \varphi_i = \frac{1}{4\pi\epsilon_0} \sum_{i=1}^N \frac{q_i}{r_i} \quad (2.3.2.)$$

Мында q_i заряддын потенциалды өлчөөчү чекитке чейинки r_i аралык. Мисал катары электр диполунун түзгөн талаасынын M -чекитиндеги потенциалын карайлы (2.3.2-чийме) ($q_1 = -q_2 = q$). Жогорку формуладан (2.3.2) M чекитиндеги потенциал

$$\varphi = \frac{q}{4\pi\epsilon_0} \left(\frac{1}{r_2} - \frac{1}{r_1} \right) \text{ аныкталат.}$$

Эгерде r_1, r_2

болсо $r_1, r_2 = r^2$

$$r_1 - r_2 = l \cos \alpha \quad \text{болот, анда}$$

$$\varphi = \frac{1}{4\pi\epsilon_0} \frac{q \cos \alpha}{r^2} = \frac{1}{4\pi\epsilon_0} \frac{q \cos \alpha}{r^2} \quad (2.3.3)$$

деп жазууга болот, б.а. потенциал диполдун электр ийини \vec{P} туз пропорциялаш, аралыктын квадратына тескери пропорциялаш, болуп, диполго салыштырмалуу талаанын потенциалын аныктоочу чекиттин абалына (α бурчунда) караба болот экен.

3. ШАР КОНДЕНСАТОРУНУН ПОТЕНЦИАЛЫ.

Шар конденсаторунун электр талаасынын чыңалышын (E) 1.9 караганбыз (1.9.3-чийме). Эми ошол талаанын потенциалын аныктайты. Электр талаасы шарлардын ортосунда гана болгондуктан потенциалды да талаа бар мейкичиликтен издейбиз. Борбордон кандайдыр бир аралыгындагы потенциал

$$\varphi = \int_{r_1}^{r_2} E dr = \frac{q}{4\pi\epsilon_0} \int_{r_1}^{r_2} \frac{dr}{r^2} = \frac{q}{4\pi\epsilon_0} \left(\frac{1}{r_1} - \frac{1}{r_2} \right) \quad (2.2.4)$$

барабар болот. Конденсатордун ички жана сырткы шарларынын радиустары r_1, r_2 турактуу болгондуктан,

$$\varphi = \frac{q}{4\pi\epsilon_0} \left(\frac{1}{r_1} - \frac{1}{r_2} \right) \quad (2.2.5) \quad \text{турактуу чоңдук болот.}$$

Мындан $q = 4\pi\epsilon_0 \varphi_0 \frac{r_2 r_1}{r_2 - r_1}$ (2.2.5)

заряд q нун (2.2.5) маанисин (2.2.4) формулага коюп, потенциал үчүн

$$\varphi = \varphi_0 \frac{(r_2 - r_1) r_2}{r(r_2 - r_1)} \quad (2.2.6)$$

туунтманы алабыз. Берилген конденсаторго белгилүү q зарядын берсек φ_0 турактуу чоңдук болот. 2.2.6 формуланы пайдаланып, шар конденсаторунун ичиндеги ар кандай чекиттеги (r) потенциалды аныктоого болот.

Глава-3. ЭЛЕКТР ТАЛААСЫНДАГЫ ӨТКӨРГҮЧТӨР

3.1. Өткөргүчтөрдүн электр талаасындагы абалы

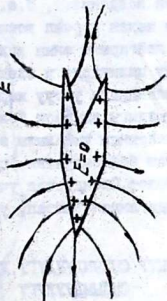
Өткөргүчтөрдө эркин электрондор болгондуктан, кандайдыр сырткы күчтүн таасири астында алар өткөргүч боюнча

кыла алышат. Эгерде өткөргүчтүн бир бөлүгүн электр талаасына жайгаштырсак, андагы электрондорго электр талаасы таасир этип ($\vec{F} = e\vec{E}$), багытталган кыймылга келишип, токтун пайда кылышат. Бирок, бул ток өтө кичине убакытта эле токтоп калат. Себеби, электрондор өткөргүчтүн чыгып кете албайт да анын бир учуна жыйналат, ал эми карама каршы учуна оң заряддар чогулат (3.1.1.-чийме). Мындай абалды (ток токтогондо) оң жана терс заряддардын тең салмактуу абалы менен түшүндүрүлөт жана ал үчүн төмөнкү шарттар талап кылынат: 1. Өткөргүчтүн ичинде электр талаасы жок ($E=0$), же өткөргүчтүн ичинде потенциал турактуу болот ($\varphi = \text{const}$) (3.1.2^a-чийме).

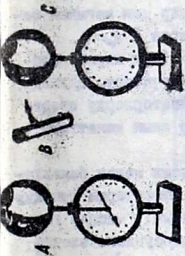
2. Өткөргүчтүн сырткы бетинин ар бир чекитине электр талаасынын чыңалышынын күч сызыктары перпендикуляр багытталат. Ошондуктан өткөргүчтүн сырткы бети эквипотенциалдык бет болот. (3.1.2^b-чийме). Эгерде өткөргүчтү заряддасак, анда заряддар тең салмактуулук сакталгандай болушуп жайгарышат (3.1.2^b-чийме). Өткөргүчтүн ичинде электр талаасы жок болгондуктан, Остроградский-Гауссун теоремасы боюнча заряддардын суммасы да нөлгө барабар болот. Ая эми сырттан берилген заряддар өткөргүчтүн сырткы бетине тең салмактуулуктун шарттары сакталгандай болуп жайгарышат. Ошондуктан мындай өткөргүчтүн ички бөлүгүн алып салса да сырткы заряддын жайгарышына таасирин тийгизбейт. Мисал катары ичи көңдөй металлдан жасалган шарды изоляторго бекитип заряддайбыз. Учунда металл шарчасы бар изолятордон жасалган В таякчасын С электрометрдин кармамы менен көңдөй А шардагы заряддардын жайгарышын изилдейбиз (3.1.3-чийме) Адегенде А шарчасын заряддайбыз В таякчасын А шарынын тешиги аркылуу ичинде тийгизип анан электрометрге тийгизебиз электрометр өч нерсе көрсөтбөйт. Эгерде В таякчасын А шарынын сырткы бетине анан С электрометрине тийгизсек анын жебеси кыйшаат. Демек, көңдөй металлдан жасалган шарды заряддаганда заряддар анын сырткы бетинде гана жайгарышат экен. Экинчи мисал катары, изолятордон жасалган таякчаларга тартылган, эки бетине жеңил кагаз баракчалары илинген металл торчону карайбыз (3.1.4-чийме). Бул торчону заряддасак анда эки бетин-



3.1.4 - QUADRE



3.1.6 - QUADRE



3.1.9 - QUADRE



3.1.5 - QUADRE

деги баракчалар ачылат. Эгер бул торчону туюктап цилиндр жасасак ичирдеги баракчалар түшүп, сыртындагылар көбүрөөк көтөрүлөт, б.а. заряддардын бардыгы торчо цилиндринин сыртына чыгат (3.1.5-чийме). Өткөргүчтүн бул касиети электр аппараттарды сырткы электр талааларынан коргоо (экрандоо) үчүн колдонулат, б.а. аппараттарды металлдан жасалган торчо менен курчап коюшат. Заряддардын металлдардын бетине жайгарышы анын калыбына караша болот. 3.1.6-чиймеде учтуу цилиндрдеги электр заряддын жайгарышы көрсөтүлгөн. Цилиндрдин учтуу жеринде заряддар тыгызыраак, чуңкурунда тыгыздыгы азыраак болуп жайланышат.

Электр талаасынын чыңалышы заряддарды тыгыздыгына түз пропорциялаш болгондуктан, цилиндрдин учтуу жеринде талаа күчтүү болот. Ошондуктан учтуу металлдарды белгилүү чоңдукка зарядлагандан баштап, учунан заряддар "учуп" чыга баштайт.

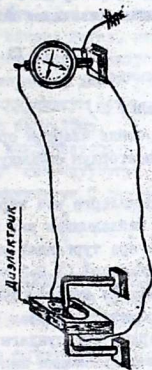
3.2. ЭЛЕКТР СИЗЫМДУУЛУГУ ЖӨНӨНӨЛ КОНДЕНСАТОРДУН СИЗЫМДУУЛУГУ

Ортосундагы электр талаасынын күч сызыктары биринен башталып экинчисинде бүткөн эки өткөргүчтү конденсатор деп аташат. Өткөргүчтөрдүн ортосунда талаа пайда болсун үчүн аларды заряддоо керек. Биринен башталган күч сызыктар экинчисинде бүтсүн үчүн алардагы заряддар сая кагынан баарбар, белгилери карама-каршы болушу зарыл ($Q_+ = Q_-$)

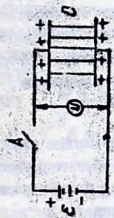
Эң жөнөкөй конденсаторлорго калпак (эки жарым пластиналар), шар (бөрборлөш эки сфера өткөргүчтөрү, цилиндр (эки ойтөш өткөргүч-цилиндрлер) конденсаторлорду атаого болот. Конденсаторду түзүүчү өткөргүчтөр анын канаттары (обкладкчалары) деп аталат.

Конденсаторду чиймеде эки жарым сызык менен белгилешет. Конденсаторду заряддап үчүн анын канаттарын чыңалууну булагына туташтыруу керек (3.2.1-чийме), мисалы гальваникалык элементинин батареясынын ортосундагы электр талаасынын чыңалышы алардагы заряддын чоңдугуна түз пропорциялаш.

Конденсаторлордун заряддарды жыйноо жөндөмдүүлүгү



3.2.2 - ЧУММЕ



3.2.1 - ЧУММЕ

электр сыймдуулугу менен мүнөздөлөт. Электр сыймдуулугу (C) конденсатордогу заряддардын чоңдугуна (q) түз пропорциялаш,, ал эми обкладкалардын ортосундагы чыңалууга (U) тескери пропорциялаш болгон физикалык чоңдук,

$$C = \frac{q}{U} \quad (3.2.1)$$

Сыймдуулуктун бирдиги СИ системасында

$$[C] = \frac{[q]}{[U]} = \frac{Kл}{В} = \text{Фарада (Ф)}$$

1. Эгерде канаттарына I Кл заряд бергенде алардын ортосунда I В чыңалуу пайда болсо, конденсатордун сыймдуулугу I Ф болот.

Конденсатордун сыймдуулугу, өмчөлөргө көз каранды? Бул суроого жооп берүү үчүн жарыш жайланыпкан эки металл дискалардын ортосундагы аралык өзгөрө тургандай кылып изоляторго бекитебиз (жалпак конденсатор) (3.2.2-чийме). Конденсатордун дискаларын электрометрге туташтырабыз. Конденсаторго заряд берилгенде электрометрдин жебеси белгилүү бурчка кыйшат. Электрометр канаттардын ортосундагы чыңалуунун (потенциалдардын айырмасын) өлчөйт. Биздин шартта, конденсатордогу заряддын чоңдугу турактуу ($q = const$).

1. Канаттарды бири биринен алыстатканда электрометрдин жебеси чоңураак бурчка кыйшат, ал эми аларды какындатсаң чыңалуу азайганын көрөбүз. 3.2.1-формуладан

$$U = \frac{q}{C} \quad (3.2.2)$$

Заряд турактуу болгондуктан, чыңалуунун көбөйтүшү сыймдуулук (C) азайганда болушу мүмкүн, же тескерисинче сыймдуулук көбөйсө чыңалуу азаят. Ошентип, бул тажрыйбадан конденсатордун сыймдуулугу анын канаттарынын ортосундагы аралыкка тескери пропорциялаш экендигин аныктадык,

$$C \sim \frac{1}{d} \quad (3.2.3.)$$

Конденсатордун канаттарын белгилүү аралыкка жайгаштырып ($d = const$) электрометрдин жебесинин абалын байкап, дискаларды жарыш тегиздикте карама-каршы багытта жылдырабыз. Мындай кылганга бири биринин каршысындагы дискалардын аянты өзгөрөт. Мындан биз сыймдуулук дисканын аянтына түз пропорциялаш экендигине ишенебиз

3. Эки канатты белгилүү аралыкка кооп жана заряддап ($d = \text{const}, q = \text{const}$), электрометрдин жебесинин абалын байкап көрөбүз. Эки канаттын ортосуна ар түрдүү диэлектриктерди айнек, кагаз, пластик ж.б. киргизебиз. Диэлектрикти киргизгенде электрометрдин жебесинин төмөнүрөөк түшкөнүн көрөбүз, демек конденсатордун сыйымдуулугу чоңоёт экен. Сыйымдуулуктун өзгөрүшү ар түрдүү заттар үчүн ар башка болорун байкайбыз.

Эгерде конденсатордун канаттарынын ортосунда вакуум болгондогу сыйымдуулугун C_0 , ал эми диэлектрик салынгандагы сыйымдуулугун C деп белгилесек, бул эки чоңдуктун катышы

$$\frac{C}{C_0} = \epsilon$$

(3.2.5)

затты диэлектриктик өтүмдүүлүгү деп атайт. Диэлектриктик өтүмдүүлүк заттардын электрдик касиетин мүнөздөйт жана заттын касиетине, абалына жараша болот.

3.3. СЫЙЫМДУУЛУКТУ АНЫКТООНУН МИСАЛДАРЫ

Эгер конденсаторлордогу заряддар q белгилүү болсо, жана заряд аркылуу канаттарынын ортосундагы чыңалуу U аныкталса, сыйымдуулукту табууга болот.

1. Далпак конденсатордун сыйымдуулугу

Конденсатордун пластиналарынын ортосундагы аралыктын алардын өлчөмдөрүнө салыштырганда өтө кичинекей деп алсак, чексиз өлчөмдүү пластиналардай турган конденсатор үчүн табылган чыңалыштын формуласын колдонсок болот (1.9.5. формуланы кара). Далпак конденсатордун канаттарынын ортосундагы чыңалуу (1.9.2-формула):

$$U = \int_0^d E dx = \frac{\sigma}{\epsilon_0} \int_0^d dx = \frac{\sigma}{\epsilon_0} d. \quad (3.3.1)$$

Мында $\sigma = q/S$ заряддын беттик тыгыздыгы, d - канаттардын ортосундагы аралык. Бул формуланы сыйымдуулуктун формуласына (3.2.1) кооп

$$C = \frac{q}{U} = \frac{q\epsilon_0}{\sigma d} = \epsilon_0 \frac{S}{d} \quad (3.3.2)$$

Эгерде конденсатордун канаттарынын ортосу диэлектриктик өтүмдүүлүгү ϵ болгон диэлектрик менен толтурулган болсо, анын сыйымдуулугу C өсө чоң боло:

$$\text{б.в.} \quad C = \epsilon \epsilon_0 \frac{S}{d} \quad (3.3.3)$$

Бул туунтмалар (3.3.2, 3.3.3) жалпак конденсаторлордун сыйымдуулугун аныктайт.

2. Шар конденсатору. Эгерде мындай конденсатордогу заряд q болсо, анын канаттарынын ортосундагы чыңалуу 2.2.5-формуланын негизинде (1.9.3 - чийме)

$$U = \frac{q}{4\pi\epsilon_0} \left(\frac{1}{r_1} - \frac{1}{r_2} \right) \quad (3.3.4)$$

барabar мында r_1, r_2 ички жана сырткы сфера канаттарынын радиустары. Анда конденсаторунун сыйымдуулугу

$$C = \frac{q}{U} = \frac{4\pi\epsilon_0}{\frac{1}{r_1} - \frac{1}{r_2}} = 4\pi\epsilon_0 \frac{r_1 r_2}{r_2 - r_1} \quad (3.3.5)$$

барabar болот. Эң четки учурларын карайлы: $r_2 \gg r_1, \frac{1}{r_2} \rightarrow 0$ ал эми сыйымдуулук

$$C = 4\pi\epsilon_0 r_1 \quad (3.3.5)$$

Бул жалгыз шардын сыйымдуулугу деп аталат жана анын радиусуна түз пропорциялаш өкөн

d /эки сферанын ортосундагы аралык d өтө кичинекей,

б.в. $r_2 \approx r_1$ Бул шартта конденсатордун сыйымдуулугу ($d = r_2 - r_1; r_1 \cdot r_2 \approx r^2$)

$$C = 4\pi\epsilon_0 \frac{r^2}{d} = \epsilon_0 \frac{S}{d} \quad (3.3.6)$$

Мында $S = 4\pi r^2$ сфералык беттин аянты.

Бул формуланы жалпак конденсатордун сыйымдуулугу (3.3.2) менен салыштырып, шар конденсаторун, канаттары бири-бирине өтө жакын жайланышканда жалпак конденсатор деп кароого болот экен.

3.4. КОНДЕНСАТОРЛОРДУ ТУТАШТЫРУУ

Конденсаторду ылайыкталган чыңалуудан чоң потенциалдардын айырмасына туташтырсак, канаттарынын ортосунан электр калыны чыгып тешилет (иптен чыгат). Мындай чыңалууну тешүүнү деп аташат.

Конденсаторлор электротехника, радиотехника ж.б. тармак-

тарда өтө кеңири колдонулат. Өнөр жайдан ар түрдүү типтеги (кагаздан, электролиттик, өзгөрмөлүү ж.б.) белгилүү чыңалууга жана сыйымдуулукка ылайыкталган конденсаторлор чыгарылат. Турмушта даяр конденсатордун параметрине туура келбеген сыйымдуулуктагы жана чыңалууга эсептелген конденсаторлор керек болот.

Мындай керектүү сыйымдуулуктагы жана чыңалууга эсептелген конденсаторду алыш үчүн колдо бар конденсаторлорду жарыш жана удаалаш туташтыруу керек.

I. ЖАРЫШ ТУТАШТЫРУУ

Конденсаторлорду жарыш туташтырганда (3.4.1-чийме) алар үчүн берилген чыңалуу жалпы болот,

$$q_1 = C_1 U, \quad q_2 = C_2 U, \dots, \quad q_n = C_n U \quad (3.4.1)$$

Конденсаторлордогу жалпы заряд алардын ар бириндеги заряддардын суммасына барабар болот

$$q = \sum_{i=1}^n q_i = U \sum_{i=1}^n C_i \quad (3.4.2)$$

Бул туюнтмадан

$$C = \frac{q}{U} = \sum_{i=1}^n C_i = C_1 + C_2 + \dots + C_n \quad (3.4.3)$$

Конденсаторлор жарыш туташтырганда алардын сыйымдуулуктары кошуларын, ал эми чыңалуу өзгөрбөсүн көрөбүз.

2. Удаалаш туташтыруу. Конденсаторлордун канаттары бир тизмекке тизилип, чыңалуу булагына туташтырганда, ар биринде чоңдуктары барабар болгон заряддар индукцияланышат (3.4.2-чийме)

$$q_1 = q_2 = q_3 = \dots = q_n \quad (3.4.4)$$

Конденсаторлордун сыйымдуулуктары ар түрдүү болгондуктан, алардын ар биринин канаттарындагы чыңалуулар айырмаланышат

$$U_1 = q/C_1, \quad U_2 = q/C_2, \dots, \quad U_n = q/C_n \quad (3.4.5)$$

Бул чыңалуулардын суммасы удаалаш туташтырылган конденсатордун батареясына берилген потенциалдардын айырмасына барабар болот

$$U = U_1 + U_2 + \dots + U_n = \sum_{i=1}^n U_i = q \sum_{i=1}^n \frac{1}{C_i} \quad (3.4.6)$$

Бул тунтмадан конденсаторлордун удаалаш туташтырылган батерияларнын жалпы сыйымдуулугу

$$\frac{1}{C} = \frac{1}{C_1} + \frac{1}{C_2} + \dots + \frac{1}{C_n} \quad (3.4.7)$$

ар биринин сыйымдуулугуна тескери пропорциялаш болуп кошулушарын көрөбүз. Мындай кошкондо жалпы сыйымдуулук азаят, бирок тешүүчү чыңалуу (жогорку чыңалууга иштөө жөндөмдүүлүгү) көбөйт.

Эгерде бизге сыйымдуулугу жана тешүүчү чыңалуусу чоң конденсатор керек болсо, анда колдо бар конденсаторлорду жарыш жана удаалаш туташтыруу керек (3.4.3-чийме)

3.5. ЗАРЯДДАЛГАН КОНДЕНСАТОРДУН ЭНЕРГИЯСЫ. ЭЛЕКТР ТАЛААСЫНЫН ЭНЕРГИЯСЫ

Биз төмөндөгү гадыйбага көңүл буралы (3.5.1-чийме). Конденсаторду адегенде ток булагынын батериясына (Б) туташтырып, U чыңалуусуна чейин заряддайлы. Андан кийин A алакошкучту 1-абалдан 2-абалга көтөрсөк, конденсатор лампача аркылуу чыңырга тункташат жана A лампачанын жаш өткөнгөн көрөбүз. Демек, заряддалган конденсатордо энергия толтолот экен. Бул энергия эмнеге барабар? Конденсаторго лампачаны кошкондо анын канаттарындагы электр заряддары лампача аркылуу разряддашып чыңырга ток пайда болот. Эгерде мындай кубулушта dq заряды разряддалса анда аткарылган жумуш

$$dA = U dq \quad (3.5.1)$$

барабар болот. $U = q/C$ болгондуктан 3.5.1-тунтмадан алабыз

$$dA = \frac{q}{C} dq \quad (3.5.2) \text{ алабыз}$$

Конденсатор толук разряддалгандагы жумуш ошол конденсаторго толтолгон энергияга W барабар болот, б.а.

$$A = W = \frac{1}{C} \int q dq = \frac{1}{C} \frac{q^2}{2} \quad (3.5.3)$$

эгерде зарядды ($q = UC$) чыңалуу аркылуу тундурсак, аткарылган жумушту конденсатордун сыйымдуулугу жана чыңалуусу аркылуу тунтабыз

$$W = \frac{1}{2} CU^2 \quad (3.5.4)$$

Ушун аде жол менен бул формуланы заряд q жана чыңалуу U

аркылуу тунтуса да болот

$$W = \frac{1}{2} q U \quad (3.5.5)$$

Бул тунтумалардын (3.5.3- 3.5.5) заряддалган конденсатордогу энергия, топтолгон заряддын чоңдугуна, сыймдуулукка жана заряддалгандагы чыңалуунун U чоңдугуна жараша болот экен.

Эми ушул заряддалган конденсатордогу энергия инын кайсыл жеринде сакталат - заряддар топтолгон канаттардабы, же канаттарынын аралыгында пайда болгон электр талаасындабы деген суроо туулат.

Бул суроого электростатикада (турактуу электр талаасында) так жооп берүү кыйын, себеби заряддарды электр талаасынан ажыратууга мүмкүн эмес. Бур суроого ачык жоопту электромагниттик талаачы караганда алууга болот.

Электромагниттик толкундар энергия алып жүрөрүн (радиостанциядан үналгыга, телестанциядан сыналгыга) бардыгыбызга белгилүү. Бул толкундар заряддардан бөлүнүп мейкиндикте таралышат б.а. заряддар жок болсо деле жоголушбайт.

Ошондуктан, электромагниттик толкунда энергия топтолот. Ал эми бул толкун өзгөрмөлүү электр жана магнит талааларынан тұрандыктан, заряддалган конденсатордо энергия канаттарынын ортосундагы электр талаасы бар мейкиндикте сакталат деп жыйынтык чыгарууга болот.

Конденсатордогу энергияны электр талаасынын чыңалышы менен тунтуп керелү, 3.5.4 формуланы жалпак конденсаторго колдонуп, анын сыймдуулугун $C = \epsilon \epsilon_0 S/q$ пайдаланып, жана өзгөртүп

$$W = \frac{1}{2} \epsilon \epsilon_0 \frac{S}{d} U^2 = \frac{1}{2} \epsilon \epsilon_0 (U/d)^2 Sd$$

Мында $E = \frac{U}{d}$, $Sd = V$

көлөм экендигин өскө алсак

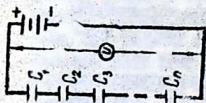
$$W = \frac{1}{2} \epsilon \epsilon_0 E^2 V \quad (3.5.6.)$$

Бул конденсатордун канаттарынын аралыгында чыңалышы E болгон электр талаасы өзгөчө V көлөмдөгү энергия болуп эсептелет. Бул энергиянын тыгыздыгы

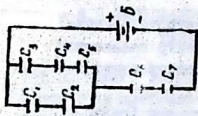
$$W^0 = \frac{W}{V} = \frac{1}{2} \epsilon \epsilon_0 E^2 \quad (3.5.7)$$



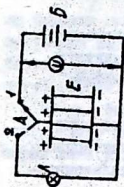
3.4.1 - ЧУШМЕ



3.4.2 - ЧУШМЕ



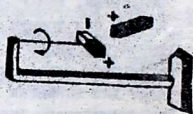
3.4.3 - ЧУШМЕ



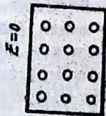
3.5.1 - ЧУШМЕ



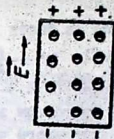
4.1.1 - ЧУШМЕ



4.1.2 - ЧУШМЕ



4.1.3 - ЧУШМЕ



4.1.4 - ЧУШМЕ

омош талаанын чыңалышынын квадратына түз пропорцияланган экен.

Глава-4. ЭЛЕКТР ТАЛААСЫНДАГУ ДИЭЛЕКТРИКТЕР

4.1. Диэлектриктердин поляризацияланышы.

Поляризация вектору \vec{P}

Электр талаасына диэлектриктерди киргизгенде, электр талаасы өзгөрөт. Диэлектриктердин электр талаасына тийгизген таасирин аныкташ үчүн тажрыйбага көңүл буралы (4.1. I-чийме). Электрометрге жалпак конденсатордун бир канатын (тегерек жалпак металл) туташтырып аны заряддап, электрометрдин жебесинин абалын байкап коебуз. Эгерде электрометрдеги тегерек металлга кандайдыр бир диэлектрикти (китепти, айнек тилкесин ж.б.) жакындатсак, электрометрдин жебеси түшө баштайт, ал эми диэлектрикти кайра алыстатсак, жебе мурдакы абалына көтөрүлөт.

Заряддалган электрометрге өткөргүчтүн тилкесин жакындатсак, диэлектрикти жакындаткандагыдай эле кубулушту байкайбыз. Бирок, өткөргүчтү заряддалган нерсеге жакындатканда, анда заряд пайда болорун (индукция кубулушу) билебиз. Стондуктан, диэлектрикти электр талаасына киргизгенде анда да заряддар пайда болот деген жыйынтыкка келүүгө болот. Бул ойду бекемдеш үчүн парафиндин бир бөлүгүн жибке байлап асып коелу. Заряддалган нерсени парафиндин бир учуна жакындатканда, ал заряддалган нерсени ээрчип бурула баштайт. Демек, парафиндин жакынкы учунда ага жакындаткан зарядка карама каршы белгидеги заряд пайда болот экен, ал эми парафиндин экинчи учунда да буга карама каршы белгидеги заряд пайда болот. * 1.2 - чийме

Сентип, заряддалбаган диэлектриктерди электр талаасына киргизгенде, аларда оң жана терс электр уалдары пайда болот экен. Мындай кубулушту диэлектриктердин поляризацияланышы, ал эми пайда болгон заряддарды поляризацияланган заряддар деп аташат.

Диэлектриктердеги поляризация кубулушу өткөргүчтөрдөгү индукция кубулушуна окшош. Бирок, алардын физикалык

негиздери ар башка өткөргүчтөрдү электр талаасына киргизип туруп, ортосунан экиге бөлө кесип, талаадан чыгарсак бир бөлүгү оң зарядка, экинчи бөлүгү терс зарядка ээ бойдон калат. Ал эми диэлектрикти электр талаасына киргизип экиге бөлүп талаадан чыгарсак эки бөлүгүнөн тең заряддар жоголушат. Өткөргүчтөрдөгү мындай өзгөчөлүк, алардагы эркин электрондордун бар экендиги менен түшүндүрүлөт. Ал эми диэлектриктерде эркин электрондор жок. Диэлектриктердин электр талаасына киргизгенде кандай өзгөрүүлөр болоруна көңүл буралы. Электр талаасы жок кезде диэлектриктеги ар бир атом, молекула электронейтралдуу (4.1.3-чийме). Диэлектрикти электр талаасына киргизгенде молекулалардагы оң жана терс заряддар карама каршы багытта, кээдей жылып, ар бир молекула электр диполуна айланышат. Диэлектриктин ичинде сүрдөгүдөй эле оң заряддар менен жайланышкан терс заряддар өз ара жоюлуп электронейтралдуу болот. Бирок, диэлектриктин бир учу оң заряддалса, экинчи учу терс заряддалат, б.а. поляризацияланган заряддар пайда болот (4.1.4-чийме). Эгерде диэлектриктин узундугу (электр талаасынын багыты боюнча) L болсо, учтарындагы эки карама каршы заряддардын электр ийини $\vec{P}_i = q\vec{L}$ болот. Бул вектор терс заряддан оң зарядды кээдей багытталат (4.1.5-чийме). Бирдик көлөмдөгү бул векторлордун вектордук суммасы диэлектриктин поляризация вектору деп аталат.

$$\vec{P} = \frac{\sum_i \vec{P}_i}{V} \quad (4.1.1)$$

Эгерде диэлектриктин көлөмүнүн ар кандай чекиттери үчүн вектору бирдей болсо, мындай поляризацияны бир тектүү деп аташат.

Поляризация вектору \vec{P} белгилүү болсо поляризациялык заряддарды аныктоого болот. Негизинин аянты S узундугу L болгон призма түрүндөгү электр талаасындагы диэлектриктин бир учунда тыгыздыгы $+\sigma$ экинчи учунда $-\sigma$ болгон поляризацияланган заряддар пайда болот (4.1.5-чийме). Призманын электр ийини

$$\vec{P} = \sum_{i=1}^N \vec{P}_i = \vec{\sigma} S L = \vec{\sigma} V \quad (4.1.2)$$

Малда $V = S \angle$

4.1.1 жана 4.1.2 -формулаларды салыштырып

$$P = \sigma' \quad (4.1.3)$$

Поляризация вектору поляризацияланган заряддардын тыгыздыгына σ' барабар экендигин алабыз.

4.2. ДИЭЛЕКТРИКТЕГИ ЭЛЕКТР ТАЛААСЫНЫН ЧЫНАЛЫШЫ

Электр талаасынын чыналышын \vec{E} вакуумдагы бирдик оң зарядга аракет кылган күч катары аныктаганбыз.

Бул түшүнүктү диэлектрик бар кезде тактоо керек. Ал үчүн жалпак конденсатордун ичине диэлектрикти жалгаштырабыз (4.2.1-чийме). Эгерде конденсатордун кыяаттарындагы эркин заряддардын тыгыздыгы σ' болсо, ал эми диэлектрикте тыгыздыгы болгон поляризацияланган (тушалган) заряддар пайда болушат. Бул заряддар, тышкы электр талаасына \vec{E}_0 карама-каршы багыттагы \vec{E}' талаасын түзүшөт.

$$\vec{E}_0 = \frac{\sigma}{\epsilon_0} \quad \text{конденсатордун түзгөн}$$

электр талаасы,

$$E' = \frac{\sigma'}{\epsilon_0} \quad \text{диэлектриктеги пайда}$$

болгон ички талаа.

Диэлектриктеги жалпы талаа ушул эки талаанын вектордук суммасы катары аныкталат $\vec{E} = \vec{E}_0 + \vec{E}'$ б.а.

$$E = E_0 - E' = \frac{\sigma - \sigma'}{\epsilon_0} \quad (4.2.1)$$

Ошентип, диэлектриктеги электр талаасынын чыналышы q, q' заряддардын тыгыздыктар менен аныкталат экен.

4.1.3. формуладан поляризацияланган заряддардын тыгыздыгы диэлектриктин поляризациялануу жөндөмдүүлүгү P векторунан барабар экендигин эске алсак, диэлектриктеги электр талаасы (4.2.1) төмөндөгүдөй жазылат

$$E = \frac{\sigma - P}{\epsilon_0} \quad \text{же болбосо}$$

$$\epsilon_0 E = \sigma - P \quad (4.2.3)$$

Эгерде биз жалпак конденсатор үчүн $\sigma = D$ экендигин эске алсак, бул формуладан

$$D = \epsilon_0 E + D \quad (4.2.4)$$

барабардыгын алабыз. Мында \vec{D} электр индукция вектору. Диэлектриктин поляризациялануу жөндөмдүүлүгү P электр талаасынын чоңдугуна көз каранды жана изотропттуу бир тектүү диэлектриктер үчүн электр талаасынын чыңалышына түз пропорциялаш,

$$\vec{P} = \epsilon_0 \vec{E} \quad (4.2.5)$$

4.2.4. жана 4.2.5 -формуларды бириктирип.

$$\vec{D} = \epsilon_0 (1 + \epsilon) \vec{E} = \epsilon \epsilon_0 \vec{E} \quad (4.2.6)$$

Электр жылышуу вектору \vec{D} жана электр талаасынын чыңалыш вектору \vec{E} менен байланыштын алабыз. Мында ϵ диэлектрик-тик шыктүүлүк, ϵ диэлектриктүүлүк өтүмдүүлүк деп аталат.

Эми Остроградский-Гауссстун теоремасына тактоо киргизели.

$$\oint_S D_n dS = \sum_{i=1}^k q_i$$

Вакуум үчүн бул туунтмада q эркин заряддарды түшүндүрчү. Ал эми электр талаасында диэлектрик болгондо анда поляризацияланган (тушалган) заряддар (σ') да пайда болот. Тушалган заряддар сырткы талаанын таасири астында пайда болорун, ал эми сырткы талааны эркин заряддар түзөрүн эске алсак, мурдагыдай эле теоремадагы заряддарды эркин заряддар деп түшүнүшүбүз керек.

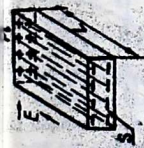
4.3. ЭЛЕКТР ТАЛААСЫНДАГЫ ДИЭЛЕКТРИККЕ АРАКЕТ КЫЛГАН МЕХАНИКАЛЫК КҮЧТӨР

Заряддалган нерселерди кагаз ж.б. жеңил диэлектриктерге жакындатканда алар тартыларын байкаганбыз (4.3.1-чийме). Заряддалган нерсенин (тарактын) айланасында пайда болгон электр талаасындагы кагаздын бөлүгү поляризацияланат. Электр талаасы буй поляризация заряддарды, бир эле убакытта түргөт жана тартат. Заряддалган тарактын жакын жактарында электр талаасы күчтүү болгондуктан кагаз таракка тартылат,

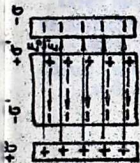
$$F = F_2 - F_1$$

$$F_2 > F_1, \text{ болгондуктан, } \vec{F} \uparrow \uparrow \vec{F}_2 \text{ болот.}$$

Мында F_2 тартылуу, F_1 түртүлүү, F - жыйынтык - тартуу күч, тартылуу күчү башкача багытталат.



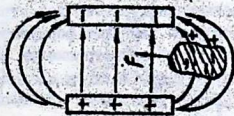
4.1.5 - VISIONE



4.2.1 - VISIONE



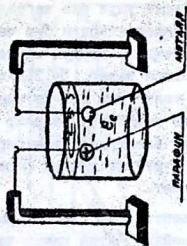
4.3.1 - VISIONE



4.3.2 - VISIONE



4.3.3 - VISIONE



4.3.4 - VISIONE

Эгерде ушул эле кагаздын майда бөлүгүн заряддалган жалпак конденсатордун бир четине алып келсек (4.3.2-чийме), ал конденсатордун ичине тартылып, анын орто четине кирип токтоп калат. (4.3.3-чийме). Себеби конденсатордун четинде талаа бир тектүү эмес, кагазга электр талаасы күчтүү жакты көздөй күч таасир этет. Ал эми конденсатордун ортосунда электр талаасы бир тектүү болгондуктан, тартуучу жана түртүүчү күчтөр барабар болушуп, кагаз кыймылсыз туруп калат.

Ошентип, бир тектүү эмес электр талаасындагы диэлектрикке мейкиндиктин начар талаасынан күчтүү талааны көздөй күч таасир этет.

Диэлектрикке таасир эткен күч электр талаасынын квадратынын градиентине пропорциялаш экендигин көрсөтүүгө; болот, өзүңөр ойлонгонго мисал катары идишке куулган сууктукка (ϵ_c) оң заряддалган парафин (ϵ_n) шарчасы жибке илинип турат. Ушул эле сууктукка жибке илинген металл шарчасы түшүрүлгөн. Металлдан жасалган шарча заряддалган парафинге түртүлөбү же тартылабы? Парафин ϵ_n менен сууктуктун ϵ_c диэлектриктин өтүмдүүлүктөрүнүн төмөнкү салыштырмалуу чоңдуктарын карап көргүдөй (4.3.4-чийме).

$$1. \epsilon_n > \epsilon_c$$

$$2. \epsilon_n < \epsilon_c$$

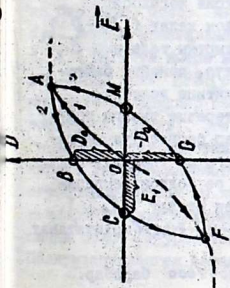
4.4. СЕГНЕТОЭЛЕКТРИКИ

Кээ бир диэлектриктер, белгилүү шартта өзгөчө диэлектриктик касиеттерге ээ болот. Мындай касиеттер адегенде сегнет туздарында байкалгандыктан, диэлектриктердин бул тобун сегнетоэлектриктер деп аташкан.

Сегнет тузунун химиялык формуласы - $NaKCaH_4O_6 \cdot 4H_2O$ жана ал күчтүү анизотропиялык касиетке ээ.

Эгерде бул туздун бөлүгүн конденсатордун канаттарынын ортосуна, электр талаасынын күч сызыктары кристаллдын белгилүү огуна жарыш кылып жайланыштырганда сегнетоэлектриктик касиет пайда болот. Бул касиеттер төмөнкү өзгөчөлүктөр менен айырмаланышат:

I. Температуранын белгилүү чегинде диэлектриктик



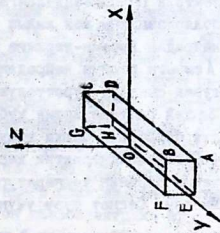
4.4.1-құрме



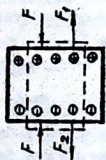
4.4.2-құрме



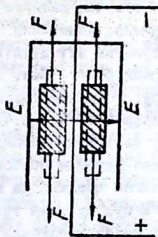
4.4.3-құрме



4.5.1-құрме



4.5.2-құрме



4.5.3-құрме

өтүндүүлүгү ϵ өтө чоң мааниге жетет $\epsilon \approx 10^4 - 10^5$
(салыштырылтыргыла; айнектики $\epsilon = 7$, фарфордуку $\epsilon = 5$)

2. Диэлектриктик өтүндүүлүк сырткы электр талаасынын чоңдугуна жараша болот, б.а. $\epsilon = f(E)$. Ошондуктан, жылыту вектору \vec{D} электр талаасынын чыңалыш векторуна \vec{E} түз пропорциялаш болбойт (4.4.-I чийме)

3. Жылыту векторунун \vec{D} чоңдугу электр талаасынын чоңдугуна гага көз каранды болбостон, диэлектриктик мурдакы поляризацияланган абалына да жараша болот.

Диэлектриктеги бул кубулуш гистерезис деп аталат (4.4.-I чийме). Электр талаасы өскөндө жылыту вектору I-сызык боюнча өсүп кандайдыр бир талаанын чыңалышынан чекитинен баштап каныга баштайт (өсүш токтолот). Эгерде эми конденсатордогу талааны аяпта баштасак анда \vec{D} вектору мурдакы I-жол менен тандайбыз, АВ жолу менен азаят, $E=0$ болгондо индукция \vec{D} нөлгө барабар болбойт ($D \neq D_0$), б.а. диэлектрик сырткы талаа жок болсо да поляризацияланган бойдон калат.

Бул поляризацияны жок кылуу үчүн талаанын багытын карама каршыга өзгөртүп, чоңойтуп баштайбыз. Кандайдыр бир $E = -E_1$ болгондо, индукция D жок болот (С чекити). Ошол эле багыттагы талааны андан ары чоңойтуу олтурсак, D кайрадан каныга баштайт (F чекити). Эми бул талааны азайта баштасак, анда \vec{D} 3-жол боюнча б.а. F-бисызын сызат.

Сырткы талаа жок болгондо, индукция жоголбойт б.а. диэлектрик поляризацияланган бойдон калат ($D = -D$) Эми бул поляризацияны жок кылуу үчүн сырткы талаанын \vec{E} багытын кайрадан карама-каршыга өзгөртүп, чоңойто баштасак $C-M-A$ сызыгы боюнча кайрадан А чекитине келебиз.

Алынган тузак сыяктуу сүрөттөлүш - гистерезис тузагы деп аталат. Мындай гистерезистик кубулуштар сегнет тузуна га-на мүнөздүү болбостон башка кошулмаларга да тиешелүү.

4. Сегнетоэлектриктик касиетке ээ болгон температура-нын чегин Кюринин температурасы деп аталат (T_K).

Мисалы: Сегнет тузу үчүн $T_K = -15^\circ - 225^\circ C$; метатитанат барий

($Ba_2 Ti_4 O_{12}$): $T_K \approx 80^\circ C$, $\epsilon \approx 6000 - 7000$ барабар.

Сегнетоэлектриктерди эң чоң сыйымдуулуктагы конденсаторлорду жасоо үчүн пайдаланышат. Сегнетоэлектриктик өзгөчө касиеттер кандайча түшүндүрүлөт. Бул касиет квантомеханикалык физикада гана түшүндүрүлөт. Мындай кристаллдардын атомдору өзгөчө күчтөрдүн таасири астында күчтүү поляризацияланган аймактарды домендерди пайда кылышат. Сырткы электр талаасы жок кезде домендердин поляризациясы (поляризация вектору) баш аламан жайланышат (4.4.2-чийме). Ар бир домендин поляризациясы миндеген, миллиондогон атомдордун поляризациясынын суммасына барабар. Бул диэлектрикти электр талаасына жайланыштырганда талаанын таасири астында домендерди поляризациясы бир багытуу болушуп, анын жалпы поляризациясы домендердин поляризацияларынын суммасына барабар болот. Мындай күчтүү поляризация өтө чоң диэлектриктик өтүмдүүлүккө алып келет.

4.5. ПЬЕЗОЭЛЕКТРДИК ЭФФЕКТ

I. Туз пьезоэлектрик эффект.

Эгерде, сырткы электр талаасында диэлектриктердин поляризацияланышына көңүл бурдук. Кээ бир кристаллдарды кысканда же чойгондо, сырткы талаасыз эле алар поляризацияланышат экен. Бул кубулуш пьезоэлектрик эффект деп аталат. Мындай кристаллдардын мисалы катары кварцты (SiO_2) карайлы. Кристаллдарда оптикалык оң деген багыттар (бир же бир нече) болот. Ал жөнүндө оптиканы өткөндө токтолобуз. Эгерде кристаллды оптикалык окко перпендикуляр (X) багытта кысса же чойсо (4.5.I-чийме) анда кристаллдын ABCD жана EFGH беттеринде поляризациялык карама-каршы тектеги заряддар пайда болот (узунунан болгон пьезоэлектрик эффект). Эгерде кысууну, ошол эле багыттагы чойго алмаштырсак кристаллдын бетиндеги заряддардын белгилери карама каршыга алмашат. Ошондой эле бул кристаллды "У" огу боюнча кыссак же чойсок ошол эле ABCD жана EFGH капталдарында карама каршы белгидеги поляризация заряддары пайда болот (туурасынан болгон пьезоэлектрик эффект). Поляризацияланган заряддардын белгилери "Туурасынан" же

"узунунан" кысканда же чойгондо бирдей болушат. Эгерде ушул кристаллды оптикалык октун багыты Z бөрүчө кыскак же чорсок анда поляризациялык заряддар пайда болбойт.

Поляризация векторунун чоңдугу, белгилүү чендеги деформациялоочу механикалык күчтүн чоңдоруна пропорциялаш болот.

Пьезоэлектрдик касиетке кварцтан башка сегнет тузу да ээ. Сегнет тузунун пьезоэлектрдик касиети кварцка салыштырганда күчтүүрөк, бирок ал өтө эле иорт келет.

Пьезоэлектрдик кристаллдар көптөгөн приборлордо колдонулат, мисалы грампластинкалардагы жазууларды окутуу үчүн пьезоэлектрден жасалган ийнелерди (адаптер) колдонушат. Бул кубулушту ар түрдүү деформацияларды (чоңлуу, ийилүү ж. б.) ченөө үчүн колдонулат. Ошондой эле пьезоэлектрдик микрофон, телефон ж.б. бар.

Пьезоэлектрдик эффект кристаллдардын кристаллдык түзүлүшү менен түшүндүрүлөт. Бул кристаллдарда оң жана терс иондордон турган "ичейкалар" бири бирине кийишип турат жана кадимки абалында электронейтралдуу. Кристаллды кысканда же чойгондо оң иондордон турган ичейкалар терс иондордон турган ичейкалардан жылышат да поляризацияланышат.

2. Тескери пьезоэлектрдик эффект. Эгерде пьезоэлектрдик кристаллды электр талаасына кайгаштырганда андагы поляризациялануу кубулушу деформацияга (кыскарууга же чоңууга) алып келет. Бул кубулушту тескери пьезоэлектрдик эффект деп атайлат. Мындай тескери эффекттин пайда болушу энергиянын сакталуу закону менен түшүндүрүлөт. Чындыгында эле, пьезоэлектрдик кристаллды F күчү менен кыскалык (4.5.2-чийме). Эгерде пьезоэлектрдик эффект болбосо, бул күчтүн аткарган жумушу пластинканын серпилгич деформациясынын потенциалдык энергиясына барабар болор эле. Пьезоэффектеги заряддар электр талаасынын пайда болушун алып келет. Бул талаа кошулчу энергияны өзүнө топтойт, б.а. бул энергияга маанилик кошумча F күчү талап кылынат экен.

Энергиянын сакталуу законунан маанилик тескери пьезоэлектрдик эффекте ушул күч кристаллды деформациялайт.

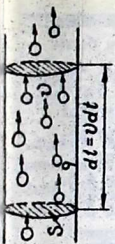
Эгерде пластинканы кысканда 4.5.2-чиймедегиде кор-



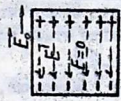
4.5.4 - 400ME



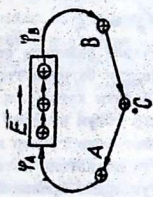
5.1.1 - 400ME



5.1.2 - 400ME



5.2.1 - 400ME



5.2.2 - 400ME



5.2.3 - 400ME

сөтүлгөндөй поляризацияланса сырткы талаанын жардамы менен ушундай поляризацияны түзгөндө, ал F , күчүнүн багыты боюнча чоңолат. Деформациянын белгиси (кысылу же чоңою), тескери пьезоэффекте электр талаасынын багытына жараша болот. Эгерде электр талаасынын багытын карама каршыга өзгөртсөк деформациянын белгиси да тескериге өзгөрөт. Ушул шарттарды пайдаланып ар түрдүү деформацияларды кыла алабыз.

4.5.3-чиймеде эки пьезоэлементтердин чоңоюшу, ал эми 4.5.4-чиймеде эки пьезоэлементтердин чоңоюшу, ал эми 4.5.4-чиймеде алардын ийилиши көрсөтүлгөн.

Түз жана тескери пьезоэффектер көптөгөн радио жана электроакустикалык аппараттарда колдонулат.

Глава-5. ТУРАКТУУ ТОК

5.1. Электр тогу жана анын пайда болуу шарттары

Эгерде электр талаасына эркин зарядды кайгаштырсак, бул зарядка талаа тарабынан таасир эткен күч

$$\vec{F}_E = q\vec{E} \quad (5.1.1)$$

барабар болот жана заряд кыймылга келет (5.1.1-чийме).

Ар кандай заряддардын багытталган кыймылы электр тогу деп аталат. Токтун багыты катары оң заряддардын кыймылынын багыты алынат. Электр тогун өткөрүү жөндөмдүүлүгү боюнча заттар экиге бөлүнөт—өткөргүчтөр жана изоляторлор (өткөрбөгүчтөр). Өткөргүч касиетине металлдар, белгилүү шарттарда көбүнесе суюктуктардын аралашмасы, газдар өб болушат. Металлдардагы электр тогу андагы эркин электрондордун кыймылы менен шартталат. Суюктуктардагы жана газдардагы электр тогу, белгилүү шарттарда аларда иондордун пайда болушуна байланыштуу. Электр тогун мүнөздөөчү чоңдуктар катары ток күчү жана токтун тыгыздыгы алынат.

Токтун чоңдугу (күчү) деп өткөргүчтүн кесилиш аянты S аркылуу убакыт бирдик ичинде өткөн заряддын саны аталат

$$I = \frac{dq}{dt} \quad (5.1.2)$$

Эгерде бирдей убакыттын аралыгында, берилген өткөргүчтүн ар кандай кесилиш аянты аркылуу бирдей заряддардын саны өтсө,

ток түзөктүү деп аталат

$$I = \frac{dQ}{dt} = \text{const} \quad (5.1.3)$$

Эгерде мындай шарт сакталбаса, өткөргүч аркылуу өткөн токту өзгөртмөлүү деп аташат.

Токтун чоңдугу СИ системасында Ампер (А) менен элченет. Ампер (А) СИ системасында, кг, м, с катарында негизги бирдик катары киргизилет. Өткөргүчтүн кесилиши аркылуу I сек I Кулон ($dQ = I \text{ Кл}$) заряд өтсө, ток күчү I А барабар болот ($dQ = I dt = I \text{ сек}$).

Өткөргүчтүн бирдик аянтына суура келген ток, анын тыгыздыгы деп аталат.

$$j = \frac{I}{S} \quad (5.1.4)$$

Ток, заряддардын багытталган кыймылы болгондуктан, токту мүнөздөөчү чоңдуктарды заряд жана анын кыймылын мүнөздөөчү чоңдуктар аркылуу тунтурабыз.

Туурасынан кесилиш аянты S болгон өткөргүч аркылуу v ылдамдыгы менен кыймылдаган ар биринин заряды q болгон бөлүкчөлөрдүн кыймылын карайлы (5.1.2-чыкма). dt убактысында S аянтын, андан $dx = v dt$ аралыктан алыс эмес жайланган заряддар кесип өтө алышат. Өткөргүчтүн $dV = S dx = Sv dt$ көлөмүндөгү dt убактысында S аянтын кесип өткөн заряддардын саны

$$dQ = n q dV = n q v S dt \quad (5.1.5)$$

барабар, мында n - бирдик көлөмдөгү заряддардын саны.

Акыркы (5.1.5) тунтуманы пайдаланып, ток күчүнүн заряддарды мүнөздөөчү чоңдуктар аркылуу байланышын алабыз

$$I = \frac{dQ}{dt} = \frac{n q v S dt}{dt} = n q v S \quad (5.1.6)$$

Ал эми токту тыгыздыгы

$$j = \frac{I}{S} = n q v \quad (5.1.7)$$

барабар болот. ылдамдык v вектордук чоңдук болгондуктан, токту тыгыздыгы да вектордук чоңдук болот

$$\vec{j} = n q \langle \vec{v} \rangle \quad (5.1.8)$$

$\langle \vec{v} \rangle$ аркылуу заряддардын орточо ылдамдыгын белгиледик.

5.2. ЭЛЕКТР КЫЙМЫДАТКЫЧ КҮЧҮ ЧЫҢАЛУУ

Өгөрдө өткөргүчтү электр талаасына кээлаштырсак, андагы эркин электрондор тез кыймылдап, оң жана терс заряддарга белүнүшүп, өткөргүчтүн ичиндеги талаа жок болуп тез эле ток токтолот (5.1.1-чийме). Өткөргүч аркылуу ток жүрсүн үчүн мындай тең салмактуу абалды бузуу керек. Ал үчүн өткөргүчтүн бир учунда жыйналган оң заряддарды тынымсыз анын экинчи учуна ташып жеткирүү керек (5.2.2-чийме). Мындай шартта өткөргүчтөгү тең салмактуу абал бузулуп, АВ өткөргүчүндө заряддар кыймылга келип, ток пайда болот. Өткөргүчтүн А жана В учтарындагы потенциалдардын айырмасы $\Delta\varphi = \varphi_A - \varphi_B$ бар. А учунан В ге чейин заряддар талаанын багыты менен кыймылдаса, ал эми В учунан А ге (ЭСА жолу боюнча) заряддарды талаанын багытына каршы жылдыруу керек болот.

Заряддарды электростатикалык талаанын багытына карама-каршы багытта ташуу үчүн электростатикалык эмес күчтү колдонуу керек. Мындай күчтөрдү бетен (сторонний) күчтөр деп аташат. Бетен күчтөр, химиялык механикалык, электромагниттик кубулуштардын негизинде пайда болушу мүмкүн.

Бетен күчтөрдүн заряддарды ташуудагы аткарган жумушун электр кыймыдаткыч күчү (ЭКК) менен мүнөздөшөт.

ЭКК деп бетен күчтүн бирдик зарядды жылдыруудагы жумушу аталат

$$\epsilon = \frac{A}{q} \quad (5.2.1)$$

Бетен күчтүн талаасынын чыңалышын E^* менен белгилесек, күчтүн өзүн f^* белгилеп

$$\vec{f}^* = \vec{E}^* q \quad \text{же} \quad \vec{E}^* = \frac{\vec{f}^*}{q} \quad (5.2.2)$$

туунтмаларды алабыз

Бетен күчтүн туок чыныр аркылуу аткарган жумушу

$$A = \oint_L L_0^* dl = q \oint_L E_2^* dl \quad E_2^* = E \cos \alpha \quad (5.2.3)$$

5.2.1 формуланы пайдаланып,

$$\epsilon = \oint_L E_2^* dl \quad (5.2.4)$$

туунтманы алабыз.

Бул интеграл (ЭКК) сан жагынан бетен күчтөрдүн туок

чыңжыр боюнча бирдик зарядды жылдыруудагы аткарган жумушуна барабар.

\vec{E}^* векторунун жылыш векторуна $d\vec{l}$ проекциясын E_c^* менен белгиледик. Бул жумуш бөтөн чыңалыштын циркуляциясы нөлгө барабар эмес экен. Мунун себеби, бөтөн күчтөрдүн электр талаасынын күч сызыктары туюк болуш (5.2.2-чийме)

Чыңжырдын АВ, бөлүгүнө аракет кылган ЭКК

$$\epsilon_{AB} = \int_A^B E_c dl \quad (5.2.5)$$

барабар. Ал эми чыңжырдын АВ бөлүгүндө зарядка электростатикалык талаасы таасир кылат.

$$\vec{F}_E = q\vec{E} \quad (5.2.6.)$$

чыңжырда зарядка таасир этүүчү жалпы күч

$$\vec{F} = \vec{F}_E + \vec{F}^* = q(\vec{E} + \vec{E}^*) \quad (5.2.7)$$

Ошондуктан, чыңжырдын АВ бөлүгүндө зарядды жылдырууга кеткен толук жумуш.

$$A_{AB} = q \int_A^B (E_c + E_c^*) dl = q \int_A^B E_c dl + q \int_A^B E_c^* dl$$

Эгерде 5.2.5-формуланга жана $\Delta\varphi = \int_A^B E_c dl$ потенциалдардын айырмасы же чыңалуу экендигин эске алсак, анда

$$A_{AB} = q\epsilon_{AB} + q(\varphi_A - \varphi_B)$$

туунтманы алабыз. Эгерде чыңжырды туюктасак (А учу В менен дал келет) $\varphi_A = \varphi_B$ $A = q\epsilon$

Чыңжырга аракет кылган ЭКК (E) учула / E = A/q (5.2.9)

Туюк чыңжыр боюнча бирдик зарядды жылдыруу үчүн аткарылган жумушка барабар. ЭКК булактары катары гальваникалык элементтер, электромагниттик индукция кубулушу, механикалык чыңалыш ж.б. колдонууга болот.

5.3. МЕТАЛЛДАРДЫН ЭЛЕКТР ӨТКӨРҮМДҮҮЛҮГҮ.

Металлдардагы ток өткөрүүчүлөрдүн жаратылышы

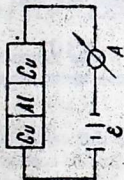
Металлдардагы ток өткөрүүчүлөрдүн жаратылышын аныктоо үчүн жүргүзүлгөн тажрыйбаларга көңүл буралы.

I. Риконин тажрыйбасы (1901ж) Рике цилиндр түрүндөгү эки жез, бир алюминий өткөргүчтөрүнүн учтарын тегиздеп, тазалап жана тараазага тартып, бири бирине жез-алюминий-жез кылып учтарын тийштирип, удаалаш туташтырган (5.3.1-чийме). Ушундай өткөргүчтөрдүн тизме: а) аркылуу бир жыл бою бир багытта

чоң ток өткөргөн. Бир жылдан кийин цилиндрлерди ажыратып алып тартып көрсө, алардын салмагы өзгөргөн эмес. Демек, электр тогун атомдор же молекулаларды бир багытуу эркин кыймылы менен байланышбайт экен. Токту ташуучу бөлүкчө ар кандай зат үчүн бирдей болуп керек. Мындай бөлүкчө 1897 жылы англиялык окуучуу Др. Др. Томсон электрон болушу мүмкүн деген жыйынтыкка келген. Бирок, электрон экендигин аныктоо үчүн, өткөргүчтөрдөгү токту ташуучу бөлүкчөнүн зарядын жана массасын аныктоо керек эле. Ал үчүн корда турган тажрыйба, "Эгерде өткөргүчтө эркин кыймылдоочу жеңил заряддалган бөлүкчө болсо, кыймылда болгон өткөргүчтү кескин токтоткондо, андагы заряддалган бөлүкчөлөр инерция бөрүчө кыймылын улантып, анын алдыңкы учуна топтолуп, өткөргүчтүн учтарында потенциалдардын айырмасы пайда болушу керек" - деген ой жүгүртүүгө негизделиши керек (5.3.2-чийме).

Мындай идеяны 1913 жылы Мандельштам жана Папалекси ишке ашырып үчүн 500 метр зындан катушка жасап, аны чоң ылдамдыкта айландырып (оромонун сызыктуу ылдамдыгы 300 м/с) кескин токтотушкан (5.3.3-чийме). Анда, катушкага туташтырылган эвенок зындаган. Тормоздоо убакысында өткөргүчтө пайда болгон зарядды Гальвонометр менен өлчөшкөн (Тольмен, Стварт, 1913 ж).

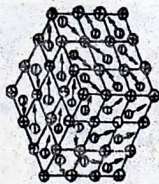
Анда $(q/m) = 1,6 \cdot 10^{18} \text{ Кл/кг}$ бөлүкчөнүн зарядынын массасына болгон катышы электрондукка жакын болуп чыкты, $(e/m) = 1,76 \cdot 10^{18} \text{ Кл/кг}$.
 Электрондун зарядынын чоңдугун 1904 жылы Милликен ачыктаган $e = 1,6 \cdot 10^{-19} \text{ Кл}$. Эми Стварт-Тольмендин тажрыйбасындагы салыштырмалуу заряддын чоңдугунан $(q/m) = 1,6 \cdot 10^{18} \text{ Кл/кг}$ өткөргүчтөгү ток ташыган бөлүкчөнүн массасын $m = 10^{-30} \text{ кг}$ деп, б.а. суутектин атомунун массасынан 2000 эсе кичине болот экен. Ошентип бул тажрыйбалардан, өткөргүчтөрдөгү ток ташуучу бөлүкчөлөр эркин электрондор экендиги толук аныкталган.



5.3.1 - ЧИЙМЕ



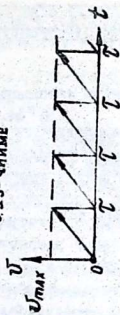
5.3.2 - ЧИЙМЕ



5.4.1 - ЧИЙМЕ

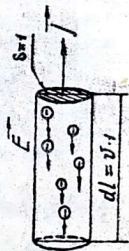


5.4.2 - ЧИЙМЕ

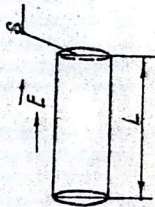


5.3.3 - ЧИЙМЕ

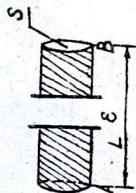
5.4.3 - ЧИЙМЕ



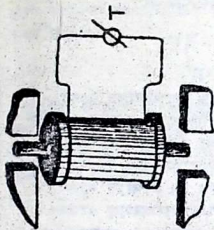
5.4.4 - ЧИЙМЕ



5.4.5 - ЧИЙМЕ



5.4.6 - ЧИЙМЕ



5.4. МЕТАЛЛДАРДЫН ЭЛЕКТР ӨТКӨРҮМДҮҮЛҮГҮНҮН КЛАССИКАЛЫК ЭЛЕКТРОНДУК ТЕОРИЯСЫ

Турактуу токтун закондору

Металлдардагы эркин электрондор бар экендигин эске алып Друде жана Лоренц металлдардын электр өткөрүмдүүлүгүнүн классикалык электрондук теориясын түзүшкөн. Металлдар катуу абалга өтүүдө, атомдордун кристаллдык торчолорго биригүүсүндө, атомдордун ортосундагы эң күчтүү аракеттердин натыйжасында алардын валентүү электрондору атомдордон ажырап, металл боюнча эркин кыймылдоого мүмкүнчүлүк алат. Мындай эркин электрондорду иондук торчолордун ичиндеги газ катары кароого болот (5.4.1-чиңме). Бир валентүү атомдор бирден, эки валентүү атомдор экиден электрондорду башотурун жана 1м^3 металл $\sim 10^{29}$ атомдордон турарын эске алсак, 1м^3 көлөмдөгү металлда

$$n \approx 10^{28} \div 10^{29} \text{ м}^{-3}$$

эркин электрондор болорун аныктайбыз Друде жана Лоренц мындай "электрондук газды" идеалдуу газ катары каралган.

Классикалык электрондук теориянын негизги жоболору катары төмөнкү аксиомалар алынат:

1. Металлдар кристаллдык торчолордон турат. Мындай торчолордун түйүндөрүндө эң заряддалган иондор жайгаштылып, торчолордун ичинде эркин электрондор баш аламан (жылуулук) кыймылда болушат.

2. Металлдардагы электрондорду идеалдык газ катары кароого болот. Бул электрондор өз ара жана торчолорго иондор менен кагышып, электрондук газ жана иондук торчолор бирдей температурага ээ болушат. Ошондуктан, электрондордун баш аламан орточо кинетикалык энергиясы

$$\bar{\epsilon}_k = \frac{m\bar{v}^2}{2} = \frac{3}{2} kT \quad (5.4.1)$$

барабар, ал эми электрондордун орточо квадраттык ылдамдыгы

$$\bar{v}_{\text{кв}} = \sqrt{\frac{3kT}{m}} \quad (5.4.2)$$

барабар болушат, мында $k = 1,38 \cdot 10^{-23}$ Дж/К Больцмандын турактуу саны, $m = 9,11 \cdot 10^{-31}$ кг электрондун массасы.

Кадимки биз жашаган бөлмөдөгү температурадагы электрондордун орточо квадраттык ылдамдыгын ушул формула менен эсептеп көрсөк

$$(T = 273 + 27 = 300 \text{ K})$$

$$\bar{U} \approx 10^5 \text{ м/с} \quad (5.4.3)$$

барабар болот. Бул ылдамдык миктыгын огунун ылдамдыгынан миң эсеге чоң. Электрондордун эрки учуу аралыгы λ болжол менен кристаллдагы орточодогу иондордун ортосундагы аралыкка барабар, ал эми бул эркин учуу убактысы

$$\tau = \frac{\lambda}{\bar{U}} \quad (5.4.4)$$

болот. Эгерде металлдын ичинде чыңалышы E болгон электр талаасын түзсөк, андагы электрондор багыттуу кыймылга ээ болушат. Багыттуу кыймылдын ылдамдыгын \bar{V} менен белгилесек, электрондун ылдамдыгы баш аламан кыймылдын ылдамдыгы жана багыттуу кыймылдын \bar{U} ылдамдыгынын вектордун суммасына барабар болот (5.4.2-чийме)

$$\bar{C} = \bar{U} + \bar{V} \quad (5.4.5)$$

Металлдагы электрондор боюнча бул ылдамдыгын орточосун тапсак,

$$\sum_{i=1}^N \bar{C}_i = \sum_{i=1}^N \bar{V}_i + \sum_{i=1}^N \bar{U}_i = \langle \bar{V} \rangle \quad (5.4.6)$$

барабар болот, себеби баш аламан ылдамдыктардын суммасы

$(\sum_{i=1}^N \bar{U}_i = 0)$ нөлгө барабар болот. Ошентип, электрондордун орточо-багытталган ылдамдыгынын $\langle \bar{V} \rangle$ багыты электр талаасынын багыты менен бир окто жатат жана карама каршы багытталат.

Эми ушул багытталган ылдамдыгын чоңдугун эсептеп көрөлү.

Ал үчүн 5.1.8-формуладан

$$\langle \bar{V} \rangle = \frac{j}{ne}$$

туунтуп жана $j = 10 \text{ А/мм}^2 = 10^7 \text{ Кл/м}^2\text{с}$ токтуу тыгыздыгын аламы. Кез өткөргүчү үчүн $n = 8 \cdot 10^{28} \text{ м}^{-3}$

$$\langle \bar{V} \rangle = 8 \cdot 10^{-4} \text{ м/с} \quad (5.4.7)$$

табабыз. Бул ылдамдыгын сан маанисин, баш аламан ылдамдыктык (5.4.3) менен салыштырсак, баш аламан кыймылдын ылдамдыгы \bar{U} багыттуу кыймылдын \bar{V} ылдамдыгынан $(\bar{U} \gg \langle \bar{V} \rangle)$

экендигин көрөбүз. Бул салыштыруудан, өткөргүчтө өтүп жаткан ток, андагы электрондордун орточо кинетикалык энергиясына жана эркин учуу аралыгына таасири тийгизбей тургандыгын көрөбүз.

Эми өткөргүч аркылуу өткөн токту: закон ченемдүүлүгүнө классикалык электрондук тесриянын негизинде түшүндүрүүгө көңүл буралы.

I. Ошун дифференциалдык закону. Электр талаасында заряды e болгон электронго

$$\vec{f} = e \vec{E} = m \vec{a} \quad (5.4.8)$$

күч таасир өтө жана анын талаадан алган ылдамдыгы

$$\vec{a} = (\vec{f}/m) = (e/m) \vec{E} \quad (5.4.9)$$

барабар болот. Ошондуктан, эркин учуу аралыгында электрон-
 \vec{a} ылдамдануусу менен учат. Мындай электрон, эркин учуу жолунун акырында ион менен кагылышып, өзүнүн энергиясын толугу менен ионго берип, ылдамдыгын жоготот ($v_{min} = 0$)

5.4.8-чүмбө

$$a = \frac{v_{max} - v_{min}}{\tau} = \frac{v_{max}}{\tau} \quad (5.4.10)$$

Мындан жана (5.4.4), (5.4.10) формулаларды пайдаланып

$$v_{max} = a \tau = e/m E \tau = \frac{e}{m} \frac{\lambda}{u} E, \quad (5.4.11)$$

багытталган ылдамдык \vec{v} менен электр талаасынын чыңалышынын ортосундагы байланышты табабыз. Электрондордун орточо ылдамдыгын

$$\langle v \rangle = \frac{v_{max} + v_{min}}{2} = \frac{v_{max}}{2} = \frac{e}{2m} \cdot \frac{\lambda}{u} E \quad (5.4.12)$$

аныкталат. Мында $\frac{e}{2m} \cdot \frac{\lambda}{u} = v$ электрондун сергектиги деп аталат жана ал электр талаасынын чыңалышына көз каранды эмес. Бул формуланы токту тугыздыгынын туунт-масына (5.4.4) коюп

$$\vec{j} = \frac{1}{2} \frac{ne^2 \lambda}{m u} E \quad (5.4.13)$$

Ошун дифференциалдык законунун формуласын алабыз, же

$$\vec{j} = \sigma E \quad (5.4.14)$$

Мында

$$\sigma = \frac{1}{2} \frac{ne^2 \lambda}{m u} \quad (5.4.15)$$

өткөргүчтүн салыштырмалуу өткөрүмдүүлүгү деп аталат. Бул чоңдук өткөргүчтүн касиетине (ρ, λ) жана анын чөйрөдөгү абалына $(\bar{u} = f(T))$ карама болот экен. Ошентип, токтуу тыгыздыгы j (туурасынын кесилиш аянты $(S = I)$ бирге барабар болгон токтуу күчү), электр талаасынын чыңалышына түз пропорциялаш экен жана өткөргүчтүн салыштырмалуу өткөрүмдүүлүгүнө карама болот. Өткөргүчтүн салыштырмалуу каршылыгы, анын салыштырмалуу өткөрүмдүүлүгүнө тескерия пропорциялаш

$$\rho = \frac{1}{\sigma} = \frac{2m\eta}{ne^2\lambda} \quad (5.4.16)$$

өкөндүгүнөн, өткөргүчтөрдүн каршылыгы алардагы эркин электрондордун кристалдык торчонун түйүндөрүндө жайланылган иондор менен кагылышкандын натыйжасы экендиги келип чыгат. Бир бирдик кесилишке $(S = I)$ жана узундукка $de = vdt = v \cdot t$ аз болгон өткөргүч аркылуу өткөн токтуу законун (5.4.14) карайык (5.4.4-чийме).

Омдун чыңырддын бир тектүү бөлүгү үчүн закону. Узундугу L жана кесилиши S болгон өткөргүч аркылуу өткөн токтуу законун табыш үчүн (5.4.14-формулань L жана S боюнча интегралдайбыз б.а.

$$\int \int_{L, S} j dS dl = \int \int_{L, S} \sigma E dS dl$$

ында j жана σ -өткөргүчтүн узун, туурасына көз каранды эмес. Ошондуктан алардын интегралдын сыртына чыгарабыз

$$\int \int_{L, S} j dS dl = \sigma \int dS \int E dl$$

андан $u = \int E dl$ өкөндүгүн эске алып,

$$jSL = \sigma Su \quad (5.4.17)$$

алабыз. Ал эми $jS = I$ жана $\sigma = \frac{1}{\rho}$ өкөндүгүн эске алып жана

$$R = \rho \frac{L}{S} \quad (5.4.18)$$

алгилеп, 5.4.17- формуладан

$$I = \frac{u}{R} \quad (5.4.19)$$

Омтаны алабыз. Бул узундугу L , кесилиши S болгон чыңырддын бөлүгү үчүн Омдун интегралдуу закону, же кыскача, чыңырддын бөлүгү үчүн Омдун закону деп аталат (5.4.3-чийме) жана R -өткөргүчтүн каршылыгы деп аталат жана ал өткөргүч-

тегине (ρ), узундугуна жана кесилиш аянтына жараша болот экен.

3. Омдун ар тектүү чыжыр үчүн закону ЭКК булагына туташтырылган өткөргүчтүн бөлүгү үчүн закону: табалы (5.4.6-чийме). Мындай чыжыр үчүн Омдун дифференциалдык законун (5.4.14) төмөндөгүдөй жазып алууга болот.

$$j = \sigma (E + E^*) \quad (5.4.20)$$

Мында E^* бөтөн күчтүн талаасынын чыдалышы. Бул формуланы өткөргүчтүн бөлүгүнүн узундугу L жана кесилиш S боюнча интегралдан

Курда бизге
$$\int_S j \, ds \int_L dl = \sigma \int_S ds \left[\int_L E_e \, dl + \int_L E_e^* \, dl \right]$$

экендиги белгилүү. Ошондуктан,

$$jSL = \sigma S (E_{AB} + U_{AB}) = \frac{1}{\rho} S [U_{AB} + \mathcal{E}_{AB}]$$

Мындан

$$I = \frac{U_{AB} + \mathcal{E}_{AB}}{R + r} = \frac{U_{AB} + \mathcal{E}_{AB}}{R_T} \quad (5.4.21)$$

Мында $R_T = R + r$ - чыжырдын бөлүгүнүн толук каршылыгы, R - сырткы өткөргүчтүн, r - ЭКК булагынын ички каршылыгы, \mathcal{E}_{AB} жана U_{AB} тандалган өткөргүчтүн бөлүгүнө аракет кылган ЭКК жана анын учтарындагы потенциалдардын айырмасы.

Биз тапкан 5.4.21-формула, Омдун бир тектүү эмес чыжырдын бөлүгүнүн закону деп аталат.

4. Бир тектүү эмес чыжырды туюктасак $U_{AB} = 0, \mathcal{E}_{AB} = \mathcal{E}$ (5.2.3-чийме).

$$I = \frac{\mathcal{E}}{R+r} \quad (5.4.22)$$

Омдун туюк чыжыр үчүн закону алабыз.

5. Джоуль-Ленцтин закону электрондук теория ток өтүп жаткан өткөргүчтөн жылуулук бөлүнүү кубулушунун себебин түшүндүрө алат. Чындыгында эле электрондун эркин учуунун убагында электр талаасынан алган кинетикалык энергиясы (5.4.11- формуланы пайдаланып)

$$\Delta \mathcal{E}_k = \frac{m U_{max}^2}{2} = \frac{e^2 \lambda^2}{2 m U^2} E^2 \quad (5.4.23)$$

баробар болот. Ар бир электрон ион менен кагышканда бул энергияны иондук торчого берет жана металлдын ички энер-

гиясы жогорулап, ал өсөй баштайт.

Ар бир электрон секундасына $\nu = 1/\sigma = \bar{u}/\lambda$ жолу иондор менен кагылышат. Ошондуктан, бир секундадагы бирдик көлөмдөгү электрондордун бир секундада кристалдык торчого берген энергиясы

$$W = n\nu \Delta \epsilon_k = \frac{ne^2 \lambda^2}{2m\bar{u}^2} = \frac{\bar{u}}{\lambda} E^2 \quad (5.4.24)$$

барabar болот. Мында n бирдик көлөмдөгү электрондордун саны, жана

$$\sigma = \frac{ne^2 \lambda}{m\bar{u}}$$

экенигин өскө алсак

$$W = \sigma E^2 \quad (5.4.25)$$

барabar болот.

Бул формула Джоуль-Ленцтин дифференциалдык закону деп аталат жана ал ток өтүп жаткан бирдик көлөмдүү өткөргүчтөн бир секундада бөлүнүп чыккан жылуулукту мүнөздөйт. (5.4.4-чийме).

Узундугу L , туурасынан кесилиши S болгон өткөргүчтөн t убактысында бөлүнүп чыккан жылуулукту табыш үчүн 5.4.25-формуланын L жана t боюнча интегралдоо керек (5.4.5-чийме)

$$\int_{S,t} W ds dt = \int_{L,t} \sigma E^2 ds dt$$

Бул барabarдыктын сол жагын Q тамгасы менен белгилеп, L σE экенигин өскө алып

$$Q = \int_S ds \int_t dt \int L Edl = \int S Ut$$

же ток өтүп жаткан өткөргүчтөн t убактысында бөлүнүп чыккан жылуулук

$$Q = IUt$$

(5.4.26)

барabar болот.

Бул формула Джоуль-Ленцтин интегралдуу закону деп аталат б.а. ток өтүп жаткан өткөргүчтөн бөлүнүп чыккан жылуулук Q токтуң күчүнүн I өткөргүчтүн кесиндисинин учтарындагы чыалуунун U жана убакыттын t көбөйтүндүсүнө барabar экен.

5.5. КЛАССИКАЛЫК ЭЛЕКТРОНДУК ТЕОРИЯНЫН КЕМЧИЛИКТЕРИ

Ошентип, электрондук теория тажырыйбалардан алынган Омдун, Друль-Ленцин закондорун туура түшүндүрө алат. Бирок, ал турактуу токту кээ бир закондорун туура түшүндүрө албайт.

1. Өткөргүчтүн каршылыгынын температурадан болгон көз карандылыгы тажырыйбада төмөндөгүдөй түшүндүрүлөт.

$$R_t = R_0 (1 + \alpha t) = \alpha R_0 T \quad (5.5.1)$$

Мында t —Цельсия шкаласы боюнча температура, T —абсолюттуу температура шкаласы, α —каршылыктын температуралык коэффициент, R_0 —нөл градус температурадагы каршылык (5.5.1-чийме). Ал эми классикалык электрондук теориядан, (5.4.16,

5.4.2. формуладан)

$$\rho = \frac{1}{\sigma} = \frac{m \bar{u}}{n 2e^2} \sim \bar{u} \sim \sqrt{T} \sim T^{1/2} \quad (5.5.2)$$

каршылык температуранын $1/2$ даражасына түз пропорциялаш экендигин көрөбүз. Ал эми тажырыйбадан алынган формулада (5.5.1) каршылык

$$R \sim \rho \sim T$$

температуранын биринчи даражасына түз пропорциялаш экендиги көрүнөт.

Ошентип, электрондук теория температура өскөндө, өткөргүчтүн каршылыгы чоңоерун туура туура түшүндүрө албайт экен.

2. Өзгөчө өткөрүмдүүлүк (сверхпроводимость)

5.5.1-формуладан, температура нөлгө умтулганда, өткөргүчтүн каршылыгы да нөлгө умтулары көрүнүп турат, б.а. $T=0$ болгондо. Бул закон биз жашаган чөйрөдөгү температуранын өзгөрүү чектери үчүн туура болот. 20-кылымдын башында газдарды суюктукка айландырууну жана алардын жардамы менен өтө төмөнкү (абсолюттук нөлгө жакын) температураны алууну үйрөнүштү, өтө төмөнкү температуурадагы өткөргүчтөрдүн каршылыктарын изилдеп, Голландиялык окутуучу Камерлинг-Оннес, 1911 жылы сымалтын каршылыгы $T=4.2\text{K}$ суюк Гелийдик кайноо температурасы) тап такыр жоголуп кетерин байкеди (5.5.1-чийме) кийинчерээк, сымалтан башка кээ бир заттар төмөнкү температураларда каршылыктарын жоготору аныкталды.

Өткөргүчтөрдүн төмөнкү температурадагы каршылыктарын жоготуу кубулушу өзгөчө өткөрүмдүүлүк, жана мындай өткөргүчтөрдү өзгөчө өткөргүчтөр деп аташат. Ар бир өзгөчө өткөргүчкө өзүнчө температуранын чеги туура келет (T_c). Эгерде өткөргүчтүн температурасы ушул температурадан төмөн болсо ($T < T_c$), өзгөчө өткөрүмдүүлүк пайда болот, ая эми $T > T_c$ болгондо бул кубулуш жоголот. Өткөргүч өзгөчө өтүмдүүлүк абалына өткөндө, магнит талаасын сүрүп чыгат, б.а. ар бир өзгөчө өткөргүчтөр үчүн чектүү магнит талаасынын чыңалышы H_c туура кетет. Эгерде сырткы магнит талаасынын чыңалышы ~~туура кетет~~ $H > H_c$ болсо, $T < T_c$ экендигине карабастан өзгөчө өткөрүмдүүлүк жоголот.

1980-жылдардын аяк чендерине чейин өзгөчө өткөрүмдүүлүктүн чеги 23 Кельвинден (К) көтөрүлбөдү (-250°C) Ошондуктан, мындай кубулуш өтө төмөнкү температурадагы өзгөчө өткөрүмдүүлүк деген атка конду. Бирок, 1988 -жылы немец окумуштуулары кээ бир кошулмалар (керамика) $\sim 100\text{K}$ температурадагы өзгөчө өткөрүмдүүлүктү алууга жетишти. Бул, эми жакын жылдардагы илимдеги эң чоң ачылыш болду. Кээ бир кошулмалар, айрым бир шарттарда, комнаталык температурада (300K) өзгөчө өткөрүмдүүлүк касиетке ээ болору байкалды. Бул кубулуш жогорку температуралуу өзгөчө өткөрүмдүүлүк (HTSC) деп аталып калды. Бул кубулуштун негизинде жаңы приборлор, жаңы системалар курула баштады.

Өзгөчө өткөрүмдүүлүк кубулушу классикалык электрондук теория менен түшүндүрүлбөйт. Ал үчүн кванттык теория колдонулат.

Ошентип, электрондук теория өткөргүчтүн каршылыгынын температурадан болгон көз карандылыгын түшүндүрүүгө жетиликтүү модалды кучагына албайт экен.

3. Видеман-Францтын закону

Металлдар жогорку электр өткөрүмдүүлүгүнө ээна ээ болбостон, жогорку жылуулук өткөрүмдүүлүгүнө да ээ. Анын бул касиеттери эркин электрондор менен түшүндүрүлөт. Видеман-Франц эмпирикалык жол менен өткөргүчтөрдүн жылуулук

өткөрүмдүүлүгүнүн анын электр өткөрүмдүүлүгүнө болгон катышы бардык металлдар үчүн бирдей жана температурага түз пропорциялап деген законду аныкташкан. Металлдагы электрондорду "идеалдуу газ" деп алганбыз. Анын жылуулук өткөрүмдүүлүгү

$$\chi = \frac{1}{2} n k \bar{u} \lambda \quad (5.5.3)$$

Бул тунтманы 5.4.15 -тунтмага койсок

$$\frac{\chi}{\sigma} = \frac{1}{2} \frac{n p \bar{u} \lambda}{n e^2 \lambda} 2 m u = n \frac{m \bar{u}^2}{e^2}, \quad \frac{m \bar{u}^2}{2} = \frac{3}{2} k T$$

эске алып

$$\frac{\chi}{\sigma} = 3 \left(\frac{k}{e} \right) T \quad (5.5.4)$$

барabar болот. Эгерде Максвеллдин теориясындагы газдардын молекулаларына ылдамдыктардын бөлүнүшүн эске алсак, 5.5.4.-формулада "3" коэффициентинин ордуна "2" кошулу керек. Ошентип, теория менен эксперименттин ортосундагы айрыма (3/2) эсе болот экен.

Классикалык электрондук теория булардан башка дагы металлдардын жылуулук сыйымдуулугун туура түшүндүрө албайт

Бул классикалык теориядагы кыйынчылыктар, анын толук эмес экендигин көрсөтөт. Бул түшүндүрүлбөгөн кубулуштарды квант механикасында түшүндүрүлөт.

5.6. СМДУУ ЖАЛТЫНГАН ЗАКОНУ ЖЕ ТАРМАКТАЛГАН ЧЫҢЫР ҮЧҮН КИРХГОФТУН ЗАКОНДОГУ.

Тармактанган чыңырлардын айрым бөлүктөрүндөгү токторду аныктоо кыйынчылыктарга алып келет. Мындай чыңырлар үчүн Кирхгофтуң (закондорун) эрежелерин колдонулат. Мындай эреже экөө:

I. Чыңырдын түйүнүнө кирген токтордун алгебралык суммасы нөлгө барабар (5.6.I-чийме)

$$\sum_{k=1}^n I_k = 0 \quad (5.6.I)$$

түйүн деп экиден көп өткөргүчтөрдүн туташкан чекитти айтабыз. Эгер ток түйүнгө кирсе бир белги менен алына, андан чыккан ток карама-каршы белги менен алынат. 5.6.2-чиймедеги А, В, С, Д, Е -чекиттери түйүндөрдү түзүшөт. Бул түйүндөрдүн аралыгында каршылыктар $r_1, r_2, r_3 \dots$, ЭКК булактары $\mathcal{E}_1, \mathcal{E}_2, \mathcal{E}_3 \dots$ болушат.

II. Ар бир туюк чыңжырдагы каршылыктардын алар аркылуу өткөн токторго болгон көбөйтүндүлөрүнүн (каршылыктардагы потенциалдардын төмөндөпү) алгебралык суммасы андагы ЭКК (электр кыймылдаткыч күчтөрүнүн) алгебралык суммасына барабар

$$\sum_{i=1}^n I_i R_i = \sum_{i=1}^n \mathcal{E}_i \quad (5.6.2)$$

Аягыркы формуланы жайып жазып үчүн төмөнкү аракеттерди кылабыз: I. Чыңжырдын ар бир элементи аркылуу өтүүчү токту багытын шарттуу түрдө көрсөтүү;

2. Туюк чыңжырдын элементтерин кыдыруу багытын тандоо (сааттын жебесинин айлануу багыты боюнча же карама-каршы (5.6.2-чийме)).

Эгерде токту багыты менен кыдыруу багыты дал келсе $I_i R_i$ оң белги менен карама каршы болсо терс белги менен жазылат. Ошондо эле ток ЭКК булагынын оң уюлунан чыгып, терс уюлуна кирсе \mathcal{E}_i оң белги менен алынат.

Мисалы; $ABCEA$ чыңжыры үчүн:

$$I_1 r_1 + I_2 r_2 - I_3 r_3 - I_4 r_4 = \mathcal{E}_1 - \mathcal{E}_2 - \mathcal{E}_4 \quad (5.6.3)$$

$ABCD$ чыңжыры үчүн:

$$I_4 r_4 + I_3 r_3 - I_5 r_5 - I_2 r_2 = -\mathcal{E}_4 - \mathcal{E}_5 + \mathcal{E}_2 \quad (5.6.4)$$

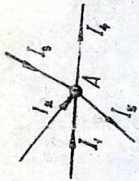
түйүнү үчүн Кирхгофтуң биринчи закону

$$I_2 - I_3 - I_5 = 0 \quad (5.6.6)$$

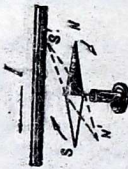
Мындай теңдемелердин саны тармактан чыңжырдагы белгисиз параметрлердин (I, R, \mathcal{E} ж.а.) санына барабар болуу керек. Бул алгебралык теңдемелердин системасынан белгисиз керектүү параметрлерди аныктаого болот.



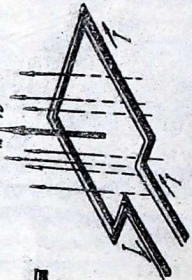
5.1 - ЧИТЊЕ



5.2 - ЧИТЊЕ



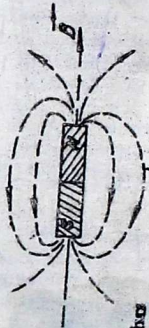
7.1 - ЧИТЊЕ



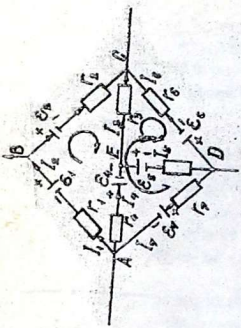
7.2 - ЧИТЊЕ



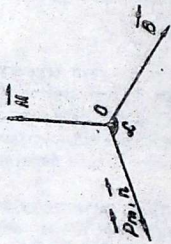
7.3 - ЧИТЊЕ



7.4 - ЧИТЊЕ



8.2 - ЧИТЊЕ



7.5 - ЧИТЊЕ

ЭЛЕКТРОМАГНИТИЗМ

Глава-7. Турактуу токтуу магнит талаасы.

7.1. Магнит талаасы. Магнит индукциясынын вектору \vec{B} .

Баяыркы гректерге, турактуу магниттер жана алардын темир булчуңдарды өзүнө тарта турган жөндөмдүүлүктөрү белгилүү болгон. Жер шары да магнит болуп эсептелет. Илгерки кытайлар жердин магниттик касиеттин пайдаланып компасын жасашкан.

Биз мурда электр заряддарынын айланасында электр талаасы пайда болорун көргөндөй, турактуу магниттердин жана электр токторунун айланасында магнит талаасы пайда боло тургандыгын көптөгөн тажрыйбалар көрсөткөн. Турактуу магнитти же ток өтүп жаткан (токтоу) өткөргүчтү магнит талаасына киргизгенде аларга күч таасир этет. Магнит талаасы деген атын токтуу талаасынын магнит жебесине болгон таасирине байланыштырышат. (Эрстедтин тажрыйбасы, 1920 ж, 7.1.1-чийме). Эгерде түз өткөргүчтү магнит жебесине жакын жана жарып кылып жайланыштырып, ал аркылуу ток жиберсек жебече өткөргүчкө перпендикуляр багытты көздөй айланат. Токтун күчү канчалык көп болсо, жебече ошончолук перпендикулярдуу болууга умтулат.

Магнит жебесин жердин үстүнө койсок бир учу түндүктү, экинчи учу түштүктү көздөй дайыма багыттанат. Жебенин түндүктү көздөй дайыма багыттанат. Жебенин түндүктү караган учун түндүк үлү деп \angle тамгасы менен белгилеп, ал эми түштүктү караган учун түштүк үлү деп \searrow тамгасы менен белгилеп коюлган.

Магнит талаасы токтоу өткөргүчкө да аракет кылат.

Электр тогу заряддуу бөлүкчөлөрдүн багыттуу кыймылы болгондуктан: 1) Магнит талаасы кыймылдагы заряддарга гана аракет этет, ал эми кыймылсыз турган заряддарга таасир этбейт. Бизге белгилүү электр талаасы ар кандай абалдагы (тыныш жана кыймылда) заряддарга таасир этерин эске салайлы.

2) Ошондой эле токтуу айланасында магнит талаасы пайда болгондуктан, ар бир кыймылда болгон заряддын айланасында да магнит талаасы пайда болот деген жыйынтыкка келебиз.

3). Электр заряды кыймылдаганда анын айланасында электр талаасына кошумча магнит талаасы пайда болот экен.

Жалпы магнит талаасынын негизинде магнит талаасынын булагы болуп кыймылдагы заряддар б.а. электр тогу өсөтөлөрү аныкталган.

Магнит талаасын мүнөздөө үчүн магнит индукциясынын вектору \vec{B} киргизилет. Эми бул чоңдукту кантип аныктоо жана өлчөө керек?

Ал үчүн магнит талаасынын магнит жебесине, кылган аракетин пайдалансак болор эле. Бирок, ал үчүн магнит жебесинин магниттик касиетти белгилүү болушу керек. Бирдей касиеттери жебелерди жасоого болбойт жана убакыт өткөн сайын алардын магниттик касиети өзгөрөт.

Ошондуктан магнит талаасынын токтуу өткөргүчкө аракетин пайдаланабыз. Ток өтүп жаткан алкакты (рамканы) магнит талаасына киргизгенде, ал айланып калса да бир белгилүү багытка буруларын тажырыйбалар көрсөттү. Ал багыт магнит талаасынын багытына жараша болору аныкталды. Бул алкактын магнит талаасында айланышы, ага күчтүн ийини (момент силы) \vec{M} таасир этерин көрсөтөт.

Ошентип, магнит индукциясынын векторун аныктоо үчүн токтуу алкакты алабыз. Мындай алкак аркылуу өткөн токтуң күчү I жана ал курчаган тегиздиктик аянты S белгилүү болсо, аны ченелүү алкак деп коёбуз. Ченелүү алкакты мүнөздөөчү чоңдук катары алкактын магнит ийининин вектору \vec{P}_m (вектор магнитного момента) киргизебиз.

$$\vec{P}_m = I \cdot S \vec{n}$$

Мында \vec{n} ошол алкак курчаган тегиздикке тургузулган нормалдын бирдик вектору ($\vec{n} \cdot \vec{n} = 1$). Эгерде бурманын туккасынын айланышы багыты токтуң багыты менен дал келсе нормалдын багыты катары оң бурманын жылмыш багыты алынат.

Ушундай токтуу алкакты магнит талаасына кайтаныштырсак, анда алкак айланып, тең салмактуу абалды ээлейт ($M=0$). Ошол алкактын нормалынын багыты магнит талаасынын багытына көрсөтөт.

Ченелүү алкакка таасир эткен күчтүн ийини \vec{M} алкактын магнит ийинине \vec{P}_m жана магнит индукциясынын векторуна түз пропорционал өлчөмдөгү тажырыйбалар көрсөтөт, б.а.

$$\vec{M} = k' [\vec{\rho}_m \times \vec{B}]$$

(7.1.2)

Бизде k' тажыриббадан аныкталуучу пропорция коэффициентти,
же

$$M = k' \rho_m B \sin(\vec{n} \times \vec{\beta}) \quad (7.1.3)$$

7.1.2. же 7.1.3 формуладан магнит талаасынын, алкак жайла-
нышкан чекиттеги чондугун (B) аныктоого болот (7.13-чийме).
Эгерде $|\vec{\rho}_m| = 1$ деп, жана алкактын нормалы \vec{n} менен \vec{B} вектору-
нун ортосундагы бурч $\alpha = 90^\circ$ болсо, 7.1.3-формуладан $B=M$
экендигин алабыз б.а. мындай шартта магнит индукциясы \vec{B}
күчтүн ийинине \vec{M} барабар болот. Ошентип, магнит индукциясынын
вектору \vec{B} бирдик магнит ийиндүү ченелүү алкакка таасир
эткпей күчтүн ийинине барабар экен. Демек \vec{B} магнит талаа-
сынын күчтүк мүнөздөмөсү болот.

Магнит талаасын ушундай жакма менен өлчөш үчүн ченелүү ал-
кактын өлчөмдөрү жеткиликтүү кичинекей болуш керек, б.а.
алкактын тегиздигинин ар бир чекитинде \vec{B} бирдей (бир тек-
түү) болушу керек.

Магнит талаасын электр талаасы сыяктуу эле күч сызык-
тардын жардамы менен сүрөттөп көрсөтүүгө болот. Магнит ин-
дукциясынын күч сызыктары анын ар бир чекитине жүргүзүл-
гөн жакма сызык \vec{B} векторунун багыты менен дал келгендей
кылып жүргүзүлөт. Магнит талаасынын чондугу бул сызыктар-
дын тыгыздыгы аркылуу сүрөттөлөт (7.1.4-чийме).

Магнит талаасынын күч сызыктары дайыма турук болушат жана
токтуу өткөргүчтү курчап турушат.

Эгерде токтуу өткөргүч ар кандай чөйрөдө (боштукта,
диэлектриктердин же магниттик материалдардын ичинде ж.б.)
жайланып, ар кандай чөйрөдө B ар түрдүү чондукта болот.
Себеби, чөйрөлөр атомдордон, молекулалардан турат. Алардагы
айланып жүргөн электрондор микротокторду түзүшөт. Ар кан-
дай ток сыяктуу эле бул микротоктор дагы өзүнүн магнит
талаасын түзүшөт. Бул өзүмдүк магнит талаалар токтуу өт-
көргүчтүн (макротоктун) магнит талаасы менен кошулат. Ошөн-
тип, магнит индукциясынын вектору B макро жана микро ток-
тордун магнит талааларынын суммасына барабар экен.

Боштукта (вакуумда) жайланышкан токтуу өткөргүчтүн (макро-

токтун) магнит талаасын мүнөздөө үчүн магнит талаасынын чыңалышы \vec{H} деген чоңдук киргизилет, ал \vec{B} сыяктуу эле вектор жана күчтүк мүнөздөмө.

Демек, $\vec{B}_0 = \vec{H}$ (абсолюттук системасында - СГСМ)
 $\vec{B}_0 = \mu_0 \vec{H}$ СИ системасында

Мнда -магниттик турактуу сан,

СГСМ-системасында $\mu_0 = 1$

СИ-системасында $\mu_0 = 4\pi \cdot 10^{-7} \text{ Гн/м}$

Заттардын магниттик касиети магнит өтүрдүүлүгү μ менен мүнөздөлөт. Эгерде токтун айланасында кандайдыр бир чөйрө болсо, анчн магнит талаасы чөйрө жок кездегиге салыштырганда μ эсе чоң болот экен (бул жөнүндө кийинчерээк толугураак токтолобуз), б.а.

$$\vec{B} = \mu \vec{B}_0 = \mu \mu_0 \vec{H} \quad (7.1.4)$$

μ - чөйрөнүн магнит өтүрдүүлүгү, өлчөмсүз сан.

\vec{B}_0 - боштуктагы магнит талаасынын индукциясы

7.2. БИО-САВАР -ЛАПЛАСЫН ЗАКНЫ

Турактуу токтун магнит талаасынын закон ченемдүүлүктөрүн тажырыйба жүзүндө БИО жана Савар эздөштүргөн, анчн математикалык формула түрүндө Лаплас жазган.

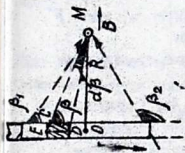
Магнит талаасынын булагы болуп ток эсептелерине илендик. Бирок, магнит талаасынын чоңдуктары \vec{B}, \vec{H} токтун күчүнө гана эмес, ошол ток өтүп жаткан контурдун калыбына да жараша болот. Бул кыйындыктан кутулуп үчүн: 1) Ток өтүп жаткан контурду жөнөкөй жана өтө кичинекей dl бөлүктөргө (элементтерге) бөлүшкөн жана бул элементти токтун күчүнө болгон көбөйтүндүсүнө токтун элементи $|dl|$ деп аташкан. Магнит талаасынын чоңдугу токтун элементинен гана көз каранды болот. 2) Ток өтүп жаткан контурдун толук магнит талаасы ошол элементтер түзгөн элементардык магнит талаалардын вектордук суммасына барабар болот (суперпозиция принциби)

$$\vec{H} = \sum_{i=1}^N d\vec{H}_i \quad \vec{B} = \sum_{i=1}^N d\vec{B}_i = \int d\vec{B}_i \quad (7.2.1)$$

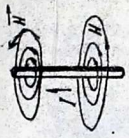
Ошентип, токтун өткөргүчтүн магнит талаасын табыш үчүн, адегенде токтун элементинин магнит талаасынын закон ченемдүүлүгүн табыш керек экен, б.а. $d\vec{H} = f(I dl, r, \dots)$ табуу



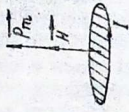
7.2.1 - ЧИЖИМЪ



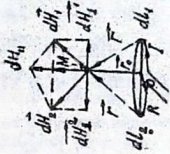
7.3.1 - ЧИЖИМЪ



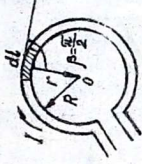
7.3.2 - ЧИЖИМЪ



7.4.2 - ЧИЖИМЪ



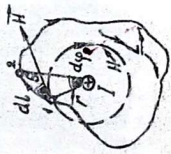
7.4.1 - ЧИЖИМЪ



7.4.3 - ЧИЖИМЪ



7.4.4 - ЧИЖИМЪ



7.5.1 - ЧИЖИМЪ

керек. Бул закон ченемдүүлүктү Бис-Савар -Лапластар табжы кан (7.2.1^а- чийме)

$$dH = k \frac{Idl}{r^2} \sin \beta \quad (7.2.2)$$

жө вектордук түрдө

$$d\vec{H} = k \frac{[Idl \times \vec{r}]}{r^3} \quad (7.2.3)$$

Инда \vec{r} - радиус вектор, k - пропорция коэффициенти: $k = 10^{-7}$ СИ системасында, $k = \frac{1}{4\pi}$ СИ системасында.

Ошентип, токтуун элементи Idl дин r аралыгында түзгөн магнит талаасы dH ошол токтуун элементине Idl жана \vec{r} векторлорунун ортосундагы бурчтун синусунун көбөйтүндүсүнө түз пропорциялат ал эми аралыктын квадратына тескери пропорциялат.

Элементардык магнит талаасынын багыты Idl дин багытына салыштырмалуу оң бурчтун эрежеси боюнча аныкталат (7.2.1^б-чийме). 7.1.4-формуланын негизинде $d\vec{B}$ ны $d\vec{H}$ аркылуу төмөндөгүчө тунтудушат

$$d\vec{B} = k \mu_0 \frac{[Idl \times \vec{r}]}{r^3} \quad (7.2.4)$$

Бис-Савар-Лапластык жана суперпозиция принципин колдонуп ар кандай түрдөгү контурлар аркылуу өткөн токтордун магнит талаасын табууга болот. Төмөндө ушул боюнча эки мисал карайлы.

7.3. ТҮЗ СӨЛӨНГҮ ТОКТУН МАГНИТ ТАЛААСЫ

Түз токтуун R аралыгында жаткан M чекитиндеги магнит талаасын табайлы. Бул токтуун ар кандай элементтери Idl үчүн dH магнит талаасынын багыты бирдей болгондуктан алардын суперпозициясы алгебралык суммасына барабар болот (7.3.1) (7.3.1-чийме). Ошондуктан, Бис-Савар-Лапластын законуна (7.2.2). Суперпозиция принципин (7.2.1) колдонуп, M чекитиндеги түз ток түзгөн магнит талаасынын чыңалышын H табабыз. Бирок, биз азырын колдонуучу формулада берилген системалык ошолчон турган чоңдуктарды аркылуу (I, R, β) тунтудушубуз керек. Ошентип,

$$dH = k \frac{Idl}{r^2} \sin \beta \quad (7.3.1)$$

$$\vec{H} = \sum_{i=1}^M d\vec{H}_i = \int d\vec{H} \quad (7.3.2)$$

L -контурдун ток өтүп жаткан узундугу

7.3.1-формуладагы r, d, l, β параметрлерин өлчөнүүчү чоңдуктарга алмаштыралы 7.3.1-чиймеден үч бурчтуктардан

$$\triangle ODM : - r = d / \sin \beta \quad (7.3.3)$$

$$\text{үч бурчтук } \triangle CDE : DC = dl \sin \beta \quad (7.3.4)$$

$$\text{үч бурчтук } \triangle DMC : DC = rd \beta \quad (7.3.5)$$

7.3.4 жана 7.3.5 формулаларды теңдеп, жана 7.3.3 эске алып

$$dl = \frac{rd\beta}{\sin \beta} = \frac{R d \beta}{\sin^2 \beta} \quad (7.3.6)$$

Эми (7.3.6) жана (7.3.3) формулаларды (7.3.1)-заңго коюп төмөнкүнү алабыз

$$\mathcal{N} \quad dH = k \frac{I}{R} \sin \beta d\beta \quad (7.3.7)$$

Бул туунтма dl элементинин токтон R аралыктагы dH магнит талаасын аныктайт. Бардык элементардык токтордун M чекитиндеги түзгөн талаасын табыш үчүн 7.3.7 туунтмага суперпозиция принцибин (7.3.2) колдонобуз, б.а.

$$H = \int dH = k \frac{I}{R} \int_{\beta_1}^{\beta_2} \sin \beta d\beta = -k \frac{I}{R} \sin \beta \Big|_{\beta_1}^{\beta_2} = k \frac{I}{R} (\sin \beta_1 - \sin \beta_2) \quad (7.3.8)$$

$$H = k \frac{I}{R} (\sin \beta_1 - \sin \beta_2)$$

Бул формула ийке түз ток үчүн колдонулат.

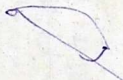
Эгерде түз токту узундугу чексиз болсо, $\beta_1 = 0$, $\beta_2 = \pi$ чексиз түз ток үчүн (7.3.8) теңдемеден H үчүн төмөнкүнү алабыз

$$H = 2k \frac{I}{R} \quad (7.3.9)$$

Ошентип, чексиз түз токту магнит талаасынын сыңалымы токту күчүнө I түз пропорциялаш, ал эми андан каралган M чекитине чейинки R аралыкка тескери пропорциялаш экен.

Алынган туунтма түз токко перпендикуляр болгон тегиздиктеги R аралыкта жаткан бардык чекиттер үчүн бирдей болгондуктан, бул чекиттердин орду айланамы түзөт.

Ошондуктан, түз токту магнит талаасынын күч сызыктары борбору токту жаткан борбордон айланалардын тобуу түзүшөт. (7.3.2-чийме). Магнит талаасынын күч сызыктарынын багыты оң бурчунун эрежеси боюнча аныкталат.



7.4. ТЕГЕРЕК ТОКТУН МАГНИТ ТАЛААСЫ

Радиусу R болгон айлана аркылуу жүргөн I тогунун анын борбору аркылуу өткөн оңундагы магнит талаасын табайлы (7.4.1-чийме). Ал үчүн дагы эле Био-Савар-Лапластын (7.2.2) жана суперпозиция принцибин колдонобуз (7.2.1). Мурдагыдай эле контурдун параметрлерин өлчөнө турган I, R, r_0 болгондуктан аркылуу туюнталы, 7.4.3-чиймеден: $d\vec{l} \perp \vec{r}$ болгондуктан $\beta = 90^\circ$, $\sin\beta = 1$. 7.2.2-формуладан 7.4.1-чиймеден: $d\vec{l} = dl_1$ болгондуктан $dH_1 = dH_2 = dH$ жана $d\vec{H}_1$ жана $d\vec{H}_2$ векторлорун окко перпендикулярдуу dH_1 жана жарыш dH_2 түзүүчүлөргө ажыратсак $dH_1' = -dH_1^2$, $dH_n = dH \cos\alpha$ болот. Буга (7.4.1) көп төмөнкү алабыз $dH = k \frac{Idl}{r^2}$ (7.4.1)

$$dH_n = dH \cos\alpha = k \frac{Idl}{r^2} \cos\alpha \quad (7.4.2)$$

Эми суперпозиция принцибин колдонолу.

Анда $d\vec{H}_1 = \sum_{i=1}^N d\vec{H}_1' = 0$ себеби $dH_1 = -dH_1^2$
Ошондой эле айлананы карама-каршы жактарындагы ушундай куч элементеринин магнит талааларынын нормалдуу түзүүчүлөрү dH_1 бирин кошуп, натыйжада алардын бардыгынын суммасы нөлгө барабар болот. Ал эми жарыш түзүүчүлөрү dH_n бир багыттагуу болгондуктан кошулушат, б.а.

$$H = \oint dH_n = k \frac{I \cos\alpha}{r^2} \oint dl = k \frac{I \cos\alpha}{r^2} 2\pi R \quad (7.4.3)$$

$\triangle MOH$ бурчтугунан пифагордун теоремасын негизинде $r^2 = r_0^2 + R^2$ жана $\cos\alpha = \frac{R}{\sqrt{R^2 + r_0^2}}$ экендигин табамыз.

Акыркыларды 7.4.3-туюнтмага көп, төмөнкү барабардыкты алабыз

$$H = k \frac{2\pi R I}{R^2 + r_0^2} \frac{R}{(R^2 + r_0^2)^{1/2}} = k \frac{2\pi R^2 I}{(R^2 + r_0^2)^{3/2}} \quad (7.4.4)$$

Бул туюнтма тегерек токтун күчү I контурунун радиусу R жана тегеректин борборунан r_0 аралыктагы окто каткан M чекиттиндеги магнит талаасынын чыңалышын (H) аныктайт. Эми четки чектеги учурларды карайлы:

1) Айлананын борбору үчүн $r_0 = 0$ болгондуктан, борбордогу магнит талаасы

$$H_0 = k \frac{2\pi I}{R} \quad (7.4.5)$$

барабар болот

2). Төсгөрсинче $r \gg R$ болсун. Анда $r^2 \gg R^2$ болгондуктан, (7.4.4) - теңдемеден

$$H = k \frac{2\pi R^2 I}{r^3} = k \frac{2IS}{r^3} = \frac{k}{r^2} \frac{p_m}{r} : p_m = k' IS$$

p_m - контурдун магнитинин ийини.

Өшөнтүп, кичинекей тегерек контурдун магнит талаасы

$$\vec{H} = \frac{k}{r^2} \frac{\vec{p}_m}{r}$$

контурдун магниттик ийинине \vec{p}_m түз пропорциялап жана багыты менен дал келет экен (7.4.2-чийме).

Тегерек токтуу магнит талаасынын күч сызыктары, ток курчаган туюк айланалардын болушат. Борбору аркылуу өткөн күч сызык айлананын огу менен дал келет (7.4.4-чийме).

7.5. МАГНИТ ТАЛААСЫНЫН ЧЫНАЛЫШ ВЕКТОРУНУН ЦИРКУЛЯЦИЯСЫ ЖӨНҮНДӨГҮ ТЕОРЕМА (ТОЛУК ТОКТУУ ЗАКОНУ)

Ар кандай токтуу өткөргүчтүн же өткөргүчтөрдүн табууну түзгөн магнит талаасын Био-Савар Лапластын законунун жана суперпозиция принцибинин негизинде табууга боло тургандыгын жогоруда көрсөттүк. Бирок бул жол жөнөкөй учурлар үчүн (түз жана тегерек токтор) ыңгайлуу, бирок жалпы жөнүнөн өзүн актабаган узун жана таттал эсептөөлөргө алып келет. Тогу бар өткөргүчтөрдүн магнит талаасын табуунун жөнөкөй закону болуп, магнит талаасынын чыналыш векторунун (\vec{H}) циркуляциясы жөнүндөгү теорема эсептелет. Ал үчүн адегенде \vec{H} векторунун циркуляциясы эчине барабар экендигин аныктайлы. I тогун курчаган контур L ушул токто перпендикуляр тегиздикте жатсын (7.5.1-чийме). \vec{H} векторунун туюк L контуру боюнча болгон циркуляциясы деп, ушул туюк контур боюнча эки \vec{H} жана $d\vec{l}$ (контурдун элементи) векторлорунун скалярдык көбөйтүндүсүнөн алынган интеграл аталат, б.а.

$$\oint_L \vec{H} \cdot d\vec{l} = \oint_L H dl \cos(\vec{H} \cdot d\vec{l}) = \oint_L H dl \quad (7.5.1)$$

Мында $H_0 = H \cos \theta$ \vec{H} векторунун $d\vec{l}$ элементииндеги проекциясы, $\angle \theta = (\vec{H} \cdot d\vec{l})$

$$7.5.1\text{-чиймеде көрүнгөндөй } dl_0 = dl \cos \theta, dl_0 = r d\varphi, \quad (7.5.2)$$

б.а. $dl \cos \theta = r d\varphi$

Түз I токтун r аралыгындагы магнит талаасынын чыналышы

$$H = \rho \frac{2I}{R}$$

(7.5.3)

экендигин жана 7.5.2-туунтмаларды эске алып, 7.5.1-формуладан

$$\oint H_i dl = k \cdot 2I \oint d\varphi$$

(7.5.4)

элабыз.

Бул туунтмага, интегралдын параметри болуп ток өткөн өткөргүчтү айланган φ бурчу эсептелет. Биз \angle контуру боюнча толук айланып чыксак φ бурчу 0 дон 2π чейин өзгөрөт б.а.

$$\oint H_i dl = k \cdot 2I \int_0^{2\pi} d\varphi = k \cdot 4\pi I$$

(7.5.5.)

Бул интеграл, эгерде \angle контуру жаткан тегиздик I тогуна перпендикуляр болбосо да туура болот. Себеби dl векторун I тогунун багытына жарыш жана перпендикуляр кылып ажыратканда $d\vec{l} = d\vec{l}_n + d\vec{l}_t$

$$H d\vec{l} = H dl_n \cos(\vec{H} \cdot d\vec{l}_n) + H dl_t \cos(\vec{H} \cdot d\vec{l}_t) : \cos(\vec{H} \cdot d\vec{l}_n) = 0$$

б.а. dl векторунун перпендикуляр түзүүчүсү $d\vec{l}_t$ тана мааниге ээ болот.

Биз жогоруда I тогун курчаган тулк \angle контурун карадык. Эгерде мындай тулк контур токту курчабаса $\oint H_i dl$ нөлгө барабар экендигин оңой эле көрсөтүүгө болот.

Эгерде тулк \angle контуру бир нече токторду курчаса (7.5.2-чийме) бул интеграл

$$\oint H_i dl = k \cdot 4\pi \sum_{i=1}^N I_i$$

(7.5.6)

б.а. Магнит талаасынын чыналыш векторунун тулк контур боюнча циркуляциясы сан жагынан ошол контур курчаган токтордун алгебралык суммасын $k \cdot 4\pi$ көбөйткөнгө барабар экен. Бул биз жогоруда атаган теореманын аяктамасы болуп эсептелет. Бул теореманы толук токтуу закону деп да атап козшат.

7.5.2-чийме үчүн, алгебралык токтордун суммасы $\sum_{i=1}^N I_i = I_1 + 2I_2 + 0I_3 - I_4$ болот, б.а. ар бир ток тулк контур аркылуу канча жолу курчалса ошончо жолу эсептелет:

I_1 тогу бир жолу, I_2 тогу эки жолу, I_3 тогу курчалбайт, I_4 тогунун багыты карама-каршы.

Бул теорема магнит талаасынын негизги закону болуп эсептелет, б.а. 7.5.6-формуладан: 1) Магнит талаасынын булагы болуп электр тогу эсептелет. 2) Магнит талаасын

токторду курчап турган тулк күч сызыктардан турат. Мындай талааларды соленоидалдуу же куюндуу деп аташат.

Бул теореманы колдонуунун мисалдарына токтололу.

7.6. СОЛЕНОИДДИН ЖАНА ТОРОИДДИН МАГНИТ ТАЛААЛАРЫ

Кандайдыр бир өзөккө бир калыпта удаалаш оролгон өткөргүчтөрдү соленоид деп аташат. Бул оромолор аркылуу бирдей I тогу өтөт. (7.6.1-чийме). Эгерде соленоиддин узундугу l , андагы оромолордун саны N болсо, андагы оромолордун тыгыздыгы $n = \frac{N}{l}$ болот. Ар бир оромонун түзгөн магнит талаасы кошулат.

Эгерде соленоиддин узундугу анын диаметринен алда канча чоң болсо, аны чексиз узун деп кароого болот. Мындай соленоиддин магнит талаасы анын ичинде топтолгон, анын сыртында жокко эсе (7.6.1-чийме). Ушундай чексиз узун соленоиддин магнит талаасын табыш үчүн магнит талаасынын чыңалып векторунун циркуляциясынын теоремасын колдонуубуз 7.5.6-формуладан.

$$\oint \vec{H}_i d\vec{l} = \kappa_0 \kappa N I \quad \text{алабыз.}$$

Бул формуладан магнит талаасынын чыңалышын табыш үчүн, барабардыктын сол жагындагы интегралды эсептеш үчүн ыңгайлуу түрдөгү тулк контурду алуубуз керек. Биздин шартта мындай контур N оромду өзүнө курчаган узундугу l болгон тик бурчтук болот, б.а. тулк l контуру бокунча болгон интегралды тик бурчтуктун төрт жактары бокунча болгон төрт интегралдын суммасы катары кароого болот.

$$\oint \vec{H}_i d\vec{l} = \int_1^2 \vec{H}_i d\vec{l} + \int_2^3 \vec{H}_i d\vec{l} + \int_3^4 \vec{H}_i d\vec{l} + \int_4^1 \vec{H}_i d\vec{l} = \kappa_0 \kappa N I$$

Тик бурчтуктун 1-2 жана 3-4 жактары магнит талаасынын векторуна перпендикуляр болгондуктан $H_i = H \cos 90^\circ = 0$. Ал эми чексиз соленоиддин сыртында магнит талаасы болбогондуктан $H = 0$ 4-1 жакында да $H_i = 0$

Эментип, $\oint \vec{H}_i d\vec{l} = \int_2^3 \vec{H}_i d\vec{l} = \int_2^3 H dl = Hl = \kappa_0 \kappa N I$

б.а. $H = \kappa \frac{\kappa_0 N I}{l} = \kappa_0 \kappa n I$

Бул формуладак соленоиддин магнит талаасы анын ичинде

Топтолгон жана бир тектүү, ал токтун / күчүнө жана ормолордун λ жытыгына түз пропорциялап өгөн. Бир тектүү магнит талаасы жарыл, бирдей жытыкта жайланышкан күч сызыктар аркылуу көрсөтүлгөн (7.6.2-чийме).

Эгерде соленоиддин узундугу чектелүү болбосо ($l \rightarrow R$) анда анын магнит талаасы // анын огуна кандайдыр бир чекитинде төмөнкүдөй аныкталарын далилдебестен жазалы (7.6.1-чийме)

$$H = k \frac{2NI}{\cos \varphi_2 - \cos \varphi_1}$$

(7.6.3)

Мында $\varphi_2 < \varphi_1$, $\cos \varphi_1 = -l/R^2 + l^2$

$$\cos \varphi_2 = (l-l)/\sqrt{R^2 + (l-l)^2}$$

2. Тороид деп туок соленоидди айтабыз (7.6.3-чийме) тороиддин магнит талаасынын чыңалтын табын үчүн 1.6.7-формула-ны колдонсубуз, тороиддин узундугу $2\pi R$.

R - тороиддин орточо радиусу,

$$H = k \frac{2NI}{R}$$

(7.6.4)

Ажыркы формуладан, тороиддин магнит талаасын чексиз соленоид сыяктуу эле бир тектүү жана анын ичинде гана пайда болору келип чыгат.

7.7. КЫҒЫЛДАГЫ ЗАРЯДДИН МАГНИТ ТАЛААСЫ

Био-Савар-Лапластын законунун негизинде Idl токтун элементи аралыгында dH магнит талаасынын чыңалтын түзгөнүн көрсөтсөүз, б.а.

$$dH = k \frac{Idl \times \vec{r}}{r^3}$$

(7.7.1)

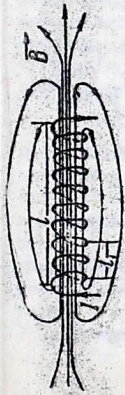
Электр тогу багыттуу кыҒылдагы заряддардын тобу болгондуктан, dH талаасы элементидагы заряддардын түзгөн талаасынын вектордук суммасына барабар болот, б.а.

$$dH = H$$

(7.7.2)

Мында H кыҒылдагы бир заряддын түзгөн магнит талаасы. Эгерде $dl \ll r$ болсо, радиус вектор \vec{r} бардык заряддар үчүн бирдей болот.

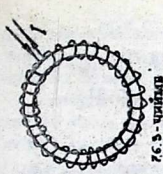
Токтун Idl элементин заряддардын саны N ылдамдыгы v жана чоңдугу q аркылуу тунтабыз (7.7.1-чийме)



7.6.1 - ЧИЙМЕ



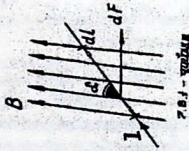
7.6.2 - ЧИЙМЕ



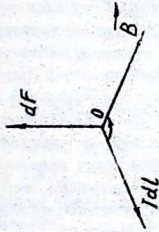
7.6.3 - ЧИЙМЕ



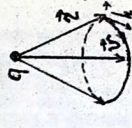
7.7.1 - ЧИЙМЕ



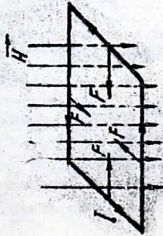
7.8.1 - ЧИЙМЕ



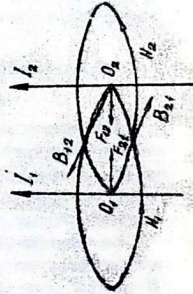
7.8.2 - ЧИЙМЕ



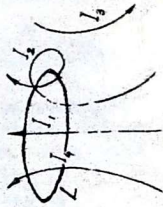
7.9.2 - ЧИЙМЕ



7.9.3 - ЧИЙМЕ



7.9.4 - ЧИЙМЕ



7.10.1 - ЧИЙМЕ

$$Idl = jSdl \quad j = nq\vec{v} \quad \text{токтун тыгыздыгы}$$

$$I\vec{dl} = nq\vec{v}Sdl = q\vec{v}nV = Nq\vec{v} \quad (7.7.3)$$

Алгачкы туунтманы 7.7.1-формулага кош

$$d\vec{H} = kNq \frac{[\vec{v} \times \vec{r}]}{r^3}$$

N заряддын аралыгындагы магнит талаасынын чыңалыгын таптык. Бир заряддын магнит талаасын табыш үчүн $d\vec{H}$ ты заряддардын саны N го көбөлөбүз.

$$\vec{H} = \frac{d\vec{H}}{N} = kq \frac{[\vec{v} \times \vec{r}]}{r^3} \quad (7.7.4)$$

Бул ындамдыгы болгон бир q заряддын аралыгындагы магнит талаасынын чыңалыгы болуп эсептелет. Кыймылдагы заряддын магнит талаасынын күч сызыктары, түз токтуку сыяктуу эле, заряддын кыймылынын багытынын айланган борбордом сызыктар болушат экен. (7.7.2-чийме)

7.8. Магнит талаасынын токко жасаган аракети.

Ампердин закону.

Физ биринчи лекцияда, магнит талаасында жайланышкан өлчөмдүү аалакка күчтүн ийини таасир этип, кандайдыр бир бурчтан буруларын көргөзбүз. Эми токтуу өткөргүчкө магнит талаасынын таасир эткен күчтүнүн закон менен дүүлүгүн карайлы. Мындай закон менен дүүлүктү Ампер тапкан (1820 ж).

Ампердин закону боюнча магнит индукциясы \vec{B} болгон магнит талаасынын токтун элементине $I\vec{dl}$ аракет кылган $d\vec{F}$ күчү $I\vec{dl}$ жана \vec{B} векторлорунун жана алардын ортосундагы бурчтун косинусунун көбөйтүндүлөрүнө барабар (7.8.1-чийме), б.а.

$$d\vec{F} = k I^2 dl \sin \alpha (\vec{dl} \times \vec{B}) \quad (7.8.1)$$

же вектордук түрүндө

$$d\vec{F} = k I^2 [\vec{dl} \times \vec{B}], \quad (7.8.2)$$

Мында k пропорция коэффициенти.

$d\vec{F}$ күчтүн багыты, эгер $I\vec{dl}$ жана \vec{B} векторлорунун багыттары белгилүү болууса, үч ортогоналдуу векторлордун же сол кол эрежеси боюнча аныктоого болот (7.8.2-чийме).

Бал койдун кайсы алакадан төрт жармактын учтагы токтуу баты-

тына дал келгендей жана магнит талаасынын күч сызыктары алаканга киргендей кылып койсок, баш бармак аракет кылган $d\vec{l}$ күчүнүн багытын көрсөтөт. ✓

Ампердин законунан токтуу алкакка магнит талаасынан күчтүн ийини аракет кылары келип чыгарын көрсөтөтү (7.8.3-чийме) Адегенде токтуу алкактыч тегиздиги (1-2-3-4) бир тектүү магнит талаасынын күч сызыктарынын тегиздигине дал келин. Алкактын 1-2 жана 3-4 жактарын Q деп, ал эми 1-4 жана 2-3 жактарын деп белгилеп коейлу. Анда 1-2 жана 3-4 жактарына магнит талаасы тасир этбейт ($F_3, F_4 = 0$), ал эми 1-4 жана 2-3 жактарына таасир эткен F_1 жана F_2 күчтөрү максималдуу болушат

$$F_1 = F_2 = BIl \quad (7.8.3)$$

жана карама каршы багытта болушкандыктан алкак OO огунун айланасында айлана баштайт.

Алкакка аракеттенген күчтүн ийини

$$M = F_1 a \sin(\vec{n}, \vec{B}) = Iab \sin(\vec{n}, \vec{B}) \quad (7.8.4)$$

$$\vec{M} = IS \vec{n} \quad \text{эске алып,}$$

Бул формуланы вектор түрүндө жазалы, б.а.

$$\vec{M} = [S \vec{n} \times \vec{B}] \quad (7.8.5)$$

Биринчи лекцияда бул формуланы тажырыбадан чыккан формула катары колдонгонбуз. Ал эми азыр Ампердин законунан келип чыгарын көрсөттүк. Эгерде токтуу тегиз бурчтуу алкак тегиз салмактуу абалына келсе ($\vec{n} \parallel \vec{B}$) анда анын жактарына ичке кууштуручу (7.8.4-чийме) же аларды сырт жагыларды көздөй кеңейтүүчү күчтөр таасир этишет.

7.9. ЖАРЫМ ТОКТОРДУН ӨЗ АРА АРАКЕТТЕНИШТЕРИ

Ампердин законун жарым токтордун өз ара аракеттенишине колдонолу. Бир токтун экинчиге болгон аракети, биринин түзгөн магнит талаасынын экинчи токко болгон аракети менен түшүндүрүлөт. I_1 жана I_2 токтору жарым жана бир жагы көздөй багытталса дейли (7.9.1-чийме). I_1 тогунун I_2 тогуна болгон аракети табият үчүн I_1 тогунун I_2 тогу өткөн чакит аркылуу түзгөн B_1 магнит талаасын таап, Ампердин законун колдонуу зарыл.

$$B_{12} = \kappa \mu_0 \frac{2I_1}{R} \quad (7.9.1)$$

$$dF_{12} = \kappa I_1 dl B_{21} \quad (7.9.2)$$

$\int dl \bar{B}$ болгондуктан, $\sin(|dl \wedge \bar{B}|) = 1$

7.9.1-формуланы эске алып, 7.9.2 тунтунганы төмөндөгүдөй казучка болот

$$dF_{12} = \kappa' \kappa \mu_0 \frac{2 I_1 I_2}{R} dl \quad (7.9.3)$$

Сүрөттө көрсөтүлгөндөй, бул күч l_1 тогун кездей багытталган. Ушул эле ыңга менен I_2 тогунун l_1 тогуна болгон аракетин dF_{21} тапсак 7.9.3-тунтунганы кайра алабыз жана бул күч I_2 тогун кездей багытталган болот. Ньютондун үчүнчү закону боюнча

$$dF_{21} = -dF_{12} \quad (7.9.4)$$

Ток өтүп жаткан өткөргүчтөрдүн бирдик узундугуна аракет кылган күчтү тапсак, анда ал

$$f_{12} = \frac{dF_{12}}{dl} = \kappa' \kappa \mu_0 \frac{2 I_1 I_2}{R} \quad (7.9.5)$$

барабар болот.

7.10. Электромагниттик чоңдуктарды өлчөөчү бирдиктердин системасы (СГСМ, СИ Гаусс)

Токтун жана магниттик бирдиктерди табуу үчүн, 7.9.5-формула (вакуумда $\mu=1$) колдонобуз,

$$\frac{dF_{12}}{dl} = f_{12} = \kappa \kappa' \mu_0 \frac{2 I_1 I_2}{R} \quad (7.10.1)$$

1. Адегенде СИ системасын карайлы. Бул системадагы бизге белгилүү үч негизги бирдиктерге: масса (кг), узундук (м) жана убакыт (сек), кошумча төртүнчү негизги бирдик токтуун бирдиги ампер (А) киргизилет. Бул төртүнчү бирдиктин киргизилиши иш жүзүндө ыңгайлыкка алып келген менен физикалык эч негизге ээ эмес.

Эгерде эки чөксүз узундуктагы түз карыш, вакуумда бири биринен 1 м, аралыкта жайланышкан, кесилиш аянттары жокко эсе болгон өткөргүчтөр аркылуу өткөн бирдей турактуу ток бири бирине 1 метр узундукка $2 \cdot 10^{-7}$ Ньютон күч менен аракеттенишсе андай токтуун чоңдугу 1 Амперге барабар болот.

Бул системада пропорция коэффициенттери төмөндөгүдөй маанилерге ээ деп алынат. $k' = 1$; $k = 1/4\pi$

7.10.1-формуланы пайдаланып магниттик турактуу μ_0 таап алабыз $I_1 = I_2 = 1A$; $R = 1m$; $f_{12} = 2 \cdot 10^{-7} H/m$

$$\mu_0 = \frac{4\pi f_{12} R}{2I_1^2} = 4\pi \cdot 10^{-7} H/A^2 = 4\pi \cdot 10^{-7} H/m$$

Магнит талаасынын чыңалышынын бирдигин чексиз түз токтун магнит талаасы формуласынан аныктайбыз

$$H = k \frac{2I}{R} = \frac{1}{4\pi} \frac{2I}{R} = \frac{I}{2\pi R} \quad (7.10.2)$$

Бул формуладан магнит талаасынын чыңалышынын бирдигин Ампер/метр (A/m) аркылуу табабыз. 1A/м дегенибиз чоңдугу 1 амперге барабар чексиз түз токтун $R = \frac{1}{2\pi}$ метр аралыкта түзгөн магнит талаасынын чыңалышына барабар болот. Бул жерта 7.10.2-формуладан

$$1 \frac{A}{m} = \frac{1A}{2\pi \cdot \frac{1}{2\pi} m} = 1 \frac{A}{m} \quad \text{алынат.}$$

Ал эми магнит индукциясынын векторунун бирдиги $B = \mu_0 H$ формуласынан табылат жана СИ системасында тесла (T) деп аталат.

$$1 T = 4\pi \cdot 10^{-7} H/A^2 \cdot 1A/m = 4\pi \cdot 10^{-7} H/A \cdot m$$

Б.а. магнит талаасынын чыңалышы 1A/m болсо, анын индукциясы $4\pi \cdot 10^{-7} T$ барабар болот экен.

2. Абсолюттук электромагниттик бирдиктердин системасы СГСМ. Бул системада коэффициенттер $\mu_0 = 1$; $k' = k = 1$. Токтун күчүнүн бирдиги болуп СГСМ, кабыл алынган. Буга коломча механикалык чоңдуктардын СГС системасындагы негизги бирдиктер I_g , I_{cm} , I_c колдонулат.

1 СГСМ, токтун бирдиги (7.11.1 формуладан табылат. (Вакуум түзүн $\mu = 1$)

Эки жарым түз чексиз узундуктагы вакуумда $\mu = 1$ бири биринен $R = 2$ см аралыкта жайланышкан, кесилиш аянтары жокко эсе болгон өткөргүчтөр аркылуу өткөн турактуу ток бири бирине метр узундукка 1 дина күч менен аракеттенише, алар аркылуу өткөн токтун күчү 1 СГСМ, барабар болот.

СИ системасындагы 1 Ампер менен СГСМ системасындагы 1 СГСМ, токтун бирдиктеринин ортосундагы байланыш 7.10.1-формуладан табабыз, $I_1 = I_2 = I$ болгондуктан жана $1 \text{дин} = 10^{-5} H$, $R = 2 \cdot 10^{-2} m$, $dl = 10^{-2} m$

$$I = \sqrt{\frac{4\pi l d F}{2\mu_0 dl}} = 10 A$$

$$6.a. \quad 1 \text{ ГСМ} = 10 \text{ А}$$

ГСМ системасында магнит индукциясынын векторунун бирдиги катары Гаусс (Гс) алынат $[B] = 1 \text{ Гс}$. Бул чоңдук Ампердин законунан аныкталат,

$$F = k' I l B$$

(7.10.3)

Бир тектүү магнит талаасы 1 ГСМ , ток отуп жаткан түз өткөргүчтүн ар бир см узундугуна 1 дина күч менен аракет этсе мындай магнит талаанын индукциясы 1 Гаусска (Гс) барабар болот

$$\text{Мындан} \quad k' = 1 \quad [F] = 1 \text{ дина}, \quad [I] = 1 \text{ ГСМ}$$

$$[l] = 1 \text{ см} = 10^{-2} \text{ м}$$

$$[B] = \frac{[F]}{[I][l]} = \frac{1 \text{ дина}}{1 \text{ ГСМ} \cdot 1 \text{ см}} = \frac{10^{-5} \text{ Н}}{10 \text{ А} \cdot 10^{-2} \text{ м}} = 10^{-4} \text{ Тл}, \text{ б.а. } 1 \text{ Гс} = 10^{-4} \text{ Тл}$$

Магнит талаасынын цыналышынын бирдиги катары, ГСМ системасында Эрстед (\mathcal{E}). 1 Эрстед катары вакуумда индукциясы, 1 Гаусска барабар болгон магнит талаасы кабыл алынат.

$B = \mu_0 H$ болгондуктан, жана ГСМ системасында $\mu_0 = 1$; $1 \mathcal{E} = 1 \text{ Гс}$

Эми 1 Эрстед менен СИ системасындагы (1 А/м) ортосундагы байланышты табайлы

$$H = \frac{B}{\mu_0} = \frac{10^{-4}}{4\pi \cdot 10^{-7}} \frac{\text{А}}{\text{м}} = \frac{10^3}{4\pi} \frac{\text{А}}{\text{м}}$$

6.a.

$$1 \mathcal{E} = (10^3 / 4\pi) \text{ А/м}$$

3. Гаусстун абсолюттук бирдиктеринин системасы. Бул системада физика колдонулуучу бирдиктердин эң ыңгайлуусу. ГСМ жана ГСЭ системалардан айырмасы, ампердин жана Био-Савар-Лапластын формулаларындагы пропорция коэффициенттери $k' = k = \frac{1}{c}$ барабар деп алынат жана c жарыктын вакуумдагы таралуу ылдамдыгы, физикада электродинамикалык турактуулук деп аталат.

СИ, ГСМ жана Гаусстун абсолюттук бирдиктеринин системасындагы электрдик жана магниттик чоңдуктардын байланыштарын физикалык атайын таблицалардан караңыздар.

СИ, ГСМ жана Гаусстун абсолюттук бирдиктеринин системасындагы электрдик жана магниттик чоңдуктардын байланыштарын физикалык атайын таблицалардан караңыздар.

7. II. Магнит талаасындагы заряддардын кыймылы.

Лоренцтин күчү.

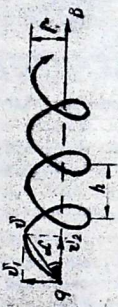
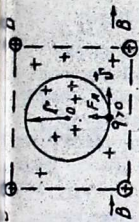
Ампердин законунан $\int dl$ токтун элементине индукциясы болгон магнит талаасы $d\vec{F}$ күчү менен аракеттерин көргөнбүз



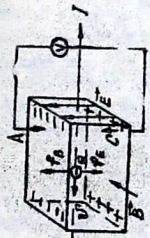
7.11.1 - QUÛME



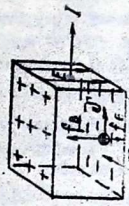
7.11.3 - QUÛME



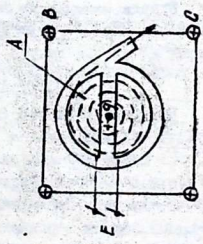
7.11.4 - QUÛME



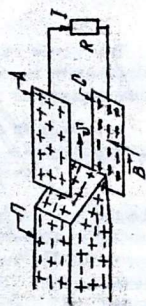
7.12.1 - QUÛME



7.12.2 - QUÛME



7.13.1 - QUÛME



7.14.1 - QUÛME

б.а.

$$dF = \kappa' Idl B \sin(\vec{Idl} \cdot \vec{B}) \quad (7.11.1)$$

Багыттуу заряддардын кыймылы токту, түзгөндүктөн, токту Idl элементин заряддардын саны N ындамдыгы \vec{v} жана заряддын чондугу q аркылуу 1.7 тунтурганбыз (7.7.3-формула)

$$Idl = Nq\vec{v} \quad (7.11.2)$$

Эми магнит талаасынын кыймылдагы бир зарядка таасир эткен күчүн табыш үчүн, 7.11.2-формуланы 7.11.1 формулага коюп заряддардын санына N бөлөбүз

$$\vec{f} = \frac{dF}{N} = \kappa' q \vec{v} B \sin(\vec{v} \cdot \vec{B}) \quad (7.11.3)$$

же вектордук түрдө жазсан

$$\vec{f}_B = \kappa' q [\vec{v} \times \vec{B}] \quad (7.11.4)$$

Аларга туундуба Лоренцтин күчү деп аталат. Лоренцтин күчү магнит талаасынын кыймылда болгон зарядка жасаган аракетин көрсөтөт. Бул күчүн багыты өз ара ортогоналдуу \vec{v} , \vec{B} жана \vec{f}_B векторлордун, же сол колдун аражеси аркылуу аныктоого болот. 7.11.1 жана 7.11.2-чиймелерден көрүнгөндөй бул күчүн багыты кыймылдаган заряддарын белгисине да көз каранды. Эгерде оң ($q > 0$) жана терс ($q < 0$) заряддар, бир магнит талаасында бирдей багытта кыймылдашса, аларга карама-каршы багыттагы күчтөр таасир этет.

Эгерде кыймылдагы заряд электр (\vec{E}) жана магнит талааларында \vec{B} болсо ага Лоренцтин күчүнөн башка электр күчү $f_E = q\vec{E}$ да таасир этет б.а.

$$\vec{F} = \vec{f}_E + \vec{f}_B = q\vec{E} + q[\vec{v} \times \vec{B}] \quad (7.11.5)$$

Бир тектүү магнит талаасындагы заряддардын кыймылын карайлы (электр талаасы жок). 1. Заряддын кыймылынын багыты (\vec{v}) менен магнит талаасынын күч сызыктары (\vec{B}) жарым болсун ($\vec{v} \parallel \vec{B}$). Анда (7.11.3) формуланын негизинде $\sin \alpha = 0$ болгондуктан, Лоренцтин күчү ($f_B = 0$) нөл болот, б.а. мындай шартта заряддалган бөлүкчөгө магнит талаасы аракет кылбайт. 2. Заряддалган бөлүкчө магнит талаасынын күч сызыктарына перпендикуляр ($\vec{v} \perp \vec{B}$) кыймылдасын. (7.11.1, 7.11.2-чиймелер). Бул эки вектордун ортосундагы бурч $\alpha = \frac{\pi}{2}$ болгондуктан $\sin \alpha = 1$, Лоренцтин күчү сан жагынан

$$f_B = |q| v B = m \frac{v^2}{r} \quad (7.11.6)$$

барабар болот. Заряддалган бөлүкчө \vec{E} магнит индукциясынын векторуна перпендикуляр тегиздикте кыймылдайт. Лоренцтин күчү борбордон четтөөчү күч болот.

$$f_B = |q| v B = m \frac{v^2}{r} \quad (7.11.7)$$

Бул туунтмадан, кыймылдын траекториясынын ийрилигинин радиусу

$$r = \frac{1}{|q/m|} \frac{v}{B} \quad (7.11.8)$$

барабар болот.

Бир тектүү талаада B турактуу болгондуктан, массасы болгон заряддалган бөлүкчө айлана боюнча кыймылдайт, жана анын айлануу мезгили T турактуу тондук болот

$$T = \frac{2\pi r}{v} = \frac{2\pi}{B} \cdot \frac{m}{q} \quad (7.11.9)$$

Айлана боюнча болгон заряддын кыймылы ошол заряддын белгисине жараша болот экен (7.11.3-чийме). Бул чиймеде квадраттын ичинде магнит талаасы бир тектүү жана анын күч сызыктары чийменин тегиздигине перпендикуляр болуп киришет.

⊕ белгиси менен берилген). Оң заряддалган бөлүкчө ($q > 0$) солдон оңду көздөй кыймылдаса, сол колдун эрежеси боюнча жогору багытталган Лоренцтин күчү таасир этет. Эгер бөлүкчө терс зарядка ээ болгон болсо, анда ага таасир эткен күч төмөндө багытталмак.

3. Заряддалган бөлүкчө магнит талаасынын күч сызыктарына кандайдыр бир α бурчу менен кирсин (7.11.4-чийме). Магнит талаасынын багытына салыштырмалуу ылдамдык векторун караш жана перпендикуляр түзүүчүлөргө ажыратайлы

$$\vec{v} = \vec{v}_1 + \vec{v}_n, \quad v_n = v \cos \alpha, \quad v_1 = v \sin \alpha \quad (7.11.10)$$

Ылдамдыктын жарыш түзүүчүсүнө магнит талаасы таасирин тийгизбешин жогоруда карадык. Мындай шартта бөлүкчө бир убакытта эки кыймылда болот - ал v_n ылдамдыгы менен магнит талаасынын күч сызыктарын бойлоп түз сызыктуу кыймылда болсо, v_1 ылдамдыгы менен радиусу

$$r = \frac{m}{|q|} \frac{v_1}{B} = \frac{m}{|q|} \frac{v \sin \alpha}{B} \quad (7.11.11)$$

болгон айланма кыймылга катышып,

Малы көчүрмөнүн бөлүктөнүн кыймылынын траекториясы спиралы сызат. Бул спиралдын аркы $A = v^2 T$ же 7.11.9 -формуласы пайдаланып төмөндөгүнү алабыз:

$$A = \frac{2\pi}{B} \frac{m}{191} v \cos \alpha \quad (7.11.12)$$

7.12. Холлдуң эффектиси

Америкалык физик Э.Холл 1880 ж) металл (алтын) тилкесин магнит талаасына кайлаштырып, ток өткөзгөндө тилкенин төмөнкү жана жогорку тегиздиктеринин A жана C чекиттеринин ортосунда потенциалдардын айырмасы $\varphi_A - \varphi_C$ пайда болорун байкаган (7.12.1- чийме). Мындай потенциалдардын айырмасы магнит талаасы бар кезде жана анын күч сызыктары токтуң багыты менен перпендикуляр кезинде гана пайда болоруна көңүл бурган. Бул кубулуш Холлдуң эффектиси деп аталып калды. Бул потенциалдардын айырмасы, тилке аркылуу өткөн токтуң тыгыздыгына, магнит талаасынын индукциясына \vec{B} жана тилкенин бийиктигыне d түз пропорциялаш экендиги тажрыйбадан ачыкталган.

$$U_x = \Delta\varphi = \varphi_A - \varphi_C = R_x j B d \quad (7.12.1)$$

Мында R_x -Холлдуң турантуу саны. Эми электродинамик теориянын негизинде Холлдуң эффекттин түшүндүрөлү.

Металлдарда ток электрондордун кыймылы менен байланышкан. Магнит талаасында кыймылдагы зарядка Лоренцтин күчү таасир этет. Чиймеде токтуң багыты солдон оңду кездей багытталган, бул электрондордун оңдон солду кездей багытына туура келет, ал эми магнит талаасынын индукциясы \vec{B} перпендикуляр багытталган. Мындай шартта электронго жогорку жакка багытталган Лоренцтин күчү таасир этет. Натыйжада электрондор өткөргүчтүн жогору жагына чогулат, ал эми төмөнкү тегиздикте терс заряддар жетишбегендиктен, оң заряддар топтолот. Ток өткөн өткөргүчтөгү заряддардын мындай бөлүнүшү алардын ортосунда электр талаасынын пайда кылат. Бул электр талаасы электронго Лоренцтин күчүнө карама-каршы (f_c) багытта аракет кылат. Бул күч бири-биринэ барабар болгондо, тең салмактуу абал $f_B = f_c$ пайда болот же болбосо

$$e\vec{v} \times \vec{B} = eE \quad (7.12.2.)$$

эки жагы тилкенин бийиктиги d га көбөйтөлү

$$\vec{v} B d = E d = U$$

7.12.3

токтун тыгыздыгы $j = \frac{1}{s} = n l \vec{v}$

(7.12.4)

болгондуктан, $U = \frac{1}{n l} B d = R_K j B d$

7.12.5

Мында $R_K = \frac{1}{n l}$ Холлдуу турактуусу, өткөргүчтөгү зарядка жана анын тыгыздыгына көз каранды экен. Ошондуктан, Холлдуу тажрыйбасынан R_K ди өлчөп, андан өткөргүчтөгү электрондордун тыгыздыгын аныктоого болот экен.

Кийинчерээк, Холлдуу эффектиси жарым өткөргүчтөрдө да байкалары аныкталды. Холлдуу тажрыйбасын пайдаланып жарым өткөргүчтөрдөгү токту өткөргүчү заряддардын белгисин (оң, терс) аныктоого болот, себеби 7.12.5-формуладан көрүнгөндөй, потенциалдардын айырмасынын белгиси өткөргүчтөгү заряддын белгисине да жараша экен. 7.12.1-чиймеде жарым өткөргүчтүн же өткөргүчтүн зарядды алып жүрүүчүлөрү терс заряддуу электрондор болгондуктан, көрсөтүлгөн шартта жогорку бети терс потенциалга ээ, ал эми 7.12.2-чиймеде жарым өткөргүчтүн зарядды алып жүрүүчү оң заряддагы бөлүкчө болгондуктан, жогорку бети оң потенциалга ээ.

7.13. Заряддалган бөлүкчөлөрдүн ыңдаматкычтары.

Электр жана магнит талааларынын жардамы менен заряддалган бөлүкчөлөрдү (электрон, протон, мезон ж.б.) жогорку энергияга жеткирүүчү куралдарды алардын ыңдаматкычтары деп аташат. Мындай ыңдаматкычтар ыңдамдануучу бөлүкчөлөрдүн түрлөрүнө, энергияларына жана интенсивдүүлүгү менен мүнөздөлүшөт. ыңдаматылуучу бөлүкчөлөрдүн траекториясына жана ыңдаматуунун шартына жараша ыңдаматкычтарды түз, циклдүү (мезгилдүү) жана индукциондуу кылып бөлүнүшөт. Түз ыңдаматкычтарда бөлүкчөлөрдүн траекториясы түз сызык боюнча ал эми циклдүү жана индукциондуу ыңдаматкычтарда бөлүкчөлөрдүн траекториясы айлана же спираль түрүндө бөлүнөт.

ыңдаматылуучу бөлүкчөлөрдүн энергиясы электр талаасынан көбөйөт.

1. Түз сызыктуу ыңдаматкычтар электростатикалык жана индук-

циондуу болуп эки түргө ажыратылат. Электростатикалык түз сызгытуу ылдамдаткычтарда заряддуу бөлүкчө ылдамдатуучу электр талаасы аркылуу бир нече жолу өтөт, бөлүкчө $\Delta\varphi = \varphi_2 - \varphi_1$ потенциалдардын айырмасын өткөндө $W = qU$ энергиясына ээ болот. Ошентип, бөлүкчө канчалык көп потенциалдардын айырмасын басып өтсө, ошончолук көп энергияга ээ болот. Заряддалган бөлүкчөлөрдү электр талаасы аркылуу бир нече жолу өткөрүү менен алардын энергиясын ондогон миллион электрон вольтко ($MэВ$) жеткирүүгө болот.

Индукциондуу түз ылдамдаткычтарда заряддалган бөлүкчөлөр энергияны жогорку жыштыктагы өзгөрмөлүү электр талаасынан алышат. Бул электр талаасы ылдамдатылуучу бөлүкчөлөрдүн кыймылына жараша (синхронно) бирдей өзгөрөт. Ушундай жол менен заряддалган бөлүкчөлөрдүн энергиясын, 3 км жолду өткөндө 22 ГЭВ чейин жеткизишкен (США).

2. Азыркы мезгилдеги эң кубаттуу ылдамдаткычтар циклдүү принципде иштейт. Аларда заряддалган бөлүкчөлөр электр талаасын көп жолу басып өтүшүп ар бир өткөндө энергиясын жүздөгөн миң электронвольтко (эВ) көбөйтүп олтурат. Мындай ылдамдаткычтарга циклотрон, фазатрон, синхрофазотрондор кирет.

Циклотрон эки жука металлдан жасалган жарым тегерек коробадан (Дуант) турушат (7.13.1-чийме). Бул дуанттардын ортосундагы жылчык менен бөлүнгөн жана алар күчтүү магниттин эки уулунун ортосунда жайланышат. Эки дуант өзгөрмөлүү электр талаасынын (E) булактарына туташтырылган. Бул дуанттын борборунан (чекити) заряддалган бөлүкчөлөр бүркүлүп турат. Алар дуанттын жылчыктарынын ортосундагы электр талаасынын энергия алышат. Электр талаасынын багыты, заряддалган бөлүкчө жылчыкка жеткенде, аны ылдамдаткандай болуп өзгөрүп турат. Магнит талаасынын таасири астында заряддалган бөлүкчө айлана боюнча кыймылдагандыктан, анын айлануу мезгили заряддалган бөлүкчөнүн салыштырмалуу зарядына (q/m) жана магнит талаасынын индукциясына гана жараша болот. 7.11.9-формула)

$$T = \frac{2\pi}{(q/m)} \cdot \frac{1}{v}$$

7.13.1)

Электр талаасы дагы ушундай мезгил менен өзгөрүп турушу барыл. Электр талаасын ар бир жолу басып, өткөн сайын анын энергиясы (мидамдыгы) көбөйгөндүктөн бөлүкчөнүн айлануу радиусу чоңоюп олтурат (7.11.8-формула).

Мындай бөлүкчө белгилүү бир энергияга жеткенден кийин циклотрондон учуп чыгат жана аны ар түрдүү керектөөлөргө пайдаланышат. Циклотрондордо магнит талаасы турактуу, ал эми электр талаасынын чыңалышы гармоникалык закон менен турактуу T мезгили менен өзгөрөт.

$$E = E_0 \sin(2\pi/T)t \quad (7.13.2)$$

Бөлүкчөнүн энергиясы (мидамдыгы) өскөн сайын анын массасы өзгөрөрүн билебиз

$$m = \frac{m_0}{\sqrt{1 - v^2/c^2}} \quad (7.13.3)$$

б.а. мидамдыгы өскөн сайын заряддалган бөлүкчө "оордой" баштап, айлануу мезгили узарат.

Ошондуктан, бөлүкчөнүн мидамдыгы чоңойгондо ($v \sim c$) электр талаасынын өзгөрүшү менен бөлүкчөнүн айлануу мезгилдеринин ортосундагы синхрондуулук (дал келүүчүлүк) бузула баштайт. Бөлүкчөнүн мидамдыгы кандайдыр бир чондукка жеткенде, аны айлануу мезгили электр талаасынын тескери фазасына түшүп мидамдатмалбастан, тескерисинче акырындай баштайт. Ошентип, циклотрондо заряддалган бөлүкчөнү белгилүү бир энергияга чейин гана мидамдатууга болот экен. Мындай энергиянын жогорку чеги төмөнкү формула менен аныкталат.

$$W_r = 4\sqrt{m_0 c^2 q U_0 / \pi} \quad (7.13.4)$$

Мында q, m_0 бөлүкчөнүн заряды жана тынч абалындагы массасы, U_0 заряддын мидамдыгы U_0 -дуанттардын ортосундагы чыңалуунун амплитудасы. Мисалы $U_0 = 10^8$ В болсо, анда протон үчүн $W_r = 21,9$ МэВ болсо, электрон үчүн $W_r \approx 1$ МэВ болот. Ошондуктан, циклотрондор электрондорду мидамдатуу үчүн жараксыз экен.

Фазатрон. Фазатрондун түзүлүшү циклотрондукунан айырмаланбайт, магнит талаасы турактуу. Бирок фазатрондо циклотрондогу электр талаасы менен бөлүкчөнүн айлануу мезгилдеринин бузулушу электр талаасынын мезгилини акырындап өзгөртүү аркылуу калыбына келтирилет. Заряддалган бөлүкчөнүн айлануу радиусу, анын мидамдыгына жараша чоңоюп олтургандыктан, анын

эң жогорку энергиясы фазатрондун диаметри жана магнит индукциясынын чоңдугу менен байланышкан. Мисалы, СССРде электромагнитинин салмагы 10^7 кг, уулдардын диаметри 6 м болгон фазатрон протонду 680 МэВ энергияга чейин ылдамдатат. Фазатрон да циклотрон сыяктуу эле электрондорду ылдамдатууга жараксыз, себеби анын массасы, орбитанын радиусу жана айлануу мезгили, ылдамдыгы өскөн сайын өтө тез өсүшөт.

Ошондуктан, электрондорду ылдамдатуу үчүн циклдүү ылдамдаткычтардын башка түрлөрү — бетатрон жана синхротрондор колдонушат. Бетатрондун иштөө принциби электромагниттик индукция кубулушуна негизделгендиктен аны кийинчерөөк карайбыз.

Синхротрондо, өзгөрмөлүү электр талаасынын жыштыгы турактуу ал эми магнит талаасынын индукциясы өзгөрүшөт. Белүкчөнүн толук энергиясы $W = mc^2$, анын массасына түз пропорциялаш болгондуктан, анын магнит талаасындагы айлануу мезгили (7.13.1) төмөндөгүчө мезгили (7.13.1) төмөндөгүчө жазууга болот (c — жарыктын ылдамдыгы)

$$T = \frac{2\pi}{\rho c^2} \frac{W}{B} \quad (7.13.5)$$

Ошондуктан, синхрондоо шарты сакталсын үчүн, белүкчөнүн энергиясы өскөн сайын магнит талаасынын индукциясын чоңойтуу талап кылынат. Синхротрондордо заряддалган белүкчөлөр спираль түрүндө эмес айланага жакынкы орбиталар боюнча айланышат.

г) Синхрофазатрон. Синхрофазатрондо жогоруда айтылган синхротрон жана фазатрондордун иштөө принциптери кошулган б.а. электр талаасынын жыштыгы жана магнит талаасынын чоңдугу өзгөртүлөт. Ошондуктан, мындай ылдамдыктың жардамы менен белүкчөлөрдү эң чоң энергияларга чейин ылдамдатууга болот.

Серпуховдогу (СССР) синхрофазатрон протондорду 76 ГэВ чейин ал эми Чикагодогу (США) Синхрофазатрон 400 ГэВ чейин ылдамдатышат.

7.14. Магнито-гидродинамикалык 'МГД' генератор

МГД-генератордун иштөө принциби Холлдун эффектисинин пайда болушуна окшоп жана Лоренцтин күчүнө байланыштуу. МГД-генератордун түзүлүшү жөнөкөй (7.14.1-чийме). Ал эки чарыл тегиздикте жайланышкан А жана С өткөргүчтөн касалган тилкелерден электрондордон турат. Бул тилкелердин ортосундагы бөлүктө магнит талаасы түзүлөт. Эгерде ошол бөлүктө аркылуу плазма жогорку ылдамдыкта өтсө жана анын кыймыл багыты магнит талаасынын күч сызыктарына перпендикуляр болушса ($\vec{v} \perp \vec{B}$), Лоренцтин күчүнүн таасири менен плазманын оң заряддалган бөлүкчөлөрү бир электродко (сүрөттө жогоркусуна), ал эми терс заряддалган бөлүкчөлөр экинчи электродко бөлүнүшүп, алардын ортосунда потенциалдар айырмасы пайда болот. Бул эки электродду кандайдыр бир каршылыкка (лампочка, электромотору, утөг ж.б.) ал аркылуу ток өтөт.

МГД-генераторду түзүүдө эң негизги элемент плазманын агыны болуп эсептелет. Плазманы жылуулук электр станцияларындагы буу турбиналарындагы жогорку температураларды ($T \sim 3000$) пайдаланып алууга болот. Кээ бир заттардын атомдору, ушул температурада иондорго (оң жана терс заряддарга) ажырашат, Мисалы, натрийдин атомдору. Ал эми натрийдин Na иондоштурулган буулары температуранын градиентинин эсебинен жыштан суукту көздөй жылып, плазманын агынын пайда кылынат. Ошентип, МГД-генератору жылуулук электрстанциясы менен бирдикте иштеп, анын пайдалуу аракет коэффициентин (п.а.к.) жогорулатат. Азыркы кездеги МГД-генераторлордун кубаттуулугу ~ 100 Мегаваттга жетет.

7.15. Магнит агыны

Магнит индукциясынын векторунун агыны же кыскача магнит агыны ($d\Phi$) деп элементардык dS аянтчанын магнит индукциянын векторунун аянтчага тургузулган бирдик нормалга түшкөн проекциясына B_n болгон көбөйтүндүсү аталат (7.15.1 чийме)

$$d\Phi = B_n dS = B dS \cos\alpha = \vec{B} d\vec{S}$$

(7.15.1)

Индика $\angle d = (\vec{B} \wedge \vec{n})$, $d\vec{S} = \vec{n} dS$ аянтча вектору
 Бул тунтианы толук S бети боюнча интегралдап, ошол S
 бети боюнча өткөн агымды алабыз,

$$\Phi = \int_S B_n dS = \int_S \vec{B} d\vec{S} \quad (7.15.2)$$

7.15.1-формуладан $B_n = \partial\Phi/\partial t$ в.в. B_n -бирдик аянтча туурда кел-
 ген күч сызыктардын санына барабар болгондуктан, магнит
 агымы ошол аянтча аркылуу өткөн күч сызыктардын толук санын
 барабар. Магнит агымы оң жана терс болуп белгиси менен да
 айырмаланат. Чыңгынды эгерде $\alpha < 90^\circ$ болсо $\cos\alpha > 0$, маг-
 нит агымы ($d\Phi > 0$) оң сан болот. Бул учурда магнит талаа-
 сынын күч сызыктары нормаль тургузулган беттен чыгышат.
 Эгерде $\alpha > 90^\circ$ болсо магнит күч сызыктары нормал тургу-
 зулган бетке кирет, $\cos\alpha < 0$ магнит агымы Φ терс мааниге ээ
 болот. Магнит агымы бир тектүү жана S бети жалпак болсо
 магнит агымы $\Phi = BS$ болот.

Эгерде магнит талаасы бир тектүү болбосо жана S бети
 жалпак болбосо, S бетин элементардык dS бетчелерге бөлүү
 керек. Иңдай бетчелердин аянтын ар биринен бирдей сандагы
 бир тектүү күч сызыктар өткөндөй кылып тандао зарыл. Далте
 магнит агымы 7.15.2 -формула менен аныкталат.
 Магнит агымынын бирдикти СИ системасына $[\Phi] = [B][S] = T_n \cdot m^2 =$
 $= \frac{B \cdot c}{M^2} \cdot m^2 = B \cdot c$ Вобер (Вб) деп аталат

СИ системасында Максвелл мкс.

$$1 \text{ Мкс} = 1 \text{ Гс} \cdot 1 \text{ см}^2, 1 \text{ Тл} = 10^4 \text{ Гс}, 1 \text{ Вб} = 10^8 \text{ Мкс}$$

7.16. Остроградский-Гауссун магнит талаасы үчүн теоремасы

Турак бет аркылуу өткөн магнит агымы нөлгө барабар.

$$\oint_S B_n dS = \oint_S \vec{B} d\vec{S} = 0 \quad (7.16.1)$$

Бул теорема магнит талаасынын күч сызыктарынын тунтигунан
 'соленоидалдуулугунан' келип чыгат (7.16.1-чылге). Турак бет-
 тин S_1 жагынан кирген магнит агымы S_2 бетинен чыккан агымга
 сан санынан бирдей, бирок белгилери карама каршы $\Phi_1 = -\Phi_2$
 себеби кирген жана чыккан сызыктардын сандары бирдей. Ал эми

жалпы магнит агыны алардын суммасына барабар

7.17. Магнит чымырларынын закондору

Биз жогоруда, соленоиддин жана торроиддин өзөктөрүндө магнит талаасы пайда болорун караганбыз. Ушул сыяктуу магнит талаасы топтолгон мейкиндиктин бөлүктөрүнүн тобун магниттик чымырлар деп аташат. Магнит талаасын өлчөтүш үчүн магнит өтүүдүүлүгү μ өтө чоң болгон магниттик материалдардын турган магниттик чымырларды колдонушат (мисалы, темир). Мындай чымырлардагы магнит талаасынын булагы болуп чымырдын бир бөлүгүн түзгөн токтуу катушка эсептелет. Трансформатордор, электроманиттер, электромотор ж.б. элементтерден турган магнит чымырын эсептөө маанилүү мааниге ээ. Магниттик чымырларды эсептөө толук токтун законуна жана Остроградский-Гаусстун магнит талаасы үчүн теоремасына негизделет.

Белгилей мисал катары, ичке жылчыктуу шакек сыяктуу өзөктүү соленоидден турган магнит чымырын карайлы. Оромолордун саны N , токтун күчү I . l_2 -абадагы жылчыктын кендиги, l_1 -өзөктүн узундугу (7.17.1-чийме).

Толук токтун закону боюнча соленоиддеги магнит талаасынын чымырларынын

$$\oint H \cdot dl = 4\pi kNI$$

(7.17.1)

Өзөктөгү H жана жылчыктагы абада ($\mu_1, \mu_2 = 1$) магнит талааларынын чымырлары ар түрдүү болгондуктан

$$H_1 = \frac{B}{\mu_1 \mu_0} \quad H_2 = \frac{B}{\mu_2 \mu_0} \quad (7.17.2)$$

же болбосо $\oint H \cdot dl = H_1 l_1 + H_2 l_2 = B \left(\frac{l_1}{\mu_1 \mu_0} + \frac{l_2}{\mu_2 \mu_0} \right) = 4\pi kNI$

$$B = k\mu_0 \frac{4\pi NI}{\frac{l_1}{\mu_1} + \frac{l_2}{\mu_2}}$$

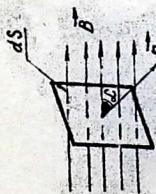
7.17.5.

Эгерде өзөк туйу темирден болсо ($\mu_1 = \mu_2 = \mu$)

$$B = B_1 = k\mu \frac{4\pi NI}{l_1 + l_2}$$

(7.17.7)

$\mu_1 \gg \mu_2$ болгондуктан, $B_1 \gg B_2$ болот, б.а. өзөк туйу болбосо, андагы абалуу жылчык жалпы катушкадагы магнит талаасынын азайышына алып келет экен. Мындай болбос үчүн жылчыкты өтө



7.154 - вариант



7.161 - вариант



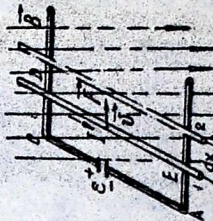
7.171 - вариант



7.172 - вариант



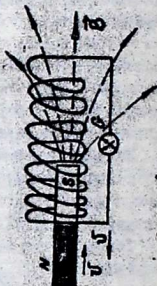
7.173 - вариант



7.181 - вариант



7.182 - вариант



8.11 - вариант

кичинекей жыш керен.

7.17.6. барабардыктын эки жагын өзөктүн кесилиш аянтына көбөйтүп, ал аркылуу өтүүчү магнит агынын алабыз

$$\Phi = BS = I \frac{4\pi IN}{\frac{1}{\mu_1 \mu_0} \frac{l_1}{S} + \frac{1}{\mu_2 \mu_0} \frac{l_2}{S}} \quad (7.17.8)$$

Бул туюнтма, Олдуң толук чыңыры үчүн законуна түспөлдөй көрүнөт; б.а.

$$I = \frac{\mathcal{E}}{R+r} = \frac{\mathcal{E}_M}{R_1+R_2} \quad (7.17.9)$$

Малла $\mathcal{E}_M = k4\pi NI$ магнит агынын түзүүчү магнит кыймылдаткыч күчү

$$\begin{aligned} R_1 &= \frac{l_1}{\mu_1 \mu_0 S} - \text{өзөктүн магниттик каршылыгы} \\ R_2 &= \frac{l_2}{\mu_2 \mu_0 S} - \text{кыймылдын магниттик каршылыгы} \\ R_M &= R_1 + R_2 - \text{магнит чыңырынын толук каршылыгы} \end{aligned}$$

Ошондуктан, 7.17.9-туюнтма Олдуң магнит чыңырлары үчүн толук закону деп аталат.

Татаал магнит чыңырларынын магниттик мүнөздөөчү чондуктарды эсептөө үчүн Кирхофтуң эрежелери колдонулат. Кирхофтуң I-эрежеси

$$\sum_{i=1}^N \Phi_i = 0 \quad (7.17.10)$$

магнит өткөргүчтөрдүн түзүлүшүндөгү магнит агындарынын алгебралык суммасы нөлгө барабар.

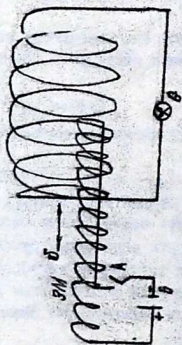
Кирхофтуң II-эрежеси $\sum_{i=1}^N \Phi_i R_{Mi} = \sum_{i=1}^N \mathcal{E}_{Mi}$ (7.17.11)

тармакталган магнит чыңырынын ар кандай туик контурунда магнит агындарынын чыңырдын тиешелүү бөлүктөрүнүн магниттик каршылыктарына болгон көбөйтүндүлөрдүн алгебралык суммасы ошол контурдагы магнит кыймылдаткыч күчтөрүнүн алгебралык суммасына барабар. 7.17.2-чиймеде жөнөкөй тармакталган магнит чыңыры-электромагнит берилген, анын эквиваленттүү схемасы 7.17.3-чиймеде көрсөтүлгөн.

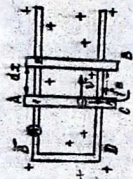
Кирхофтуң эрежелерин (7.17.10-7.17.11) колдонуп, электромагниттин керектүү магниттик мүнөздөмөлөрүн эсептей алабыз.

7.18. Магнит талаасындагы токтуу өткөргүч жыгачтагы күчү

Магнит талаасына (\vec{B}) токтуу өткөргүчтү жайлаштырамы (7.18.1-чийме) АСДЕ электр контурунун DE бөлүгү контакты буз-



В.1.2-а) схема



В.2-а) схема



В.1.5-а) схема



В.2.2-а) схема

бай эркин жылуу мүмкүнчүлүгү бар дейли. Анда бул dF өткөргүчкө Ампердин күчү аракет кылат.

$$F = k' I B \sin \alpha \quad (7.18.1)$$

Биздин партия $I \perp B$ болгондуктан

Бул күчтүн таасири астында DE өткөргүч dx аралыгына жылып,

$$\begin{aligned} dA &= F dx = k' I d(B dx) = k' I B dx = \\ &= k' I B ds = k' I d\Phi \quad (7.18.2) \end{aligned}$$

жумуш аткарылат

Эгерде токтун багыты магнит индукциясынын күч сызыктарына перпендикуляр болбосо, анда $\vec{B} = B_1 \vec{e}_1 + B_2 \vec{e}_2$ векторун түзүүчүлөргө ажыратуу керек. Бул вектордун B_1 түзүүчүсү токко аракет кылбагандыктан, анын B_2 түзүүчүсүн гана алуу керек, анда $d\Phi = B_2 ds$ болот. Ошондой эле тогу бар өткөргүч магнит талаасында кандайдыр бир θ огунун айланасында айлансын дейли. Мурдагыдай эле $B \perp dl$ жөнөкөй учурун карайлы. Магнит талаасынын таасири менен өткөргүч оң жакты кээде айланат. Андагы аткарылган жумуш (7.18.2-чиёе)

$$dA = k' I d(B dx) = k' I d\Phi \quad (7.18.3)$$

Ошентип, бул өкө мисалдын негизинде төмөнкүдөй жыйынтыкка келебиз: магнит талаасында жайланышкан токтуу өткөргүчтү жылдыруудагы Ампердин күчүнүн аткарган жумушу, ошол турактуу I токтун күчүн, ток өзүнүн жыймылынын натыйжасында кийин өткөн бет аркылуу өткөн магнит $d\Phi$ агымынын көбөйтүндүсүнө барабар экен.

Эгерде ток өтпө экинчи контурдун бир талы эмес, контур толугу менен магнит талаасында жатса, анда аткарылган жумуш контурдагы турактуу токтун күчүн, ошол контур жылганда ал аркылуу өткөн магнит агынын өзгөрүшүнүн ($d\Phi$) көбөйтүндүсүнө барабар экендигин көрсөтүүгө болот. Эгерде контурдун биринчи абалындагы магнит агыны Φ_1 болсо, жылгандан кийинки экинчи абалындагы магнит агыны Φ_2 болсо, $d\Phi = \Phi_2 - \Phi_1$

$$A_{12} = I (\Phi_2 - \Phi_1) \quad (7.18.4)$$

Глава 8. ЭЛЕКТРОМАГНИТТИК ИНДУКЦИЯ

8.1. Электромагниттик индукция кубулушу жана анын негизги закону

Мурдакы главада электр тогу магнит талаасын булагы болорун кердүк. Бул кубулуштун тескериси да болушу керек, б.а. магнит талаасы токту пайда кылабы деген суроо туулат. Бул суроого, 1831 жылы Фарадей жооп берген.

Фарадей турактуу магнитти жана катушканы алган (8.1.1-чийме). Катушканы гальванометрге туташтырып, магнитти катушканын ичине салып, ары бери жылдырганда гальванометрдин жебеси да ары бери жылган. Демек, катушка жана гальванометрден турган чынжырда ток пайда болот экен. Токтун багыты магниттин катушкага салыштырмалуу кыймылына, ал эми токтун чоңдугу ошол кыймылдын ылдамдыгына жараша болорун Фарадей байкаган. Эгерде магнитти электрромагнит менен алмаштырып, аны катушканын ичине салып, ары бери кыймылдатсак мурдагыдай эле натыйжаны алабыз (8.1.2-чийме).

Эми катушканын ичине электрромагнитти салып кооп, A ачкычтын кардамы менен аны токтун булагы туташтырсак, туташтырган учурда гальванометрдин жебесинин диртилдегенин байкайбыз.

A ачкычтын кайра ажыраткан учурда да гальванометрдин жебеси диртилдейт. Эми A ачкычтын тез-тез ачып жапсак гальванометрдин жебеси оңго-солго термеле берерин көрөбүз.

Бул тажрыйбалар Фарадейге таандык. Магнит талаасынын кыймылынын таасири астында туок чынжырда электр тогу пайда болот экен. Бул токту индукциялык ток деп, ал эми кубулуштун өзүн электрромагниттик индукция деп аташты.

Көп сандагы ушундай тажрыйбаларды негизинде индукциялык ток качан гана магнит талаасынын күч сызыктары өткөргүчтү кесип, туок контур кучагына алган күч сызыктардын саны өзгөргөндө б.а. туок контур аркылуу магнит өзгөргөндө пайда болот деген, жыйынтыкка Фарадей келген.

Чындыгында эле турактуу магнитти панаек сыяктуу туок контурга (1-абал) жакындатсак (2-абал), контурдун ичи аркылуу өткөн магниттик күч сызыктардын саны жебейет магнит агыны да чоңоет, ал эми алыстатсак (3-абал) контур аркылуу өткөн күч сызыктардын саны азаят (8.1.3-чийме). Ал эми магниттин

ылдамдыгы чоңойгондо гальванометрдин жебеси көбүрөөкө жылат, б.а. пайда болгон индукциялык токтун күчү да чоңоёт экен. Бул учурда магнит агынын өзгөрүшүнүн ылдамдыгы өзгөрөрүн оңой эле көрүүгө болот. Ошентип, индукциялык токтун чоңдугу магнит агынын өзгөрүшүнүн ылдамдыгына түз пропорциялаш экен,

$$I_{\text{инд}} = \frac{d\Phi}{dt}$$

(8.1.1.)

Биз жогоруда магниттик катушкага салыштырмалуу кыймылдын багытына карап, гальванометрдин жебесинин кыйлашуу багытын б.а. пайда болгон индукциялык токтун багытынын өзгөрөрүн көрдүк. Индукциялык токтун багытынын менен магнит агынын өзгөрүшүн ортосундагы байланышты Э.Х.Ленц көрсөткөн (1834 ж).

Ленцтин закону төмөнкүдөй айтылат:

Турук алкактагы индукциялык ток ар дайым, өзүн пайда кылган магнит агынын өзгөрүшүнө карама каршы (магнит талаасын түзгөндөй) аракет жасагандай багытта пайда болот.

Бул закон түшүндүктүү болсун үчүн 8.1.3-чиймеге көңүл бөлөлү. Шакек сыяктуу турук контур магнитке салыштырмалуу алгачкы 1-абалда болсун. Эми магниттик контурга \vec{J} ылдамдыгы менен жакындатсак (2-абал), анда ал аркылуу өткөн магнит агынын күч сызыктар) көбөйөт. Ленцтин эрежеси боюнча, бул учурда пайда болгон индукциялык токтун багыты өзү түзгөн магнит талаасын \vec{H}' магнит агынын өсүшүнө каршылык көрсөткөндөй багытта болушу керек. Демек, индукциялык токтун $I_{\text{инд}}$ айланасында пайда болгон \vec{H} магнит талаасы магнит түзгөн магнит талаасына \vec{B} карама каршы багытта болушу керек ($\vec{H}' + \vec{B}$). Ал үчүн индукциялык ток саатын жебеси айланган багытта пайда болот, б.а. контурдун магнит ийини $\vec{P}_m = I_{\text{инд}} \cdot S \vec{n}$ магниттик индукциясынын \vec{B} багытына каршы багытта ($\vec{P}_m \parallel -\vec{B}$)

Эми магниттик контурдан \vec{J} ылдамдыгы менен алыстаталы (3-абал). Анда контурду кесип өткөн күч сызыктардын саны магнит агынын азаят. Бул учурда индукциялык токтун түзгөн магнит талаасы \vec{H}' , өзүн пайда кылган магнит агынын азайышына каршылык кылган, б.а. сырткы магнит талаасына \vec{B} кошулгандай $\vec{H} + \vec{B}$ болушу керек. Биздин шартта индукциялык токтун багыты (3-абал) саат жебесинин айлангышына карама каршы багыт-

та пайда болот.

Англиялык оюмтуу Дж.Максвелл (1855г) Жарадгдин тажырийбаларын жыйынтыктап, Ленцтин законун эске алып электромагниттин индукция кубулушун негизги законун чазган.

$$\mathcal{E}_{инд} = -k' \frac{d\Phi}{dt} \quad (8.1.2)$$

б.в контурдагы электромагниттин индукциянын электр кыймылдаткуч күчү ($\mathcal{E}_{инд}$), ошол контур аркылуу өткөн магнит агынын өзгөрүштүнүн алдамдыгына түз пропорциялаш экен. Мында k' -пропорция коэффициенти, минус (-) белгиси Ленцтин эрежеси боюнча, индукциялык токту багытын көрсөтөт, б.в. контурдун магнит агынын ($\vec{P}_m = I_{инд} \vec{S}$) магнит агынын өзгөрүштүнө тескери багытталган болот.

Эгерде магнит агыны эссе ($d\Phi/dt > 0$), анда $\vec{P}_m \parallel \vec{B}$, $\mathcal{E}_{инд} < 0$ ал эми магнит агыны азайса $d\Phi/dt < 0$; $\vec{P}_m \parallel \vec{B}$, $\mathcal{E}_{инд} > 0$

8.2. ЭЛЕКТРОМАГНИТТИК ИНДУКЦИЯНЫН ЭЛЕКТР КЫЙМДАТКУЧ КҮЧҮНҮН (ЭКК) ТАБИГАТЫ

Электромагниттик индукция кубулушунун негизги законунун (8.1.2) физикалык табигатына көңүл бузала. Ал үчүн, 8.2.1-чиймеде берилген, магнит талаасындагы (ABCD) туш контурду карайлы. Бул контурдун AC капталы (I-абал) калган эки капталында баш латсын дейли. Магнит индукциясынын күч сызыктары контурдун тагизадыгыне тик киришсин (+) менен белгиленген). Эгерде контурдун AC каптын онду кездей \vec{v} алдамдыгы менен жылдырсак, анда A амперметри токту пайда болгонун көрсөтөт. Мунун себеби эмнеде? AC өткөргүч онду кездей жылганда аны менен кошо андагы электрондор да жылышат. Бул электрондорго магнит талаасы Лоренцтин күчү f_0 менен аракет кылат (8.2.1-чийме)

$$f_0 = k'e\vec{v} \times \vec{B} \quad (8.2.1)$$

Бул күч, электронго чыналышы \vec{E}^n болгон электр талаасынын аракетинге эквиваленттүү

$$\vec{f}_E = e\vec{E}^n$$

(8.2.2)

Бул эки барабардыкты теңдеп төмөнкүнү алабыз

$$\vec{E}^* = k[\vec{v} \times \vec{B}] \quad (8.2.3)$$

Контурдун AC , жагы жылганда анда ток пайда болуп, бул күч-
төрдүн таасир менен электрондордун турук контур боюнча ай-
ланып кыймылдашы менен түзүндүрүлөт. Демек, E^* электр талаа-
сы электростатикалык боло албайт. Ошондуктан, мындай талааны
индукциялык электр талаасы деп аташат, жана аны электроста-
тикалык талаадан айырмалаш үчүн жылдызча ($*$) менен бел-
гилеп коёбуз. Бул электр талаасынын күч сызыктары, магнит
талаасыныкындай эле, турук болупат (8.2.2-чийме) Индукциялык

E^* талаасынын AC кесиндисиндеги электронду жылдыруу үчүн

$$\text{аткарган жумушу} \quad A_{AC} = e \int_A^C E_c^* dl$$

барабар болот. Ал эми бирдик зарядды жылдырууга сарпталган
жумуш электр кыймылдаткыч күчү ЭКК) экенин жана 8.2.3-
формуланы эске алып төмөнкү туунтманы алабыз.

$$E_{инд} = -\frac{d\phi}{dt} = \int_A^C E_c^* dl = k' \int_A^C B dl \frac{dx}{dt} = k' B l \frac{dx}{dt}$$

$$E_{инд} = \int_A^C E_c^* dl = -k' \frac{d\phi}{dt} \quad (8.2.4)$$

$$\text{Мында} \quad d\phi = B l dx = B dS, \quad dx = v dt$$

Эгерде контурдун AC жагы гана эмес, анын өзү магнит талаа-
сында жылам же контур маймыса анда 8.2.4-туунтма мурдагы-
дай эле мааниге ээ болот, мында $d\phi$ контур жыгандагы же
маймышкандагы магнит агынын өзгөрүшү. Бул шартта E^* турук
контурду бойлойт. Ошентип 8.2.4-туунтманы жалпы учур үчүн

$$E_{инд} = \oint E_c^* dl = -k' \frac{d\phi}{dt} \quad (8.2.5)$$

деп жазууга болот. Бул барабардыктагы $\oint E_c^* dl$ туунтмасы электр
талаасынын турук контур боюнча циркуляциясы экендигин эске
салайлы. Демек, индукциялык электр талаасынын индукциясынын
циркуляциясы магнит талаасыныкы сыяктуу, нөлгө барабар эмес
экен. Бул индукциялык электр талаасынын күч сызыктарынын
турук, соленоидалдуу экендигинен келип чыгат (8.2.2-чийме).
Биз мурда электростатикалык талаанын цыналты \vec{E} векторун
караганбыз. Анын күч сызыктары ачык, б.а. оң заряддардан
башталып, терс заряддарга киришет. Мындай талааны потен-
циалдуу деп кошат. Бул эки талаа E жана E^* электр заряд-
дарга бирдей таасир этишет, бири бири менен түзүлүшү менен

гана айырмаланат.

Электростатикалык талаа \vec{E} заряддардын айланасында пайда болсо, индукциялык электр талаасы \vec{E}^* өзгөрмөлүү магнит талаасынын айланасында пайда болот экен.

8.3. Алкактын магнит талаасындагы айланышы.

Генераторлор.

Электромагниттик индукция кубулушу механикалык энергиядан электр энергиясын алууга мүмкүнчүлүк берет. Өткөргүчтү магнит талаасында жылдырса, анда индукциялык ток пайда болорун жогоруда көрдүк. Электр тогунун генераторунун эң жөнөкөй мисалын карайлы. Өткөргүчтөн жасалган алкакты индукциясы \vec{B} болгон магнит талаасында айлантамы (8.3.1-чийме). Алкактын аянты S , ага тургузулган нормаль \vec{n} болсун. Бул алкакты ω огунун айланасында ω бурчтук ылдамдыгы менен айлантамы. Анда магнит агыны убакыттын t учурунда

$$\Phi = BS \cos \omega t$$

(8.3.1)

барабар болот. Убакыттын өтүшү менен магнит агыны өзгөргөндүктөн алкакта индукциянын ЭКК пайда болот.

$$\mathcal{E}_{\text{инд}} = -k' \frac{d\Phi}{dt} = k' BS \omega \sin(\omega t) \quad (8.3.2)$$

ая эми анда пайда болгон ток

$$I_{\text{инд}} = k' \frac{BS \omega}{R} \sin(\omega t)$$

(8.3.2)

Сентип, алкакта пайда болгон ЭКК жана индукциялык ток синус закону боюнча өзгөрөшөт экен. ЭКК амплитудасы эң чоң мааниси)

$$\mathcal{E}_{\text{max}} = BS \omega = \mu_0 H S \omega$$

(8.3.3)

магнит талаасынын чыңалышы \vec{H} , алкактын аянты S анын айланыу ылдамдыгы ω жана ал оролгон магниттик чөйрөнүн өтүмдүүлүгү μ караала болот экен. Магнит талаасынын чыңалышын чоңойтуу үчүн чоң, кубаттуу магниттерди же электромагниттерди колдонуу керек.

Бирок, анын да чеги бар, магнитти өтө чоңойтсак анда айланыу ылдамдыгын ω да өтө чоңойтууга болбойт, себеби жо-

торку нцдамдыкта, айлануучу белүккө (роторго) борбордон четтөөчү чоң күч таасир этип, ал таянган ок ийилиши мүмкүн Ошондуктан, $\omega = 2\pi \nu$ айлануу жыштыгы белгилүү чоңдукта алынат. Биздин өлкө үчүн жыштык $\nu = 50$ Гц, ЭКК чоңойтуунун эки ыкмасы ыңгайлуу: 1) алкактын аянтын (S) чоңойтуу. Ал үчүн бири бирине удаалаш туташкан алкактарды биринин үстүнө бирин оройт. Мындай алкактардын саны N болсо, аянт NS болот да ЭКК N эсеге чоңоет. 2) удаалаш туташтырылган алкактарды магнит өтүмдүүлүгү чоң болгон магниттик затка (ферромагнитке) оройт. Мында ЭКК μ эсеге чоңоет. Ушундай жолдор менен ЭКК күчүн миллиондогон вольтко жеткиришет. Биз жогоруда электр тогунун генераторунун негизги иштөө принцибин токтолдук. Мындай генератордун айлануучу белүгүн ротор, ал эмч жайылсыз белүктөрүн статор деп аташат. Роторду ар түрдүү жолдор менен айландышат. Суу менен (ТЭС), жылуулук менен (ТЭЦ), атомдук энергия менен (АЭС), шамал менен (ШЭС), дизель мотору менен (ДЭС) ж.б. мындай генераторлор көбүнчө өзгөрмөлүү токту иштеп чыгышат. Алар турактуу ток иштеп чыксын үчүн токту алуу (токосъемник) схемасын гана өзгөртүү жетиштүү. 8.3.1-чиймесинде алкактын чыгыш A жана C учтары эки тулк шакекчелерден контактары аркылуу керектелүүчү аймактарга (R_n) өзгөрмөлүү ток берилет. Эгерде биз алкактын A жана C учтарын жарым шакекчелерге туташтырсак (8.3.2-чийме) анда генератордон багыты боюнча турактуу, чоңдугу боюнча өзгөрмөлүү ток алынат. Бул токтордун (турактуу, өзгөрмөлүү) убакыттан болгон көз карандылыгынын графигин тургузууну өзүңөргө сунуш кылабыз. Мындай токтун чоңдугу да турактуу, болсун үчүн жарым шакекчелерди кыска, бири биринин айлана боюнча жылып жайланышкан сегменттерге алмаштырышат (8.3.3-чийме). Карама каршы жайланышкан эки сегментке (1-5, 2-6, 3-7, 4-8) өзүнчө алкактардын учтары туташтырылган. Бул алкактар сегменттер смяктуу эле бири биринен белгилүү бурчка жылып жайланышат.

Электромотор. Электромотордун иштөө принциби генераторго тескерисинче. Эгерде биз караган схеманын (8.3.1) роторуна ток берсек, анда ал айланып, электромоторго айланат. Ампердин законун өскө алсак, оңой эле электромотордун иштөө принцибин түшүндүрүүгө болот.

8.4. Өз ара индукция

Биз электромагниттик индукция кубулуш караганыбызда, контурдагы индукциялык ток, контур аркылуу өткөн магнит агыны өзгөргөндө, пайда болорун көрдүк. Бирок бул индукциялык токтун пайда болушу магнит агынын жаратылышына жараша болбостон, анын өзгөрүшүнүн ылдамдыгына гана көз каранды экен. Контурду кесүүчү магнит талаасы тышкарыдан келеби же ал ошол контурдун өзү пайда болгонуна жараша, электромагниттик индукция кубулушу өз ара жана өзүндүк индукция болуп-экиге бөлүнөт. Адегенде өз ара индукцияны карайлы. Карыш тегиздиктерде жаткан эки илмек түрүндөгү контурду алып, биринчи контурду токтун булагына, экинчисин гальванометрге (Г) туташтыралы (8.4.1-чирме). Биринчи контур аркылуу I_1 тогу өткөндө анын айланасында магнит талаасы пайда болот. Бул магнит талаасынын күч сызыктары (B) экинчи контурду кесип өтүп, Φ_{21} магнит агынын түзүшөт. Эгерде I_1 тогун эки эсе көбөйтсөк, Φ_{21} магнит агыны дагы эки эсеге көбөйтөт, б.а. бул магнит агыны I_1 тогуна түз пропорциялаш

$$\Phi_{21} = k' M_{21} I_1 \quad (8.4.1)$$

Мунда пропорция коэффициенттери k' —өлчөө системасына жараша болот ($CG: k'=1$), M_{21} — өз ара индукциянын коэффициенти, контурлардын өз ара жайланышуу абалдарына жана калыптарына жараша болот. Эми экинчи контурга ток булагын туташтырып, ток жүргүзүп (I_2) биринчи контурга гальванометрди туташтыралы. Анда экинчи токтун түзгөн магнит талаасынын биринчи контурга түзгөн магнит агыны

$$\Phi_{12} = k' M_{12} I_2 \quad (8.4.2)$$

I_2 тогуна түз пропорциялаш болот. Эгерде бул контурлардын өз ара ээлеген орундары жана калыптары өзгөрүлбөсө өз ара индуктивдүүлүктүн коэффициенттери M_{12} жана M_{21} барабар болушат, $M_{21} = M_{12} = M$ — өз ара индуктивдүүлүктүн коэффициенти деп аталат.

Биринчи контур аркылуу өткөн токту R каршылыгынын жардамы менен өзгөртсөк, экинчи контурдагы магнит агыны да өзгөртүп, анда ЭКК пайда болот

$$\mathcal{E}_2 = k' \frac{d\Phi_{21}}{dt} = -k' \frac{d}{dt} = -k' \frac{d}{dt} (k' M_1 I_1) = -(k')^2 M \frac{dI_1}{dt} \quad (8.4.3)$$

Демек, экинчи контурда пайда болгон ЭЖК (\mathcal{E}_2) биринчи контурдагы токтуу өзгөрүш ылдамдыгына $\frac{dI_1}{dt}$ түз пропорциялашкан.

Эми 8.4.3-формула пайдаланып өз ара индуктивдүүлүктүн коэффициентинин өлчөө бирдигин СИ системасында аныктайлы.

Биринчи контурдагы токтуу өзгөрүш ылдамдыгы бирге барабар ($dI_1/dt = 1$) болгондо, экинчи контурда 1 Вольт ЭЖК пайда болсо мындай эки контурдун өз ара индуктивдүүлүгү 1 Генриге (Гн) барабар болот, б.а. ($dI_1/dt = 1$, $k' = 1$ (\mathcal{E}_2) = $1 \text{ В} [M] = 1 \text{ Гн}$)

8.5. Жалпы өзөктүү эки соленоиддин өз ара индукциясы

Бир өзөккө оролгон эки катушканын индуктивдүүлүгүн карайлы. Турук өзөктүн магнит өтүмдүүлүгү μ , туурасынан кесилиш аянты S , узундугу l барабар. Өзөккө оролгон катушкалардын оромдорунун саны N_1 жана N_2 ге барабар. Биринчи катушка аркылуу тогун өткөрсөк, өзөк аркылуу

$$\Phi = BS = k_4 \pi \mu N_1^2 \frac{N_1 N_2}{l} S I_1 \quad (8.5.1.)$$

магнит агыны жүрөт.

Бул магнит агыны экинчи катушканын оромдор аркылуу өтөт жана экинчи катушка аркылуу өткөн толук магнит агыны

$$\Phi_{21} = N_2 \Phi = k_4 \pi \mu N_1 N_2 \frac{N_1 N_2}{l} S I_1 \quad (8.5.2.)$$

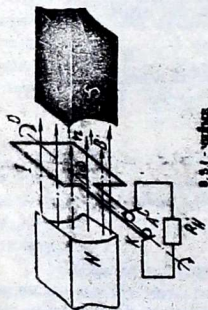
барабар болот. Акыркы туунтманы 8.4.1-формула менен салыштырып бул эки катушканын өз ара индуктивдүүлүгүн табабыз

$$M = \frac{\Phi_{21}}{k' I_1} = \frac{k}{k'} k_4 \pi \mu N_1 N_2 \frac{N_1 N_2}{l} S \quad (8.5.3)$$

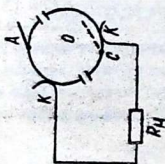
СИ системасында $k' = 1$, $k = \frac{1}{4\pi \epsilon_0}$, $\mu = 4\pi \cdot 10^{-7} \text{ Гн/м}$ болгондуктан

$$M = \mu N_1 N_2 \frac{N_1 N_2}{l} S \quad (8.5.4.)$$

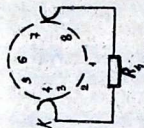
Өз ара индукциянын мисалы катары трансформаторду карайбыз (8.5.2-чийме). Жалпы турук темир өзөккө кийгизилген эки катушка трансформатор деп аталат. Оромдорунун саны N болгон ка-



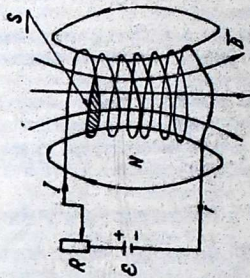
0.3.1 - verdraht



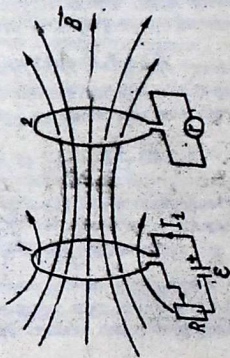
0.3.2 - verdraht



0.3.3 - verdraht



0.5.1 - verdraht



0.4.1 - verdraht

тушкага \mathcal{E} , ЭКК булагын туташтырып, I өзгөрмөлүү ток өткөндө эзекте Φ магнит агыны пайда болот. Биринчи жана экинчи катушкалар аркылуу өткөн магнит агындар $N_1\Phi$ жана $N_2\Phi$ барабар болот. Бул магнит агындары өзгөрмөлүү болушуп, катушкаларда индукциянын ЭКК пайда кылышат. Ондун закону боюнча биринчи катушкадагы чыңалуунун төмөндөшү $U_1 = I_1 R_1$, смрткы ЭКК \mathcal{E}_1 , жана пайда болгон индукциянын ЭКК $\mathcal{E}_{инд1} = -k' \frac{d(N_1\Phi)}{dt}$ суммаларына барабар

$$\mathcal{E}_1 - k' N_1 \frac{d\Phi}{dt} = I_1 R_1 \quad (8.5.5)$$

Ошондой эле экинчи катушка үчүн

$$\mathcal{E}_2 - k' N_2 \frac{d\Phi}{dt} = I_2 R_2 \quad (8.5.6)$$

Бул катушкалардын каршылыктарын, алардагы чыңалуунун төмөндөшү (U_1, U_2) аларда пайда болгон индукциянын ЭКК $\mathcal{E}_{инд1}, \mathcal{E}_{инд2}$ чоңдуктарынан көп эсе аз болгондой кылып таяндайт:

$$I_1 R_1 \ll \mathcal{E}_{инд1}; \quad I_2 R_2 \ll \mathcal{E}_{инд2} \quad (3.5.7)$$

Мындай шартта 8.5.5 жана 8.5.6-теңдемелерден

$$\mathcal{E}_1 \approx k' N_1 \frac{d\Phi}{dt}; \quad \mathcal{E}_2 \approx k' N_2 \frac{d\Phi}{dt}$$

Бирин экинчисине болуп, $\mathcal{E}_1 : \mathcal{E}_2 = N_1 : N_2$ же $\mathcal{E}_2 N_2 = \mathcal{E}_1 N_1$, (8.5.8)

Трансформатордун киришине берилген \mathcal{E}_1 ЭКК анын чыгышында пайда болгон \mathcal{E}_2 ЭКК болгон катышы алардын оромолдорунун санын катышына барабар экен. N_1/N_2 - трансформатордун күчөтүү коэффициенти деп аталат. Эгерде $\frac{N_1}{N_2} > 1$, трансформатордун чыгышындагы \mathcal{E}_2 ЭКК киришиндегиден $\left(\frac{N_1}{N_2} \right)$ эсе чоң болот.

Мындай трансформаторлор жогорулатуучу деп аталышат. Тескерисинче ($N_2/N_1 < 1$) болсо төмөндөтүү трансформатор болот. Трансформатор аркылуу берилүүчү энергия анын киришинде жана чыгышында бирдей болгондуктан, жогорулатуучу трансформаторлордун чыгышында чыңалуу чоңойсо ток күчү азаят. Жогорулатуучу трансформаторлор электр энергиясын алыс аралыкка берүүдө колдонулат, себеби өткөргүч аркылуу өткөн токтун жоготулушу (Джоулдун жылуулугуна, $Q = I^2 R t$ кетет) токтун күчүнүн квадратына түз пропорциялап, б.а. электр энергиясын алыс аралыкка бериш үчүн токтун күчүн азайтып, чыңалууну көбөйтүү пайдалуу экен. Азыркы электр станциялар пайдалануучулардан ондогон, жүздөгөн километр аралыкта жайланышкандыктан, чыңалууну да ондогон, жүздөгөн киловольтко жогорулатып берет ($\sim 10^6$ Вольт). Мындай

жогорку чыңалуудагы электр энергиясын пайдалануу үчүн төмөндөтүүчү трансформаторлорду пайдаланышат

8.6. Өзүндүк индукция

Биз жогоруда бир катушка аркылуу өзгөрмөлүү токту экинчи катушкага тийгизген таасирин, өз ара индукцияны, карадык. Эми ошол өзгөрмөлүү ток өткөн катушканын өзүнө тереңирээк көңүл бөлөлү.

(Катушка аркылуу ток өткөндө, анын айланасында пайда болгон магнит талаасы катушканын өз оромдорун кесип, магнит агынын түзөт. Бул магнит агыны ал аркылуу өткөн I тогуна түз пропорциялаш 8.6.1-чйме)

$$\Phi = k'LI \quad (8.6.1)$$

Мнда L - өзүндүк индукциянын коэффициентти же контурдун индуктивдүүлүгү деп аталат.

Өзүндүк индукциянын коэффициенттин (L) аныктоо үчүн өз ара индукция коэффициентинин (M) туунтмасын 8.5.3-формула) пайдаланалыз. Өзүндүк индукцияда оромолуу катушка түзгөн магнит агыны, ошол эле катушканын оромдорун кесип өтүп жаткандыктан, $N_2 = N_1 = N$ деп алсак 8.5.3-формуладан контурдун индуктивдүүлүгү L үчүн

$$M = L = \frac{k}{4\pi} \frac{N^2}{l} \mu_0 \mu \quad (8.6.2)$$

туунтманы алабыз.

Ал эми бул катушка аркылуу өзгөрмөлүү I тогу хиберсек, ал түзгөн магнит агыны да өзгөрмөлүү болуп, катушканын өзүндө ЭЖК пайда болот

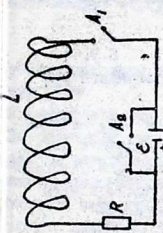
$$\mathcal{E}_0 = -k' \frac{d\Phi}{dt} = -(k')^2 L \frac{dI}{dt} \quad (8.6.3)$$

Бул ЭЖК өзгөрмөлүү I тогу өтүп жаткан катушканын өзүндө пайда болгондуктан, өзүндүк индукциянын ЭЖК (\mathcal{E}_0) деп аталат.

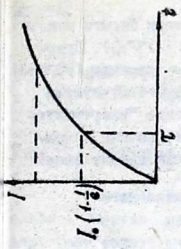
Формуладагы минус (-) белгиси, Ленцтин эреже боюнча контурдагы индуктивдүүлүк андагы токту өзгөрүшүн акырында тургандыгына билгизет. Эгерде контурдагы ток өссө $\frac{dI}{dt} > 0$, анда $\mathcal{E}_0 < 0$ б.а. контурдагы ток чоңою баштаса, анда пайда болгон индукциялык ток I_0 негизги токко карама-каршы багытта пайда болуп, анын өсүштүн тоскоолдук кылат ($I I_0$). Тескерисинче, контурдагы ток азайганда $\frac{dI}{dt} < 0$, $\mathcal{E}_0 > 0$ болот, б.а. бул шартта пайда бол-



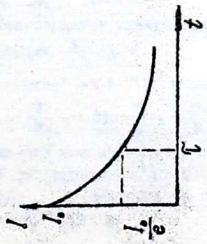
8.5.1 - ЧИСЛА



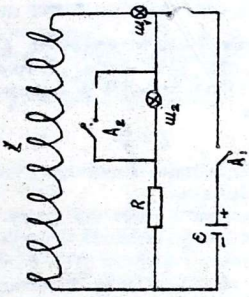
8.7.1 - ВИДЫ



8.7.2 - ЧИСЛА



8.7.3 - ЧИСЛА



8.7.4 - ЧИСЛА

гон индукциялык токтуң багыты негизги токтуң багыты менен дал келип, анын азайышына тоскоолдук кылат ($I \neq I_0$). Эгерде контур аркылуу турактуу ток өтсө ($\frac{dI}{dt} = 0$), анда $\mathcal{E}_i = 0$) индукциялык ток пайда болбойт. Ошентип, индуктивдүүлүктүн болушу, катушка аркылуу өзгөрмөлүү ток өткөндө "инертүүлүккө" алып келет б.а. контурдагы ток тез өсүп, өзүнүн максималдык чоңдугуна жете албайт жана, тез жоголо албайт өкөн.

8.7. Чыңыраарды кошкондогу жана ажыраткандагы өзгөчө (экстра) токтор

ЭКК \mathcal{E} каршылык R жана индуктивност L ден түзүлгөн электр чыңырын карайлы (8.7.1-чийме). Ачкычы ачык, A_1 ачкычы дей-ма жабык болгондо, чыңырга \mathcal{E} ЭКК аракет кылып, анда I_0 тогу жүргөн болот

$$I_0 = \frac{\mathcal{E}}{R} \quad (8.7.1)$$

Эми ЭКК чыңырга кошулгандагы жана ажыраткандагы кубулуштарды байкайлы.

1. \mathcal{E} ЭКК булагын чыңырга тез кошулу. Ал учун A_2 -ачкычы ачык) A_1 ачкычы тез жабылат. Чыңырга индуктивдүүлүк болгондуктан, өзүндүк индукция пайда болуп, ал негизги I тогунун өсүшүнө тоскоолдук кылат. Натыйжада чыңыргадагы токтуң күчү эки ($\mathcal{E}_1, \mathcal{E}_2$) ЭККтердун таасири астында аныкталат

$$I = \frac{\mathcal{E}_1 + \mathcal{E}_2}{R} \quad IR = \mathcal{E} - L \frac{dI}{dt} \quad (8.7.2) \quad \text{же болбосо}$$

Эгерде $IR = \mathcal{E} = u$ деп белгилесек,

$$u = R dI \quad (8.7.3) \quad \text{болот.}$$

Анда 8.7.2-формулану төмөндөгүдөй жазууга болот.

$$u = -L \frac{dI}{dt} \quad (8.7.4)$$

8.7.3-турантманы 8.7.4 га бөлүп

$$\frac{du}{u} = -\frac{R}{L} dt = -\frac{t}{\tau} \quad (8.7.5)$$

алабыз. Мында $\tau = \frac{L}{R}$ чыңыргын турактуу убактысы деп аталат (8.7.5) -формулану кандайдыр бир t убактысына чейин интегралдап жана потенциалдап.

$$u = \mathcal{E} e^{-t/\tau} \quad (8.7.6)$$

алабыз. Эми бул тургиваны 8.7.2-формулага көп төмөнкү
алабыз

$$IR = \mathcal{E} + C e^{-t/\tau} \quad (8.7.7)$$

Интегралдын турактуулугу C ны баштапкы шарттан аныктайбыз:
Демек 2 7.7-формуладан бул шартта $C = -\mathcal{E}$ болот.

Муну 8.7.7 -формулага көп

$$I = \frac{\mathcal{E}}{R} (1 - e^{-t/\tau}) \quad (8.7.8)$$

алабыз. Опентип, чыңырдн ЭКК нун булагына кошкондо ток дароо эле өзүнүн өң чоң маанисине I_0 жетбестен, 8.7.8-закону боюнча өсөт экен (8.7.2-чийме). Убакыт t чыңырдн турактуу убактысы τ барабар $t = \tau$ болгондо, чыңырдагы ток I максималдуу токту $I_0 (1 - \frac{1}{e})$ бөлүгүнө барабар болот

$$I = I_0 (1 - \frac{1}{e}) \quad (8.7.9)$$

убакыт чексизге умтулганда $t \gg \tau$ гана чыңырдагы ток турактуу токко барабар болот.

2. Чыңырдагы ток максималдуу чоңдугунда ($I = I_0$) өтүп жатат. Эми чыңырдн туюк калтырып, ЭКК булагынан кокусунан ажыратылы. Ал үчүн A_1 ачыкчы жабык бойдон зурат (8.7.1-чийме). A_2 - ачыкчы кокусунан жабыз. Анда ЭКК булагы A_2 ачыкчы аркылуу оң жана терс уюлдары түз кошулуп, RL чыңырына аракет кылбай калат. Мындай шартта чыңырдагы токту кантип жок болорун карайлы.

Сырткы ЭКК аракет кылбагандыктан $\mathcal{E} = 0$, чыңырга өзүнчө индукциянын гана ЭКК таасир кылат б.а.

$$I = \frac{\mathcal{E}_0}{R} = \frac{L}{R} \frac{dI}{dt} \quad (8.7.10)$$

Сондуктан 8.7.7-теңдеманын ордуна

$$IR = C e^{-t/\tau} \quad (8.7.11)$$

алабыз. Эми C аныктайлы.

Баштапкы шартта $t = 0$: $I = I_0$ - ток максималдуу болгон.

Сондуктан 8.7.11 -формуладан $C = I_0 R$ болот.

Турактуу C маанисин 8.7.11 формулага көп

$$I = I_0 e^{-t/\tau} \quad (8.7.12)$$

алабыз. R_1 -чынжырын ЭКК күчүнөн кокусунан арычатканда, андагы ток 8.7.12-закону боюнча азайып жок болот экен. (8.7.3 чийме). Анын канчалык тез жоголору L жарыя болот.

Опентип, электр чынжырларындагы индукция дүүлүк L механикадагы инертүүлүктө (массага) окшош болуп, чынжырга инертүүлүк берет экен.

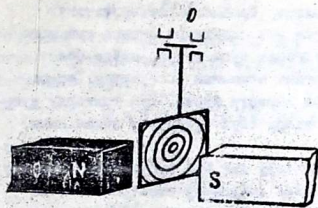
ЭКК булагын чынжырга кошкондогу жана андан ажыратканда пайда болгон экстра токторду төмөнкү демонстрациялык тажрыйбада көрсөтүүгө болот (8.7.4-чийме). Бул чынжыр эки жарым чынжырлардан: чоң индуктивдүү L катушкасына \mathcal{M}_1 электр шамчасы удаалаш туташтырылган жана буларга удаалаш туташтырылган R каршылыгы жана \mathcal{M}_2 шамчасы жарым туташтырылган. A_2 ачык ачык турсун. Эгерде биз A_1 ачыктын жабсак, анда ЭКК бул эки жарым чынжырга туташтырылат. \mathcal{M}_1 шамчасы индуктивдүүлүккө удаалаш туташтырылгандыктан, өзүнчө индукциянын таасири астында бир аз кечигибирээк жаркырап кыйрайт. ал эми \mathcal{M}_2 шамчасы тез жаркырагын байкайбыз.

Биз индуктивдүүлүктүү чынжырга ЭКК булагын кошкондо пайда болгон өзгөчө токту көрдүк .

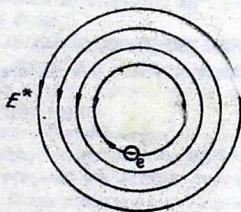
Бул чынжырды ЭКК ажыратканда пайда болгон өзгөчө токту байкоо үчүн A_2 ачыктын туюктап, (\mathcal{M}_2 -шамы ЭККнен ажыратылат) жабык турган A_1 ачыктын шарт ажыраткан учурда бул шамдын жарк этип, анан өчөрүн көрөбүз. Мындай кубулуш, чынжырды ток булагынан ажыратканда пайда болгон өзүмдүк индукциянын негизинде пайда болгон өзгөчө токту натыйжасы болуп эсептелет

8.8. Куйндуу токтор (буконун токтору)

Индукциялык токтор туташ салмактуу өткөргүчтөрдө да пайда болот. Эгерде өзгөрмөлүү магнит талаасына туташ өткөргүчтөн жасалган нерселерди киргизгенде, аларда куйндуу токтор пайда болушат. Бул токтордун багыттары Ленцтин зржеси боюнча болушат. 8.8.1-чиймеде, 0 чекитине илинген металл пластинасынан жасалган маятник магнит уюмдарынан ортосунда термелет. Маятник термелгенде ал аркылуу өткөн магнит агымы өзгөргөндүктөн, бул өзгөрмөлүү магнит агымы айланасында индукциялык электр талаасы \mathcal{E}^* пайда болорун (8.2.2-чийме) билебиз. Маятник туташ өткөргүч болгондуктан, анда пайда



8.8.1 - ЧИУМБ



8.8.2 - ЧИУМБ

болгон туюк индукциялык электр талаасы E^* өткөргүчтөгү электрондорду талаанын туюк куч сызыктары боюнча кыймылга келтирет да, өткөргүчтө тегерек туюк токтор пайда болот. Бул токтордун багыттары магнит агынынын өзгөрүшүнө (чоңорушуна, же азайышына) карама өзгөрүп турат. Бул токторду куучуу токтор же функун токтору (бул кубулушту ачкан киши) деп атап коошат.

Ар кандай кубулуштар сыяктуу эле бул кубулуштун пайдалуу жана зыян жактары бар: 1. Бул кубулушту электромагниттик (микротолкундуу) пес катары пайдаланышат, айрыкча вакуумдуу приборлордун (лампаралдын) металлдардын жасалган тетиктерин кызытып иштетүүдө бул ыкманы башка жол менен алмаштыруу кыйын. Ошондой эле кубулуш электр өлчөөчү кураалдарда, алардын көрсөтүүчү көбөсүнүн термелиши токтотуу (демферле) үчүн колдонулат. 2. Зыяндуу жактары трансформаторлор иштегенде пайда болот. Эгерде трансформатордун өзөгү туташ темирден жасалса, анда пайда болгон куюнду токтор анын ичине алып келет. Ошондуктан, трансформатордун өзөгүн бири биринен изоляцияланган жука тилкелердин, тобунан жасашат. Мындай шартта куюк токтор азайт.

8.9. Токтун магнит талаасынын энергиясы

Индуктивдүүлүгү L болгон контурдан I тогу өткөндө ага келешкен магнит агы:

$$\Phi = k'LI \quad (8.9.1)$$

барabar болору белгилүү (8.6.1-чийме). Магнит агынын $d\Phi$ ге өзгөртүш үчүн, контур аркылуу өткөн токту dI ге өзгөртүү керек.

$$d\Phi = k'L dI \quad (8.9.2)$$

Бул агыны өзгөртүш үчүн атырылган куюш

$$dA = k'Id\varphi \quad (8.9.3)$$

барabar болот. Мындай куюшту контурга туташтырылган ЭКК аткарат. Бул куюш контурдагы топтолгон энергияны dW га көбөйтөт. Эгерде контурдагы токту dI ге азайтсак, анда бул топтолгон энергия бөлүнөт. Ошентип токту dI ге көбөйткөндө контурдагы топтолгон энергия dW га чоңоёт, б.а.

$$dW = dA = k' I d\Phi = (k')^2 L I dI \quad (8.9.4)$$

Контурдагы ток нөлдөн кандайдыр бир I ге чоңойгондогу топтолгон энергияны табыш үчүн 8.9.4-туунтманы нөлдөн чейин интегралдоо керек

$$W = \int_0^I dA = \int_0^I (k')^2 L I dI = (k')^2 L \frac{I^2}{2} \quad (8.9.5)$$

СИ системасында $k' = 1$

$$W = L \frac{I^2}{2} \quad (8.9.6)$$

Акыркы туунтма индуктивдүүлүгү L болгон контурдан I тогу өткөндө топтолгон энергияны мүнөздөйт. Түшүнүктүү болсун үчүн бул туунтманы заряддалган, сыйымдуулугу C болгон конденсатордун энергиясы менен салыштыруу пайдалуу

$$W_q = \frac{1}{C} \frac{q^2}{2} \quad (8.9.7)$$

Конденсатордун энергиясы андагы заряддардын чоңдугунун квадратына (q^2) түз пропорциялаш болсо, тогу бар контурдун энергиясы токтун квадратына б.а. заряддардын кыймылынын квадратына түз пропорциялаш экен. Бул кагынан бул энергияларды механикадагы потенциалдык жана кинетикалык энергияларга салыштырууга болот.

Ар кандай электр тогу магнит талаасы менен курчалгандыктан, тогу бар контурдагы энергия, өтүп жаткан өткөргүчтүн ичиндеби же анын айланасындагы магнит талаасында топтолгонбу деген суроо туулат.

Чыңдыгында өгөрдө контурдагы ток турактуу болсо, андагы энергия дагы турактуу болот. Бирок, бул энергияны андан өтүп жаткан ток менен байланыштырууга болбойт, себеби индуктивдүүлүгү башка контурду алып, ошондой эле ток өткөрсөк, анда ошол эле токтуң энергиясы башкача болот. Ошондуктан, бул энергияны магнит талаасы менен байланыштыруубуз керек. Ал үчүн торроиддик катушканы аламыз (263-чиңме). Анын индуктивдүүлүгү

$$L = \frac{k}{k'} \mu \mu_0 4\pi \frac{N^2}{l} S \quad (8.9.8)$$

экеңдиги белгилүү.

8.9.8-туунтманы 8.9.5-формулага койсок

$$W = \frac{1}{2} k' k \mu \mu_0 4\pi \frac{N^2}{l} S I^2$$

жана аны торroidдин узундугу l ге көбөйтүп жана бөлүп

$$H = k_4 \pi \frac{N}{l} I : IS = V$$

өкөндигич эске алып. СИ-системасында ($k' = 1, k = \frac{1}{4\pi}$) төмөнкүчү алабыз

$$W = \frac{1}{2} \mu \mu_0 H^2 V \quad (8.9.9)$$

Бул энергиянын тыгыздыгы

$$W_H = \frac{W}{V} = \frac{1}{2} \mu \mu_0 H^2 = \frac{1}{2} BH \quad (8.9.10)$$

Ошентип, тогу бар өткөргүчтүн магнит талаасынын энергиясы, магнит талаасынын мейкиндиктин чекитиндеги чыңалыштын квадратына түз пропорциялаш экен.

Электростатикада электр талаасынын энергиясы, анын чыңалыштын квадратына түз пропорциялаш өкөндигин көргөнбүз.

$$W_E = \frac{1}{2} \epsilon \epsilon_0 E^2 = \frac{1}{2} DE \quad (8.9.11)$$

Эгерде мейкиндикте электромагниттик талаа болсо, анда бул талаанын энергиясы магнит H жана электр E талааларынын энергияларынын суммаларына

$$W = W_E + W_H = \frac{1}{2} \mu \mu_0 H^2 + \frac{1}{2} \epsilon \epsilon_0 E^2 \quad (8.9.12)$$

барabar болот.

Глава 9. МАКСВЕЛЛИН ТЕОРИЯСЫН НЕНГИДЕРИ

9.1. Андаштуу токтору

Ар кандай өзгөрмөлүү магнит талаасын курчаган индукциялык электр талаасы пайда болорун электромагниттик индукция кубулушунда көргөнбүз. Ал электромагниттик индукция кубулушунун негизги теңдемесинен келип чыгат,

$$\mathcal{E}_{\text{инд}} = \oint_L \mathbf{E}_e^* \cdot d\mathbf{l} = -k \frac{d\Phi}{dt} = -k \int_S \frac{d\mathbf{B}_m}{dt} \cdot d\mathbf{S} \quad (9.1.1)$$

Англиялык окумуштуу Максвелл, ар түрдүү электромагниттик процесстерди изилдеп, эгерде өзгөрмөлүү магнит талаасы индукциялык \mathbf{E}^* электр талаасын түзсө, тескерисинче, өзгөрмөлүү электр талаасы магнит талаасын түзүшү керек деген жылынттыкка келген. Буга чейин биз, магнит талаасынын булагы болуп ток аяптелерин көргөнбүз. Ошондуктан, магнит талаасын түз-

ген өзгөрмөлүү электр талаасын Максвелл жылышуу тогу деп атап койдук.

Жылышуу тогун түшүнүш үчүн төмөнкү тажрыйбага көңүл буралы: (9.1.1.-чийме) C жалпак конденсаторуна \mathcal{E} ЭКК булагын алакошкуч (АК) аркылуу туташтыралы. Конденсатордун бир канатына кичинекей электр шамы W туташтырылган. Мындай электр чыңжыры турактуу ток үчүн туюк болбойт. Ошондуктан, ал аркылуу ток жүрбөйт, буга электр шамынын күйбөгөнү күбө. Эгерде көңүл көп карасак, алакошкуч ЭКК булагын конденсаторго кошкондо жана аны алакошкондо, ток булагынын уюлдары алмашат, шамдын үлпүздөгөнүн (жанып өчкөнүн) көрөбүз. Демек, бул учурларда чыңжырда электр тогу пайда болот экен. Чындыгында эле алакошкучту 1-абалдан 2-абалга которгондо конденсатор шамы аркылуу ала заряддалып, ток жүрөт. Качан конденсатор алазаряддалып бүткөндө шам кайра өчөт.

Олентип, \mathcal{E} ЭКК булагын конденсатору бар чыңжырга кошкон жана алакошкон учурларда электр шамы бүлбүлдөйт экен. Эгер эми бул чыңжырды өзгөрмөлүү электр тогунун булагына туташтырсак шам дайыма күйгөнсүп көрүнөт. Себеби кишинин көзү 25 Гц жыштыктан жогорку өзгөрүүлөрдү ажырата албайт. Ал эми өзгөрмөлүү электр тогу 50 Гц жыштыкта өзгөргөндүктөн конденсатордогу заряддоо жана алазаряддоо 100 Гц жыштык менен жүрөт. Ошондуктан, мындай өзгөрмөлүү токту булагына туташтырылган электр шамы турактуу күйгөнсүйт. Олентип, өзгөрмөлүү электр тогу турактуу токтон айырмаланып, ачык чыңжырлар аркылуу да жүрө алат экен. Бул чыңжырды конденсатордун канаттарынын ортосундагы пайда болгон жылышуу тогу б.а. өзгөрмөлүү электр талаасын туюктайт.

Түшүнүктүүрөөк болсун үчүн 9.1.2.-чиймеге көңүл буралы. Алакошкучту 1-абалга жыдырсак конденсатордун соя канатына q заряддар (+ q), ал эми канатына терс заряддар (- q) жыйнала баштайт (заряддалышат). Аларда заряддар көбөйгөн сайын, ортосундагы электр талаасы пропорциялап чоңоёт. Эгерде канаттарындагы заряддардын беттик тыгыздыгы σ болсо, анда алардын ортосундагы электр талаасынын индукциясы D да ошолчуну пропорциялап болот,

$$D = \sigma$$

$$(9.1.2)$$

ал эми толук заряд $q = \sigma S = DS$,

$$(9.1.3)$$

мында S конденсатордун канатынын аянты

Эгерде dq убактысында конденсатордун заряды dq га өзгөрсө, конденсаторду туташтырган өткөргүчтөгү пайда болгон токтуң күчү I_0

$$I_0 = \frac{dq}{dt} = S \frac{dD}{dt} \quad (9.1.4)$$

болот, же анын тыгыздыгы

$$\vec{j}_0 = \frac{dq}{dt} / S = \frac{dD}{dt} \quad 9.1.5$$

канаттардын ортосундагы электр индукциясынын өзгөрүшүнүн ылдамдыгына $\frac{dD}{dt}$ пропорциялам болот. Бул барабардыктан, өткөргүчтөгү токту канаттардын ортосундагы мейкиндикте (диэлектрикте) өзгөрмөлүү электр талаасынын күч сызыктары ($\frac{dD}{dt}$) улантып, чыңырды туюктай тургандыгы келип чыгат. Бул вектордук чоңдукту Максвелл кылышуу тогу деп атаган,

$$\vec{j}_x = \frac{dD}{dt} \quad (9.1.6)$$

Электр индукциясы \vec{D} диэлектриктин поляризация вектору менен төмөндөгүдөй байланышкан.

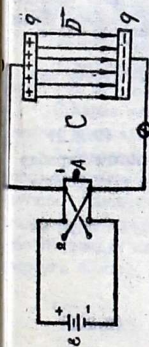
$$\vec{D} = \epsilon_0 \vec{E} + \vec{P} \quad (9.1.7)$$

$$j_x = \frac{d}{dt} (\epsilon_0 \vec{E} + \vec{P}) \quad (9.1.8)$$

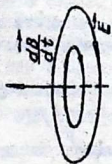
мында ϵ_0 - электрдик турактуу сан, E - электр талаасынын чыңалышы. Поляризация вектору P диэлектриктеги поляризациялык заряддар менен байланыштуу болгондуктан, 9.1.8 формуладагы $\frac{dP}{dt}$ чоңдукту поляризациялык заряддарынын кылышуунын ылдамдыгын мүнөздөйт. Ошондуктан, 9.1.8-формуладагы бул мүчө "кылышуу тогу" деген наамга туура келет. Ар кандай ток сыяктуу, кылышуу тогунун айланасында да магнит талаасы пайда болот. Конденсатор амазаралдалганда өткөрүмдүүлүк j_0 тогу багытын өзгөрткөндүктөн, кылышуу j_x тогу да өз багытын өзгөртөт (9.1.3-чийме). Ошентип, конденсаторлуу электр чыңыры аркылуу өзгөрмөлүү ток жүргөндө конденсатордун канаттарынын ортосунда пайда болгон кылыш тогу j_x өткөргүч аркылуу жүргөн токтуң j_0 уландысы болуп, чыңыр туюкталат жана бул токтордун тыгыздыктары барабар болушат

$$j_0 = j_x$$

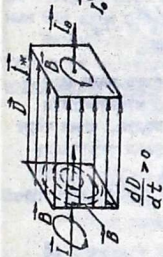
Эгерде кандайдыр бир өткөргүч аркылуу өзгөрмөлүү ток жүрсө,



9.1.1 - ЧУЌИМЕ

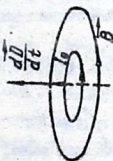


9.2.1 - ЧУЌИМЕ

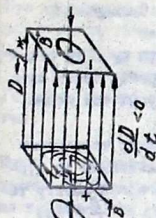


$$\frac{dB}{dt} > 0$$

9.1.2 - ЧУЌИМЕ

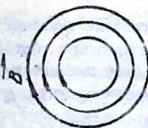


9.2.3 - ЧУЌИМЕ

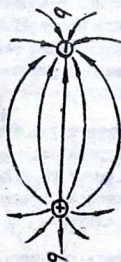


$$\frac{dB}{dt} < 0$$

9.1.3 - ЧУЌИМЕ



9.2.2 - ЧУЌИМЕ



9.2.4 - ЧУЌИМЕ

анын ичинде өзгөрмөлүү электр талаасы болот. Ошондуктан, мындай өткөргүч аркылуу өткөрүмдүүлүк тогуна (j_0) башка жылышуу тогу j_x да пайда болот. Өткөргүч аркылуу өткөн тожук ток бул токтордун суммасына $j = j_x + j_0$ барабар болот жана аларды курчаган магнит талаасынын чыңалышы ушул ток менен аныкталат.

Чөйрөнүн электр өткөрүмдүүлүгүнө жана электр талаасынын өзгөрүшүнүн ылдамдыгына жараша бул токтордун салымы ар түрдүү болушат. Анчалык чоң эмес жыштыктагы өзгөргөн электр талаасы үчүн: а) калкы өткөргүчтөр үчүн $j_0 \gg j_x = \frac{dD}{dt}$, $j = j_0$

б) начар өткөргүчтөр үчүн $j_x \gg j_0$, $j = j_x$

в) жарым өткөргүчтөр үчүн $j_x \sim j_0$, $j = j_0 + j_x$

9.2. Максвеллдин интегралдык теңдемелери

Максвеллдин жылышуу тогун агышы, ага электр жана магниттик кубулуштардын жалпы теориясын түзүүгө мүмкүнчүлүк берди. Максвеллдин бул теориясынын негизги болуп, анын төрт теңдемеси эсептелет. Бул теңдемелердин интеграл түрүндөгүсүн карайлы.

Анын биринчи теңдемеси электромагниттик индукциянын негизги закону эсептелет,

$$\oint_L E_c dl = -k' \frac{d}{dt} \int_S B_n dS \quad (9.1.1)$$

Бул теңдемени оңдон сояго окусак анда, ар кандай өзгөрмөлүү магнит талаасынын айланасында индукциялык электр талаасы пайда болот (9.2.1-чийме).

Максвеллдин экинчи теңдемеси, Остроградский-Гаустун магнит талаасы үчүн теоремасы эсептелет,

$$\oint_S B_n dS = 0 \quad (9.2.2)$$

б.а. туюнталган бет аркылуу өткөн магнит агышы нөлгө барабар. Бул теоремадан, магнит талаасынын күч сызыктары туюк болору келип чыгат (9.2.2-чийме).

Максвелл өзүнүн үчүнчү теңдемеси катары тожук токтун законун алган,

$$\oint_L H_c dl = 4\pi I = 4\pi \int_S j dS$$

Бул жерде $j = j_0 + j_x$ тожук токтун тыгыздыгы ошондуктан

$$\oint_L H_c dl = 4\pi \left[\int_S j_0 dS + \frac{d}{dt} \int_S D_n dS \right] \quad (9.2.3)$$

Бул теңдемөдөн, магнит талаасы өткөрүмдүүлүк токтуң j_0 айланасында гана пайда болбостон, жымышуу тогунун $j_m = dD/dt$ айланасында да пайда болору келип чыгат (9.2.3-чийме)

Ал эми төртүнчү теңдеме катары, Максвелл, Остроградский-Гауссстун электростатикалык талаа учун теоремасын пайдаланган,

$$\oint D_n dS = q = \int \rho dV \quad (9.2.4)$$

Мнда ρ -заряддин көлөмдүк тыгыздыгы, электростатикалык талаанын D булагы болуп электр заряды q өсөптөлөрүн, кала ал талаанын күч сызыктары оң заряддан башталып, терс заряддар да бүтөрүн, б.а. электростатикалык талаанын күч сызыктарынын багыты болуп, ачык өкөндүгүн көрсөтөт (9.2 4-чийме).

Электр жана магнит талааларына ар кандай чөдрөлөрдүн тийгизген таасирлерин буга чейин бизге белгилүү байланыштар, материалдык теңдемелер аркылуу берилет

$$\begin{aligned} D &= \epsilon \epsilon_0 \vec{E} \\ B &= \mu \mu_0 \vec{H} \\ \vec{J} &= \sigma \vec{E} \end{aligned} \quad (9.2.5)$$

(Омдун дифференциалдык закону)

Мнда ϵ -чөйрөнүн электр жана магнит өтүмдүүлүгү, σ -анын электр өткөрүмдүүлүгү

Максвеллдин бул теңдемелеринен электр жана магнит талааларынын ортосундагы тыгыз байланыштар, алардын электр зарядынын абалына кез каранды өкөндүгү келип чыгат.

Максвеллдин теориясынан келип чыккан негизги жыйынтыктар:

1. Мейкиндикте электромагниттик толкундар пайда болуп,

алар бош мейкиндикте жарыктын ылдамдыгы c менен таралат.

2. Жарык электромагниттик толкун жана ал көз көргөн жыштыктын диапазонунан туура келет.

3. Максвеллдин теориясы ар кандай электр жана магниттик, электромагниттик, кубулуштарды, ошондой эле электромагниттик термелүүлөрдү жан толкундарды, ошонун ичинде жарык толкундарын да түшүндүрө алат. Бул жагынан Максвеллдин теориясын Ньютондун классикалык механикадагы теориясы менен салыштырууга болот.

Ар кандай электромагниттик кубулуштардын арасында электромагниттик термелүүлөр жана толкундар орчундуу орунду ээлейт. Мында, электрдик жана магниттик чондуктар (заряддар, токтор, электр жана магнит талаалары) мезгилдүү өзгөрүшөт.

10.1. Термелүү чыңыры. Өзүндүк термелүү

Удалаш туташтырылган C конденсатордон, L индуктивдүүлүгү катушкадан жана R каршылыгынан түзүлгөн электр чыңыры термелүү контуру деп аталат (10.1.1-чийме). Мындай чыңырга адегенде электр энергиясын берүү керек. Андыктан, A_1 ачкычтын жардамы менен C конденсаторду ЭКК (\mathcal{E}) булагына туташтырабыз. Бул мезгилде A_2 ачкычы ачык турат. ЭКК булагы конденсаторду заряддайт жана, анда $q_0 = CU$ барабар заряддар топтолот. Мында, ток булагынын сырткы клеммаларынын ортосундагы чыңалуусу U га барабар. Биздин шартта конденсатордун жогорку канатында оң заряддар ($+q$), ал эми төмөнкү канатында терс заряддар ($-q$) топтолушкан. Бул заряддалган канаттардын ортосунда пайда болгон электр талаасынын чыңалышы E ге барабар болуп, ал эми энергиясы

$$Wq = \frac{q_0^2}{2C} \quad (10.1.1)$$

барабар болот.

C конденсатору заряддалгандан кийин аны C ток булагынан ажыратып (A_1 ачылат), термелүү контурун туткундасак (A_2 жабылат) индуктивдүүлүк аркылуу конденсатор разряддалат (заряддар ага баштайт). Индуктивдүүлүктүн таасири астында, контурда пайда болгон ток акырындап, өсүп, ток өтүп жаткан катушканы курчаган магнит талаасы пайда болот. Конденсатордогу заряддар азайган сайын, анын электр энергиясы азайып катушканын магнит талаасынын энергиясы көбөйөт. Контурдагы термелүү кубулушу түшүнүктүүрөөк болсун үчүн, адегенде андагы каршылыкты эске албайлы ($R=0$), б.а. контурдагы энергия жылуулукка айланып жок болбойт. Конденсатор толугу менен разряддалып бүткөндө (10.1.2-чийме), катушка аркылуу өткөн ток максималдуу болот жана чыңырыдагы индуктивдүүлүк токтун токтоп калышына тоскоолдук кылат. Ушунун негизинде конденсатордо алазарадоо башталат б.а. конденсатордун төмөнкү

канатына оң жогоркусуна терс заряддар топтоло баштайт (10.1.3-чийме). Мындай алазаряддоо бүткөндө чыныгыдагы ток токтолуп ($I=0$) бардык энергия кайрадан конденсаторго топтолот. Бул абалда чыныгы кепке тура албайт жана конденсатор катушка аркылуу кайрадан заряддала баштайт, оң заряддар төмөнкү канаттан жогорку канатты көздөй катушка аркылуу ага башташат. Мындай агуунун тез бүтүшүнө катушкада пайда болгон өзүндүк индукция кубулушу тоскоолдук кылат. Конденсатор толук разряддалып бүткөндөн кийин (10.1.4-чийме), Ошол эле индуктивдүүлүк конденсаторду алазаряддоого мажбур кылат, б.а. конденсатордун жогорку канатына оң заряддар топтолуп төмөнкү канатына терс заряддар топтоло баштайт. Конденсатордун толук алазаряддалып бүткөн учуру 10.1.5-чиймеде көрсөтүлгөн. Контурдун бул абалы анын баштапкы ($t=0$) абалына дал келет (10.1.1-чийме). Ошентип, бул контурда заряддар бир толук термелишип, мурдагы абалына келишти. Бир толук термелүүгө кеткен убакыт термелүүнүн мезгили ($t=T$) экендигин эсибизге салабыз. Термелүү контуру мындай абалда кепке тура албагандыктан, кайрадан заряддардын термелүү процесстери кайталанат. Биз каршылыкты эске алган жокбуз, ошондуктан, контурдагы мындай бир батталган термелүү чексиз эсе кайталанат.

Эми ушул контурдагы термелүүнүн жүрүшүнүн закон ченемдүүлүгүн аныктайлы. Ал үчүн биз жогоруда караган термелүү контуруна (10.1.1-чийме) Кирхгофун экинчи законун (Омдун толук чыныгы үчүн законун) жазайлы.

Биз адегенде калпы учурду, б.а. каршылыкты да эске алабыз.

$t=0$ учурунда конденсатор толук заряддалып турсун ($q=Q_0$)

A_1 ачыккыч кошкондо (A_2 -ачык) чыныгыда разряддоо тогу жүрө баштайт. Бул ток Кирхгофун экинчи законунан аныкталат, б.а.

$$IR + U_C = \mathcal{E}_0 \quad (10.1.2)$$

Мында IR -каршылыктагы чыңалыштын төмөндөшү, $U_C = q/C$ конденсатордун канаттарынын ортосундагы чыңалыш,

$$\mathcal{E}_0 = -L \frac{dI}{dt} \quad (10.1.3)$$

индуктивдүүлүктө пайда болгон өзүнгө индукциянын ЭКВ.

Бул чыныгы аркылуу аккан электр тогу

$$I = \frac{dq}{dt} \quad (10.1.4)$$

болгондуктан, токту өзгөртүшү заряддар аркылуу төмөндөгүдөй тундурулат

$$\frac{dI}{dt} = \frac{d^2q}{dt^2} \quad (10.1.5)$$

Олентип, Кирхгофтуң экинчи законун (10.1.2), заряддар аркылуу төмөндөгүдөй жазууга болот

$$L \frac{d^2q}{dt^2} + R \frac{dq}{dt} + \frac{q}{C} = 0$$

же болбосо индуктивдүүлүккө (L) бөлүп,

$$\frac{d^2q}{dt^2} + \frac{R}{L} \frac{dq}{dt} + \frac{q}{C} = 0 \quad (10.1.6)$$

туунтманы алабыз, жана термелүү контурунун дифференциалдык теңдемеси болуп эсептелет.

Мындан ары төмөнкүдөй белгилеп алууну жүргүзөлү

$$\sqrt{\frac{L}{C}} = \omega_0 \quad (10.1.7)$$

контурдун өзүндүк жыштыгы,

$$\tau = \frac{1}{R} \quad (10.1.8)$$

контурдун өзүндүк убактысын.

1. Биз адегенде LC контурдагы эркин термелүүлөрдү карайлы.

Ал үчүн $R=0$ каршылыкты эске албайбыз. Мындай контур эркин термелүүлөрдүн же LC контуру деп аталат.

Мындай шартта ($R=0$) 10.1.6.-теңдеме төмөндөгүдөй жазылат

$$\frac{d^2q}{dt^2} + \omega_0^2 q = 0 \quad (10.1.9)$$

Бул теңдемени механикадагы гармоникалык термелүүлөрдүн теңдемеси менен салыштырып көрөлү

$$\frac{d^2x}{dt^2} + \omega_0^2 x = 0 \quad (10.1.10)$$

Мында $\omega_0 = \sqrt{k/m}$, k -серпилгичтиктин коэффициенти, m -термелүүчү нерсенин массасы ω_0 -термелүүнүн өзүндүк жыштыгы экендигин эске салалы. Бул теңдемеден, биз караган m массасы гармоникалык закон

$$x = x_0 \cos(\omega_0 t + \varphi_0) \quad (10.1.11)$$

боюнча термелерин алганбыз.

10.1.9 жана 10.1.10-теңдемелерди салыштырып, биз карап жат-

кан LC контурундагы заряддар

$$q = q_0 \cos(\omega_0 t + \varphi_0) \quad (10.1.12)$$

өзгөрөрүн оңой эле табабыз.

Мында q_0 - конденсатордогу баштапкы заряд, термелген заряддардын амплитудасынатуура келет, φ_0 эркин термелүүнүн жыштыгы жана баштапкы фазасы. Ошентип, контурундагы заряд гармоникалык закон боюнча термелерин (өзгөрөрүн) көрдүк. Эркин термелүүнүн жыштыгы ω_0 10.1.7 - теңдемеден аныкталат.

Мындай термелүүнүн мезгили

$$T = \frac{2\pi}{\omega_0} = 2\pi \sqrt{LC} \quad (10.1.13)$$

экендиги, мектептин физикасынан Томсондун формуласы деген ат менен белгилүү.

LC - контурундагы заряддардын өзгөрүү закону график түрүндө 10.1.6 - чиймеде берилген. Бул графикте баштапкы фаза $\varphi_0 = 0$ нөлгө барабар деп алынган, б.а. термелүүнү эсептөө конденсатордогу заряд максималдуу болгондон башталат ($t=0; q=q_0$). Ушул 10.1.1 - чиймеден жана 10.1.12 - теңдемеден, убакыттын кайсыл учурларында конденсатор толук заряддалгандыгын ($q=q_0$) же алаэзаряддалгандыгын ($q=-q_0$) индуктивдүүлүк аркылуу өткөн ток жок экендигин ($I=0$) же максималдуу ($I=I_0$) оңой эле табууга болот.

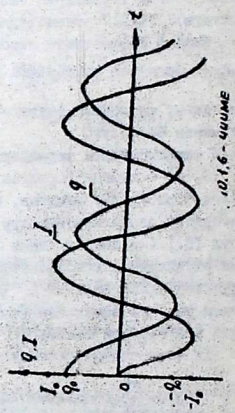
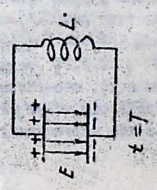
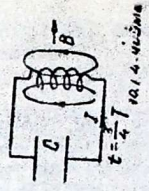
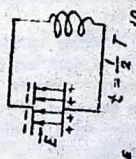
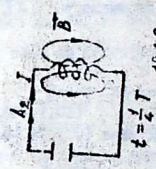
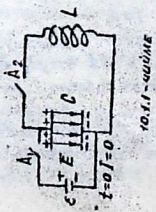
Ал үчүн токтум өзгөрүү закону ченемдүүлүгүн да таап алабыз

$$I = \frac{dq}{dt} = -\omega_0 q_0 \sin(\omega_0 t + \varphi_0) = I_0 \cos(\omega_0 t + \varphi_0 - \frac{\pi}{2}) \quad (10.1.14)$$

Мында $I_0 = q_0 \omega_0$ - токтум амплитудасы 10.1.12 жана 10.1.14 - теңдемелерди салыштырып, термелүү контурунда заряд (q) жана ток (I) карама каршы фазада өзгөрөрүн оңой эле көрүүгө болот. Чындыгында эле $\varphi_0 = 0$ болгондо бул теңдемелерден

1. $t=0$. $\cos \omega_0 t = 1$. $q = q_0$. $\sin(\omega_0 t) = 0$. $I = 0$

2. Заряд кайсыл учурда нөлгө барабар ($q=0$) экендигин табайлы. Ал үчүн $\cos(\omega_0 t) = 0$ Мындан $\omega_0 t = \pi/2$ болушу керек же $t = \pi/2\omega_0 = (\pi/4\pi)T = (1/4)T$ экендигин табабыз. Ушул учурда $t = \frac{1}{4}T$, 10.1.14 - теңдемеден $I = -I_0$ экендигин табабыз. Ошентип, термелүүнүн төртөн бир $T/4$ мезгилиндеги учурда конденсатор толук разряддалат $q=0$ жана катушка аркылуу өткөн ток максималдуу ($I = -I_0$) болот (10.1.2-чий-



ме). 3). Конденсатордун токун алгааряддалган учурун табайлы. б.а. $q = -q_0$. Ал үчүн 10.1.12-тендемеде $\cos(\omega_0 t) = -1$ болушу керек. Мындан $\omega_0 t = \pi$ экендигин жана $t = \pi/\omega_0 = T/2$ экендигин оңой эле табабыз. Ал эми ушул эле учурда $t = T/4$ чыгырдагы ток $I = 0$, токтолорун (10.1.14-тендемеден оңой эле табабыз (10.1.3-чийме). Ушундай эле жол менен убакыттын $t = 3T/4$ учурунда конденсатордогу заряддын $q = 0$ нөл экендигин, ал эми чыгырдагы токту максималдуу экендигин ($I = I_0$) (10.1.4-чийме) ал эми убакыттын термелүүнүн мезгилине туура келген учурунда $t = T$ термелүү контуру баштыгы абалга кайра келерин ($q = q_0$, $I = 0$) оңой эле табабыз. Термелүү контурундагы заряддын жана токту убакытка байланыштуу өзгөрүшү жана биз жогоруда караган учурдагы абалдары (10.1.6-графикте көрсөтүлгөн, жана токту өзгөрүшү зарядыкынан фазасы боюнча $\pi/2$ арта жүрөт экен.

Контурдагы термелүү процессинде электр энергиясы, магнит талаасынын энергиясына, жана тескерисинче болорун көрдүк. Бул энергиялардын өзгөрүүсүнүн жана сакталуусунун закон ченемдүүлүгүнө көңүл буралы. Электр жана магнит талааларынын энергиясынын суммасы

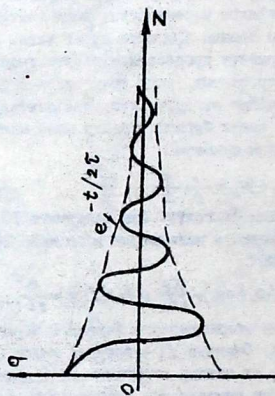
$$W = W_E + W_H = \frac{C}{2} \frac{q^2}{2} + L \frac{I^2}{2} \quad (10.1.15)$$

экендиги бизге мурдатан белгилүү. Бул тендемеге 10.1.12 жана 10.1.14-тендемелердеги маанилерин коюп жана 10.1.7-барабардыкты эске алып

$$W = \frac{q_0^2}{2C} \cos^2(\omega_0 t + \varphi_0) + \frac{q_0^2}{2CL} \sin^2(\omega_0 t + \varphi_0) = \frac{q_0^2}{2C} \quad (10.1.16)$$

экендигин б.а. баштагы конденсаторго берилген берилген энергия сакталарын алабыз. Ошентип LC-контурда жалпы энергиянын суммасы өзгөрбөй, ал электр энергиясынан (конденсатордон), магнит талаасынын энергиясына (катушканын айланасына), өзгөрүшү жана тескерисинче магнит талаасынын энергиясы электр талаасыныкына өтөт экен. Энергиянын мындай өзгөрүү закону да гармоникалык бойдон калат. Убакыттын кайсыл учурларында энергиянын кайсыл түрү кандай мааниге ээ болорун 10.1.6-графикти карап, оңой эле аныктоого болот.

2) Басандорчу термелүүлөр. Эгерде термелүүчү контурда каршылык болсо, анда контурдагы энергия бара-бара Джоуцдун



10.1.7-100000

жылуулук энергиясына айланп, айлана чейреге тарап жок болот. Ар кандай өткөргүчтөн каршылыкка ээ болгондуктан,

контурга каршылыкты атайлап кошбосок да, катушка кандайдыр бир каршылыкка ээ болот. Ошондуктан, ар кандай термелүү контурунда каршылык болот жана ошонун негизинде контурда башталган термелүү бара бара басаңдап, акырында өчөт. Мындай термелүүнүн басаңдашын 10.1.6-теңдемеден көрсөтүүгө болот.

$$\frac{d^2q}{dt^2} + \frac{1}{\tau} \frac{dq}{dt} + \omega_0^2 q = 0 \quad (10.1.17)$$

Бул реалдуу $R \neq 0$ термелүү контурунун теңдемеси.

Мындан

$$q = q_0 e^{-t/2\tau} \cos(\omega t + \varphi_0) \quad (10.1.18)$$

Заряддын термелүү амплитудасы

$$A = q_0 e^{-t/2\tau} \quad (10.1.19)$$

Убакыт өскөн сайын экспонент бөрүнчө темендешү көрүнүп турат. Бул амплитуданын канчалык тез өчүшү контурдун турактуу убактысы $Z = L/R$ же болбосо каршылыкка жараша болору көрүнүп турат (10.1.7-чийме). Мындай басаңдоочу термелүүнүн жыштыгы

$$\omega = \sqrt{\frac{1}{LC} - \frac{R^2}{4Z^2}} \quad (10.1.20)$$

да каршылыкка жараша болот.

Мындай басаңдоочу термелүүлөргө механикада термелүүлөрдү караганда кеңири токтолгонбуз.

10.2. Электромагниттик толкундардын мурланышы жана таралышы. Герцтин тажрыйбалары

Биз мурдагы параграфта, ар кандай термелүүчү контурдун каршылыгы болгондуктан, андагы пайда болгон термелүү бара бара басаңдап өчөрүн көргөнбүз. Ошондуктан, контурдагы термелүүлөр дайыма болсун үчүн ага сырттан мезгили менен энергия берип тууру талап кылынат. Мындай термелүүлөрдү аргасыздан термелүү деп атап, механикада кеңири караганбыз. Азыр биз контурдагы аргасыздан болгон термелүүнүн теңдемесин жазуу менен гана чектелели. Мында биз 10.1.17 теңдемени пайдаланамыз

$$\frac{d^2q}{dt^2} + \frac{1}{\tau} \frac{dq}{dt} + \omega_0^2 q = \epsilon_0 \cos(\omega t) \quad (10.2.1)$$

Мында ϵ_0, ω сырттан берилүүчү энергиянын амплитудасы жана

жыштыгы. Башка белгилерди биз жогоруда караганбыз.

Термелүү контурундагы аргасыздан болгон термелүүнү, биринчилерден болуп Г.Герц өзүнүн тажрыйбаларында иш жүзүнө ашырган (1886 ж).

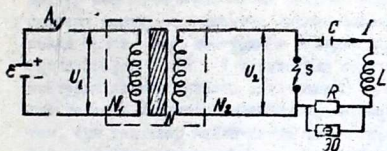
Ал конденсатордон (С), индуктивдүүлүктөн (L) жана каршылык-тан (R) турган термелүү контуруна (U) индуктор аркылуу белгилүү жыштыгы менен энергия берип турган (10.2.1-чийме). Бул индуктор бир өзөккө оролгон, оромдору N_1 жана N_2 болгон эки катушкадан турат. Экинчи катушканын оромдорунун саны N_2 биринчисиникинен N_1 өтө көп болгондуктан ($N_2 \gg N_1$), бул индуктор жогорулатуучу трансформатор болуп кызмат кылат. Трансформатордун киришине, чыңалуусу $U_1 = 10$ Вольт болгон өзгөрмөлүү ток булагын туташтырсак, анын чыгышында (экинчи оромдо) он миңдеген Вольт чыңалуу ($U_2 \approx 10^4$ В) индукцияланат. Трансформатордун чыгыш оромдорунун учтары термелүү контуруна туташтырылган. Контурду баштапкы абалында S абалык аралыгы ачык болгондуктан, термелүү жүрбөйт. Герц, M индукторунун киришине турактуу ток булагын туташтырып, A, кошуп-үзгүчүнүн жардамы менен экинчи оромдордо жогорку чыңалышты ($U_2 = 10^5$ В) индукциялоого жетишкен. Кошуп-үзгүч электромагниттин жардамы менен $f = 10^3 - 10^4$ жыштыкта иштейт.

Эми термелүү контурунун иштөө негиздерине көңүл буралы. Кошуп үзгүч кандайдыр бир ат убактысында C ток булагын индукторго кошуп турсун (10.2.2^a-чийме)

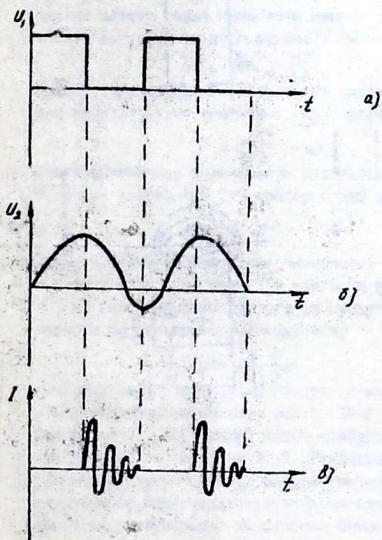
Анда индуктордун чыгышында индукциянын ЭНЖ пайда болуп, C конденсатору U_2 чыңалышына ылайык заряддалып, чыңалыш аралыкта разряд пайда болгон маанисине жеткенде ($U_2 = U_p$) аралыкта разряд жүрүп, термелүү контуру тубукталып, термелүү жүрөт. Термелүү жыштыгы $\nu = 1/T = 1/2\pi\sqrt{LC}$ (кошуп-үзгүчтүн жыштыгынан өтө чоң кылып тандалгандыктан ($\nu \gg f$)), кошуп-үзгүч кайра кошулганга чейин контурунда бир топ термелүү болуп, акырында басаңдап өчөт. Кошуп-үзгүч экинчи жана андан кийин кошулганда бул процесс кайра кайталанылат.

Кошуп-үзгүчтүн кошулуу жана үзүлүү убактысы, индуктордун чыгышындагы максималдуу чыңалуусу жана S аралыгы, A, кошуп-үзгүчтүн кошулуу убактысынын аягында разряд жүргөндөй кылып тандалат.

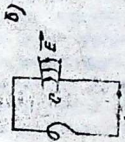
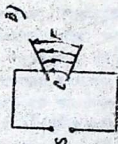
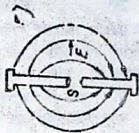
Ошентип, Герцтин тажрыйбасында термелүү контурунда ин-



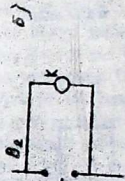
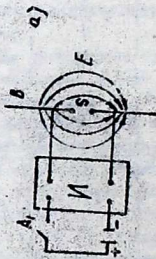
Ю.2.1-ЧУУМЕ



Ю.2.2-ЧУУМЕ



10.2.3 - YUUME



10.2.4 - YUUME

дуктор мезгил-мезгили менен энергия берип турат жана термелүүчү контурунда топ-топ болгон басаңдоочу термелүүлөр пайда болот. Аны, контурдагы R каршылыгындагы чыңалыптын опилдография (ЭО) туташтырып көрө алабыз. Биз караган контурда электр талаасы конденсатордун ичинде, ал эми магнит талаасы катушкага илвөтүп айланасында пайда болгондуктан, бул талаалар мейкиндикке чыгып таралышбайт. Демек, мындай контурлар электромагниттик талаа үчүн жабык болушат экен. Электромагниттик толкундар мейкиндикке таралышы үчүн ачык контур жасоо керек. Электромагниттик термелүүнүн энергиясы электр жана магнит талааларынын чыңалышынын квадратна түз пропорциялаш экендиги белгилүү, б.а. $W \sim E^2 H^2$ ал эми индукциялык электр талаасынын жана магнит талаасынын чыңалыштары токтын өзгөрүшүнүн ылдамдыгына (dI/dt) түз пропорциялаш,

$$H \sim E \sim L \frac{dI}{dt}$$

Электр тогу заряддын өзгөрүшүнүн ылдамдыгына же болбосо заряддын термелүүсүнүн жыштыгына түз пропорциялаш болгондуктан,

$$I = \frac{dq}{dt} \sim \omega$$

Электромагниттик термелүүнүн энергиясы термелүү жыштыгынын төртүнчү даражасына түз пропорциялаш экендигин алабыз

$$W \sim \omega^4$$

(10.2.2)

Демек, мейкиндиктеги электромагниттик термелүүнүн энергиясын көбөйтүү үчүн анын термелүү жыштыгын көбөйтүү зарыл экен.

Ал эми термелүү жыштыгы контурдун параметрлери L жана C тескери пропорциялаш болгондуктан,

$$\omega \sim \frac{1}{\sqrt{LC}}$$

(10.2.3)

жыштыкты көбөйтүү үчүн контурдун L индуктивдүүлүгүн жана

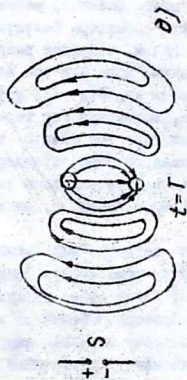
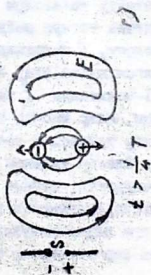
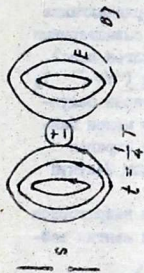
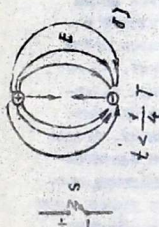
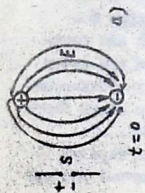
C сыймдуулугун азайтуу зарыл (10.2.3-чиймеде ванттип жабык контурдан (10.2.3^a чийме) ачык контурду (10.2.3^r-чийме) өлүүнүн схемасы көрсөтүлгөн 10.2.3^a чиймеде L индуктивдүүлүгүн жана

C сыймдуулугу болгон конденсатордон турган жабык контур көрсөтүлгөн. Индуктивдүүлүгүн оромолорунун саны N , конденсатордун канаттарынын ар биринин аянты S_{ra} барабар. Мында S разряд аралыгы. Индуктивдүүлүктү азайтыш үчүн N оромолордун ордуна бир ором калтырабыз ($N=1$), ал эми конденсатордун

сиймдуулугун азайтып үчүн ($C \sim \epsilon \epsilon_0 S/d$) эки жаяпак беттин ордуна эки кесим өткөргүчтү алып, аларды керип коебуз (10.2.3^б-чийме). Термелүү жыштыгы дагы чоңойтуу үчүн, индуктивдүүлүктөгү бир оромдун ордуна, өткөргүчтүн бир кесигин алабыз, ал эми конденсатор болуп кызмат кылган эки кесинди өткөргүчтү дагы чоңураак аралыкка киребиз (10.2.3^в-чийме). Анда, электр талаасы мейкиндикке көбүрөөк чыкканын көрөбүз. Ал эми электр талаасы мейкиндикке дагы көбүрөөк чыксын үчүн термелүү контурун 5 разрядык аралыгында бир окто жайланышкан эки кесим өткөргүч түрүндө алабыз (10.2.3^г-чиймеси). Мында электр талаасы ачык мейкиндикке чыгат. Мындай контурду Герц колдонгон хана Герцин вибратору деп аталат.

Герц мындай вибраторду индукторго туташтырып (10.2.4^а-чийме) электромагниттик термелүүнү нурланткан. Бул электромагниттик термелүүнү кабыл алып үчүн резонанс кубулушун пайдаланган хана кабыл алуучу контур катары нурлантуучу B_1 вибратордой эле экинчи B_2 вибраторун алган. Анын жыштыгы ν_2 нурлантуучу вибратордун ν_1 жыштыгына дал келгенде ($\nu_1 = \nu_2$) кабыл алуучу контурга туташтырылган электр K контуруосу иштеген (10.2.4^б-чийме) Олентип, биз Г.Герцин жасаган биринчи радио (передатчик) бергичин хана радиосалгычы (приемник) карадык.

Эми Герцин вибраторунан электромагниттик толкундун нурлануу процесстерине көңүл буралы (10.2.5-чийме). Баштапкы учурда $t=0$ контур толук заряддалган ($q=q_0$). Оң хана терс заряддардын ортосунда (S аралыгында) электр талаасы E_0 пайда болот. Андан ары $t>0$ болгондо, S аралыгында разряд жүрүп, термелүү башталат (конденсатор разряддала баштайт), оң хана терс заряддар бири бирин көздөй умтулуп жышшат. Бул заряддар электр талаасы менен байланышта болгондуктан, аларды электр талаасынын күч сызыктары өзчигендиктен, күч сызыктардын алгачкы калыбы бузулат ($0 < t < \frac{1}{4} T$) Конденсатор толук разряддалып бүткөндө ($t = 1/4 T$) терс хана оң заряддар бири бирин толук кошкандыктан, күч сызыктардын аягы баш менен кошулуп турук күч сызыктарга айланышат. Убакыттын $t = \frac{1}{4} T$ учурунан конденсатордо алазаряддоо башталат, б.а. кайрадан оң хана терс заряддар бөлүнө баштайт, оң заряд төмөнкү терс заряд жогору көздөй жыла

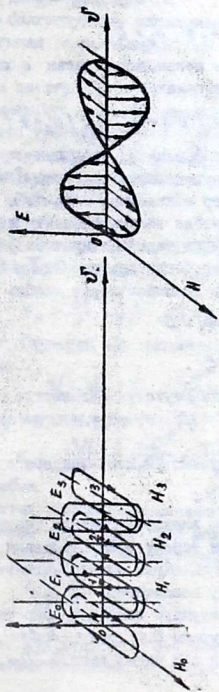


баштайт. Заряддар бөлүнгөндүктөн алардын ортосунда жарыдан электр талаасы пайда болуп, мурдагы турук күч сызыктарды сүрүп чыгат. Ошентип, мейкиндикке эки топ электр талаасынын күч сызыктары бөлүнүп чыгышат. Контур толук алазаряддалган кийин, кайрадан разряддалат. Ал толук разряддалганда мейкиндикке дагы эки топ электр талаасынын күч сызыктарынын бөлүнгөнүн көрөбүз (бул учурлар чиймеде көрсөтүлгөн эмес). Ошентип, контурдун бир термелген учурун карасак ($t = T$), анда биз төрт топ электр талаасынын күч сызыктарын бөлүнгөнүн жана оң, терс заряддардын ортосундагы алар менен байланышкан электр талаасын көрөбүз. Андан ары биз караган процесстер кайталанып, электр талаасы вибратордон бөлүнүп турат.

Биз жогоруда индукциялык электр талаасынын вибратордон бөлүнгөнүн гана көрдүк. Электро магниттик толкун кантип пайда болот деген суроо туулду мүмкүн.

Вибратордон бөлүнгөн индукциялык E электр талаасы, өзүн коддоочу заряддан ажырагандыктан убакыт өткөн сайын азая баштайт (10.2.В чийме). Мындай өзгөрмөлүү электр талаасынын айланасында өзгөрмөлүү H . Магнит талаасы пайда болору Максвеллдин үчүнчү теңдемесинен келип чыгат. Ал эми Максвеллдин биринчи теңдемесинен өзгөрмөлүү магнит талаасынын айланасында электр E_1 талаасы пайда болорун билебиз жана мындан ары мындай процесс улана берет. Ошентип, эгерде мейкиндиктин кандайдыр бир чекитинде вибратордон бөлүнгөн электр же магнит талаасы пайда болсо, анын айланасында магнит же электр талаалары пайда болуп, бул процесс уланып электромагниттик толкун пайда болот. 10.2.В-чиймеге тереңиррек көңүл бөлсөк, D чекитинде E_1 жана E_2 векторлору карама каршы багытталгандыктан, алар бири бирин жоюшуп 1-чекитке жылат. Ал эми 1-чекитинде E_1 жана E_2 векторлору карама каршы болгондуктан, алар жоюшуп талаа 2-чекитке көчөт. Ушул эле сыяктуу электр талаасы 2-чекиттен үчүнчүгө ж.б. андан ары көчүп олтурат. Электр талаасы менен магнит талаасы тыгыз байланышта болгондуктан, магнит талаасы да электр талаасы менен бирге жылып электромагниттик толкунду пайда кылат.

Өз ара перпендикуляр тегиздикте бирдей фазада тарауу багытына перпендикуляр термелишкен электр жана магнит вектору



10.2.6 - үлүмө

10.2.7 - үлүмө

лор электромагниттик толкунду түзүшөт (10.2.7-чийме).

Биз буга чейин электромагниттик толкунду пайда болушун жана таралышын карадык. Эми бул толкун кандай ылдамдык менен таралышына токтололу.

Электромагниттик индукция кубулушун табиягатын караганда \vec{J} ылдамдыгы менен жылуучу \vec{B} магнит талаасы байкоо чекитине салыштырмалуу \vec{E}^* индукциялык электр талаасын түзөрүн көргөнбүз

$$\vec{E}^* = -k' [\vec{v}_B \times \vec{B}] \quad (10.2.4)$$

Ошондой эле \vec{J} ылдамдыгы менен кыймылдаган e заряды r аралыгында түзгөн магнит талаа

$$\vec{H} = k'e [\vec{v} \times \frac{\vec{r}}{r^3}] = k' [\vec{v} \times \vec{E}] \quad (10.2.5)$$

барабар болот. Мында биз $\frac{e}{r^2}$ чекитүү заряддын r аралыкта түзгөн электр талаасынын тыңалышы $E = e/r^2$ жана $\vec{v} = \vec{v}_E$ заряд менен бирге жылган электр талаасынын ылдамдыгы экендигин өскө алдык. Электромагниттик толкунда электр жана магнит талаалары мейкиндикте бирге таралышкандыктан $\vec{v}_E = \vec{v}_B = \vec{v}$ жана алар өз ара перпендикуляр болгондуктан $\vec{E} \perp \vec{B} \perp \vec{v}$ 10.2.4 тана 4.2.5-формулалардан төмөндөгүлөрдү алабыз

$$E^* = E = k' v B \quad (10.2.6a)$$

$$H = k' v E \quad (10.2.7)$$

Максвелл бел теңдемелерди Гауссстун абсолюттук системасында вакуум үчүн караган: $k' = 1/c$; $k = 1$; $\mu_0 = 1$; $\mu = 1$; $\epsilon = 1$; $c = 3 \cdot 10^{10}$ м/с

Анда $B = H$ (10.2.7) формуланы 10.2.6 -теңдемеге кош

$$\vec{v} = c \quad (10.2.8)$$

алабыз. Башкача айтканда, электромагниттик толкун вакуумда жарыктын ылдамдыгы менен тарайт экен. Максвелл мындан башка дагы бир ачылыш жасаган-жарык электромагниттик толкундун көз көргөн диапозону эсептелет.

Эми электромагниттик толкундун кандайдыр бир чөйрөдө таралуу ылдамдыгына көңүл буралы б.а. $\mu \neq 1$; $\epsilon \neq 1$
Ал үчүн 4.2.7 -теңдемени сол жагын дагы $\vec{E}_{\text{ин}} \vec{D}_{\text{га}}$ алмаштырабыз.

анда

$$E = \kappa' \mathcal{V} B = \frac{\mu}{\epsilon} \mathcal{V} B \quad (10.2.9)$$

$$H = \kappa' \mathcal{V} D = \frac{\epsilon}{\mu} \mathcal{V} E \quad (10.2.10)$$

Бул эки теңдемеден

$$\mathcal{V} = \frac{c}{\sqrt{\mu \epsilon}} = \frac{c}{n} \quad (10.2.11)$$

экендигин алабыз. Мында $n = \sqrt{\mu \epsilon}$ чейренүн сынуу көрсөткүчү деп аталат. Диэлектриктерде $\epsilon > 1$, пара жана ферромагнитиктерде $\mu > 1$ болгондуктан, электромагниттик толкун жарыктын ылдамдыгынан n эсе акырын тарайт. Ал эми диамагнитиктерде $\epsilon = 1$, $\mu < 1$, $n < 1$

болгондуктан электромагниттик толкун жарыктын вакуумдагы c ылдамдыгынан чоң ылдамдык менен тарайт экен.

Ылдамдыкты тунтуучу (10.2.11)-формула 10.2.9 же 10.2.10-формулага кошп электр жана магнит талааларынын чейренүн мүнөздөмөлөрү ϵ жана μ аркылуу байланышын алабыз,

$$\begin{aligned} \sqrt{\epsilon} E &= \sqrt{\mu} H \\ \epsilon E^2 &= \mu H^2 \end{aligned} \quad (10.2.12)$$

4.2.12-формула электромагниттик энергияны электр же магнит талаасынын тыңалыштары аркылуу тунтууга мүмкүндүк берет. Чыңдыгында

$$W_H = \frac{\kappa'}{\kappa} \frac{\mu M_0}{8\pi} H^2, \quad W_E = \frac{\kappa'}{\kappa} \frac{\epsilon \epsilon_0}{8\pi} E^2$$

болгондуктан, Гаусстун системасында электромагниттик толкундун энергиясы

$$W = W_H + W_E = \frac{\epsilon E^2}{8\pi} + \frac{\mu H^2}{8\pi}$$

жана 4.2.10-формула ыске алып,

$$W = \frac{\mu H^2}{8\pi} + \frac{\epsilon E^2}{8\pi} = \frac{\mu H^2}{4\pi} = \frac{\epsilon E^2}{4\pi} \quad (10.2.13)$$

экендигин алабыз

Электромагниттик толкун $\mathcal{V} = \frac{c}{\sqrt{\mu \epsilon}}$ ылдамдыгы менен тыгыздыгы W болгон энергияны алып жүрөт. Бул эки чоңдуктун көбөйтүндүсү $\vec{S} = W \vec{\mathcal{V}}$ Умов Поинтингдин вектору деп аталат, же болбосо ал вектор

$$\vec{S} = \frac{c}{4\pi} [\vec{E} \times \vec{H}] \quad (10.2.14)$$

барабар болот. Бул вектордун сан мааниси бирдик убакыттын ичинде энергиянын багытына перпендикуляр турган бирдик

тегиздик аркылуу өткөн энергиянын агышына барабар болот.

10.3. Электромагниттик толкундун басымы

Электромагниттик толкун өзүнүн жолундагы тоскоолдуктарга басымы жасайт. Бул басымдын себеби эмнеде?

Электромагниттик толкун жалпак тегиздикке перпендикуляр түшсүн дейли (10.3.1-чийме). Бул толкундун электр талаасы нерсенин бетинде токтоу пайда кылат ($\vec{j} = \sigma \vec{E}$), бул ток толкундун магнит талаасына перпендикуляр болгондуктан, ампердин законун негизинде, нерсеге толкундун багыты боюнча F күчү таасир өтөт. Бирдик аянтка таасир өткөн күч басымга барабар ($p = F/S$) экендигин өскө салалы. Электромагниттик толкундун басымынын анын орточо энергиясынын тыгыздыгы менен байланышын Максвелл тапкан

$$p = (1+k)W \quad (10.3.1)$$

Ында k - нерсенин толкунду чагылдыруу коэффициентини эгерде нерсе толкунду толук чагылдырса $k = 1$

$$p = 2\bar{W} \quad (10.3.2)$$

Ал эми түшкөн толкунду нерсе толук жутса ($k = 0$), анда толкундун басымы эки эсе аз болот, б.а.

$$p = \bar{W} \quad (10.3.3)$$

Эрнст толкунунун заттарга болгон басымын тажрыйба жүзүндө орус окумуштуусу И.И.Лебедев ишке ашырган.

10.4. Электромагниттик толкундун шкаласы

Термелүү контурунда ошондой эле Герцтин вибраторунда заряддардын термелиши электрмагниттик толкунду пайда кыларын көрдүк. Чыныгында контурдагы заряд $q = q_0 \cos \omega t$

эл эми ток $[i = \omega q_0 \sin \omega t \sim v]$

өзгөрсө, $I \sim \omega e l$ экендигин эске алсак, $I \sim \omega \sim v$ контурдагы ток заряддын ылдамдыгына түз пропорциялаш. Ал эми контурдагы пайда болгон электр жана магнит талаасы токту өзгөрүшүнүн ылдамдыгына (dl/dt) пропорциялаш экендигин мурда караганбыз

$$E \sim H \sim l \frac{dl}{dt} \sim \frac{dV}{dt} = a \sim \omega e \quad (10.4.1)$$

Бул туунтмадан, электрмагниттик толкунду ылдамдатылган кыймылдагы заряддар нурлантат жана анын жыштыгы заряддын ылдамдануусуна жараша болору ($\omega \sim a$) келип чыгат. Бул жыйынтык Максвеллдин теориясынан келип чыккан негизги тыянактын бири болуп эсептелет.

Электрмагниттик термелүүлөр жана толкундардын жыштыгы өтө кеңири диапазондо, нөлдөн өтө чоң жыштыктары 10^{-20} Гц ке чейин өзгөрүшөт. Бул толкундардын нурлантуучу булактарына жана касиеттерин жараша диапазондорго бөлүнүшөт (төмөнкү таблицаны кара, $v = c/\lambda$ болгон байланышты эске ал).

Таблица 10.4.1

толкундун аты	толкундун узундугу (м)	толкундун жыштыгы (Гц)	Толкундун булагы
Төмөнкү жыштагы толкундар	$\lambda > 10^4$	$\nu < 3 \cdot 10^4$	өзгөрмөлүү токтуу Генераторлору
Радиотолкундары	$10^4 - 0,1$	$3 \cdot 10^4 - 3 \cdot 10^{10}$	Термелүү контурлары, Герцтин вибратору
Ультрарадио толкундары	$0,1 - 10^{-4}$	$3 \cdot 10^{10} - 3 \cdot 10^{12}$	Магнетрон, клистрон ж.б.
Инфракызыл нурлар	$10^{-4} - 7,7 \cdot 10^{-7}$	$3 \cdot 10^{12} - 4 \cdot 10^{14}$	Иссылган заттар (шамдар) дүүлүккөн атомдор, молекулалар
Кызыл нурлары	$7,7 \cdot 10^{-7} - 4 \cdot 10^{-7}$	$4 \cdot 10^{14} - 7,5 \cdot 10^{14}$	
Ультрафиолет нурлары	$4 \cdot 10^{-7} - 4 \cdot 10^{-8}$	$7,5 \cdot 10^{14} - 3 \cdot 10^{16}$	"
рентген нурлары	$10^{-8} - 10^{-11}$	$3 \cdot 10^{16} - 3 \cdot 10^{19}$	рентген трубкалары
Гамма нурлары	$< 10^{-11}$	$\nu > 3 \cdot 10^{19}$	радиоактивдүү заттар (атомдордун ядролору)

Глава II. ЗАТТАРДЫҢ МАГНИТ ТАЛААСЫ

II.1. Магниттеліс вектору \vec{P}_m жана анын \vec{H} жана \vec{B} векторлору менен байланышы

Вакуумда жана түрдүү чөйрөлөрдө токтуу өткөргүчтүн түзгөн магнит талаасы ар кандай маанилерге ээ болуп, тиешелүү \vec{H} жана \vec{B} чоңдуктары менен мүнөздөлөрүн мурда караганбыз (§ 7.1). Башкача айтканда, токтуу өткөргүчтүн магнит талаасы чөйрөнү магниттеп, кошумча магнит талаасы пайда кылат. Эгерде биз токтун вакуумдагы магнит талаасын \vec{H} вектору менен мүнөздөсөк, ал эми магниттелген чөйрөнүн түзгөн магнит талаасын \vec{H}' вектору менен белгилесек, анда жалпы магнит талаасы \vec{B} бул эки вектордун суммасына барабар болот.

$$\vec{B} = \mu_0 (\vec{H} + \vec{H}') \quad (\text{II.1.1})$$

\vec{H}' кантип пайда болоруна кеңүл буралы. Ар кандай заттар атомдордон турарын жана атом ядродонун анын айланасында айланган электрондордон турган система экендигин эске салалы (II.1.1-чийме) ядронун айланасында электрондор өтө жогорку жыштыкта (секундасына 10^5) айланышкандыктан, бул электрондун m массасын жана e зарядын орбита боюнча бир калыпта жайгарышылган плаке катары б.а. тегерек ток катары кароого болот. Тегерек токту магнит талаасын магнит ийини вектору \vec{P}_m менен мүнөздөтөбүз (§ 7.4) (II.1.2-чийме).

$$\vec{P}_m = \kappa' I S \vec{n} \quad (\text{II.1.2})$$

Бул тегерек токту огундагы магнит талаасы ушул магнит ийиниче түз пропорциялаш экендигин ($\vec{H} \sim \vec{P}_m$) көргөнбүз.

Атомдогу айланган электрон m массасына жана e зарядына ээ болгондуктан, анын орбита боюнча кыймылы орбиталык механикалык \vec{L}_0 жана магниттик \vec{P}_0 ийилдер менен мүнөздөйлөбүз.

Орбиталык механикалык ийин

$$\vec{L}_0 = m \vec{v} r \quad (\text{II.1.3})$$

электрондун $m \vec{v}$ импульсунун орбитанын r радиусуна көбөйткөнгө барабар. Ал эми орбиталык магнит ийини

$$\vec{P}_0 = \kappa' I_0 S \vec{n} \quad (\text{II.1.4})$$

Электрондун e заряддын кыймылы түзгөн $I_0 = e/T$ токтун орбита чектеген $S = \pi r^2$ аянтка барабар (\vec{n} бирдик нормаль T -электрондун айлануу мезгили),

$$I_0 = \frac{e}{T} = \frac{e v}{2\pi r} \quad \text{болгондуктан,}$$

$$\vec{\rho}_0 = \kappa' \frac{e v r}{2} \vec{n} \quad (\text{II.1.5})$$

векторунун \vec{L}_0 векторуна болгон катышы турактуу чоңдук экендигин көрөбүз

$$\frac{\rho_0}{L_0} = \kappa' \frac{e}{2m} = \gamma \quad (\text{II.1.6})$$

Бул катыш гирромагниттик чоңдук деп аталат жана мындан

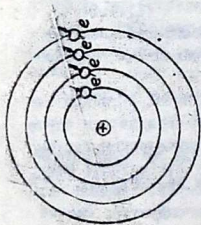
$$\vec{\rho}_0 = \kappa' \frac{e}{2m} \vec{L}_0 \quad (\text{II.1.7})$$

атомдун орбиталдык магнит ийини орбиталдык механикалык ийинге түз пропорциялаш экендигин көрөбүз, б.а. эгер атом орбиталдык механикалык ийинге өз болсо, ал сөзсүз орбиталдык магнит ийинине өз болот. Мындай байланыш электрондун массага жана зарядка өз экендигинен келип чыгат. Демек, атом магнит ийинине өз болгондуктан, анын айланасында $\vec{\rho}_0$ векторуна пропорциялаш магнит талаасы пайда болот. Атомдогу электрондун орбита боюнча айлануу орбиталдык ийиндерди түзөт тургандыгын көрдүк. Кийинчерээк, кыймылсыз электрондун өзүмдүк (спиндик) механикалык L_s жана өзүмдүк магнит $\vec{\rho}_s$ ийиндерге өз экендигин аныкталган (II.1.3-чийме) жана алардын ортосундагы байланыш II.1.7 -туунтма сыяктуу эле катышышат

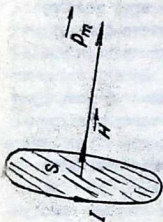
$$\vec{\rho}_s = \kappa' \frac{e}{m} \vec{L}_s \quad (\text{II.1.8})$$

б.а. эң кичинекей магнит болуп электрон өсөптөлөт экен. Бул өзүмдүк ийиндер классикалык физиканын (максвеллдин теориясынан) негизинде түшүндүрүлбөйт.

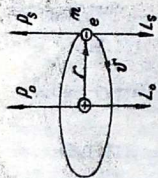
Алардын физикалык табияты, кийинчерээк кванттык физикада түшүндүрүлөт. Булардын башка, атомдо анын оң заряддалган ядросу бар. Ядро протон жана нейтрон деген бөлүкчөлөрдөн турары белгилүү. Бул бөлүкчөлөр, электрон сыяктуу эле өзүмдүк магнит жана механикалык ийиндерге өз болот. Бирок, алардын массасы электронго караганда 2000 өсө оор болгондуктан, магнит ийиндери 2000 өсөгө аз болушат (II.1.8-формулага кара).



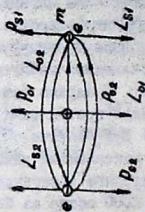
11.1.1-қуыме



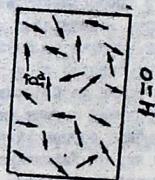
11.1.2-қуыме



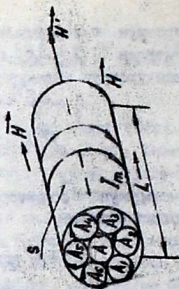
11.1.3-қуыме



11.1.4-қуыме



11.1.5-қуыме



11.1.6-қуыме

Ошентип, ядронун магнит, ийинин, электронго салыштырмалуу, эсепке албай койсок болот. Биз буга чейин бир электронду гана атомду карадык. Ал эми жалпы жөнүнөн, ар бир атомдо анын Менделеев таблицасындагы элеген катар Z номерине барабар электрон болот. Эгерде атомдо Z электрон болсо, анда анын магнит ийини

$$\vec{P}_a = \sum_{i=1}^Z \vec{P}_{a,i} + \sum_{i=1}^Z \vec{P}_{s,i} \quad (\text{II.1.9})$$

орбиталдык \vec{P}_a жана өзүмдүк \vec{P}_s магнит ийиндеринин вектордук суммаларына барабар болушат (Мисалы, II.1.4-чиймеде эки электрондуу атом көрсөтүлгөн. Ар кандай заттар атомдордон турушат, алардын магнит ийиндери \vec{P}_a баш аламан багытталышат. Ошондуктан, сырткы магнит талаасы болбосо, заттагы магнит ийиндеринин суммасы нөлгө барабар болуп, магнит талаасын түзүшбөйт (II.1.5))

Эгерде затты магнит талаасына кайлаштырсек, анын атомдорунун магнит ийиндери, магнит жөбөсү сыяктуу магнит талаасынын күч сызыктары боюнча багытталышып, алардын вектордук суммасы заттын магнит ийинин түзүшөт. Заттын бирдик көлөмүнө туура келген заттын магнит ийини анын магниттелиш вектору \vec{P}_m деп алат, б.а.

$$\vec{P}_m = \frac{\sum_{i=1}^N \vec{P}_{a,i}}{V} \quad (\text{II.1.10})$$

Мында $P_{a,i}$ бир атомдун магнит ийини, N - атомдордун саны, V - заттын элеген көлөмү. Магниттелиш вектору заттын магниттелген абалын мүнөздөөчү чоңдук болуп эсептелет. Заттардын ар бир чекиттериндеги магниттелиш вектору белгилүү болсо, алар түзгөн магнит талаасын аныктоого болот.

Бир тектүү магнит талаасына кайламышкан узундугу l туурасынан кесилиш аянты S болгон цилиндр түрүндөгү заттын (эзектүн) магниттелишин карайлы (II.1.6-чийме). Атомдордун магнит ийини магнит H талаасынын күч сызыктары бойлоп багытталышкандыктан, N атомдордогу орбиталдык (микро) токтор бир багытта агышат (чиймеде (A) кичинекей айланалар).

Цилиндрдин баш жагындагы микротокторго көңүл бурсак, коңшу атомдорду жана кайламышкан жактарындагы токтор карама-каршы багытта болгондуктан, бирин-бири жокшуп заттын ичиндеги токтордун суммасы нөлгө барабар болот. Ал эми заттын эң

сырткы катмарындагы атомдордун сырт жагындагы микротоктордун түзүүчүлөрү кошулбай кошулуп, цилиндрдин бетин айланган I_m макроскопиялык токун түзөт. Бул S кесилиш аянтын айланган токту түзгөн магнит ийини

$$\vec{P}_m = \sum_{i=1}^N \vec{P}_{ai} = \kappa' I_m S \vec{n} \quad (\text{II.I.II})$$

барabar болот. Ал ами тиешелүү магниттелиш вектор

$$\vec{P}_m = \frac{P_m}{V} = \kappa' \frac{I_m S}{S l} = \kappa' \frac{I_m}{l} = \kappa' I_m \quad (\text{II.I.I2})$$

аныкталат, б.а. магнит талаасындагы өзөктү бирдик узундугундагы токтуу бир оромго туура келген соленоид катары кароого болот экен. Мындай токтуу түзгөн магнит талаасын соленоиддин формуласын колдонуп табууга болот

$$\vec{H}' = \kappa + \pi I_m = \frac{\kappa}{\kappa'} 4\pi \vec{P} \quad (\text{II.I.I3})$$

Заттагы микротоктордун түзгөн магнит талаасы \vec{H}' анын магниттелиш векторуна \vec{P} пропорциялаш болот. Ошондуктан, жалпы магнит талаасы \vec{H} жана \vec{H}' векторлорунун суммасына барabar, б.а.

$$\vec{B} = \mu_0 (\vec{H} + \vec{H}') \quad (\text{II.I.I4})$$

Изотроптуу магнетиктер үчүн, магниттелиш вектору сырткы \vec{H} магнит талаасына пропорциялаш болот

$$\vec{P}_m = \alpha \vec{H} \quad (\text{II.I.I5})$$

пропорция коэффициентин α магнит сыңгуулугу деп аталат. Эми II.I.I5 жана II.I.I3-формулаарды II.I.I4-теңдемеге коюп, жалпыланган магнит талаасы

$$\vec{B} = \mu_0 \left(1 + \frac{\kappa}{\kappa'} 4\pi \alpha \right) \vec{H} = \mu \mu_0 \vec{H} \quad (\text{II.I.I6})$$

экендигин табабыз. Мында

$$\mu = 1 + \frac{\kappa}{\kappa'} 4\pi \alpha \quad (\text{II.I.I6})$$

заттын магнит өтүмдүүлүгү деп аталат. СИ системасында, $\kappa' = 1$, $\kappa = \frac{1}{4\pi}$ болгондуктан, $\mu = 1 + \alpha$ барabar болот.

Олентип, токтуу чөйрөдөгү магнит талаасын өлчөгөндө, түздөн түз өлчөнүүчү чондук магнит индукциясы \vec{B} болуп эсептелет, жана ал заттардагы микро жана өткөргүчтөгү макротоктордун түзгөн талаалардын суммасына барabar болот.

II.2. Заттардын магниттик касиеттери.

Диа жана парамагнетизм

Магнит өтүмдүүлүк μ заттардын магниттик касиеттерин мүнөздөйт. Магнит өтүмдүүлүгү $\mu < 1$ ($\mu < \mu_0$) болгон заттар диамагнетиктер, болгон заттар парамагнетиктер деп аталышат. Мындай заттар изотроптуу болушат. Магнит талаасын өтө сезгич ($\mu \gg 1$) заттар өзгөчө бөлүнүп ферромагнетиктер деп аталышат.

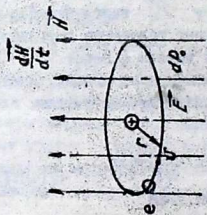
I. Адегенде диамагнетизмди карайлы. Диамагнетиктер үчүн магниттик шыктуулук $\chi < 0$ тескери мааниге ээ. Бул заттар үчүн, II.1.15-формуланын негизинде магниттелиш вектору \vec{P} сырткы магнит талаасынын чыңалышына \vec{H} карама-каршы багытталган, б.а. жалпы магнит талаасы, магнит индукциясынын вектору \vec{B} анын чыңалып \vec{H} векторунан кичине ($\vec{B} < \vec{H}$) болот. Ошондуктан, мындай диамагнеттик заттарды (мисалы, Висмут таякчасы) магнит талаасына жайлаштырсак, андан алар талаадан түртүлүп чыгарылат.

Диамагнеттик заттардын атомдорунда жуп сандагы электрондор болот. Атомдогу канаша жайланышкан электрондор үчүн алардын орбиталдык \vec{P}_0 жана өзүмдүк \vec{P}_S магниттик ийиндери карама каршы багытталгандай болуп кылылдоо ыңгайлуу (II.1.4-чийме) (ар кандай система энергиясын минималдуу кылууга умтулат - эң кичине энергиялуу принциби). Ошондуктан, мындай атомдордун жалпы магнит ийини $\vec{P}_0 = 0$ нөлгө барабар болгондуктан, диамагнеттик заттын жалпы магнит ийини $\sum_i \vec{P}_{0i} = 0$ дагы нөлгө барабар болуп сырткы магнит талаасы болгондо анын магниттелиш вектору \vec{P}_m нөлгө барабар болот. Бирок, диамагнеттик затты магнит талаасына киргизсек, анын атомдорун кескен магнит агыны кеским өзгөрөт (dH/dt) > 0 . Электромагниттик индукция законунун негизинде, мындай өзгөрмөлүү магнит агынын айланасында индукциялык электр талаасы пайда болот (II.2.1-чийме)

$$\oint_L \vec{E}_e d\vec{l} = -k' \frac{d\varphi}{dt} = -k' \frac{d}{dt} (HS) \quad (\text{II.2.1})$$

Атомдун орбитасындагы электрон үчүн

$$\oint_L \vec{E}_e d\vec{l} = E \cdot 2\pi r; \quad S = \pi r^2$$



11.2.1 - 4000M2



11.2.2 - 4000M2

өкөндөгүн эске алсак II.2.1-формуладан атомдогу индукциялык электр талаасы магнит талаасынын өзгөрүшүнүн ылдамдыгына

$$\vec{E} = -\frac{r}{2} \frac{d\vec{H}}{dt} \quad (\text{II.2.2})$$

түз пропорциялаш жана анын багыты Ленцтин эрежеси боюнча аныкталат. Бул индукциялык электр талаасы, орбитадагы электронго кошумча $\vec{f} = e\vec{E} = m\vec{a}$ күч менен аракет жасап анын орбиталык ылдамдыгын өзгөртөт ($a = dv/dt$). Электронго индукциялык электр талаасын бойлогон айлана боюнча таасир эткен күчтүн ийини $M = eEr$ барабар. Бул күчтүн ийини, нерсенин айлана боюнча болгон кыймылынын динамикасынын негизги закону боюнча

$$M = eEr = \frac{dL_0}{dt} \quad (\text{II.2.3})$$

орбиталдык механикалык L_0 ийиндин өзгөрүшүнө алып келет. Акыркы формулага II.2.2-туунтманы кошп, орбиталдык механикалык ийиндин өзгөрүшүн табабыз

$$d\vec{L}_0 = -\frac{r^2}{2} e d\vec{H} \quad (\text{II.2.4})$$

Мында магнит талаасынын өзгөрүшү $d\vec{H}$ диамагнитте магнит талаасы бар ($H_z = H$) жана жок кездеги ($H_z = 0$) айырмасына барабар

$$d\vec{H} = \vec{H}_z - \vec{H}, = \vec{H} \quad (\text{II.2.5})$$

Акыркы туунтманы эске алсак,

$$d\vec{L}_0 = -\frac{r^2 e}{2} \vec{H} \quad (\text{II.2.6})$$

болот.

Электрондун орбиталдык механикалык ийинге ээ болушу, анын орбиталдык магнит ийинине ээ кылгандыктан, II.1.7 жана II.2.6. формулалардан, пайда болгон кошумча орбиталык магнит ийининин туунтмасын алабыз

$$d\vec{P}_0 = -\frac{r^2 e}{4m} \vec{H} \quad (\text{II.2.7})$$

жана бул кошумча магнит ийининин $d\vec{P}_0$ сырткы магнит талаасынын багытыча карама каршы багытталганын көрөбүз.

Тышкы магнит талаасынын таасири астында пайда болгон атомдун магнит ийини

$$\vec{P}_0 = \sum_{i=1}^Z \mu \vec{P}_{0i}$$

ар бир электрон түзгөн кошумча ийиндердин \vec{P}_i вектордук суммасына барабар. Ал өми диамагниттеги пайда болгон магниттелиш вектору

$$\vec{P} \sim \sum_{i=1}^N \vec{P}_{oi} \sim -N$$

сырткы магнит талаасына карама-каршы багытталган болот. Бул эффект диамагниттик деп аталат.

Олентип, диамагниттик эффект сырткы магнит талаанын атомдогу электрондорго тийгизген аракети менен байланыштуу жана бул эффект, магнит талаасына ар кандай заттарды киргизгенде пайда болот.

2. Парамагнитизм. Парамагниттик заттар үчүн магниттик шыктуулук ($\chi > 0$) оң мааниге ээ, б.а. магниттелиш векторунун сырткы магнит талаасы бирдей багытталышат. Ошондуктан, магнит индукциясы B чыңалып векторунан чоң болуп, мындай заттар жалпы магнит талаасын күчөтөт өкөн.

Парамагниттик заттардын атомдорунда так сандагы электрондор болушат. Данаша жайланышкан электрондордун орбиталдык \vec{P}_o жана өзүмдүк \vec{P}_s магнит ийиндери карама-каршы багытталып бирин-бири жоктоп, жуп сандагы электрондордун жалпы магнит ийини нөлгө барабар болгондуктан, атомдун магнит ийини акыркы так электрондун орбиталдык \vec{P}_o жана өзүмдүк \vec{P}_s магнит ийиндеринин суммасына барабар болот (II.1.3-чийме)

$$\vec{P}_a = \vec{P}_o + \vec{P}_s$$

Сырткы магнит талаасы жок болгон кезде, парамагниттик заттын атомдорунун магнит ийиндери бап аламан жайланышкандыктан, (II.1.4-чийме) заттын толук магнит ийини нөлгө барабар болот магниттелбейт.

Мындай заттарды магнит талаасына киргизгенде атомдордун магнит ийиндери талаанын багыттарын бойлоп жайланышып, магниттелишет, (II.2.2-чийме).

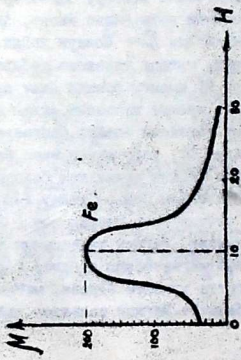
Олентип, парамагниттик заттын магниттелиш вектору \vec{P} сырткы H магнит талаасы менен бир багытта болуп, жалпы магнит талаасы B күчөйт ($B > H$).

II.3. Ферромагнитизм

Магнит талаасын өтө сезгич заттар ферромагнетиктерди түзүшөт, химиялык тогуз Менделеевдин таблицасындагы 26-28 жана 64-69 катардагы элементтердин кристаллдары ферромагнетик касиетке ээ: темир ($26 Fe$), кобальт ($27 Co$), Никель ($28 Ni$), Гадолий ($64 Gd$), Тербий ($65 Tb$), Диспорзий ($66 Dy$), Гольмий ($67 Ho$), Эрбий ($68 Er$) жана тулий ($69 Tm$). Ферромагниттин ферромагнит менен ошондой эле ферромагниттин ферромагнит эмес болгон заттардын кошулмалары да ферромагниттик касиетке ээ болушат.

Ферромагнетиктердин негизги касиеттери: 1. Магнит өтүүдүүлүгү μ сырткы магнит H талаасынын таасири астында өзгөрөт (II.3.1- чийме). Адегенде, магнит талаасы азыраак кезде μ кескин өсүп, магнит талаасы өскөн сайын чоңоюп олтуруп максимумга жетет (темир үчүн $\mu \approx 2000$). Магнит талаасынын андан ары жогорулашы магнит өткөрүмдүүлүгүнүн азайышына алып келет. Магнит талаасы өтө чоңойгондо μ бирге жакындайт. Ошондуктан, ферромагнетиктерди өтө чоң магнит талааларында электромагниттин өзөгү катары пайдалануу пайдасыз экен.

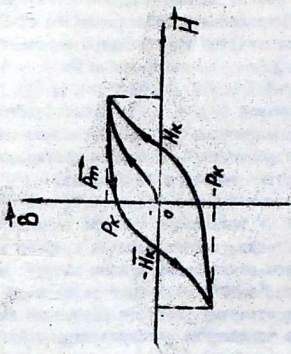
2. Ферромагниттик заттардын магниттелген абалы аларды магниттөөчү талаа жок болсо да көпкө чейин сактап калат. Мунун натыйжасында магниттик гистерезис пайда болот (II.3.2- чийме). Ферромагниттерде магниттелиш вектору \vec{P}_m өзгөрүшү магнит талаасынын H чыңалышынан арта калып калат. Адегенде ферромагнетик магниттелбеген абалда $\vec{P}_m = 0$ болсун дейли. Аны магнит талаасына жайланыштырып, магнит талаасын кеңейтсе баштасак, магниттелиш вектору \vec{P}_m сызыгы боюнча өсөт да A чекитинен баштап каныгат, б.а. магнит талаасын андан ары чоңойтсо \vec{P}_m өзгөрбөйт. Магнит талаасын азайта баштасак, магниттелиш \vec{P}_m вектору мурдакы A жолу менен эмес башка A' сызыгы менен азаят. Сырткы магнит талаа жок болгондо ($H = 0$) ферромагнетик магниттелген бойдон калат ($\vec{P}_m = \vec{P}_r$). Бул магниттелишти жок кылуу үчүн магнит талаасынын ($H < 0$) багытын өзгөртүп чоңойто баштасак, магнит талаасынын кандайдыр бир маанисинде ($H = H_k$) магниттелиш жоголот ($\vec{P}_m = 0$). Магнит талаасын ошол эле багытта чоңойто берсек, магниттелиш \vec{P}_m вектору дагы каныга баштайт. Магнит талаасын кайрадан



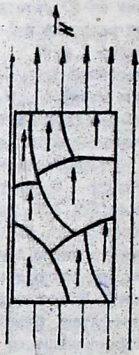
11.3.1 - QUADRE



11.3.4 - QUADRE



11.3.2 - QUADRE



11.3.5 - QUADRE

азайта баштап нөлгө жеткенде, ферромагнетик магниттелген абалда калат ($\vec{P}_m = -\vec{P}_k$). Бул магниттелишти жок кылуу үчүн, магнит талаасынын багытын өзгөртүп ($H > 0$) чоңойто баштасак, анын чоңдугу $H = H_k$ болгондо магниттелиш жоголот ($\vec{P}_m = 0$). Магнит талаасын андан ары жогорулатуу кайрадан Δ чекитине алып келет. Бул фигураны магниттелиштин гистерезиси деп аташат.

3. Ферромагниттик касиет кандайдыр бир температурага чейин гана сакталат. Мындай температураны Кюринин температурасы деп аташат (T_k). Ферромагнитти температурасын T_k ашканда ал өзүнүн ферромагниттик касиетин кескин өзгөртүп, парамагнитке айланат. Кээ бир заттар үчүн бул температуралар төмөнкүдөй: темир үчүн $T_k = 770^\circ\text{C}$ Кобальт үчүн $T_k = 1127^\circ\text{C}$ өрбий үчүн $T_k = -253^\circ\text{C}$

Ферромагниттердин ушундай өзгөчө касиети эмне менен түзүндүрүлөт?

Көптөгөн тажрыйбалардын (Эйнштейндин, Де Гаазанын, Иоффеин, Капицанын) негизинде, ферромагниттик касиет атомдордогу орбиталдык ийин менен эмес, электрондордун өзүндүк магнит \vec{P}_s ийини менен байланыштуу деген жыйынтыкка келишкен.

Ферромагниттик заттардын атомдорунун магнит ийиндерин өлчөп көргөндө, анын чоңдуктары парамагниттик заттардыкындай эле болуп чыкты. Бирок, анчалык чоң эмес магнит талаасында ферромагниттин магниттелишине парамагниттерде өтө чоң магнит талааларында да жетүү мүмкүн эмес. Мунун себеби эмнеде? Ферромагниттик касиет, анын атомдорунда бир нече электрондорун өзүндүк магнит ийиндери бир багыттуу болуп бири бирин жойбостон, кошулуп шарты менен байланышкан, Мындай электрондор темирдин атомунда төртөө (II.I.I-чыйме), кобальтто экөө, никелде экөө ж.б. Олентип, ферромагниттин атомдору магнит ийинине өз экен.

Бирок, ферромагниттеги жогорку магниттелишти, анын атомдорунун сырткы магнит талаасынын таасири астында багытталышы камсыз кыла алышбайт. Ошондуктан, ферромагниттик заттардын бөлүкчөлөрү сырткы магнит талаасыз эле жогорку магниттелишке өз деген гипотезаны киргизишкен. Мындай магниттелген заттын бөлүкчөлөрүн домендер деп аташкан. Белгилүү бир

шартта ар бир доменде атомдордун магнит ийиндери өздөрү эле бирдей багытталышып, каныга магниттелгендиктеп домендин магнит ийини өтө чоң мааниге жетет. Сырткы магнит талаасы жок кезде, домендердин магнит ийиндери баш аламан багытталып, ферромагниттин жалпы магниттелиши нөлгө барабар болот ($\vec{P}_m = 0$) (II.3.4-чийме).

Ал эми сырткы магнит талаасынын таасири менен домендердин магнит ийиндери бир багытта болушуп, ферромагниттин чоң магниттелишине алып келет (II.3.5-чийме).

Домендердин пайда болуу себептери, атомдордогу электрондордун өзүмдүк магнит ийиндеринин бир багытталышы кванттык теориянын негизинде гана түшүндүрүлөт (физиканын үчүнчү бөлүгүндө окулат).

Электромагниттик кубулушка байланыштуу
кыргыз тилиндеги жаңы сөздөрдүн

КЫРГЫЗЧА- ОРУСЧА СӨЗДҮГҮ

А

абал- положение
агым -поток
адепки-первоначальный
алакшкуч-переключатель
аласалуу-переворачивание вверх дном
алазариддоо-перезарядка
алкак-рама, рамка, контур.
-токтуу алкак -рамка, с током
арчы-шаг, диапазон
аргасыздай -вынужденный

Б

болжолдоо-условность; приближеное
бетен-сторонний
-бетен куч-сторонняя сила
бөлүктөр -деления
-шкаланын бөлүктөрү -деления шкалы

В

вектор -вектор
вектордук кошуу-векторное сложение
вектор чоңдугу -векторная величина
вольт-вольт (чыңалуунун бирдиги)
вольтметр -вольтметр
ватт -ватт (кубаттуулуктун бирдиги)

Г

Гармоника-гармоника
Гармоникалык термелүү -гармоническое колебание
Гелиотехника -элиотехника (күндүн нурун пайдалануу техника)
Генератор- генератор
-электр тогунун генератору-генератор электрического тока
Гидротехника-гидротехника (суу техникасы)
Гидротурбина -гидротурбина (суу турбиасы)

Гидроэлектростанция - гидроэлектростанция

Д

диэлектрик-диэлектрик

- диэлектриктик шиктуулук - диэлектрическая восприимчивость
- диэлектриктик өтүмдүүлүк - диэлектрическая проницаемость
- дирилдөө - вибрация

Е

жаңылчтык-погрешность

жарыш-параллель

жебе - стрела

- магнит жебечеси - магнитная стрелка

жылш вектору - вектор смещение

жылш модулу - модуль сдвига

жылштуу тогу - ток смещения

жип - нить (жип)

темир жиби - железная нить

жалпы-суммарное, результирующее

- жалпы электр талаасы - результирующее электрическое поле

жакындао - приближение

- удаалаш жакындао - последовательное приближение

З

закон-закон

заряд-заряд

- электр заряды - электрический заряд

- эркин заряд - свободный заряд

тушталган заряд - связанный заряд

- поляризацияланган заряд - поляризованный заряд

жем - проволока

- белгилүү заряд - пробный заряд

И

индукция - индукция

- индукция заряды - индукционный заряд

- магниттик индукция - магнитная индукция

- электрдик индукция - электрическая индукция

илдек - петля

индекс - индекс

инерция - инерция

инертүүдүк-инертность
интеграл-интеграл
интенсивдүү-интенсивный

К

Калып-форма
касиет -хорошее качество
катар-ряд, порядок
кадыресе -обыкновенный
каталяк -погрешность, ошибочность
канат -крыло, полотнище
-конденсатордун канаттары -обкладки конденсатора
кескин -критический
-кескин температура -критическая температура
кызыктуу -накаливание
-плайык кызыктуу-нормальное накаливание
күүлө-настройка
-комузду күүлө-настройка комуза
-контурду күүлө -настройка контура

Л

лампа -лампа
-сымап лампасы -ртутная лампа,
-электр лампасы-электрическая лампа

М

Магнит -магнит
-магнит өтүмдүүлүгү-магнитная проницаемость
-магнит шыктуулугу -магнитная восприимчивость
-магнит ийини -магнитный момент
-орбиталык магнит ийини -орбитальный магнитный момент
-өзүндүк (спиндик) магнит ийини-спиновый магнитный момент
магниттелиш -намагничивание
материал-материал
модуляция -модуляция (бир толкундун башка толкундун таасири астында өзгөрүү)
-амплитудалык модуляция -амплитудная модуляция
-жаштык модуляциясы-частотная модуляция

Н

номер-номер

ногмалдуу-нормальный
норма-норма
нормалалтырылган -нормализован

О

ойдуң -впадина
об"ект-об"ект

Ө

өлчөө-измерение
өлчөө чегі -предел измерения
өтүмдүүлүк -проницаемость
-диэлектрик өтүмдүүлүк -диэлектрическая проницаемость
-магниттик өтүмдүүлүк -магнитная проницаемость
өткөргүч -проводник
өткөрүмдүүлүк -проводимость
өткөргүчү электрондор -электроны проводимость
өзүмдүк индукция -самоиндукция
өз ара индукция -взаимная индукция

П

потенциал- потенциал
потенциалдардын айырмасы -разность потенциалов
-туурасынан потенциалдардын айырмасы-поперечная разность потенциалов

Р

радиан -радиан
радио-радио
разряд-разряд
электр разряды -электрический разряд

С

сактагыч-предохранитель
-коргошун сактагыч -свинцовой предохранитель
система -система
-санал системасы -система отсчета
сергектик (чыйрактык) -подвижность
-электрон сергектиги -подвижность электрона

Т

талаа-поле

-магнит талаасы- магнитное поле
 -электр талаасы -электрическое поле
 тилке -кличок, полоса, пластинна
 ток-ток

-электр тогу -электрический ток
 -жүльшүү тогу-ток смещения

тузак-петли

-гистерезис-тузагы -петли гистерезиса
 тумалган заряд-связанный заряд

тыгыздык-плотность

-беттик тыгыздык -поверхностная плотность
 -смыктуу тыгыздык-линейная плотность
 тутка-зажим

-элементтин туткасы -зажимы элемента
 -шамдын туткасы -зажимы лампочки

У

ургаалдуу -интенсивный

удалаш -последовательный

Ц

циркуляция -циркуляция (айлануу)

цикл-цикл

Ч

чагылган - молния

ченелүү -пробный, измеренный

-ченелүү алкак-пробная рамка

ченемдүү-соразмерный с чем либо

ченее-измерение

чыңалуу-напряжение

чыңалыш-напряженность

чыйрактык-подвижность

-электрондун чыйрактыгы-подвижность электрона

Ш

шыктуулук -восприимчивость

-магнит шыктуулугу -магнитная

ОНС
 ШИДУ

10c

7

21



-1907-2